



HAL
open science

Synthèse d'amino thiophènes, sélénophènes, thiazoles : application à la synthèse d'analogues hétérocycliques de la Tacrine

David Thomae

► **To cite this version:**

David Thomae. Synthèse d'amino thiophènes, sélénophènes, thiazoles : application à la synthèse d'analogues hétérocycliques de la Tacrine. Biologie moléculaire. Université Paul Verlaine - Metz, 2008. Français. NNT : 2008METZ022S . tel-01752590

HAL Id: tel-01752590

<https://hal.univ-lorraine.fr/tel-01752590>

Submitted on 29 Mar 2018

HAL is a multi-disciplinary open access archive for the deposit and dissemination of scientific research documents, whether they are published or not. The documents may come from teaching and research institutions in France or abroad, or from public or private research centers.

L'archive ouverte pluridisciplinaire **HAL**, est destinée au dépôt et à la diffusion de documents scientifiques de niveau recherche, publiés ou non, émanant des établissements d'enseignement et de recherche français ou étrangers, des laboratoires publics ou privés.



AVERTISSEMENT

Ce document est le fruit d'un long travail approuvé par le jury de soutenance et mis à disposition de l'ensemble de la communauté universitaire élargie.

Il est soumis à la propriété intellectuelle de l'auteur. Ceci implique une obligation de citation et de référencement lors de l'utilisation de ce document.

D'autre part, toute contrefaçon, plagiat, reproduction illicite encourt une poursuite pénale.

Contact : ddoc-theses-contact@univ-lorraine.fr

LIENS

Code de la Propriété Intellectuelle. articles L 122. 4

Code de la Propriété Intellectuelle. articles L 335.2- L 335.10

http://www.cfcopies.com/V2/leg/leg_droi.php

<http://www.culture.gouv.fr/culture/infos-pratiques/droits/protection.htm>



THESE



Présentée en vue de l'obtention du grade de

DOCTEUR DE L'UNIVERSITE

PAUL VERLAINE-METZ

Mention : Chimie Moléculaire

UNIVERSITE Paul Verlaine METZ	
S.C.D.	
Titre	
Date	S/17/08/22
Lib.	

Par

David THOMAE

**SYNTHESE D'AMINO THIOPHENES, SELENOPHENES, THIAZOLES,
APPLICATION A LA SYNTHESE D'ANALOGUES HETEROCYCLIQUES
DE LA TACRINE**

Soutenu le 19 septembre 2008 devant la commission d'examen :

J. LEBRETON	Professeur à l'Université de Nantes (Rapporteur)
F. FABIS	Professeur à l'Université de Caen Basse Normandie (Rapporteur)
G. KIRSCH	Professeur à l'Université Paul Verlaine-Metz (directeur de thèse)
J.L. MARCO CONTELLES	Professeur au Consejo Superior de Investigaciones Cientificas de Madrid.
L. MARTARELLO	Group Leader PET and Radiotracer developpement GSK, London
P. GROS	Directeur de recherche CNRS, Université de Nancy.
D. BAGREL	Professeur à l'Université Paul Verlaine-Metz

Remerciements

Le présent travail a été effectué au laboratoire d'Ingénierie Moléculaire et Biochimie Pharmacologie de l'Université Paul Verlaine-Metz, sous la direction du Professeur Gilbert Kirsch. Je tiens à le remercier tout particulièrement pour m'avoir accueilli dans son laboratoire, de m'avoir fait confiance pour réaliser ce travail et de l'intérêt qu'il n'a cessé de me manifester pendant ces années. Je remercie aussi le Professeur Pierre Seck avec qui nous avons collaboré durant ces années sur mon sujet de thèse. Je remercie aussi le Professeur Denise Bagrel qui s'est occupé de tester l'activité biologique des composés synthétisés. J'associe Stéphanie Hesse à ces remerciements pour son aide concernant la rédaction des publications.

Je suis très reconnaissant au Pr J. Lebreton, Professeur à l'université de Nantes, au Pr F. Fabis, Professeur à l'université de Caen Basse Normandie, pour avoir accepté de juger ce travail. Je remercie le Pr J.L. Marco Contelles, Professeur au Consejo Superior de Investigaciones Cientificas (CSIC) de Madrid, à Dr L. Martarello, Group Leader PET and Radiotracer development, au Pr Denise Bagrel, Professeur de l'Université Paul Verlaine-Metz ainsi que le Dr P. Gros, directeur de recherche CNRS à l'Université Henry Poincaré de Nancy

Ces travaux n'auraient pu se réaliser sans les techniciens d'analyse. Je remercie Véronique Poddig pour tous les spectres RMN. Je tiens aussi à remercier le Dr Serge Schneider et le Dr Marc Schuman du Laboratoire National de Santé (Luxembourg) pour les analyses GC/MS.

Je tiens à remercier toute l'équipe du LIMBP pour son soutien de tous les instants : Fabien Dufour, Thomas Kaminsky, Aïcha Ba, Élodie Chenot, Cyril Herbivo, Eric Perspicace, et les stagiaires qui ont participé à la vie du laboratoire. Merci à toutes ces personnes qui ont partagé mes joies et mes peines dans ces années.

Je remercie aussi l'équipe de biologie qui s'est beaucoup investie pour tester mes produits. Je voudrais remercier les personnes qui se sont succédées pour les tests : Amandine Brespon, Sabrina Larcher et Aïcha Ba.

Enfin, je terminerais ces remerciements en pensant à mon père, ma famille et à mes amis pour leurs sacrifices, leur soutien et leurs conseils.

Abréviations

Ac	Acétyl
Bn	Benzyl
CCM	Chromatographie sur Couche Mince
DMF	Diméthylformamide
DMSO	Diméthylsulfoxyde
Et	Ethyle
éq.	équivalent
GC/MS	Chromatographie Gazeuse couplée à la Spectrométrie de Masse
Het.	Hétérocycle
IR	Infrarouge
<i>J</i>	Constante de couplage
M	Mol/L
Me	Méthyl
Ph	Phényl
Pf	Point de fusion
qd	quadruplet
q	quintuplet
Rdt	Rendement
RMN	Résonance Magnétique Nucléaire
s	singulier
t	triplet
THF	Tétrahydrofurane

A ma famille,

A mes amis.

Sommaire

Introduction	1
Chapitre I : Préparation des hétérocycles de départ	3
1. Analyse rétrosynthétique	3
2. Préparation des β-chloroacroléïnes substituées	4
2.1 Synthèse	4
2.2 Mécanisme	4
2.3 Conclusion	7
3. Préparation des oximes des β-chloroacroléïnes substituées	7
4. Préparation des β-chloroacrylonitriles	9
4.1 Bibliographie	9
4.2 Synthèse	10
4.3 Conclusion	12
5. Préparation des 3-amino-2-cyanothiophènes substitués	13
5.1 Bibliographie	13
5.2 Synthèse	16
5.3 Mécanisme	17
5.4 Conclusion	18
6. Synthèse des 3-amino-2-cyanosélénophènes substitués	18
6.1 Bibliographie	18
6.2 Synthèse	20
6.3 Conclusion	21
7. Synthèse du 3,4-diamino-2,5-dicyanothiéno[2,3-b]thiophène	22
7.1 Bibliographie	22
7.2 Synthèse	22
7.3 Conclusion	23
8. Synthèse des 3-amino-4-cyanothiophènes substitués	23
8.1 Bibliographie	23
8.2 Synthèse	25
8.3 Conclusion	29

9.	Synthèse des 4-amino-5-cyano-1,3-thiazoles	29
9.1	Bibliographie	29
9.2	Synthèse	30
9.3	Conclusion	34
10.	Synthèse des 7-hydroxythiéno[3,2-b]pyridin-5(4H)-ones	35
10.1	Bibliographie	35
10.2	Synthèse	36
10.3	Conclusion	39
11.	Synthèse de la 4-hydroxy-7-méthyl-pyridino[2,3-d]thiéno[3,2-b]pyridin-2(1H)-one	40
11.1	Bibliographie	40
11.2	Synthèse	41
11.3	Conclusion	42
12.	Synthèse des 3-amino-2-nitrothiophènes substitués	43
12.1	Bibliographie	43
12.2	Synthèse du bromonitrométhane	44
12.3	Synthèse	44
12.4	Conclusion	46
13.	Synthèse des 3-amino-2-nitrosélénophènes et des 3-amino-2-sélénophènescarboxylates d'éthyle	46
14.	Synthèse des 2-aryl-5-nitrothiophènes	48
14.1	Bibliographie	48
14.2	Synthèse	51
14.3	Conclusion	52
	Conclusion du Chapitre I	53
	Chapitre II : Préparation des analogues hétérocycliques de la Tacrine	54
1.	Introduction sur la maladie d'Alzheimer	54
2.	Analogues hétérocycliques de la Tacrine	58
2.1	Bibliographie :	58
3.	Synthèse des analogues thiophéniques de la Tacrine, Réaction de Friedländer	62
3.1	Bibliographie	62
3.2	Synthèse	63
3.3	Mécanisme	63
3.4	Conclusion	66

4.	Synthèse des analogues thiophéniques de la Velnacrine	66
4.1	Bibliographie	66
4.2	Synthèse des 9-amino-6,7-dihydrothiéno[3,2-b]quinoléin-8(5H)-ones	67
4.2.1	Conclusion	69
4.3	Réduction des 9-amino-6,7-dihydrothiéno[3,2-b]quinoléin-8(5H)-ones	69
4.3.1	Synthèse	69
4.3.2	Conclusion	69
5.	Synthèse des analogues sélénophéniques de la Tacrine	70
6.	Réaction de Friedländer avec le 2,5-dicyano-3,4-diaminothiéno[2,3-b]thiophène	72
6.1	Synthèse	72
6.2	Conclusion	73
7.	Synthèse des thiéno[3,4-b]quinoléines	73
7.1	Synthèse	73
7.2	Conclusion	75
8.	Synthèse des analogues thiazoliques de la Tacrine	76
8.1	Synthèse	76
8.2	Conclusion	78
	Conclusion du Chapitre II	79
	CHAPITRE III : Tests biologiques	80
1.	Tests d'inhibition de l'acétylcholinestérase	80
	Conclusion générale	85
	Chapitre IV : Perspectives	86
1.	Bis-tacrine	86
2.	1H-thiéno[2,3-d]imidazoles et des 1H-sélénophéno[2,3-d]imidazoles	87
3.	Synthèse des 4-aminothiazoles.	88
4.	Synthèse des sélénophéno[3,2-d]pyrimidines	89

Chapitre V : Partie expérimentale	90
Généralités	90
Partie expérimentale du Chapitre I	91
1. Synthèse des 3-aryl-3-chloropropénals et 3-alkyl-3-chloropropénals	91
2. Synthèse des oximes des 3-aryl-3-chloroacroléines et des 3-alkyl-3-chloroacroléines	99
3. Synthèse des 3-aryl-3-chloropropénitriles ou 3-alkyl-3-chloropropénitriles	104
4. Synthèse des 3-amino-5-aryl-2-cyanothiophènes et 3-amino-5-alkyl thiophènes	109
5. Synthèse des 3-amino-2-cyanosélénophènes substitués	113
6. Synthèse du 3,4-diamino-2,5-dicyanothiéno[2,3-<i>b</i>]thiophène	117
7. Synthèse du 2-(bis-méthylsulfanylméthylène)malononitrile	118
8. Synthèse des 3-amino-4-cyanothiophènes	119
8.1 Synthèse du 3-amino-4-cyano-5-méthylsulfanyl-thiophène-2-carboxylate d'éthyle	119
8.2 Synthèse des 3-amino-4-cyano-2-thiophène carboxylates d'éthyle.	120
9. Synthèse du diméthyl cyanodithioimidocarbonate	123
10. Synthèse des 4-amino-5-cyano-1,3-thiazoles	124
10.1 Synthèse du 4-amino-5-cyano-2-(méthylsulfanyl)-1,3-thiazole	124
10.2 Synthèse des 4-amino-5-cyano-1,3-thiazoles	125
10.3 Synthèse du 2-anilino-4-amino-5-cyano-1,3-thiazole	127
11. Synthèse des 7-hydroxythiéno[3,2-<i>b</i>]pyridin-5(4H)-ones	128
12. Synthèse de la 4-hydroxy-7-méthyl-pyridino[2,3-<i>d</i>]thiéno[3,2-<i>b</i>]pyridin-2(1H)-one	134
13. Synthèse du bromonitrométhane	135
14. Synthèse des 3-amino-2-nitro thiophènes substitués	135
15. Synthèse des 3-amino-2-nitro-sélénophènes substitués	140
16. Synthèse des 3-amino-2-sélénophénecarboxylates d'éthyle substitués	143
17. Synthèse des 2-aryl-5-nitrothiophènes	146

Partie expérimentale du Chapitre II	151
1. Synthèse des analogues thiophéniques de la Tacrine, Réaction de Friedländer	151
2. Synthèse des 2-cyano-3-[(3-oxo-1-cyclohexèn-1-yl)amino] thiophènes substitués.	161
3. Synthèse des 9-amino-6,7-dihydrothiéno[3,2-b]quinoléin-8(5H)-ones substituées	163
4. Synthèse des thiéno [3,2-b] quinoléin-8-ol	165
5. Synthèse des analogues sélénophéniques de la Tacrine	167
6. Réduction des Amino-(4-nitrophényl)sélénophéno[2,3-e]pyridine	177
7. Synthèse des 5,8-diamino-1,2,3,4,9,10,11,12-octahydroquino[2'',3'':4',5']thiéno[3',2':4,5]thiéno[3,2-b]quinoléines	179
8. Synthèse des 9-amino-5,6,7,8-tétrahydrothiéno[3,4-b]quinoléine-3-carboxylate d'éthyle.	181
9. Synthèse des analogues thiazoliques de la Tacrine	184
Références	191
Résumé	196
Summary	196
Publications	197

Introduction

Le laboratoire a développé depuis de nombreuses années la synthèse d'hétérocycles soufrés et sélénisés. Afin d'étendre ces méthodologies, le premier objectif fixé a été de préparer des analogues hétérocycliques de l'antralinonitrile (thiophènes, sélénophènes et thiazoles). Dans la littérature ces composés servent de précurseurs à la synthèse des composés tels que les quinazolines,¹ les diaminoquinazolines,² les quinazolinédiones,³ et les quinoléïnes.⁴ C'est ce dernier point qui nous intéressera plus particulièrement. La réaction entre l'antralinonitrile et la cyclohexanone donne accès à la Tacrine (Schéma 1) qui a été le premier médicament utilisé au États-Unis pour lutter contre la maladie d'Alzheimer. En utilisant les analogues hétérocycliques de l'antralinonitrile pour les faire réagir avec des cyclanones, nous pouvons avoir accès à des analogues hétérocycliques de la Tacrine (Schéma 1). Aussi les analogues hétérocycliques de l'antralinonitrile pourront servir de précurseurs pour de nouvelles molécules intéressantes au niveau des axes de recherche au laboratoire.

Dans une première partie, nous développerons la synthèse d'analogues hétérocycliques des anthralonitriles. Nous préparerons les 3-amino-2-cyanothiophènes, les 3-amino-2-cyanoselenophènes, 3,4-diamino-2,5-cyanothiéno[2,3-*b*]thiophènes, les 3-amino-4-cyanothiophènes et les 4-amino-5-cyanothiazoles. Dans une deuxième partie, nous utiliserons ses systèmes hétérocycliques pour les cycliser avec des cétones cycliques afin d'obtenir de nouveaux des analogues hétérocycliques de la Tacrine (Schéma 1). En 2004, ce médicament a été retiré du marché pour cause d'effets secondaires.⁵ En synthétisant des analogues hétérocycliques, nous espérons avoir la même activité que la Tacrine tout en évitant les effets secondaires.

¹ (a) Muijlwijk-Koezen, J.E.; Timmerman, H.; Goot, H.; Menge, Wiro M.P.B.; Kuenzel, J.F.; Groote, M.; IJzerman, J.P. *J. Med. Chem.* **2000**, *43*, 2227. (b) Barchechath, S.D.; Tawatao, R.I.; Corr, M.; Carson, D.A.; Cottam, H.B. *J. Med. Chem.* **2005**, *48*, 6409.

² Harris, N.V.; Smith, C.; Bowden, K. *J. Med. Chem.* **1990**, *33*, 434.

³ Mizuno, T.; Iwai, T.; Ishino, Y. *Tetrahedron Lett.* **2004**, *35*, 7073.

⁴ McKenna, M.T.; Proctor, G.R.; Young, L.C.; Harvey, A.L. *J. Med. Chem.* **1997**, *40*, 3516.

⁵ Augry, F.; Darchy, J.; De Rotou, J.; Gulefi, M.C.; Forette, F. *J. Pharm. Clin.* **1997**, *16*, 183.

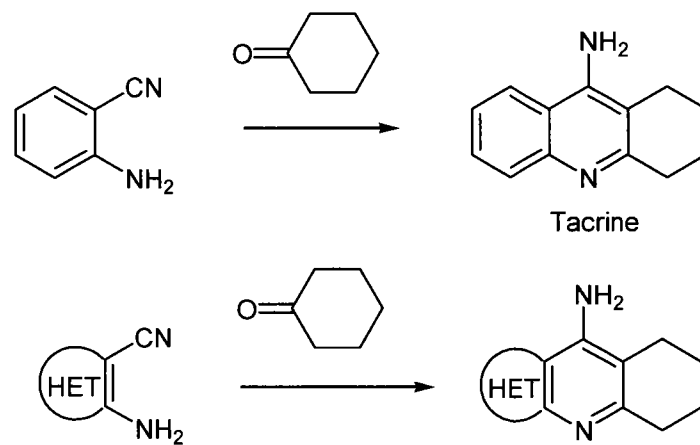


Schéma 1

Le laboratoire est à l'interface chimie-biologie. Aussi, les nouvelles molécules que nous synthétiserons seront ensuite testées par notre équipe de biologie pour vérifier leur activité. La présentation des résultats biologiques constituera la troisième partie de cette présentation de mémoire.

Chapitre I : Préparation des hétérocycles de départ

1. Analyse rétrosynthétique

Nous allons commencer notre étude par les 3-amino-2-cyanothiophènes.

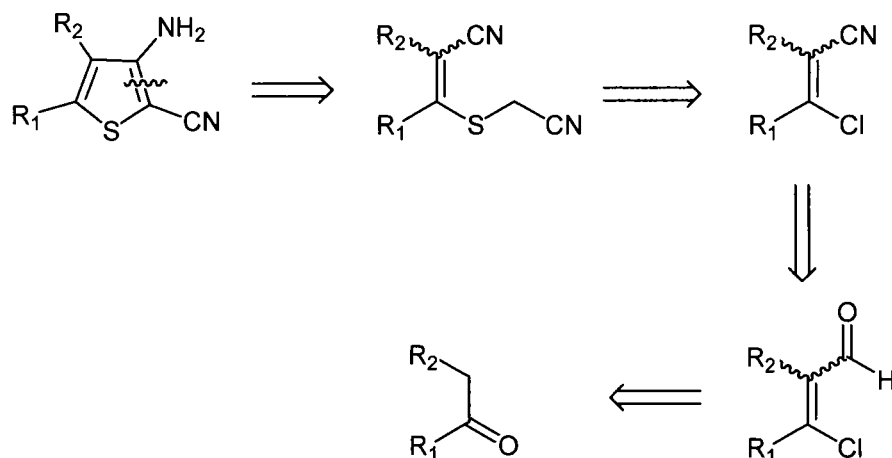


Schéma 2

De nombreux 3-aminothiophènes ont été synthétisés dans notre laboratoire. Ils ont fait l'objet de plusieurs études^{6,7}. Les 3-[(cyanométhyl)sulfanyl]-2-propénonitriles sont les précurseurs des 3-aminothiophènes (Schéma 2). Ceux-ci sont obtenus à partir des β -chloroacrylonitriles. Ceux sont préparés à partir des β -chloroacroléines qui sont obtenues à partir de cétones commerciales. En quatre étapes, nous pouvons donc obtenir les 3-amino-2-cyanothiophènes substitués.

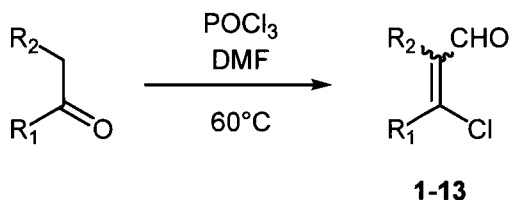
Nous allons étudier chaque étape de cette synthèse.

⁶ Kirsch, G.; *Thèse d'État*, Université de Metz 1985, 50.

⁷ Migianu, E.; *Thèse*, Université de Metz 2002.

2. Préparation des β -chloroacroléines substituées

2.1 Synthèse



Nous appelons β -chloroacroléines ici les composés normalement désignés par 3-chloro-2-propénal

Le réactif de Vilsmeier-Haack a été découvert en 1927⁸ et Arnold a étendu l'utilisation de ce réactif à de nombreux substrats.⁹ La réaction de Vilsmeier-Haack-Arnold permet de réaliser une chloroformylation des cétones énolisables. Ainsi cette méthode a été largement utilisée au laboratoire¹⁰; de même que beaucoup d'autres équipes¹¹ pour l'obtention de β -chloroacroléines à partir de cétones commerciales. Le réactif de Vilsmeier-Haack utilisé est un mélange équimolaire d'oxychlorure de phosphore et de *N,N*-diméthylformamide (Schéma 3). Nous avons synthétisé les β -chloroacroléines **1-13**. Les rendements obtenus sont très bons et varient selon la cétone de départ. (Tableau 1). Cette réaction est très propre puisque les β -chloroacroléines obtenues peuvent être utilisées sans purification ultérieure.

2.2 Mécanisme

Le réactif de Vilsmeier-Haack réagit avec la forme énolique de la cétone pour former un sel d'iminium qui est hydrolysé afin d'isoler les β -chloroacroléines (Schéma 4). Ce mécanisme ne tient pas compte de la stéréochimie. Une étude a été faite par notre laboratoire afin de savoir quel isomère se forme lors de cette réaction.¹² Quand $R_2=H$, c'est l'isomère Z

⁸ Vilsmeier, A.; Haack, A. *Ber.* **1927**, *60*, 119.

⁹ (a) Arnold, Z.; Sorm F. *Collect. Czech. Chem. Comm.* **1958**, *23*, 452. (b) Arnold, Z.; Zemlicka, J. *Collect. Czech. Chem. Comm.* **1959**, *24*, 2385.

¹⁰ (a) Kirsch, G.; Prim, D.; Leising, F.; Mignani, G. *J. Heterocyclic Chem.* **1994**, *31*, 1005. (b) Prim, D.; Joseph, D.; Kirsch, G. *Phosphorus, Sulfur Silicon Relat. Elem.* **1994**, *91*, 137.

¹¹ (a) Liebscher, J.; B.; Hartmann, H. *Synthesis.* **1979**, 241. (b) Schelborn, H.; Frischleder, H.; Hauptmann, S. *Tetrahedron Lett.* **1970**, *11*, 4315.

¹² Prim, D.; Fuss, A.; Kirsch, G.; Silva, A. M. S. *J. Chem. Soc., Perkin Trans. 2*, **1999**, 1175.

qui se forme très majoritairement, quand R_2 est plus encombrant, c'est l'isomère E qui est majoritaire (Tableau 1).

Formation du réactif de Vilsmeier-Haack

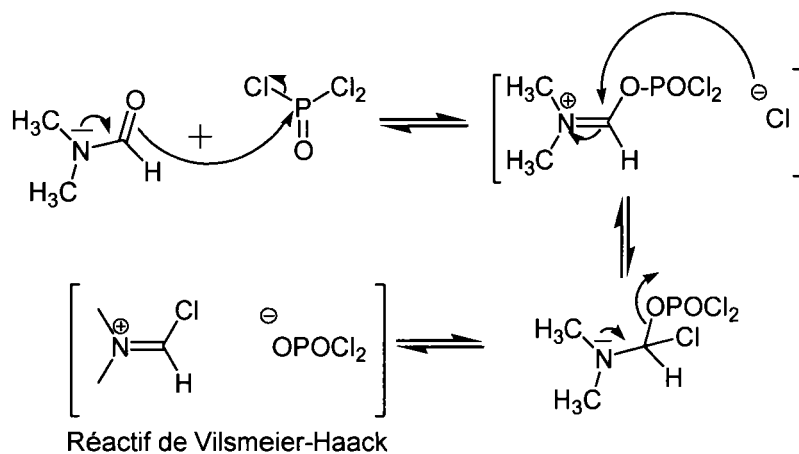


Schéma 5

Mécanisme de formation des β -chloroacroléines

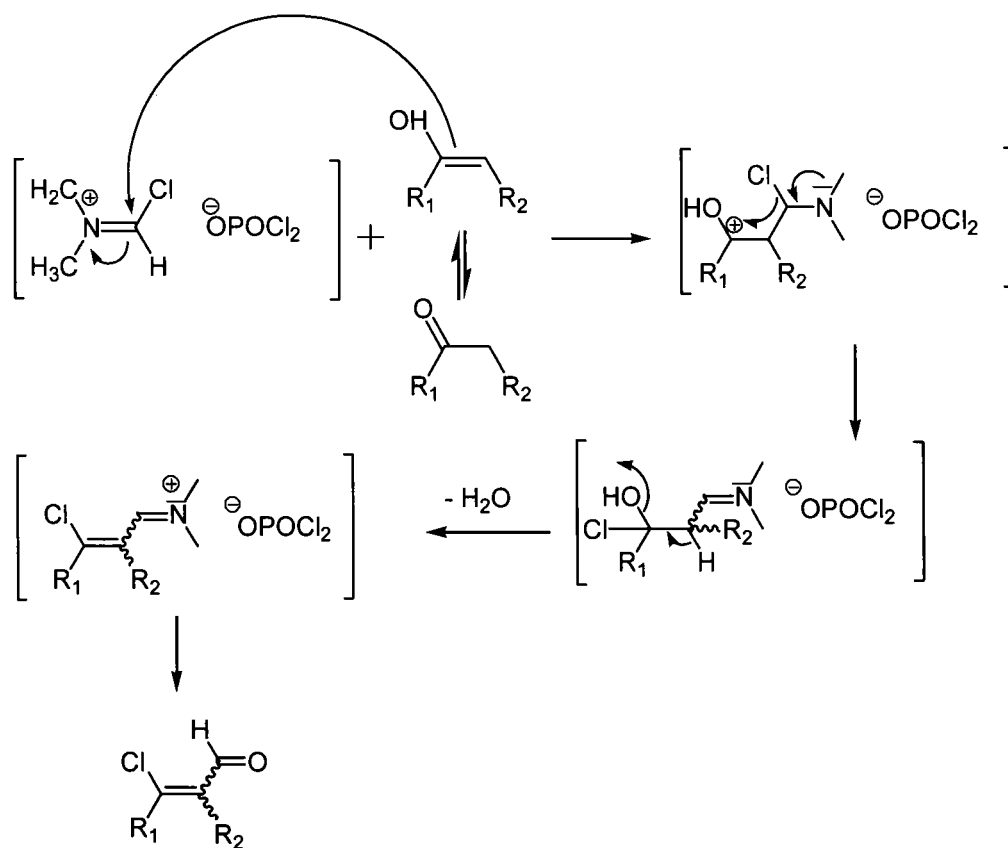
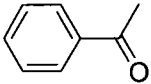
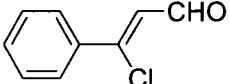
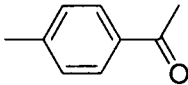
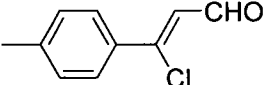
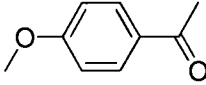
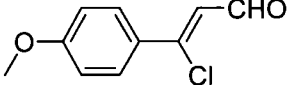
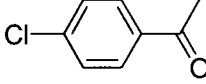
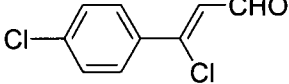
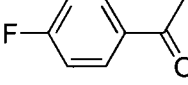
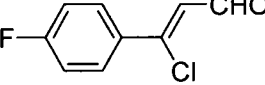
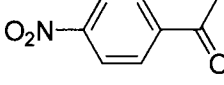
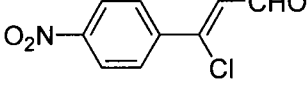
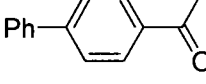
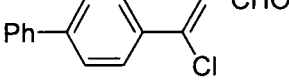
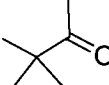
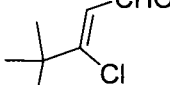
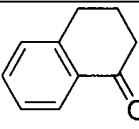
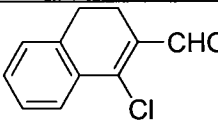
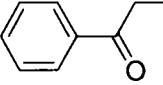
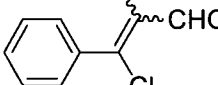
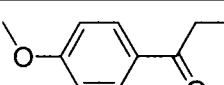
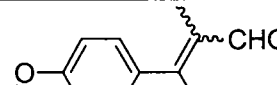
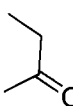
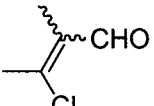
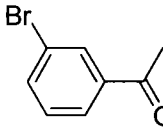
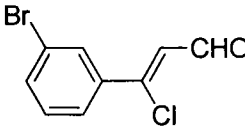


Schéma 5

Tableau 1 : Préparation des β -chloroacroléines à partir des cétones α -méthylées

Cétone	β -Chloroacroléine	Composé	Rendement (%)
		1	93
		2	73
		3	77
		4	88
		5	60
		6	81
		7	65
		8	73
		9	89
		10	76
		11	60
		12	38
		13	74

2.3 Conclusion

Nous avons réussi à reproduire la synthèse de β -chloroacroléines selon les conditions de Vilsmeier-Haack-Arnold. Ces produits vont être utilisés pour la préparation des oximes.

3. Préparation des oximes des β -chloroacroléines substituées

L'oxime est l'intermédiaire qui permet de transformer un aldéhyde en nitrile. Le chlorhydrate d'hydroxylamine réagit avec les β -chloroacroléines (**1-12**) en présence d'une base. L'acétate de sodium permet de libérer l'hydroxylamine qui va se condenser sur l'aldéhyde (Schéma 5). La base ne doit pas être mise en excès pour éviter la formation de l'isoxazole. La formation des oximes **14-25** est une réaction bien décrite^{13,14,15} et qui donne ici des rendements quasiment quantitatifs (Tableau 2). De plus cette réaction est très propre et les oximes des β -chloroacroléines seront utilisées pour la suite de la synthèse sans purification.

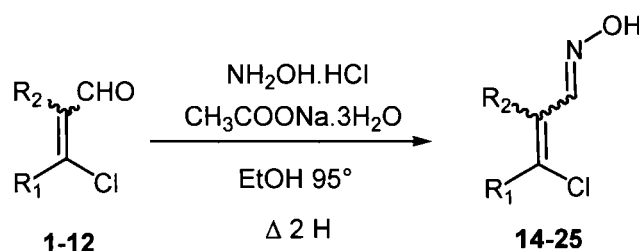


Schéma 5

Tableau 2 : Synthèse des oximes des β -chloroacroléines

β -Chloroacroléine	Oxime	Composé	Rendement (%)
		14	>95
		15	>95

¹³ Liebscher, J.; Neumann, B.; Hartmann, H. *J. Prakt. Chem.* **1983**, 325, 915.

¹⁴ Vo-Quang; *Ann. Chim. (Paris)* **1962**, 7, 795.

¹⁵ Migianu, E.; Kirsch, G. *Synthesis*, **2002**, 8, 1096.

Tableau 2 : Synthèse des oximes des β -chloroacroléines (suite)

β -Chloroacroléine	Oxime	Composé	Rendement (%)
		16	>95
		17	>95
		18	>95
		19	85
		20	76
		21	>95
		22	98
		23	>95
		24	79
		25	42

4. Préparation des β -chloroacrylonitriles

4.1 Bibliographie

La préparation des nitriles est une réaction très utilisée en chimie organique.^{16,17} Quelques méthodes permettent de synthétiser le nitrile en une seule étape à partir de l'aldéhyde en série aliphatique¹⁸. Au laboratoire, Évelyne Migianu avait déjà étudié la possibilité de passer directement des β -chloroacroléines aux β -chloroacrylonitriles⁷. Plusieurs méthodes avaient été testées :

- La méthode de Saednya¹⁹ (Schéma 6) a donné des résultats mitigés avec les β -chloroacroléines. Les rendements variaient entre 18 et 71% et le temps moyen de réaction était de 7 heures. Pour quelques exemples, la réaction s'arrêtait au stade de l'oxime et il fallait déshydrater tout de même dans l'anhydride acétique pendant 18 heures.

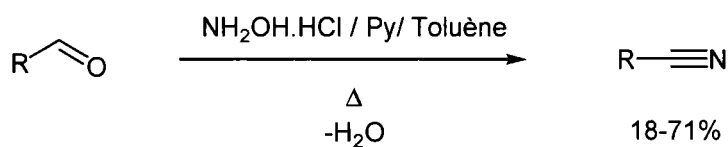


Schéma 6

- La méthode de Yadav et coll. est aussi une méthode directe pour passer de l'aldéhyde au nitrile. Initialement utilisée dans la NMP (N-méthylpyrrolidinone)²⁰, la réaction avait été testée dans le DMF (Schéma 7). Hélas, cette réaction présente le même bilan mitigé que la méthode de Saednya. Ainsi les rendements pour obtenir les β -chloroacrylonitriles en une seule étape varient entre 17 et 42% et le temps moyen de réaction est de 8 heures. De plus, pour certaines β -chloroacroléines, la réaction n'est pas complète et s'arrête au stade de l'oxime.

⁷ Migianu, E.; *Thèse*, Université de Metz **2002**.

¹⁶ Friedrich, K.; Wallensfels, K.; *In The Chemistry of Cyano Group*; Rappoport, Z.; Ed.; Wiley-Inter Science New York, **1970**.

¹⁷ Mowry, D.T. *Chem. Rev.* **1948**, *42*, 250.

¹⁸ (a) Miller, M.; Loundon, G. J. *Org. Chem.* **1975**, *40*, 126. (b) Fizez, C.; Streith, J. *Synthesis* **1979**, 112. (c) Fizez, C.; Streith, J. *Tetrahedron Lett.* **1974**, *15*, 3187. (d) Olah, G.A.; Keumi, T. *Synthesis* **1979**, 112. (e) Sosnovsky, G.; Krogh, J.A.; Umhoefer, S. *Synthesis* **1979**, 722.

¹⁹ Saednya, A. *Synthesis* **1982**, 190.

²⁰ Sampath Kumar, H.M.; Subba Reddy, B.V.; Tirupathy Reddy, P.; Yadav, J.S. *Synthesis* **1999**, 586.

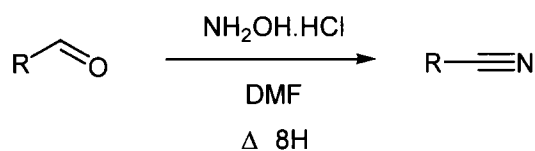


Schéma 7

- La méthode de Liebscher et Hartmann^{13,21} décrite en 1983 propose la synthèse des β -chloroacrylonitrile à partir des acétophénone via les sels d'iminium (précurseurs des β -chloroacroléines) (Schéma 8). Les rendements sont moyens variant entre 42 et 67%.

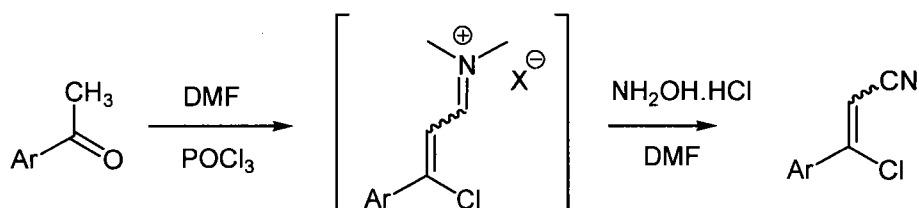


Schéma 8

A la vue de la littérature, nous avons décidé ne pas utiliser les méthodes de Saednya et de Yadav puisqu'elle n'aboutissent pas systématiquement à la formation du nitrile. Travaillant par ailleurs sur la synthèse des 5-aryl-2-nitrothiophènes à partir des β -chloroacroléines, nous avons donc préféré une méthode plus systématique. Nous avons préparé donc les β -chloroacrylonitriles à partir des oximes des β -chlororoacroléines **14-25** précédemment synthétisées (Schéma 9).

4.2 Synthèse

La préparation des β -chloroacrylonitriles **26-37** se fait par déshydratation des oximes **14-25** dans l'anhydride acétique au reflux pendant 18 heures.

Les rendements obtenus sont moyens à très bons et sont présentés dans le Tableau 3. Cette méthode est très propre puisque les β -chloroacrylonitriles sont suffisamment purs en RMN pour être utilisé sans purifications supplémentaires.

¹³ Liebscher, J.; Neumann, B.; Hartmann, H. *J. Prakt. Chem.* **1983**, 325, 915.

²¹ Hartmann, H. *Synthesis* **1984**, 275.

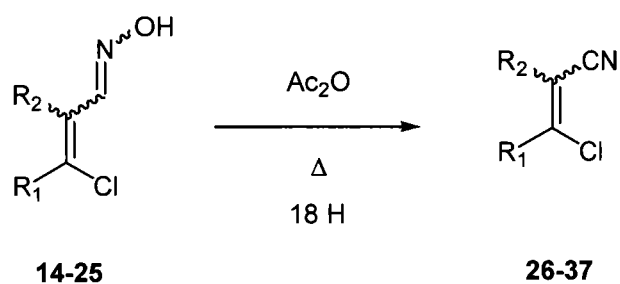
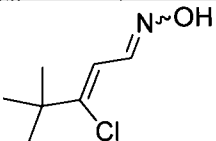
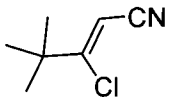
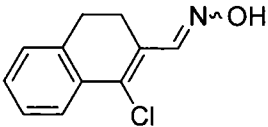
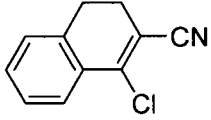
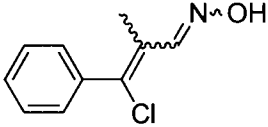
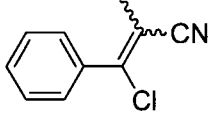
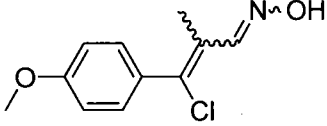
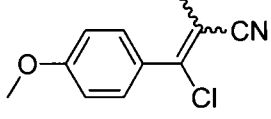
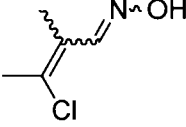
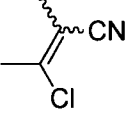


Schéma 9

Tableau 3 : Préparation des β -chloroacrylonitriles

Oxime	β -Chloroacrylonitrile	Composé	Rendement (%)
		26	93
		27	79
		28	91
		29	96
		30	77
		31	90
		32	85

Tableau 3 : Préparation des β -chloroacrylonitriles (suite)

Oxime	β -Chloroacrylonitrile	Composé	Rendement (%)
		33	77
		34	95
		35	88
		36	93
		37	50

4.3 Conclusion

Nous avons synthétisé avec succès les β -chloroacrylonitriles **26-37**. Ils vont servir pour la synthèse de nombreux hétérocycles comme les 3-aminothiophènes, les 3-aminosélenophènes et les 7-hydroxythiéno[3,2-*b*]pyridin-5(4*H*)-ones.

5. Préparation des 3-amino-2-cyanothiophènes substitués

5.1 Bibliographie

Les 3-amino-2-cyanothiophènes nous serviront comme produit de départ pour la synthèse des thiéno[3,2-*b*]quinoléïnes. Il n'y a pas beaucoup d'exemples dans la littérature de 3-amino-2-cyanothiophènes, c'est pourquoi nous commencerons notre étude bibliographique par les 3-aminothiophènes. Leur préparation peut se faire par plusieurs méthodes :

◆ Avec les thioglycolates d'alkyle :

Les thioglycolates d'alkyle ont été utilisés pour la première fois par Fiesselmann²². La condensation du thioglycolate de méthyle sur un 2,3-dihalogénoacrylonitrile en présence de méthanolate donne accès au 3-aminothiophène-2-carboxylate de méthyle (Schéma 10).

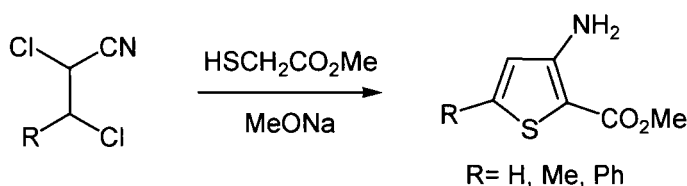


Schéma 10

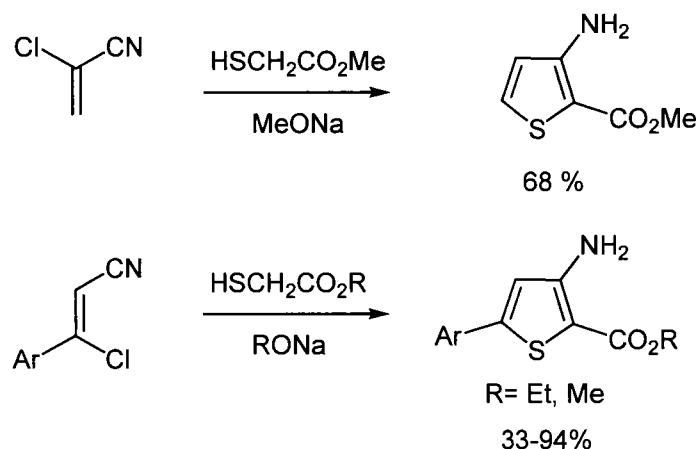
La méthode de Fiesselmann a ensuite évolué. Les thioglycolates d'alkyle peuvent être condensés sur des α -chloroacrylonitriles toujours en présence d'alcoolate^{21,23} (Schéma 11).

²¹ Hartmann, H. *Synthesis* **1984**, 275.

²² Fiesselmann, H. *Angew. Chem.* **1959**, 377.

²³ Huddleston, P.; Barker, J. *Synthetic Communications*, **1979**, 9, 731.

Cette méthode a été reprise et les 3-aminothiophène-2-carboxylates étaient utilisés comme produits de départ pour construire des molécules biologiquement actives.^{15,24}



◆ Avec l'acétylmercaptoacétonitrile :

Pour obtenir, les 3-amino-2-cyanothiophènes, l'acétylmercaptoacétonitrile est utilisé plutôt que le sulfanylacétonitrile qui n'est pas stable. En effet, le sulfanylacétonitrile peut polymériser ou être oxydé en disulfure en milieu basique.²⁵

L'acétylmercaptoacétonitrile est condensé avec l' α -chloroacrylonitrile en milieux alcalin et donne le 3-amino-2-cyanothiophène avec un rendement faible (Schéma 12).^{26,27}



¹⁵ Migianu, E.; Kirsch, G.; *Synthesis* **2002**, 1096.

²⁴ (a) L. Brault, E. Migianu, A. Néguesque, E. Battaglia, D. Bagrel, G. Kirsch *Eur. J. Med. Chem.* **2005**, *40*, 757. (b) Romagnoli, R.; Baraldi, P.G.; Remusat, V.; Carrion, M.D.; Cara, C.L.; Preti, D.; Fruttarolo, F.; Pavani, M. G.; Tabrizi, M.A.; Tolomeo, M.; Grimaudo, S.; Balzarini, J.; Mary, A.J.; Hamel, E. *J. Med. Chem.* **2006**, *49*, 6425. (c) Hertzog, D.L.; Al-Barazanji, K.A.; Bigham, E.C.; Bishop, M.J.; Britt, C.S.; Carlton, D.L.; Cooper, J.P.; Daniels, A.J.; Garrido, D.M.; Goetz, A.S.; Grizzle, M.K.; Yu C. Guo, Handlon, A.L.; Ignar, D.M.; Morgan, R.O.; Peat, A.P.; Tavares, F.X.; Zhou, H. *Bioorg. Med. Chem. Lett.* **2006**, *16*, 4723. (d) Andersen, H.S.; Olsen, O.H.; Iversen, L.F.; Soerensen, A.L.P.; Mortensen, S.B.; Christensen, M.S.; Branner, S.; Hansen, T.K.; Lau, J.F.; Jeppesen, L.; Moran, E.J.; Su, J.; Bakir, F.; Judge, L.; Shahbaz, M.; Collins, T.; Vo, T.; Newman, M.J.; Ripka, W.C.; Møller, N.P.H. *J. Med. Chem.* **2002**, *45*, 4443.

²⁵ Mathias, E.; Shimanski, M. *J. Chem. Soc.* **1981**, 569.

²⁶ Vega, S.; Gil, M.S. *J. Heterocyclic. Chem.* **1991**, *28*, 945.

²⁷ Ren, W.Y.; Rao, K.V.B.; Klein, R.S. *J. Heterocyclic. Chem.* **1986**, *23*, 1757.

L'acétylmercaptoacétonitrile a été aussi utilisé avec des propenenitriles à -78°C en milieu alcalin EtONa/ EtOH. Cette méthode donne de bons rendements 76-78% (Schéma 13).^{276,28}

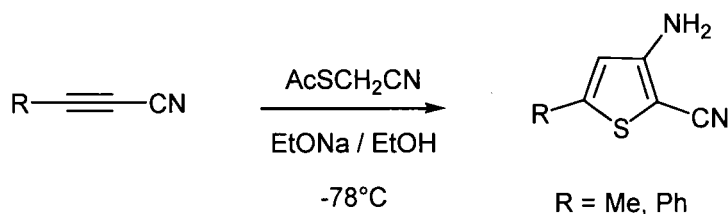


Schéma 13

◆ Avec le sulfure de sodium nonahydraté :

La synthèse des 3-amino-2,4-dicyanothiophènes a été aussi bien étudiée. En 1992, Gewald et coll. ont décrit une synthèse multi étape à partir du α -(chlorobenzylidène)malononitrile. Ce dernier réagit avec le sulfure de sodium nonahydraté, puis le chloroacétonitrile pour donner accès au 3-amino-2,4-dicyano-5-phénylthiophène²⁹ (Schéma 14).

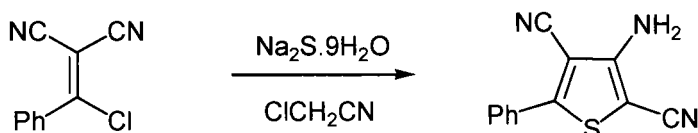


Schéma 14

Enfin, au laboratoire, les 3-aminothiophène-2-carboxylates d'éthyle ont été préparés dans une synthèse « one pot » à partir de β -chloroacrylonitriles, du sulfure de sodium nonahydraté, du bromoacétate d'éthyle et d'éthanolate de sodium^{6,7} (Schéma 15).



Schéma 15

⁶ Kirsch, G.; *Thèse d'État*, Université de Metz **1985**, 50.

⁷ Migianu, E.; *Thèse*, Université de Metz **2002**.

²⁶ Vega, S.; Gil, M.S. *J. Heterocyclic. Chem.* **1991**, *28*, 945.

²⁸ Lim, M.I.; Ren, W.Y.; Klein, R.S. *J. Org. Chem.* **1982**, *47*, 4594.

²⁹ Gewald, K.; Hain, U. *Monatsh. Chem.* **1992**, *123*, 455.

À la vue de la bibliographie, nous avons choisi d'utiliser cette dernière méthode déjà employée au laboratoire pour préparer les 3-amino-2-cyanothiophènes **38-43**. Nous avons adapté les conditions de réaction et remplacé le bromoacétate d'éthyle par le chloroacétonitrile (Schéma 16).

5.2 Synthèse

Le sulfure de sodium nonahydraté mis en suspension dans le DMF réagit sur le β -chloroacrylonitrile pour former le thiolate intermédiaire. Ce dernier réagit avec le chloroacétonitrile et effectue une alkylation de Gomper.³⁰ L'éthanolate de sodium permet ensuite la cyclisation du thiophène (Schéma 16). Nous avons obtenu aussi les thiophènes **38-43** avec des rendements variant entre 54 et 95% (Tableau 4).³¹ Cette méthode est très efficace, puisque les rendements sont bons et la réaction a été réalisée sans difficultés. De plus, les thiophènes obtenus sont très propres. En effet, les composés **38-43** sont utilisés pour le reste de la synthèse sans purification supplémentaire.

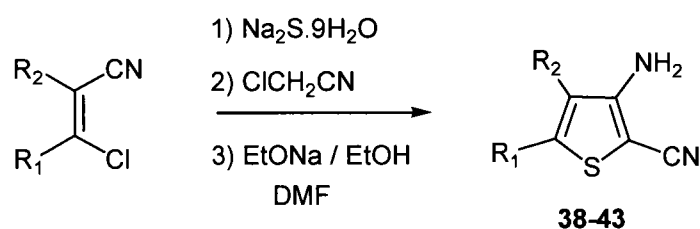


Schéma 16

³⁰ Gomper, R. *Angew Chem.* **1961**, *73*, 537

³¹ Thomae, D.; Kirsch, G.; Seck, P. *Synthesis* **2007**, 1027

5.3 Mécanisme

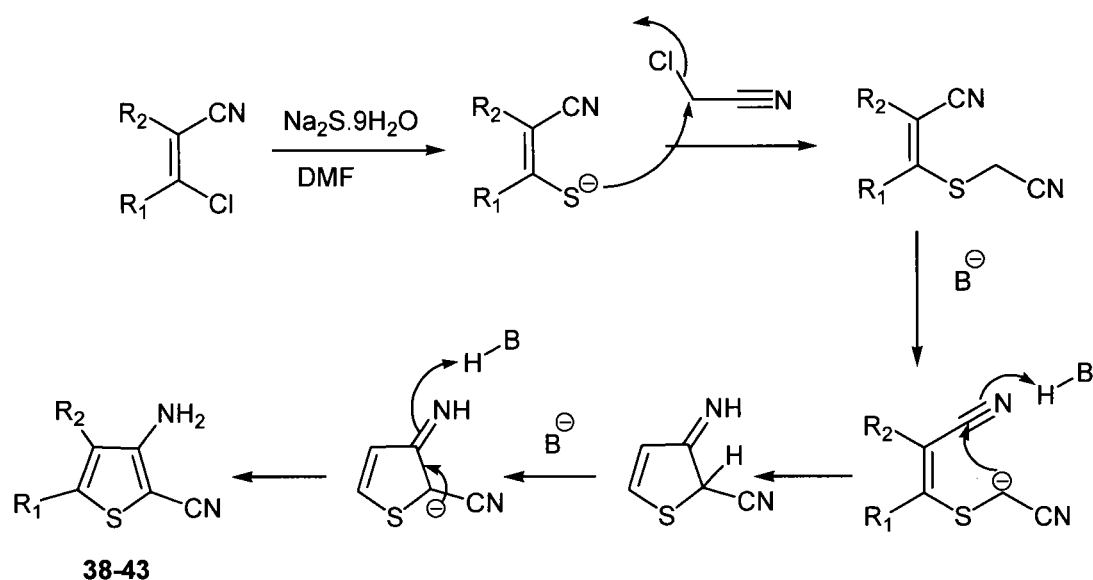


Schéma 17

Tableau 4 : Préparation des 3-amino-2-cyanothiophènes substitués.

β -Chloroacrylonitrile	3-Amino-2-cyanothiophènes	Composé	Rendement (%)
		38	68
		39	93
		40	95
		41	95
		42	70
		43	54

5.4 Conclusion

L'utilisation du sulfure de sodium s'est révélée très utile pour insérer le groupement cyano en position 2 du thiophène. Nous avons donc décidé d'étendre cette méthode au séléniure de sodium. Les thiophènes synthétisés seront utilisés par la suite dans la réaction de Friedländer.

6. Synthèse des 3-amino-2-cyanosélénophènes substitués

6.1 Bibliographie

Ces 25 dernières années, l'intérêt pour la chimie du sélénium est grandissant.³² Cet intérêt est dû aux propriétés de l'atome de sélénium. Ce dernier se retrouve dans des molécules à propriétés antioxydantes,³³ anti-tumorales.³⁴ On trouve même le sélénium dans l'alimentation.³⁵

Plusieurs méthodes existent pour synthétiser des 3-aminosélénophènes :

- Au laboratoire, Geoffroy Sommen avait préparé des sélénophènes à partir de cétènes dithioacétals avec de faibles rendements. (Schéma 18).^{36,37}

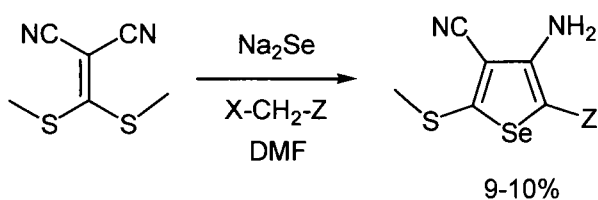


Schéma 18

³² (a) Rheinbolt, H. Houben-Weyl, *Methoden der organischen Chemie, Schwefel-, Selen-, Tellur-Verebindungen*, Muller E., éd., Georg Thiem Verlag, Stuttgart, 1967, Vol. IX. (b) Klayman, D.L.; Günther, W.H.H *Organic selenium compounds: Their Chemistry and Biology*, éd. John Wiley & Sons Inc., Chichester, 1973. (c) Paulmier, C. *Selenium Reagents and Intermediates in Organic Synthesis*; Baldwin J.E., éd: Pergamon Press, Oxford, 1986, Vol 4. (d) Patai, S.; Rappoport Z. *The chemistry of Organic Selenium and Tellurium Compounds*, éd. John Wiley and Sons Inc, Chichester, 1987, Vol. 2. (e) Mughesh, G.; Du Mont, W.W.; Sies, H. *Chem. Rev.* **2001**, *101*, 2125 (f) Sharpless, K.B.; Gordon, K.M., Lauer, R.F.; Patrick, D.W.; Singer, S.P.; Young, M.W.; *Chem Scr.* **1975**, *8A*, 9.

³³ Suzuki, K.T.; Tsuji, Y.; Ohta, Y.; Suzuki, N. *Toxicol. Appl. Pharm.* **2008**, *227*, 76.

³⁴ (a) Ip, C.; Lisk, D.J. *Carcinogenesis* **1996**, *15*, 1881. (b) Lu, J.; Pei, H.; Ip, C.; Lisk, D.J. *Carcinogenesis* **1996**, *17*, 1903.

³⁵ Arnault, J.; Auger, J. *J. Chromatogr. A* **2006**, *1112*, 23.

³⁶ Sommen, G.; Comel, A.; Kirsch, G. *Synlett.* **2003**, 855.

³⁷ Sommen, G. *Thèse Université de Metz*, **2003**.

- Gewald et coll. ont préparé des 3-aminosélénophènes à partir d' α -chlorobenzylidène)malononitriles, de d'hydrogénosélénure de sodium préparé in-situ et d'halogènes activés (Schéma 19).²⁹

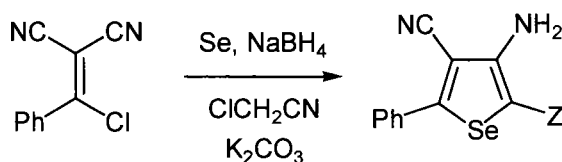


Schéma 19

- Dyachenko et coll. utilisent les 2-sélénoxo-1,2-dihydro-3-pyridinecarbonitriles³⁸ ou les 3-cyano-1,4-dihydropyridine-2-selenolates³⁹ pour obtenir des 3-aminosélénophéno[2,3-*b*]pyridines (Schéma 20).

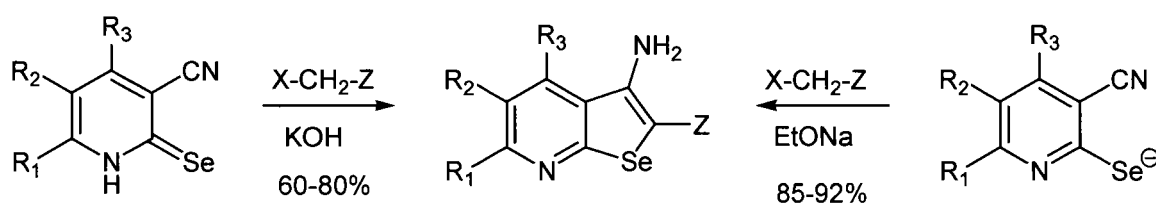


Schéma 20

Toutes ces méthodes requièrent l'utilisation d'un sélénure. Il est obtenu par réduction du sélénium élémentaire. De nombreuses méthodes existent dans la littérature pour réduire le sélénium.⁴⁰ Nous utiliserons celle qui était traditionnellement utilisée au laboratoire puisqu'elle permet d'obtenir le sélénure de sodium par simple filtration.^{37,38}

²⁹ Gewald, K.; Hain, U. *Monatsh. Chem.* **1992**, *123*, 455.

³⁷ Sommen, G. *Thèse Université de Metz*, **2003**.

³⁸ Dyachenko, V.D.; Sharanin, Yu.A.; Shestopalov, A.M.; Rodinovskaya, L.A.; Turov, A.V. *J.Gen.Chem.USSR* **1990**, *60*, 2131.

³⁹ (a) Dyachenko, V. D.; Sharanin, Yu. A. *J.Gen.Chem.USSR* **1991**, *61*, 861. (b) Litvinov, V.P; Mortikov, V.Y.; Sharanin, Y.A.; Shestopalov, A.M. *Synthesis*, **1985**, 98.

⁴⁰ (a) Brandsma, L.; Wijers, H.E. *Recl. Trav. Chim.* **1963**, *82*, 68. (b) Bird, M.L.; Challengers, F. *J.Chem. Soc.* **1942**, 570. (c) Klayman, D.L.; Griffin, T.S. *J. Am. Chem. Soc.* **1973**, *95*, 197. (d) Gladysz, J.A.; Hornby, J.L.; Garbe, J.E. *J. Org. Chem.* **1978**, *43*, 1204. (e) Bergman, J.; Engman, L. *Synthesis*, **1980**, 569.

Au paragraphe précédent, nous avons montré les grandes possibilités de synthèse que permet le sulfure de sodium. Au laboratoire, l'utilisation du sélénure de sodium avec les β -chloroacroléines a déjà permis la synthèse de sélénophènes.^{10b,41} Nous allons donc utiliser le sélénure de sodium et les β -chloroacrylonitriles et les faire réagir avec le chloroacétonitrile. Cela va nous permettre d'obtenir des nouveaux 3-amino-2-cyanosélénophènes.

6.2 Synthèse

Le sélénure de sodium fraîchement préparé est filtré et mis en suspension dans le DMF. On ajoute ensuite le β -chloroacrylonitrile pour former le sélénate intermédiaire. Celui-ci réagit avec le chloroacétonitrile puis l'éthanolate de sodium permet la cyclisation du sélénophène (Schéma 21 et 22). Les 3-amino-2-cyanosélénophènes substitués **44-49** ont été obtenus avec de bons rendements variant entre 64 et 80% (Tableau 5).⁴² Cette méthode est très efficace puisque la réaction a été réalisée sans difficultés avec des quantités préparées pouvant aller jusqu'à 15g. De plus, les sélénophènes obtenus sont très propres. Les composés **44-49** seront utilisés pour le reste de la synthèse sans purification supplémentaire.

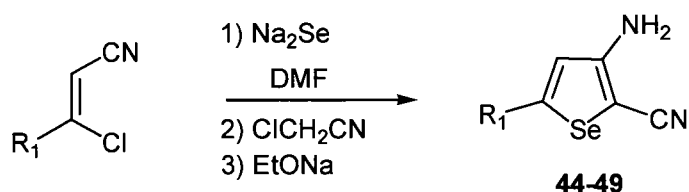


Schéma 21

Mécanisme :

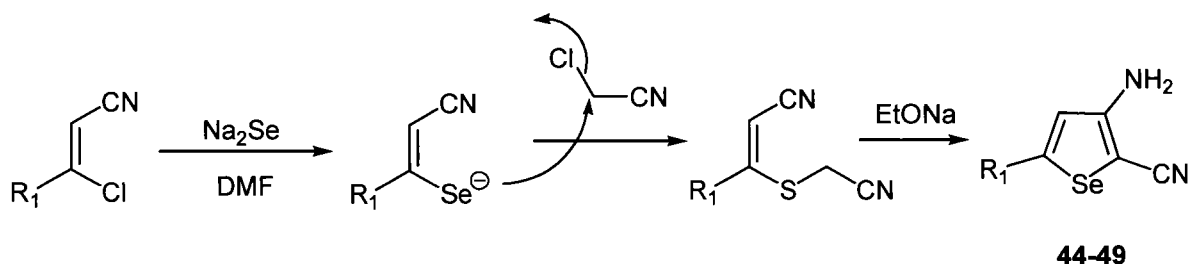


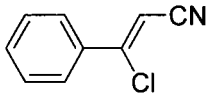
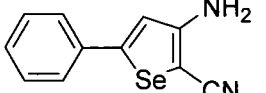
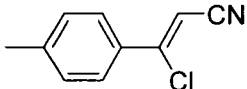
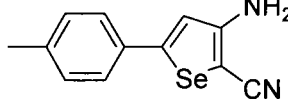
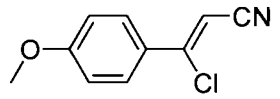
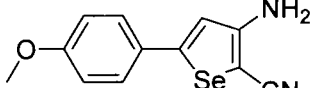
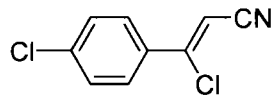
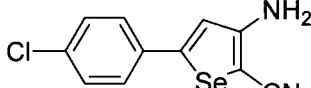
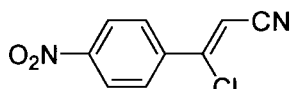
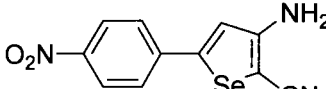
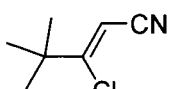
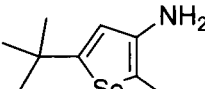
Schéma 22

^{10b} Prim, D.; Joseph, D.; Kirsch, G. *Phosphorus, Sulfur Silicon Relat. Elem.* **1994**, *91*, 137

⁴¹ (a) Cagniant, P.; Perin, P.; Kirsch, G., Cagniant, D. *C. R. Hebd. Seances Acad. Sci. Ser. C* **1973**, *277*, 37. (b) Cagniant, P.; Perin, P.; Kirsch, G., Cagniant, D. *C. R. Hebd. Seances Acad. Sci. Ser. C* **1974**, *279*, 851.

⁴² Thomae, D.; Kirsch, G.; Seck, P. *Synthesis* **2008**, 1600.

Tableau 5 : Synthèse des 3-amino-2-cyanosélenophènes substitués

β -Chloroacrylonitrile	3-Amino-2-cyanosélenophènes	Composé	Rendement (%)
		44	64
		45	76
		46	80
		47	77
		48	77
		49	68

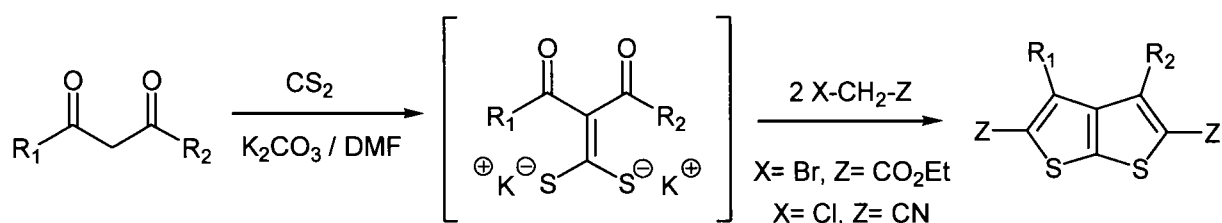
6.3 Conclusion

L'utilisation du sélénure de sodium s'est révélée très pratique pour placer le sélénium dans le cycle et insérer le groupement cyano en position 2 du sélenophène. Les composés synthétisés seront utilisés par la suite dans la réaction de Friedländer.

7. Synthèse du 3,4-diamino-2,5-dicyanothiéno[2,3-*b*]thiophène

7.1 Bibliographie

Les thiéno[2,3-*b*]thiophènes substitués et leurs méthodes de préparation sont connues depuis les années 1960. Ces composés ont été étudiés et développés dans le cadre de différents projets pharmaceutiques. En fonction de la nature des substituants, ils peuvent avoir des activités antivirales,⁴³ antibiotiques,⁴⁴ et analgésiques.⁴⁵ La synthèse des thiéno[2,3-*b*]thiophènes est bien décrite dans la littérature. Gomper et coll. ont décrit en premier la préparation de ces composés à partir des cétènes thioacétals. La méthode a été améliorée et a fait l'objet de plusieurs publications.⁴⁶ Au laboratoire, les thiophènes condensés faisaient également partie des axes de recherches⁴⁷ et la synthèse des thiéno[2,3-*b*]thiophènes substitués y a été développée par notre équipe (Schéma 23).⁴⁸



7.2 Synthèse

Nous avons reproduit la méthode décrite par le laboratoire. Le malononitrile est placé en présence de carbonate de potassium de sulfure de carbone. Le dithiolate ainsi formé réagit avec deux équivalents de chloroacétonitrile pour former le 3,4-diamino-2,5-dicyanothiéno[2,3-*b*]thiophène **50**. Le rendement obtenu est de 50% seulement, ce qui est inférieur à ceux obtenus dans la littérature.⁴⁸ Cette réaction n'a été réalisée qu'une seule fois

⁴³ Peters, D.; Hörmfeldt, A.B.; Gronowitz, S. *J. Heterocyclic Chem.* **1990**, *27*, 2165.

⁴⁴ Kukulja, S.; Draheim, S.E.; Graves, B.J.; Hunden, J. Pfeil L.; Cooper, R.D.G; Ott, J.L.; Couter, F.T. *J. Med. Chem.* **1995**, *28*, 1896.

⁴⁵ Fabre, D.; Farge, D.; James, C. DE 2,703,624; **1976**; *Chem Abstr.*, *87*, 168000v.

⁴⁶ (a) Briel, D. *Pharmazie* **1990**, *45*, 895. (b) Rudorf, W.D.; Köditz, J.; Tersakian, A. Chatterjee, S.K. *Liebigs. Ann. Chem.* **1992**, 387. (c) El-Shafei, A.K.; El-Saghier, A.M.M.; Sultan, A.; Soliman, A.M. *Phosphorus Sulfur* **1992**, *72*, 73. (e) El-Shafei, A.K.; Abdel-Ghany, A.H.; Sultan, A.; El-Saghier, A.M.M. *Phosphorus Sulfur* **1992**, *72*, 15. (f) El-Saghier, A.M.M *Bull. Chem. Soc. Jpn.* **1993**, *23*, 2704.

⁴⁷ Prim. D.; Kirsch, G. *J. Chem. Soc., Perkin Trans. 1* **1994**, 2603.

⁴⁸ Comel, A.; Kirsch, G. *J. Heterocyclic Chem.* **2001**, *38*, 1167.

car la quantité de matière obtenue suffisait pour la suite de la synthèse. Nous n'avons pas répété cette réaction afin d'améliorer le rendement (Schéma 24).

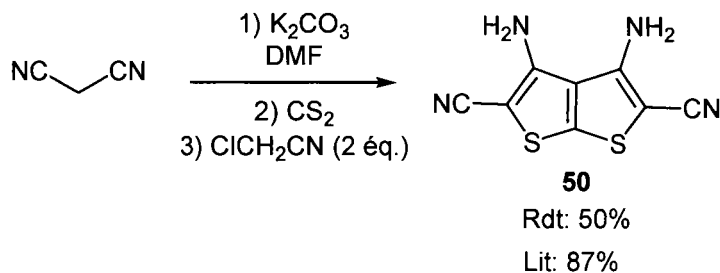


Schéma 24

7.3 Conclusion

Nous avons reproduit la synthèse du 3,4-diamino-2,5-dicyanothieno[2,3-*b*]thiophène. Le rendement obtenu est moyen mais suffisant pour le reste de la synthèse. Ce composé servira de précurseur pour obtenir des bis-thiénoquinoléines.

8. Synthèse des 3-amino-4-cyanothiophènes substitués

8.1 Bibliographie

Dans la littérature, les 3-amino-4-cyanothiophènes sont obtenus de plusieurs façons :

- à partir du α -(chlorobenzylidène)malononitrile, du sulfure de sodium et un halogénure activé (Schéma 25).²⁹

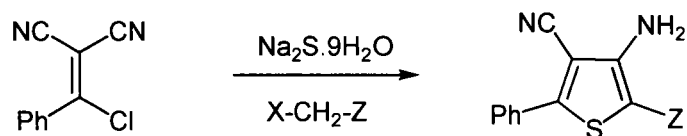


Schéma 25

- à partir du malononitrile en présence de base qui réagit avec le sulfure de carbone⁴⁹ ou un isothiocyanate^{50, 51, 52} puis avec un halogénure activé pour former les 3-amino-4-cyanothiophènes substitués (Schéma 26).

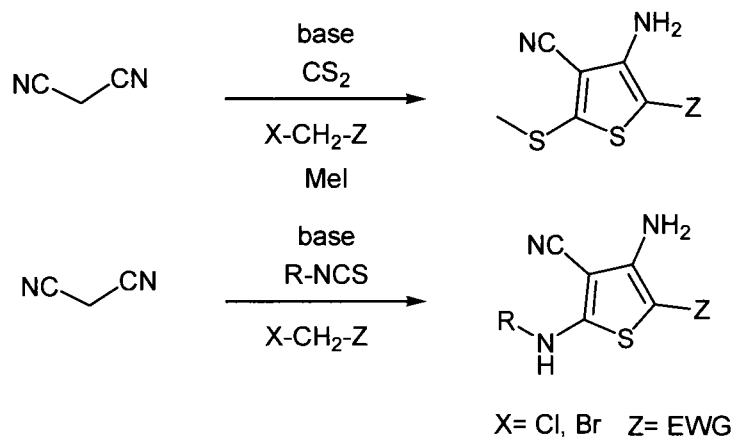


Schéma 26

- ou à partir des cétènes dithioacétals⁵³ ou des cétènes N,S acétals en présence de sulfure de sodium et d'un halogénure activé ou en présence d'un thioglycolate d'alkyle (Schéma 27).⁵⁴

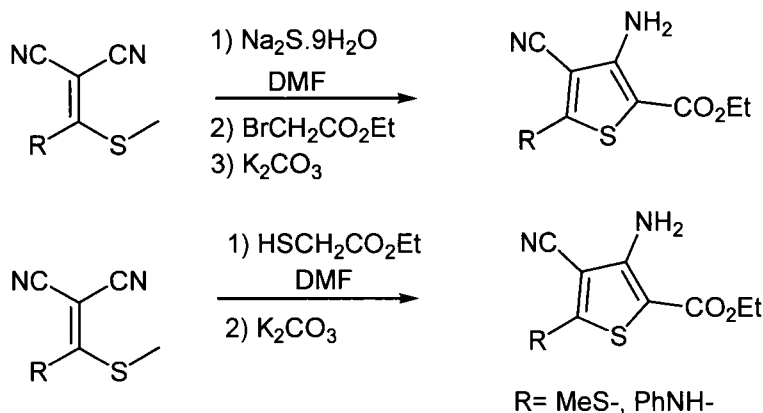


Schéma 27

²⁹ Gewald, K.; Hain, U. *Monatsh. Chem.* **1992**, *123*, 455.

³⁶ Sommen, G.; Comel, A.; Kirsch, G. *SynLett.* **2003**, 855.

³⁷ Sommen, G. *Thèse Université de Metz*, **2003**.

⁴⁹ (a) Khalil, Z.H.; Yanni, A.S.; Gaber, A.M.; Abdel-Mohsen, Sh.A. *Phosphorus, Sulfur Silicon Relat. Elem.* **2000**, *162*, 65. (b) Fuentes, J.; Molina, J.L.; Pradera, M.A. *Tetrahedron Asymmetry* **1998**, *9*, 2517. (c) Chiba, T.; Sato, H.; Kato, T. *Chem. Pharm. Bull.* **1983**, *37*, 2480. (d) El-Shafei, A.K.; Abdel-Ghany, H.A.; Sultan, A.A.; El-Saghier, A.M.M. *Phosphorus, Sulfur Silicon Relat. Elem.* **1992**, *73*, 15. (e) Luteijn, J.M.; Dolman, H.; Wals, H.C. *Tetrahedron* **1988**, *44*, 5921. (f) Chiba, T.; Sato, H.; Kato, T. *Chem. Pharm. Bull.* **1982**, *30*, 3548.

⁵⁰ (a) Gewald, K.; Hain, U.; Schmidt, M.; *J. Prakt. Chem.* **1986**, *328*, 459. (b) Fedorov, A.E.; Shestopalov, A.M.; Belyakov, P.A. *Russ. Chem. Bl.* **2003**, *52*, 2063.

⁵¹ Sommen, G.; Comel, A.; Kirsch, G. *Tetrahedron* **2003**, *59*, 1557.

⁵² Sommen, G.; Comel, A.; Kirsch, G. *Synlett* **2001**, 1731.

⁵³ Sommen, G.; Comel, A.; Kirsch, G. *Synthesis* **2003**, 735.

⁵⁴ Sommen, G.; Comel, A.; Kirsch, G. *Tetrahedron Lett.* **2002**, *43*, 257.

8.2 Synthèse

Les cétènes dithioacétals et leurs potentiels synthétiques ont été largement décrits dans la littérature⁵⁵ et notamment par Junjappa.⁵⁶ De plus, ce thème a fait l'objet d'une thèse³⁷ et de quelques publications^{36,51-54} au sein du laboratoire.

La voie que nous avons choisie de suivre consiste à utiliser le 2-[bis(méthylsulfanyl)méthylène]malononitrile **51** comme produit de départ. Ceci présente plusieurs avantages :

- il est facile à préparer à partir du malononitrile ; le cétène **51** est obtenu avec un rendement de 92% (Schéma 28).
- il est le même précurseur pour quatre thiophènes différents **52-55**, ce qui constitue le plus grand avantage (Schéma 29).

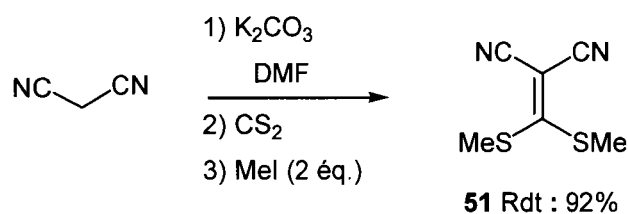


Schéma 28

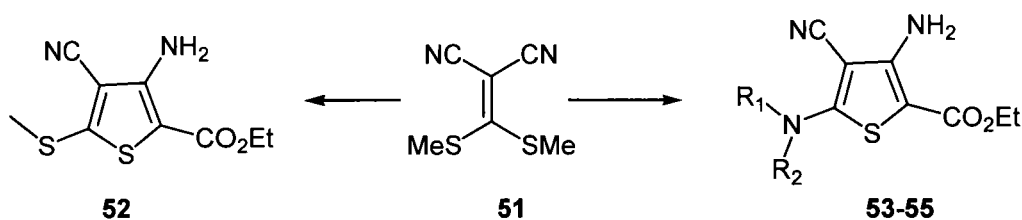


Schéma 29

⁵¹ Sommen, G.; Comel, A.; Kirsch, G. *Tetrahedron* **2003**, *59*, 1557.

⁵² Sommen, G.; Comel, A.; Kirsch, G. *Synlett* **2001**, 1731.

⁵³ Sommen, G.; Comel, A.; Kirsch, G. *Synthesis* **2003**, 735.

⁵⁴ Sommen, G.; Comel, A.; Kirsch, G. *Tetrahedron Lett.* **2002**, *43*, 257.

⁵⁵ (a) Kolb, M. *Synthesis*, **1990**, 171. (b) Tominaga, Y. *J. Heterocyclic. Chem.* **1989**, *26*, 1167. (c) Yokoyama M., Togo, H.; Kondo, S. *Sulfur Reports* **1990**, *10*, 23.

⁵⁶ (a) Gupta, A. K.; Ila, H.; Junjappa, H. *Tetrahedron Lett.* **1988**, *29*, 6633. (b) Gupta, A. K.; Ila, H.; Junjappa, H. *Tetrahedron* **1990**, *46*, 2561. (c) Gupta, A. K.; Ila, H.; Junjappa, H. *Tetrahedron* **1990**, *46*, 3703. (d) Singh, O.M.; Junjappa, H. Ila, H. *J. Chem. Soc. Perkin Trans 1* **1997**, 3561. (e) Barun, O.; Patra, P.K.; Ila, H.; Junjappa, H. *Tetrahedron Lett.* **1999**, *40*, 3797. (f) Kishore, K., Reddy, K.R.; Suresh, J.R.; Ila, H.; Junjappa, H. *Tetrahedron* **1999**, *55*, 7645. (g) Basveshwar Rao, M.V.; Syam Kumar, U.K.; Junjappa, H. *Tetrahedron* **1999**, *55*, 11563. (h) Mehta, B.K.; Nandi, S.; Ila, H.; Junjappa, H. *Tetrahedron* **1999**, *55*, 12843. (i) Barun, O.; Mohanta, P.K.; Ila, H.; Junjappa, H. *Synlett* **2000**, 653.

Le 3-amino-4-cyano-5-(méthylsulfanyl)thiophène-2-carboxylate d'éthyle **52** est préparé à partir du cétène **51** en présence de thioglycolate d'éthyle et de carbonate de potassium. Le rendement est de 59% (Schéma 30).

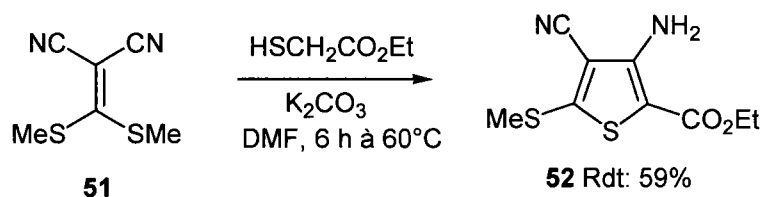


Schéma 30

Pour la synthèse des 3-amino-4-cyanothiophènes **53-55**, une autre stratégie est envisagée. Dans la littérature, la substitution du groupement méthylsulfanyle par une amine est bien décrite.⁵⁷ Cela conduit à des cétène N,S acétals qui sont utilisés pour former des hétérocycles. Ainsi nous pouvons imaginer la synthèse de 3-amino-4-cyanothiophènes substitués en position 5 par des amines secondaires comme la morpholine, la benzylpipérazine ou la pyrrolidine. L'intérêt d'utiliser le cétène **51** et de le substituer avant de construire le thiophène, ce permet d'éviter une réaction de substitution nucléophile aromatique.

Nous proposons une stratégie un peu plus évoluée. En effet, nous proposons de combiner ces deux réactions en une seule. C'est-à-dire que la première étape de la synthèse est une addition de Michaël avec une amine secondaire sur le cétène **51**, le cétène N,S acétal formé n'est pas isolé et nous formons le thiophène en utilisant le thioglycolate d'éthyle (Schéma 31, Méthode A) ou le sulfure de sodium avec du bromoacétate d'éthyle (Schéma 32, Méthode B). Dans la bibliographie, il n'y a qu'une référence où la synthèse de 2,4,-diaminothiophènes est réalisée en une seule réaction en phase solide.⁵⁸

⁵⁷ (a) Yokoyama, M.; Tohnishi, M.; Kurihara, A.; Imamoto, T. *Chem. Lett.* **1982**, 1933. (b) Tominaga, Y.; Honkawa, Y.; Hara, M.; Hosomi, A. *J. Heterocycl. Chem.* **1990**, *27*, 775. (c) Pohl, M.; Bechstein, U.; Paetzl, M.; Liebscher, J.; Jones, P.G. *J. Prakt. Chem.* **1992**, *334*, 630. (d) Hosomi, A.; Miyashiro, Y.; Yoshida, R.; Tominaga, Y.; Yanagi, T.; Hojo, M. *J. Org. Chem.* **1990**, *55*, 5308.

⁵⁸ Stephensen, H.; Zaragoza, F.; *J. Org. Chem.* **1997**, *62*, 6096.

Méthode A :

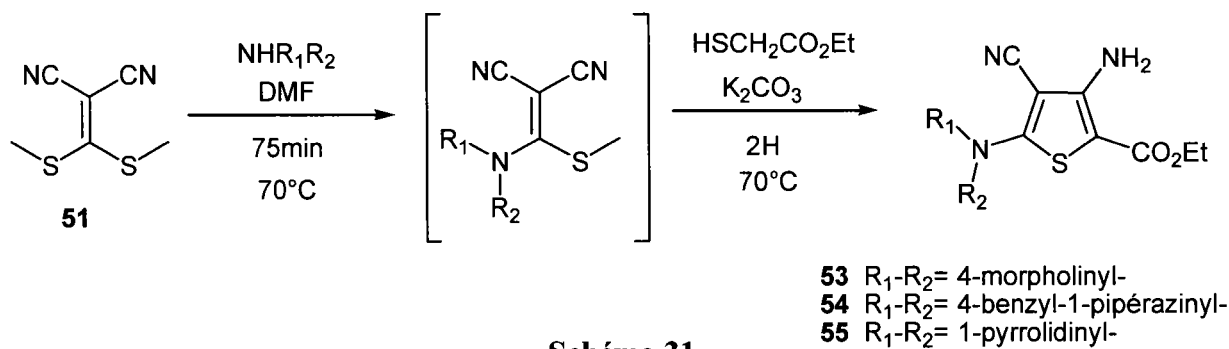


Schéma 31

Avec la méthode A, le thioglycolate d'éthyle substitue le groupement méthylsulfanyl du cétène N,S-acétal intermédiaire et le carbonate de potassium permet la cyclisation du thiophène (Schéma 31). Les thiophènes **53**, **54** et **55** sont obtenus avec des rendements respectifs de 28, 40 et 80% (Tableau 6).

Méthode B :

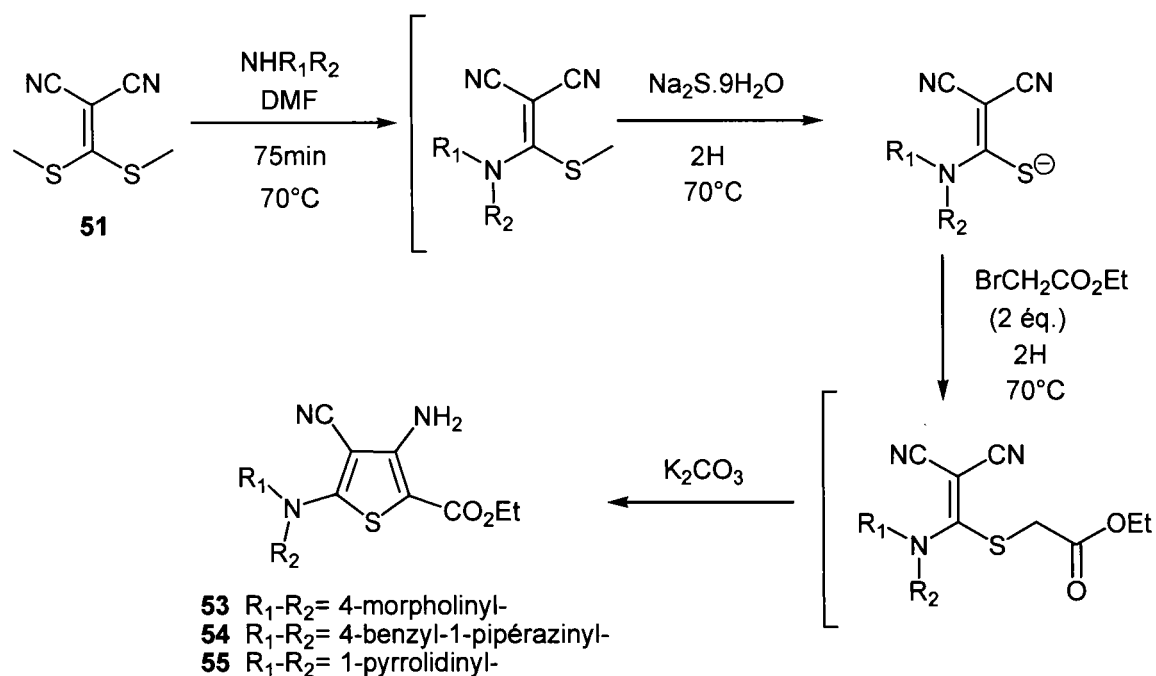


Schéma 32

Avec la méthode B, le sulfure de sodium réagit avec le cétène N,S acétal intermédiaire pour former le thiolate. Ensuite, le bromoacétate d'éthyle est ajouté et le carbonate de sodium permet la cyclisation du thiophène (Schéma 32). Pendant cette réaction, deux équivalents de méthylthiol sont libérés successivement. Ainsi lorsqu'on utilise la méthode B, le méthylthiol

peut réagir avec le bromoacétate d'éthyle. Nous avons remarqué qu'il est préférable d'ajouter plusieurs équivalents de bromoacétate d'éthyle plutôt qu'un seul pour augmenter le rendement. Ainsi on peut choisir le nombre d'équivalents de bromoacétate d'éthyle. Comme il y a deux équivalents de méthylthiol dans le milieu, l'idéal serait d'ajouter 3 équivalents de bromoacétate d'éthyle. Pourtant, nous obtenons un mélange, entre les thiophènes attendus **53-54** et les composés **56-57**. Les proportions sont déterminées par RMN. Ainsi le 3-amino-4-cyanothiophène réagit avec le bromoacétate d'éthyle en excès (Schéma 33). En utilisant, deux équivalents ce phénomène ne se produit pas et nous obtenons seulement, les composés **52-54** avec des rendements respectifs de 43-77% (Tableau 6).

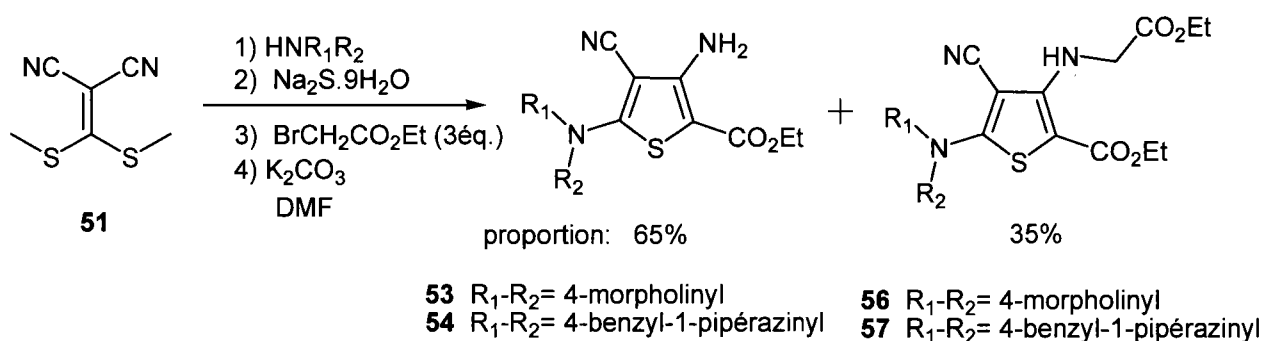


Schéma 33

Tableau 6 : Synthèse des 3-amino-4-cyanothiophènes

3-Amino-4-cyanothiophènes	Composé	Rendement (%)	
		Méthode A	Méthode B
	53	28	43
	54	40	50
	55	80	77

8.3 Conclusion

Nous avons synthétisé le thiophène **52** comme décrit dans la bibliographie. Nous avons aussi découvert une nouvelle méthode pour préparer les thiophènes **53-55** substitués en position 5 par une amine secondaire. Cette méthode est très simple et très rapide. De plus les rendements obtenus sont satisfaisants. Les thiophènes **52-55** seront utilisés par la suite pour préparer les thiéno[3,4-b]quinoléïnes.

9. Synthèse des 4-amino-5-cyano-1,3-thiazoles

9.1 Bibliographie

Les thiazoles sont bien décrits dans la littérature. On retrouve ce motif dans des produits naturels et dans des produits pharmaceutiques.⁵⁹ La synthèse des 4-amino-5-cyano[1,3]thiazoles se fait généralement à partir du sel de potassium du méthylcyano-dithiocarbonate (Schéma 34).⁶⁰

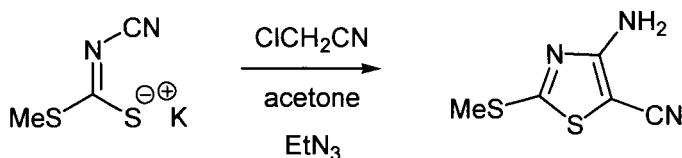


Schéma 34

⁵⁹ (a) Masquelin, T.; Obrecht, D. *Tetrahedron*, **2001**, *57*, 153. (b) Zabriskie, T. M.; Mayne, C. L.; Ireland, C. M. *J. Am. Chem. Soc.* **1988**, *110*, 7919. (c) Hara, M.; Asano, K.; Kawamoto, I.; Takiguchi, I.; Katsumata, S.; Takahashi, K.; Nakano, H. *J. Antibiot.* **1988**, *42*, 1768. (d) Crews, P.; Kakou, Y.; Quinoa, E. *J. Am. Chem. Soc.* **1988**, *110*, 4365. (e) Metzger, J. V. *Chemistry of Heterocyclic Compounds*; Wiley: New York, 1979; p 34. (f) Metzger, J. V. *In Thiazoles and their Benzo Derivatives*, Potts, K. T., Ed.; Pergamon: New York, 1984; Vol. 6.

⁶⁰ (a) Walek, W.; Pallas, M.; Augustin, M. *Tetrahedron*, 1976, *32*, 623. (b) Wobig, D. *Justus Liebigs Ann. Chem.* **1972**, 764, 125.

9.2 Synthèse

Au paragraphe précédent, nous avons réalisé la synthèse des 3-amino-4-cyanothiophènes substitués à partir du cétène **51**. Nous proposons de transposer cette méthode au thiazole en utilisant le diméthylcyanodithioimidocarbonate **58**. Comme indiqué dans la littérature,⁶¹ ce dernier est obtenu facilement à partir de la cyanamide (Schéma 35).

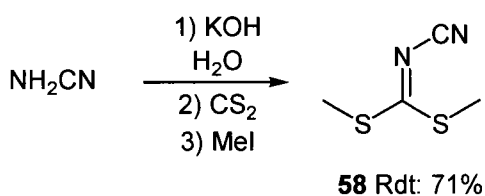
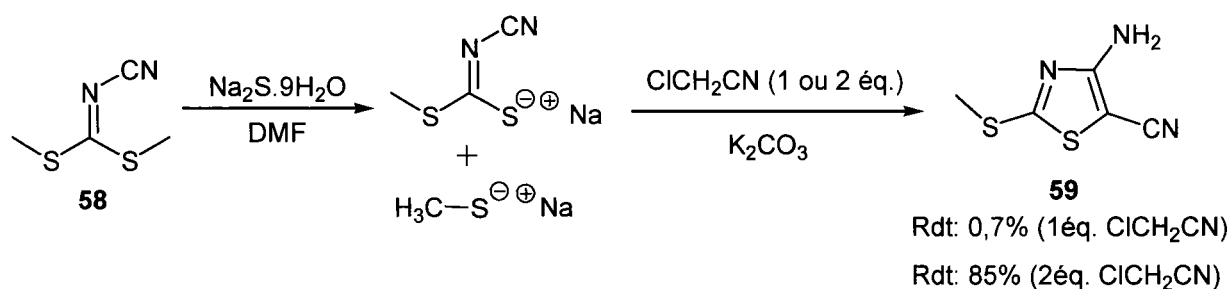


Schéma 35

Ensuite, le composé **58** est mis en réaction avec le sulfure de sodium, le thiolate formé réagit avec le chloroacétonitrile puis le carbonate de potassium permet la cyclisation du 4-amino-5-cyano-2-méthylsulfanyl-1,3-thiazole **59**. Lors de cette réaction, un équivalent de méthylthiolate de sodium est libéré. Quand un seul équivalent de chloroacétonitrile est utilisé, le rendement à la fin de la réaction est seulement de 0,7%. On peut donc supposer le chloroacétonitrile réagit préférentiellement avec le méthylthiolate de sodium plutôt qu'avec le thiolate formé. Cette hypothèse est confirmée par CCM. Nous avons donc relancé la réaction en utilisant cette fois 2 équivalents de chloroacétonitrile. Nous avons obtenu le thiazole **59** avec un rendement de 85% et sans produit secondaire (Schéma 36). Ceci confirme que l'équivalent de méthylthiolate relargué réagit d'abord avec le chloroacétonitrile puis c'est le thiolate qui réagit avec l'acétonitrile.

⁶¹ (a) Timmons, R.J.; Wittenbrook, L.S. *J. Org. Chem.* 1967, 32, 1566. (b) Buckman, J.; Pera, J.D.; Appling, J.W. U.S. Patent 2 881 071, 1959 *Chem. Abstr.*, **1959**, 53, 20678d (c) Yokoyama, M.; Kumata, K.; Yamada, N.; Noro, H.; Sudo, Y. *J. Chem. Soc. Perkin Trans. 1* **1988**, 2309. (d) Suyama, T.; Suzuki, N.; Nishimura, M.; Saitoh, Y.; Ohkoshi, H.; Yamaguchi, J.I. *Bull. Chem. Soc. Jpn.* **2005**, 78, 873. (e) Elgemeie, G.H.; Sood, S.A. *Synth. Commun.* **2006**, 36, 743. (f) Alqaradawi, S.Y.; Elgemeie, G.H. *Synth. Commun.* **2004**, 34, 805.



A partir du thiazole **59**, on peut synthétiser d'autres thiazoles en profitant de la labilité du groupement méthylsulfanyle en position 2 du thiazole. Comme décrit précédemment dans la littérature sur des composés similaires,⁶² la substitution nucléophile aromatique avec des amines secondaires a été réalisée. Le thiazole **59** est dissous dans 5 équivalents d'amine et la solution est chauffée au reflux pendant une nuit (Schéma 37). Les thiazoles **60** et **61** sont obtenus avec d'excellents rendements de 90 et 95% respectivement (Tableau 7, Méthode A).

Méthode A

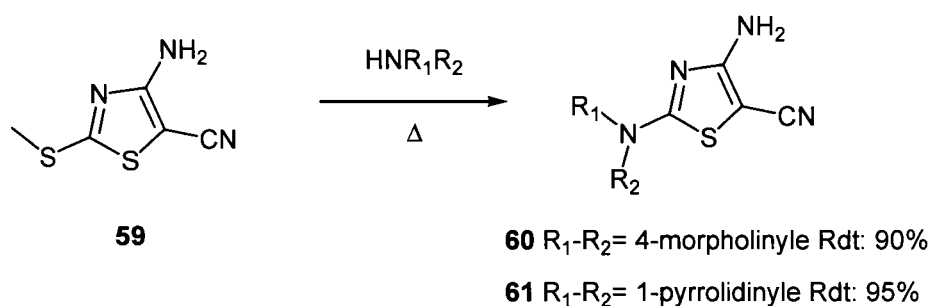


Schéma 37

Dans la littérature, Ried et coll. ont décrit la synthèse de thiazoles en deux étapes. La première est la substitution du diméthylcyanodithioimidocarbonate **58** par la morpholine. L'intermédiaire est isolé et réagit ensuite avec du thioglycolate d'éthyle pour former le

⁶² (a) Gewalt, K.; Schaefer, H.; Eckert, K.; Jeschke, T. *J. Prakt. Chem.* **1996**, 338, 206. (b) Gruner, M.; Rehwald, M.; Eckert, K.; Gewalt, K. *Heterocycles* **2000**, 53, 2363. (c) Walczynski, K.; Zuiderveld, O.P.; Timmerman, H. *Eur. J. Med. Chem.* **2005**, 40, 15. (d) Seybold, G.; Eilingsfeld, H. *Liebigs Ann. Chem.* **1979**, 9, 1271. (e) Eilingsfeld, H.; Swybold G. DE 2713573; **1978**

thiazole.⁶³ D'après ce que nous avons réalisé dans le paragraphe précédent, nous avons supposé que nous pouvions réunir ces deux étapes en une seule et même réaction séquentielle. Dans la bibliographie, il n'y a qu'une référence où les 2,4-diaminotiazoles sont synthétisés en une seule réaction en phase solide.⁶⁴

Ainsi, le diméthylcyanodithioimidocarbonate **58** est dissous dans le DMF, puis un équivalent d'amine est ajouté et le mélange est chauffé une heure à 70°C. Un équivalent de méthylthiol est relâché. Le sulfure de sodium est alors ajouté pour former le thiolate et un équivalent de méthylthiolate est relargué dans le milieu réactionnel. Le chloroacétonitrile est ensuite ajouté. Le carbonate de potassium permet la cyclisation (Schéma 38). Les thiazoles sont obtenus avec de bons rendements (Tableau 7, Méthode B). On remarque que les rendements sont meilleurs lorsqu'on utilise trois équivalents de chloroacétonitrile plutôt que deux. Le troisième équivalent réagit sûrement avec le méthylthiol relargué.

Méthode B

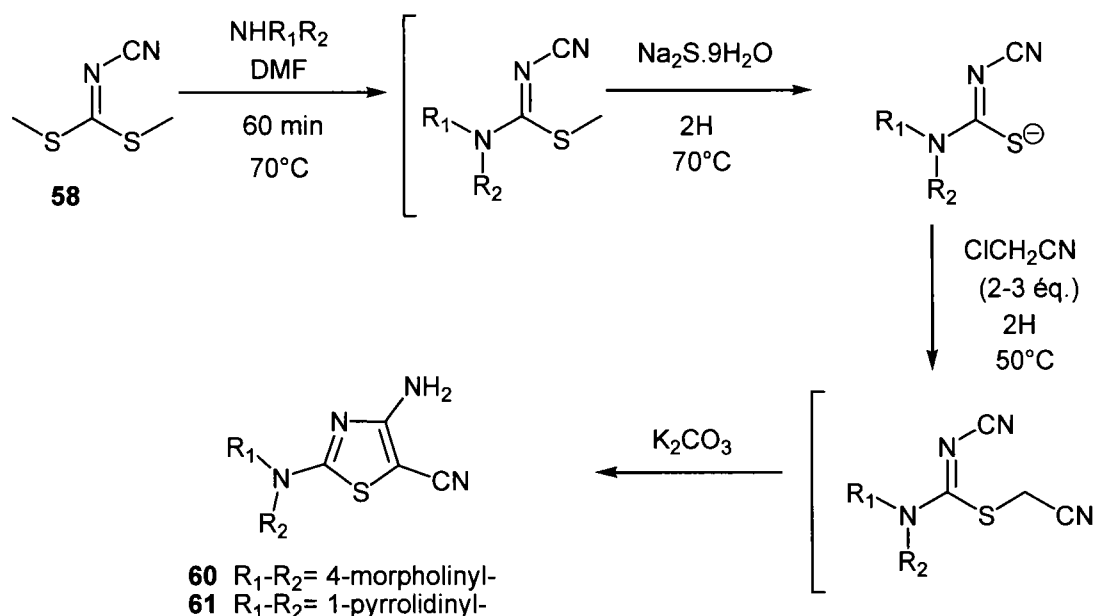
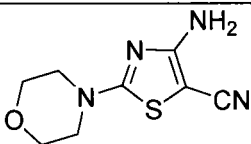
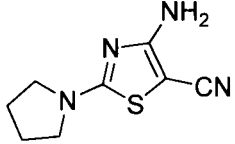


Schéma 38

⁶³ (a) Ried, W.; Kuhnt, D. *Liebigs Ann. Chem.* **1986**, *4*, 780-784; (b) Ried, W.; Broft, G.W.; Bats, J.W. *Chem. Ber.* **1983**, *116*, 1547 (c) Ried, W.; Kuhnt *Synthesis* **1987**, *10*, 940.

⁶⁴ Lee, I.Y.; Lee, J.Y.; Lee, H.J.L.; Gong, Y.D. *Synlett* **2005**, 2483.

Tableau 7 : Synthèse des 4-amino-5-cyano-1,3-thiazoles substitués

4-amino-5-cyano-1,3-thiazoles	Composé	Rendement (%)	
		Méthode A	Méthode B
	60	substitution : 90 global : 76	57 (2 éq.) 78 (3 éq.)
	61	substitution : 95 global : 80	67 (2 éq.) 76 (3 éq.)

En terme de rendement global, la méthode A et la méthode B sont équivalentes mais la méthode B est plus élégante et permet de raccourcir la synthèse d'une étape.

Lorsqu'on veut avoir un 4-amino-5-cyanothiazole substitué par un groupement anilino, la réaction de substitution nucléophile ne marche pas. Ainsi, pour préparer le thiazole **62**, nous avons utilisé une méthode décrite par Gewald et coll.⁶⁵ La cyanamide, le carbonate de potassium, l'isothiocyanate de phényle et le chloroacétonitrile conduisent en une étape au thiazole **62** avec un excellent rendement de 92% (Schéma 39).

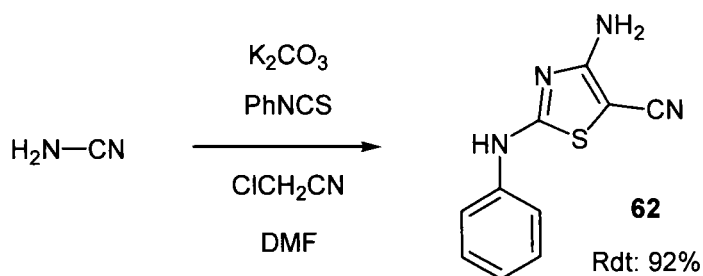


Schéma 39

⁶⁵ Gewald, K.; Hain, U. *J. Prakt. Chem.* **1975**, 317, 329.

9.3 Conclusion

Nous avons réussi à synthétiser en une seule étape les thiazoles **59-62** à partir du diméthylcyanodithioimidocarbonate **58**. Nous avons trouvé les conditions de réaction pour cette réaction séquentielle. Ainsi les rendements obtenus sont comparables avec ceux de la substitution nucléophile. Les thiazoles **59-62** seront utilisés comme précurseurs des analogues thiazoliques de la Tacrine.

Avant de passer au chapitre deux et d'utiliser les analogues hétérocycliques des anthranilonitriles, nous allons faire une petite parenthèse et étendre la méthode développée aux paragraphes à d'autres halogénures activés. C'est-à-dire que nous allons utiliser les β -chloroacrylonitriles avec le sulfure de sodium et le séléniure de sodium et d'autre halogénure d'alkyl tels que le 4-chloroacetoacetate d'éthyle et le bromonitrométhane. Cela nous donnera accès à des nouveaux composé qui n'apparaissent pas encore dans la littérature.

10. Synthèse des 7-hydroxythiéno[3,2-*b*]pyridin-5(4*H*)-ones

10.1 Bibliographie

La 4-Hydroxy-2(1*H*)-quinolinone **63** est bien connue et étudiée par plusieurs équipes très tôt (Schéma 27).⁶⁶ Ensuite, les 4-hydroxy-3-phényl-2(1*H*)-quinolinones **64** font parti des plus puissant inhibiteurs de glycine des récepteurs NMDA (N-méthyl-d-aspartate).⁶⁷ Les 7-hydroxythiéno[2,3-*b*]pyridin-5(4*H*)-ones **65** sont décrits aussi comme des inhibiteurs de glycine des récepteurs NMDA (Schéma 40).^{68,69}

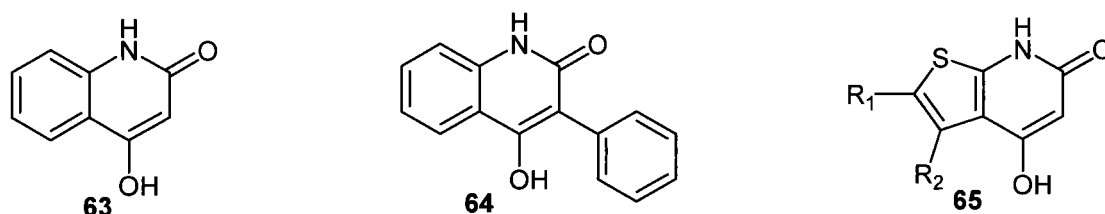


Schéma 40

Par contre seulement deux exemples de of 7-hydroxythiéno[3,2-*b*]pyridin-5(4*H*)-ones (**66** et **67**) sont décrit dans la littérature (Schéma 41). Le composé **66** est préparé en trois étapes à partir de l'éthyle 3-amino-2-thiophénecarboxylate.⁷⁰ Le composé **67** est lui préparé en deux étapes a partir du 3-amino-2-thiophénecarboxylate de méthyle, du chlorure de phénylacétyle et une basse forte qui permet la cyclisation (Schéma 41).^{69,71}

⁶⁶ (a) Franck, R.; Gilligan, J-M. *J. Org. Chem.* **1971**, *36*, 222. (b) Bornstein, J.; Reid, W.; Torres, D. *J. Am. Chem. Soc.* **1954**, *76*, 2760. (c) Bruckle, D., Cantello, B.; Smith, H.; Spicer, B. *J. Med. Chem.* **1975**, *18*, 726.

⁶⁷ McQuaid, L. A.; Smith, E. C. R.; Lodge, D.; Pralon, E.; Wikel, J. H.; Calligaro, D.O.; O'Malley, P.J. *J. Med. Chem.* **1992**, *35*, 3423.

⁶⁸ (a) Buchstaller, H.-P.; Siebert C. D.; Lyssy, R. H.; Ecker, G.; Krug, M.; Berger, M. L.; Gottschlich, R.; Noe, C. R. *Sci. Pharm.* **2000**, *68*, 3-14. (b) Buchstaller, H.-P.; Siebert, C. D.; Lyssy, R. H.; Frank, I.; Duran, A.; Gottschlich, R.; Noe, C. R. *Monatsh. Chem.* **2001**, *132*, 279-293. (c) Noe, C. R.; Buchstaller, H.-P.; Siebert C. D. *Pharmazie* **1996**, *51*, 833-836.

⁶⁹ Buschtaller, H-P.; Siebert, C.; Steimetz, R.; Frank, A.; Berger, M.; Gottschlich, R.; Leibrock, J.; Krug, M.; Steinhilber, D.; Noe, C. *J. Med. Chem.* **2006**, *49*, 864.

⁶³ Buschtaller, H-P.; Siebert, C.; Steimetz, R.; Frank, A.; Berger, M.; Gottschlich, R.; Leibrock, J.; Krug, M.; Steinhilber, D.; Noe, C. *J. Med. Chem.* **2006**, *49*, 864.

⁷⁰ (a) Lee, D-J.; Kim, K. *J. Org. Chem.* **2004**, *69*, 4867. (b) Baker, J.M.; Huddelston, P.R; Chadwick, N.; Keenan, G.J. *J. Chem. Res. Synop.* **1980**, 6-7.

⁷¹ Genevois-Borella, A.; Vuilhorgne, M.; Mignani, S. *Heterocycles*, **2002**, *57*, 317.

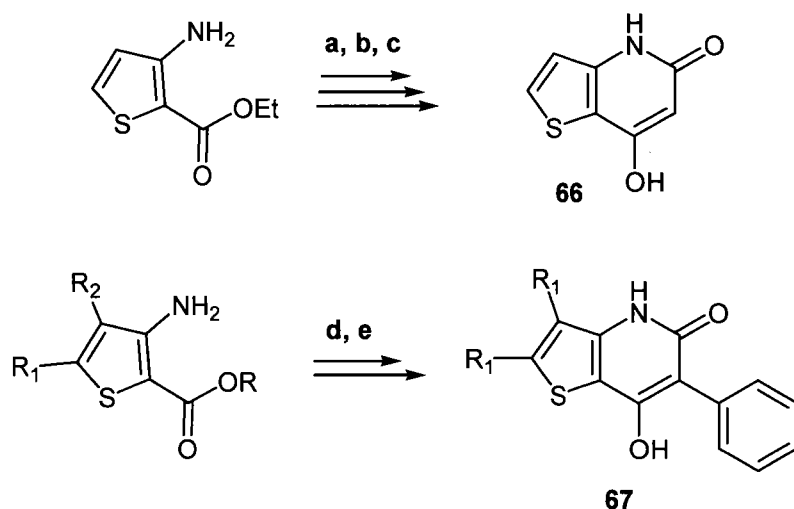


Schéma 41 : Conditions et réactifs : **a** AcO₂, reflux; **b** NaH, DMF; **c** Hyd., reflux; **d** PhCH₂COCl, dioxane; **e** KN(Si(CH₃)₃)₂, THF

Récemment, Rodinovskaya et coll. ont décrit la synthèse de la 4-hydroxy-7-méthylpyridino[2,3-*d*]thiéno[3,2-*b*]pyridin-2(1*H*)-one **69** en une étape à partir du sel de 2-thioxo-1,2-dihydro-3-pyridinecarbonitrile **68** (Schéma 42).⁷²

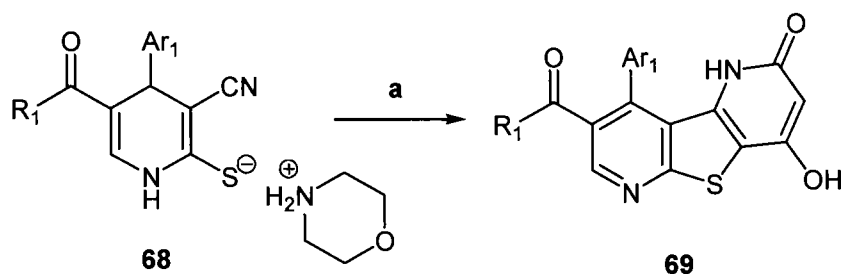


Schéma 42 : Conditions et réactifs : **a** ClCH₂COCH₂COOEt, KOH, EtOH, reflux

10.2 Synthèse

Nous avons profité de la possibilité de synthétiser les 7-hydroxythiéno[3,2-*b*]pyridin-5(4*H*)-ones à partir des β-chloroacrylonitriles. Cette réaction est une réaction multi étape : le sulfure de sodium réagit avec les β-chloroacrylonitriles pour former le thiolate intermédiaire qui substitue 4-chloroacétoacétate d'éthyle. Puis la cyclisation s'effectue en milieu alcalin

⁷² Rodinovskaya, L.; Shestopalov, A.; Gromova, Shestopalov, A. *Synthesis* **2006**, 2357.

suivi d'une hydrolyse acide pour obtenir les 7-hydroxythiéno[3,2-*b*]pyridin-5(4*H*)-ones **70-78** (Schéma 43 et 44) avec des rendements entre 72 et 98%. Cependant, les β -chloroacrylonitriles α,β disubstitués ne se comportent pas de la même manière dans les mêmes conditions de réaction. En effet, le composé **79** est obtenu avec un rendement de 2% seulement tandis que les produits **80-81** n'ont pas pu être isolés. En ce qui concerne le composé **78**, il est obtenu avec un rendement de 75% puisque le β -chloroacrylonitrile de départ est seulement sous la forme *Z* (Tableau 8).

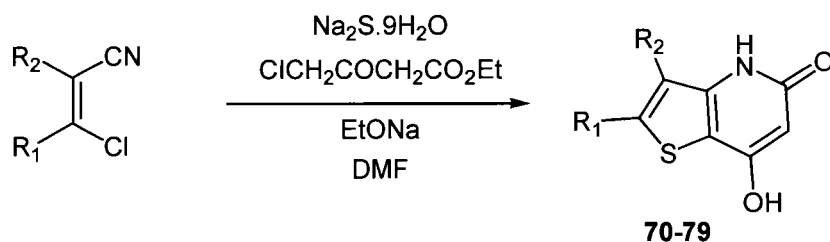


Schéma 43

Mécanisme :

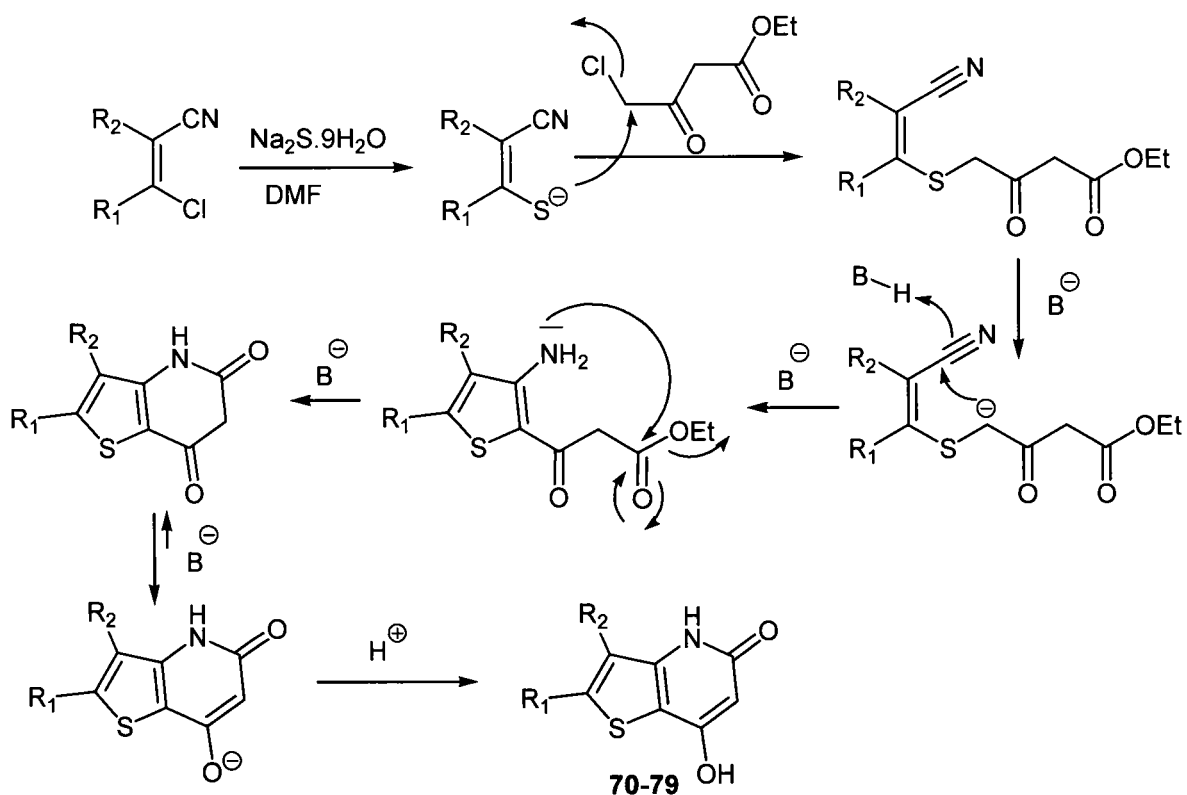


Schéma 44

Tableau 8 : Synthèse des 7-hydroxythiéno[3,2-*b*]pyridin-5(4*H*)-ones

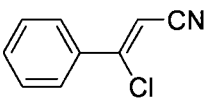
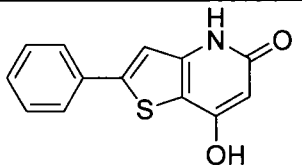
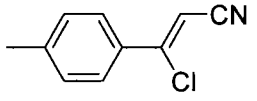
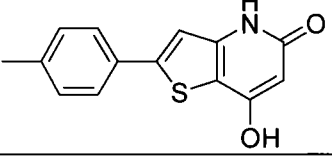
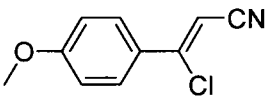
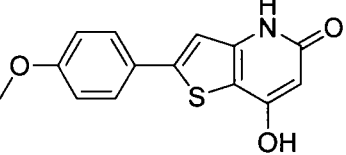
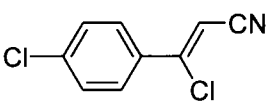
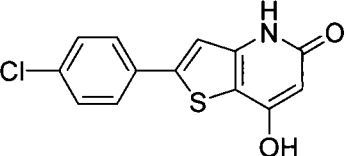
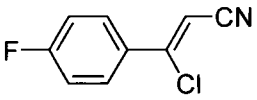
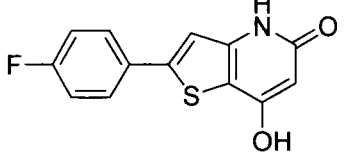
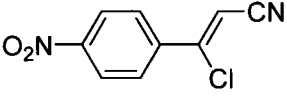
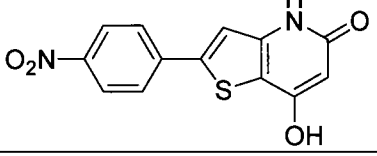
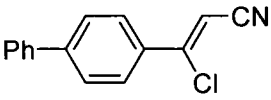
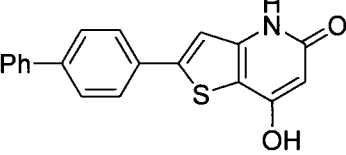
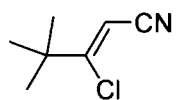
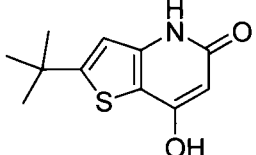
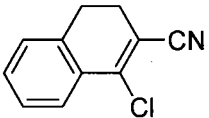
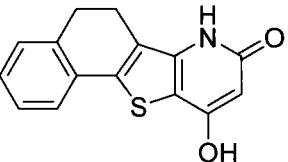
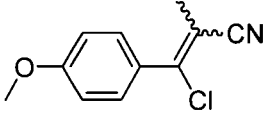
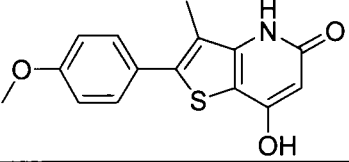
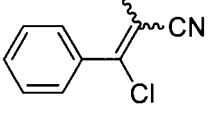
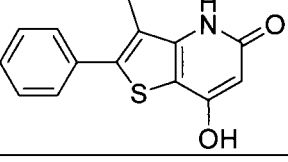
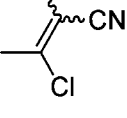

β -Chloroacrylonitrile	7-Hydroxythiéno [3,2- <i>b</i>]pyridin-5(4 <i>H</i>)-ones	Composé	Rendement (%)
		70	72
		71	74
		72	80
		73	95
		74	88
		75	98
		76	80
		77	70

Tableau 8 : Synthèse des 7-hydroxythiéno[3,2-*b*]pyridin-5(4*H*)-ones (suite)

β -Chloroacrylonitrile	7-Hydroxythiéno [3,2- <i>b</i>]pyridin-5(4 <i>H</i>)-ones	Composé	Rendement (%)
		78	76
		79	2
		80	Mélange de produits
		81	Mélange de produits

10.3 Conclusion

Nous avons réalisé la synthèse de 10 nouvelles 7-hydroxythiéno[3,2-*b*]pyridin-5(4*H*)-ones en une seule étape à partir des β -chloroacrylonitriles β -substitués. Cette réaction s'applique β -chloroacrylonitriles α,β -disubstitués seulement quand il sont sous la forme de l'isomère *Z*. Nous avons donc étendu l'étude de cette réaction au 2-chloronicotinonitrile pour avoir accès à la 4-hydroxy-7-méthyl-pyridino[2,3-*d*]thiéno[3,2-*b*]pyridin-2(1*H*)-one.

11. Synthèse de la 4-hydroxy-7-méthyl-pyridino[2,3-d]thiéo[3,2-b]pyridin-2(1H)-one

11.1 Bibliographie

Dans la littérature, les 4-hydroxypyridino[2,3-*d*]thiéo[3,2-*b*]pyridin-2(1*H*)-ones **82** sont synthétisées par trois méthodes à partir :

- des 3-cyano-2-thioxo-1,2-dihydro-3-pyridines **82**^{73,74},
- des 4-[(3-cyano-2-pyridinyl)sulfanyl]-3-oxobutanoate d'éthyle **83**^{72,74}
- des 3-(3-aminothiéo[2,3-*b*]pyridin-2-yl)-3-oxopropanoates d'éthyle **84**^{73a,74} (Schéma 45).

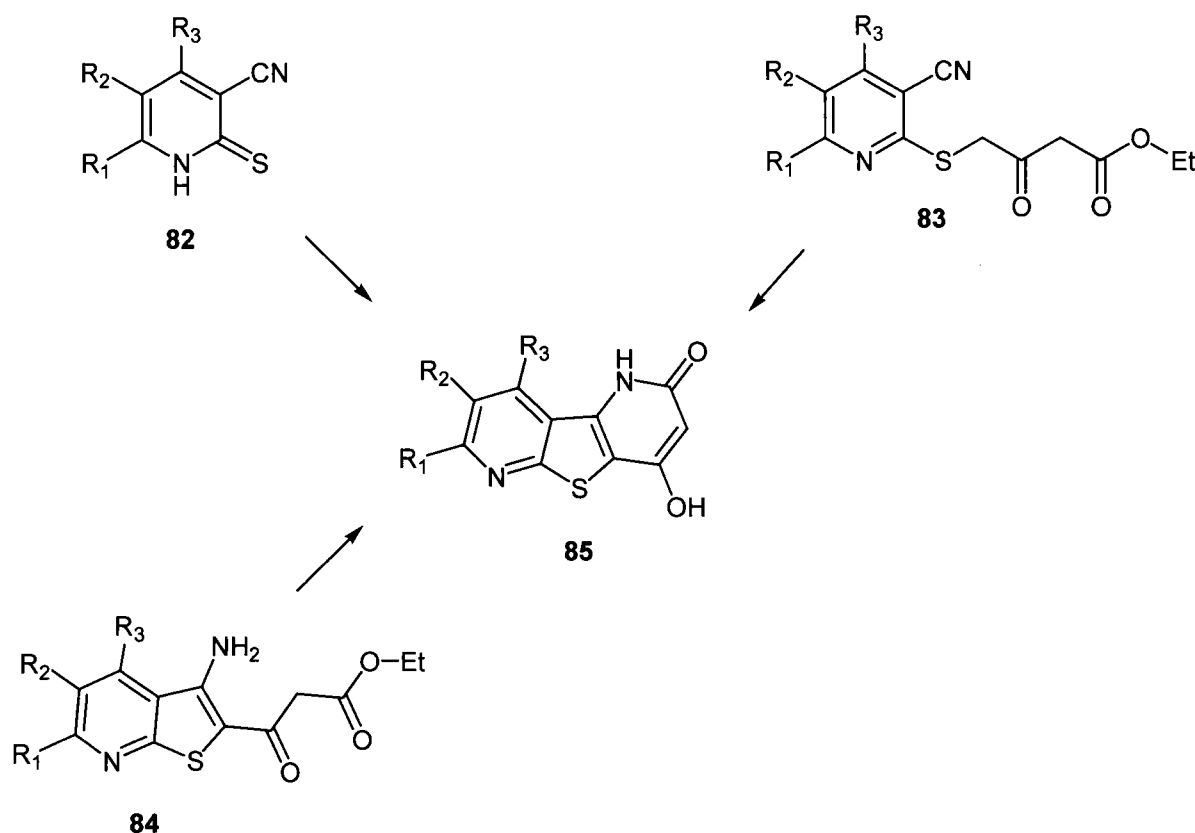


Schéma 45

⁷² Rodinovskaya, L.; Shestopalov, A.; Gromova, Shestopalov, A. *Synthesis* **2006**, 2357.

⁷³ (a) Dunn, A.D.; Norrie, R. *J. Prakt. Chem.* **1992**, 334, 483. (b) Shestopalov, A.A.; Gromova, A.V.; Rodinovskaya, L. A.; Nikishin, K.G.; Litvinov, V.P.; Shestopalov, A. *Russ. Chem. Bl.* **2004**; 53, 2353. (c) Moryashova, S.I.; Salamandra, L.K.; Fedorov, A.E.; Rodinovskaya, L.A.; Shestopalov, A.M.; Semenov, V.V. *Russ. Chem. Bl.* **1998**, 47, 357.

⁷⁴ Rodinovskaya, L.A.; Shestopalov, A.M. *Russ. Chem. Bl.* **2000**, 49, 348

D'autre part, la synthèse des thiéno[2,3-*b*]pyridines a été développée au laboratoire à partir des 2-chloronicotinonitriles et du thioglycolate d'éthyle dans le DMF et en milieu basique (Schéma 33).⁷⁵ Donc la substitution nucléophile aromatique du chlore en position 2 est possible.

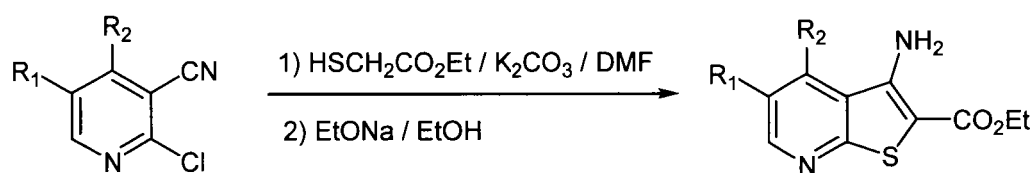


Schéma 46

Ici nous allons utiliser le 2-chloro-6-méthylnicotinonitrile^{76,77} comme produit de départ et adapter les conditions de réaction pour obtenir directement la 4-hydroxy-7-méthylpyridino[2,3-*d*]thiéno[3,2-*b*]pyridin-2(1*H*)-one en utilisant le sulfure de sodium le 4-chloroacétoacétate d'éthyle et une base.

11.2 Synthèse

Nous avons fait réagir le 2-chloro-6-méthylnicotinonitrile avec le sulfure de sodium, puis le 4-chloroacétoacétate d'éthyle (Schéma 47). L'éthanolate de sodium en solution dans l'éthanol est ajouté pour permettre la cyclisation. Malheureusement, l'éthanolate a substitué le groupement en position 2 et nous obtenons un mélange entre le produit attendu **86** et le 2-éthoxy-6-méthylnicotinonitrile **87**. Les proportions sont déterminées par RMN, le rapport **86/87** est 4/1 (Schéma 47). L'utilisation du carbonate de sodium à la place de l'éthanolate de sodium permet d'obtenir le produit uniquement **86** avec un rendement de 80% (Schéma 48).

⁵² Rodinovskaya, L.; Shestopalov, A.; Gromova, Shestopalov, A. *Synthesis* **2006**, 2357.

^{53a} Dunn, A.D.; Norrie, R. *J. Prakt. Chem.* **1992**, 334, 483.

⁵⁴ Rodinovskaya, L.A.; Shestopalov, A.M. *Russ. Chem. Bl.* **2000**, 49, 348

⁷⁵ Aadil, M.; Kirsch, G. *Phosphorus, Sulfur and Silicon* **1993**, 82, 91.

⁷⁶ (a) Mariella, R.; Cope, A.; Krueger, J.; Marshall, D.; *Organic Syntheses* **1963**, 4, 210. (b) Hardtmann, G. E.; Huegi, B.; Koletar, G.; Kroin, S.; Ott, H.; *J. Med. Chem.* **1974**, 17, 636.

⁷⁷ Kaminski, T. *Thèse*, Université de Metz, **2007**.

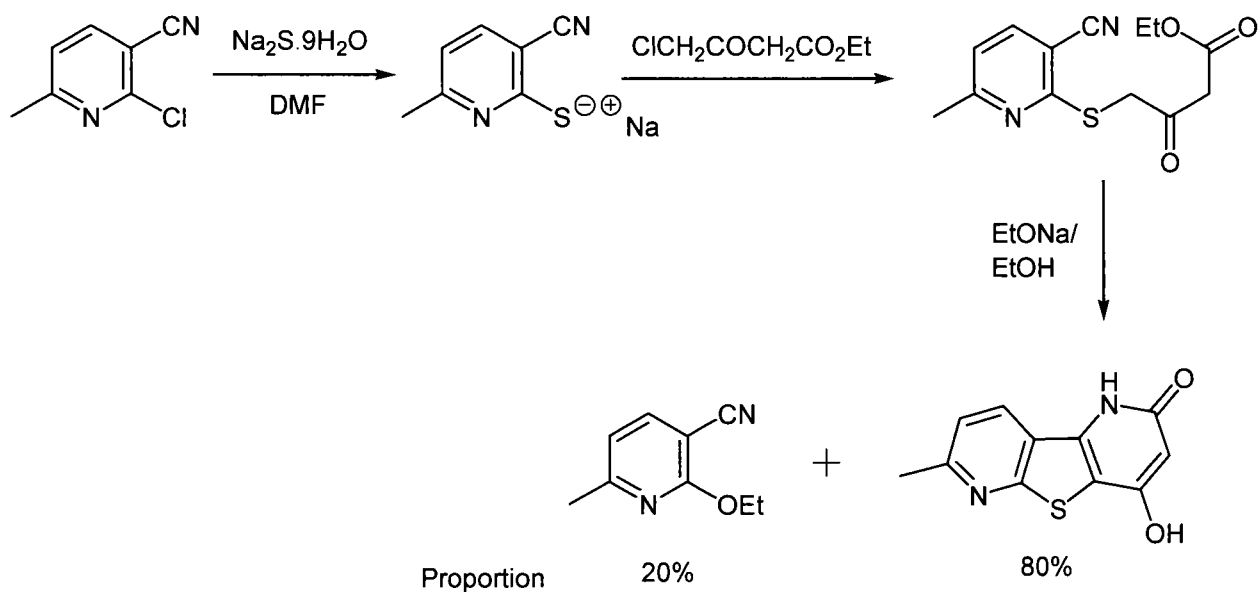


Schéma 47

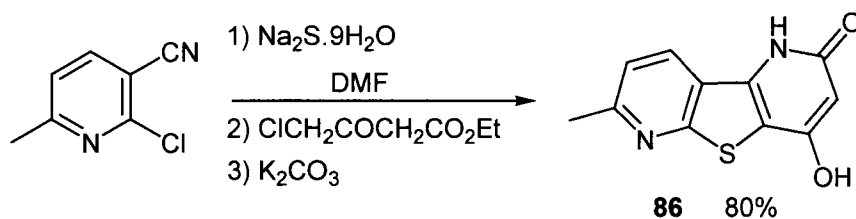


Schéma 48

11.3 Conclusion

La synthèse de la 4-hydroxy-7-méthyl-pyridino[2,3-*d*]thiéno[3,2-*b*]pyridin-2(1*H*)-one **86** montre qu'une voie alternative et directe peut être envisagée pour la préparation des 4-hydroxy-pyridino[2,3-*d*]thiéno[3,2-*b*]pyridin-2(1*H*)-ones, à partir des 2-chloro-3-nicononitriles. Maintenant nous allons utiliser les β-chloroacroléines avec le boromonitrométhane afin d'obtenir des 3-amino-2-nitrothiophènes et sélénothiophènes.

12. Synthèse des 3-amino-2-nitrothiophènes substitués

12.1 Bibliographie

Les 3-amino-2-nitrobenzo[*b*]thiophènes sont aussi utilisées comme intermédiaire pour la synthèse de pigments.⁷⁸ Les composés *ortho*-amino-nitro sont intéressants car le groupement nitro peut être considéré comme un groupement amine “protégé”. En réduisant ce type de composé, nous aurions accès à des 2,3-diaminothiophènes qui ne sont pas connus pour le moment. Cela donnerait de nombreuses possibilités de synthèse. Les 2-aminoanilines se condensent avec un aldéhyde pour donner les benzimidazoles.⁷⁹ Et les 2-nitroanilines sont aussi utilisées pour obtenir des benzimidazoles.⁸⁰ Ces molécules sont connues pour avoir de nombreuses propriétés biologiques (antiviraux, antihistaminiques, antifongique...) ⁸¹ Récemment, Borza et coll ont montré que les benzimidazole-2-carboxamides sont des antagonistes de récepteurs NMDA (N-Méthyl-D-Aspartate).⁸² Les antagonistes de récepteurs de NMDA sont utilisés actuellement pour lutter contre la maladie d’Alzheimer (Ebixa®) ou peuvent être pris en complément d’inhibiteurs d’actétylcholinestérase. C’est donc pour cela que la synthèse des 3-amino-2-nitrothiophènes se révèle intéressante dans le cadre de cette thèse.

Pour la synthèse des 3-amino-2-nitrothiophènes, l’utilisation du bromonitrométhane est fréquente^{29, 83}(Schéma 49 et 50).

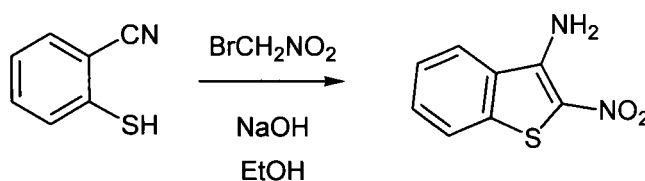


Schéma 49

²⁹ Gewald, K.; Hain, U. *Monatsh. Chem.* **1992**, 123, 455.

⁷⁸ Hallas, G.; Towns, A. D. *Dyes and Pigments.* **1997**, 3, 219

⁷⁹ (a) Wright, J.B; *Chem. Rev.* **1951**, 48, 397. (b) Preston, P.N. *Chem. Rev.* **1974**, 74, 279.

⁸⁰ Yang, D.; Fokas, D.; Li, J.; Libing, Y.; Baldino, C.M. *Synthesis*, **2005**, 47

⁸¹ (a) Spasov, A.A.; Yozhitsa, I.N.; Bugeava, L.I.; Anisimova, V.A. *Pham. Chem. J.* **1999**, 33, 232. (b) Preston, P.N. *In the Chemistry of Heterocyclic compounds, Benzimidazoles and Congeneric Tricyclic compounds*, Vol 40, Part 2; John Wiley & Sons: New York, **1980**, Chap. 10.

⁸² Borza, I.; Bozo, E.; Barta-Szalai, G.; Kiss, C.; Tarkani, G.; Demeter, A.; Gati, T.; Hada, V.; Kolok, S.; Gere, A.; Fodor, L.; Nagy, J.; Gagoczy, K.; Magdo, I.; Bela, A.; Fetter, J.; Bertha, F.; Kerserü, G.M.; Horvath, C.; Farkas, S.; Greiner, I.; Domany, G. *J. Med. Chem.* **2007**, 50, 901.

⁸³ Fishwick, B. R.; Rowles, D. K.; Stirling, C.J.M. *J. Chem. Soc. Perkin Trans. 1*; **1986**; 1171.

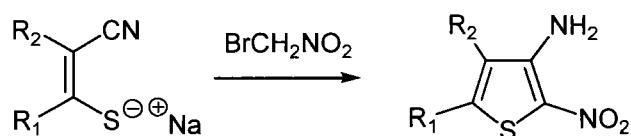


Schéma 50

12.2 Synthèse du bromonitrométhane

La formation des 3-amino-3nitrothiophènes nécessite tout d'abord la préparation du bromonitrométhane. Pour synthétiser celui-ci, nous avons modifié légèrement la méthode de Fishwick et coll.⁸³ De la soude est ajoutée à du nitrométhane fraîchement distillé. Ensuite le brome est ajouté en 5s à la place de 35s dans la méthode initiale. Ce léger changement permet d'éviter la formation de dibromonitrométhane ou de tribromonitrométhane. Ainsi le bromonitrométhane est obtenu avec un rendement de 61% (Schéma 24). Une analyse RMN montre que le bromonitrométhane a été obtenu avec une grande pureté et qu'une distillation de ce produit hautement lacrymogène est n'est pas nécessaire.

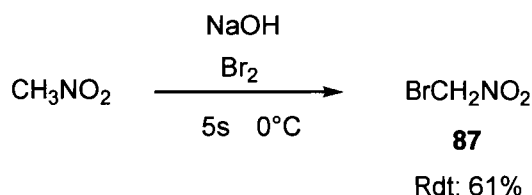


Schéma 51

12.3 Synthèse

Ici, nous avons fait réagir le sulfure de sodium nonahydraté avec le β -chloroacrylonitrile pour former le thiolate intermédiaire. Le bromonitrométhane est ajouté goutte à goutte à température ambiante car l'addition est exothermique. Le thiolate substitué le bromonitrométhane et la soude permet la cyclisation des 3-amino-2-nitrothiophènes **88-95** (Schéma 52) avec des rendements entre 60 et 80% (Tableau 9).⁸⁴

⁸⁴ Thomae, D.; Rodriguez Dominguez, J.C.; Kirsch, G.; Seck, P. *Tetrahedron* **2008**, *64*, 3232.

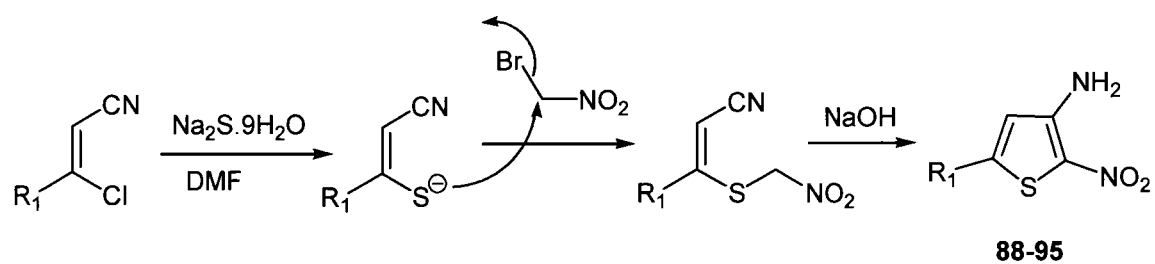


Schéma 52

Tableau 9 : Préparation des 3-amino-2-nitrothiophènes

β-Chloroacrylonitrile	3-Amino-2-nitrothiophènes	Composé	Rendement (%)
		88	60
		89	62
		90	71
		91	80
		92	70
		93	62
		94	70
		95	80

12.4 Conclusion

En conclusion, nous avons adapté les conditions de réaction pour obtenir 8 nouveaux 3-amino-2-nitrothiophènes. L'utilisation du sulfure de sodium permet d'introduire beaucoup de groupements différents en position 2 du thiophène. Cette méthode est très robuste et nous allons voir comment nous l'avons étendue pour obtenir des 3-amino-2-nitrosélénophènes et des 3-amino-2-thiophèncarboxylates d'éthyle. .

13. Synthèse des 3-amino-2-nitrosélénophènes et des 3-amino-2-sélénophèncarboxylates d'éthyle

Nous avons appliqué la méthode décrite dans le paragraphe 5. Les β -chloroacrylonitriles sont mis en réaction avec du sélénure de sodium fraîchement préparé pour former le sélénate intermédiaire. Celui-ci réagit avec l'halogénure activé puis la base permet la cyclisation du sélénophène (Schéma 53). Lorsque c'est le bromonitrométhane qui est utilisé comme halogénure activé, l'addition se fait à 0°C et la soude est préférée à l'éthanolate de sodium. Nous avons obtenu par cette méthode :

- les 3-amino-2-nitrosélénophènes substitués **96-99** avec des rendements variant entre 64 et 80% (Tableau 10).⁸⁴
- les 3-amino-2-sélénophèncarboxylates d'éthyle substitués **100-103** avec des rendements variant entre 57 et 76% (Tableau 11).

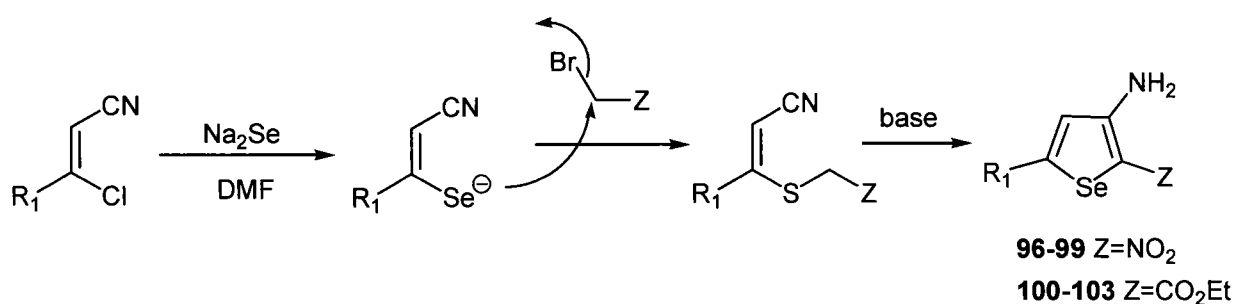


Schéma 53

Tableau 10 : Synthèse des 3-amino-2-nitrosélénophènes substitués.

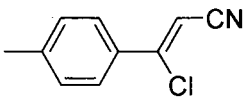
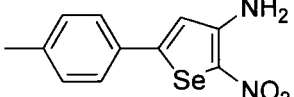
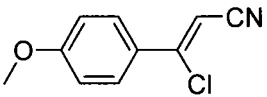
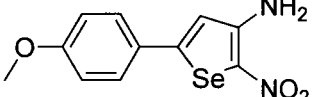
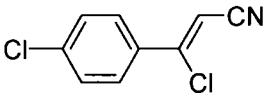
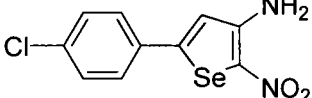
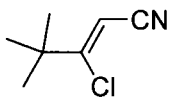
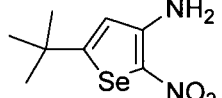
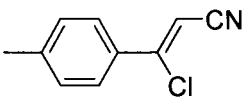
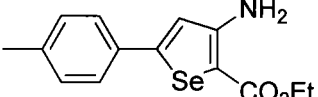
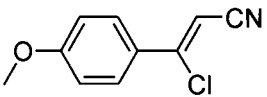
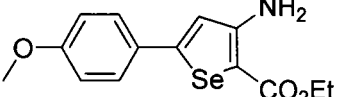
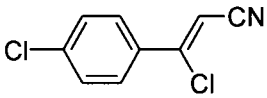
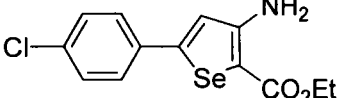
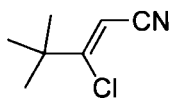
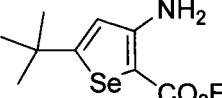
β -Chloroacrylonitrile	3-Amino-2-nitrosélénophènes	Composé	Rendement (%)
		96	76
		97	66
		98	57
		99	62

Tableau 11 : Synthèse des 3-amino-2-sélénophèncarboxylates d'éthyle substitués.

β -Chloroacrylonitrile	3-Aminosélénophènes-2-carboxylate d'éthyle	Composé	Rendement (%)
		100	80
		101	83
		102	80
		103	70

Conclusion

L'utilisation du sélénure de sodium et des β -chloroacrylonitriles nous a permis de synthétiser facilement de nouveaux 3-aminosélénophènes substitués avec de bons rendements. Les 3-amino-2-nitrosélénophènes pourraient être utilisés dans de futures synthèses d'inhibiteurs récepteurs de NMDA.⁸² Les 3-aminosélénophène-2-carboxylates d'éthyle peuvent servir de produits de départ pour la synthèse d'analogues sélénophéniques de paullones.^{15,24} Pour finir, nous allons utiliser, les β -chloroacroléines comme produit de départ afin d'obtenir les 2-aryl-5-nitrothiophènes.

14. Synthèse des 2-aryl-5-nitrothiophènes

14.1 Bibliographie

Les 2-aryl-5-nitrothiophènes présentent des propriétés intéressantes contre quelques microorganismes⁸⁵ (*Escherichia Coli*, *Micrococcus Luteus* et *Aspergillus Niger*). Ils sont aussi utilisés comme intermédiaire dans l'élaboration de potentiels inhibiteurs de 5-lipoxygénase.⁸⁶ Les 2-aryl-5-nitrothiophènes sont préparés par nitration du 2-phénylthiophène avec de l'acide nitrique ou du $\text{Cu}(\text{NO}_3)_2$ dans l'anhydride acétique.⁸⁷ Mais dans tous les cas la nitration n'est pas sélective et donne lieu à des mélanges de produits nitrés ou dinitrés. Quand l'acide nitrique est utilisé, un mélange de 2-nitro-5-phénylthiophène et de 3-nitro-2-phénylthiophènes est obtenu. Si la réaction se fait avec du $\text{Cu}(\text{NO}_3)_2$, un mélange de 3-nitro-2-phényl, 2-nitro-5-phényl, 3,5-dinitro-2-phényl et 2-nitro-5-(2-nitrophenyl) thiophènes est obtenu (Schéma 54).

¹⁵ Migianu, E.; Kirsch, G. *Synthesis*, **2002**, 8, 1096.

^{24a} L. Brault, E. Migianu, A. Néguesque, E. Battaglia, D. Bagrel, G. Kirsch *Eur. J. Med. Chem.* **2005**, 40, 757.

⁸² Borza, I.; Bozo, E., Barta-Szalaï, G.; Kiss, C., Tarkani, G.; Demeter, A., Gati, T.; Hada, V.; Kolok, S.; Gere, A.; Fodor, L.; Nagy, J.; Gagoczy, K.; Magdo, I.; Bela, A.; Fetter, J.; Bertha, F., Kerserü, G.M.; Horvath, C.; Farkas, S.; Greiner, I.; Domany, G. *J. Med. Chem.* **2007**, 50, 901.

⁸⁵ Morley, J; O.; Matthews, T. P. *Org. Biomol. Chem.* **2006**, 4, 359.

⁸⁶ Beers, S. A.; Malloy, E. A.; Wu, W.; Wachter, M.; Ansell, J.; Singer, M.; Steber, M.; Barbone, A.; Kirchner, T.; Ritchie, D.; Argentieri, D. *Bioorg. Med. Chem.* **1997**, 5, 779.

⁸⁷ (a) Gronowitz, S.; Gjos, N. *Acta Chem. Scand.* **1967**, 21, 2823. (b) Gronowitz, S.; Gjos, N. *Acta Chem. Scand.* **1972**, 26, 1851.

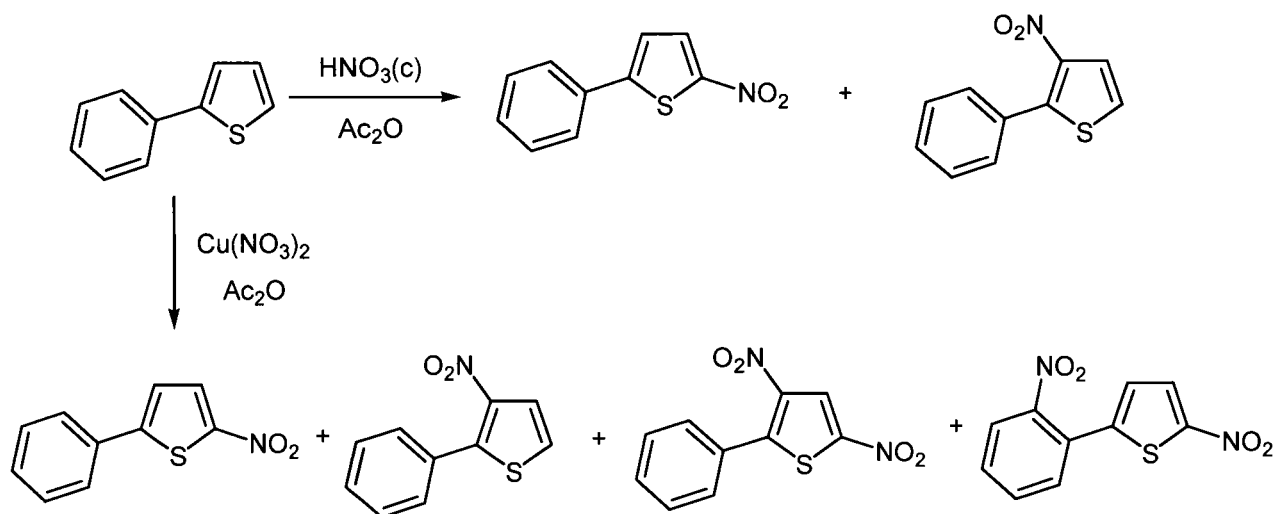


Schéma 54

Une autre façon de préparer les 2-aryl-5-nitrothiophènes est le couplage de Suzuki.⁸⁶ Le 2-bromo-5-nitrothiophène est couplé par exemple avec l'acide 4-fluorophénylboronique en présence de palladium (0). La réaction dure 16 heures au reflux du toluène et le rendement est de 82% (Schéma 55)

Un couplage de Heck peut être effectué à partir du 2-nitrothiophène et du p-iodoanisole.^{88, 89} La réaction est réalisée en présence d'acétate de palladium dans l'acétonitrile (Schéma 55). Le temps de réaction est très long (54h) et le rendement est faible (37%) pour obtenir le 2-(4-méthoxyphényl)-5-nitrothiophène.

D'autre part, le bromonitrométhane a été utilisé pour synthétiser des nitrobenzo[*b*]furanes^{90,91} à partir du salicylaldéhyde (Schéma 56).

⁸⁶ Beers, S. A.; Malloy, E. A.; Wu, W.; Wachter, M.; Ansell, J.; Singer, M.; Steber, M.; Barbone, A.; Kirchner, T.; Ritchie, D.; Argentieri, D. *Bioorg. Med. Chem.* **1997**, *5*, 779.

⁸⁸ Lavenot, L.; Gozzi, C.; Ilg, K.; Orlova, I.; Penalva, V.; Lemaire, M. *J. Organomet. Chem.* **1998**, *567*, 49.

⁸⁹ Gozzi, C.; Lavenot, L.; Ilg, K.; Penalva, V.; Lemaire, M. *Tetrahedron Letters*, **1997**, *38*, 8867.

^{10a} Kirsch, G.; Prim, D.; Leising, F.; Mignani, G. *J. Heterocyclic. Chem.* **1994**, *31*, 1005.

⁹⁰ Ohishi, Y.; Doi, Y.; Nakanishi, T. *Chem. Pharm. Bull.* **1984**, *32*, 4260.

⁹¹ Tromelin, A.; Demerseman, P.; Royer, R. *Synthesis*. **1985**, *11*, 1074.

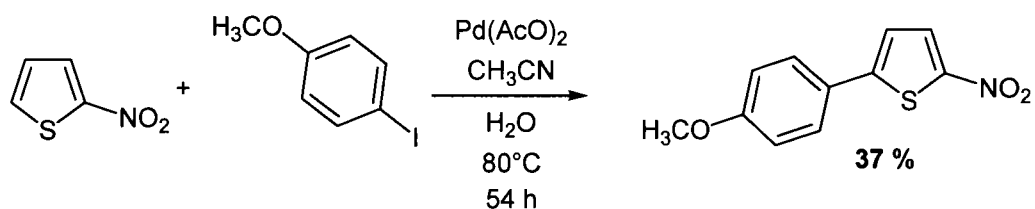
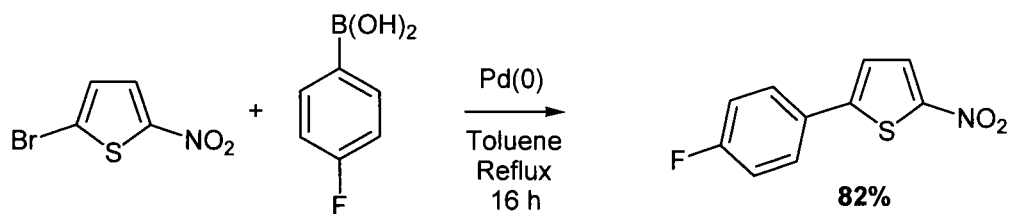


Schéma 55

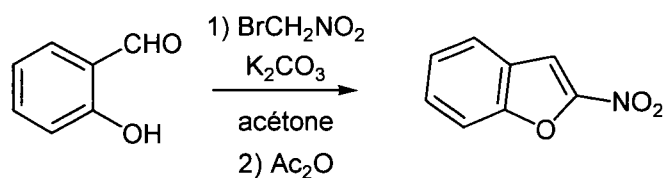


Schéma 56

La synthèse des thiophènes à partir des β -chloroacroléines est bien décrite que ce soit en utilisant des thioglycolates d'alkyle⁹² ou le sulfure de sodium^{10a,93} selon le groupement qu'on souhaite introduire en position cinq. Pourtant le 2-*tert*-butyl-5-nitrothiophène est le seul exemple de 2-nitrothiophène obtenu à partir d'une β -chloroacroléine, de sulfure de sodium et de bromonitrométhane⁹⁴ (Schéma 57).

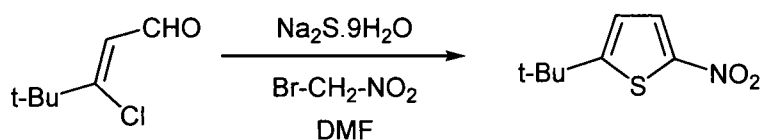


Schéma 57

⁹² (a) Ray, J.K.; Gupta, S.; Pan, D.; Kar, G.K. *Tetrahedron* **2001**, *57*, 7213. (b) El-Deen, I.M.; El-Fattah, M.A.; Ibrahim, H.K.; El-Gohary, A. *Phosphorus, Sulfur Silicon Relat. Elem.*; **2003**, *178*, 1463. (c) Reddy, G. J.; Latha, D.; Sailaja, S.; Pallavi, K.; Rao, K. S *Heterocycl. Commun.* **2004**, *10*, 411.

⁹³ Chandra, R.; Kung, M.P.; Kung, H.F. *Bioorg. Med. Chem. Lett.* **2006**, *16*, 1350.

⁹⁴ Cagniant, P.; Kirsch, G.; *C. R. Hebd. Seances Acad. Sci. Ser. C* **1975**, *281*, 35-38.

Cette dernière méthode qui avait déjà été développée au laboratoire mais pas complètement exploitée à l'époque est celle qui sera retenue pour préparer les 2-aryl-5-nitrothiophènes. En effet, c'est une méthode rapide et sélective dont les produits de départ sont facile d'accès.

14.2 Synthèse

Le sulfure de sodium nonahydraté mis en suspension dans le DMF réagit sur la β -chloroacroléine pour former le thiolate intermédiaire. L'addition du bromonitrométhane doit se faire à température ambiante puisqu'elle est très exothermique. Pour cycliser, la soude est préférée à l'éthanolate de sodium pour ne pas détériorer le produit. Nous obtenons les 2-aryl-5-nitrothiophènes **104-111** (Schéma 58) avec des rendements variant entre 62 et 85% (Tableau 12).⁹⁵

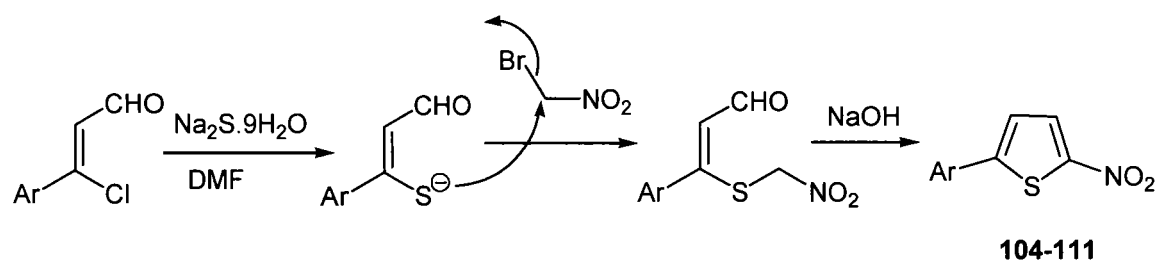
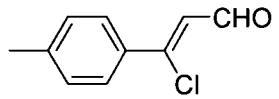
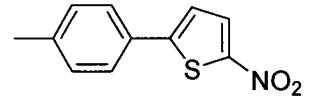
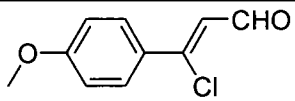
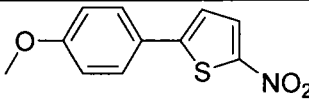
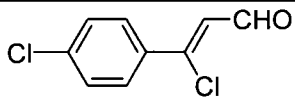
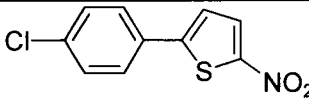
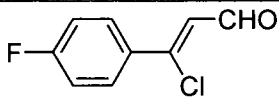
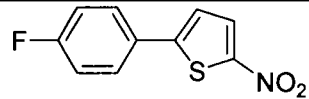
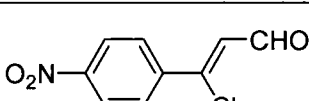
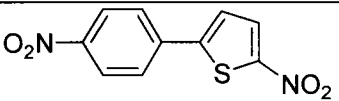
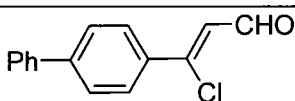
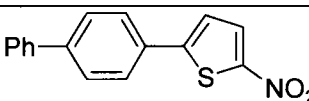
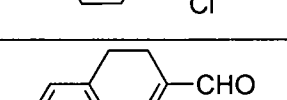
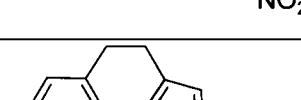
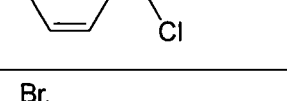
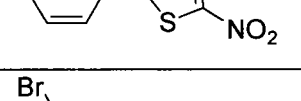


Schéma 58

⁹⁵ Rodriguez Dominguez, J.C.; Thomae, D.; Kirsch, G.; Seck, P. *Synlett* **2008**, 286.

Tableau 12 : Synthèse des 2-aryl-5-nitrothiophènes :

β-Chloroacroléine	2-Aryl-5-nitrothiophènes	Composé	Rendement (%)
		104	83
		105	74
		106	71
		107	62
		108	75
		109	62
		110	85
		111	71

14.3 Conclusion

L'utilisation du sulfure de sodium et du bromonitrométhane a permis une synthèse efficace des 2-aryl-5-nitrothiophènes à partir des β -chloroacroléines. Nous avons donc étendu cette méthode aux β -chloroacrylonitriles pour obtenir en deux étapes les 3-amino-2-nitrothiophènes.

Conclusion du Chapitre I

Dans un premier temps, nous avons synthétisé avec succès les analogues hétérocycliques des anthranilonitriles. L'utilisation des β -chloroacrylonitriles a permis la synthèse des 3-amino-2-cyanothiophènes et sélénophènes. Les cétènes dithioacétals ont permis la synthèse des 3-amino-4-cyanothiophènes. Les 4-amino-5-cyano thiazoles ont été préparés en deux étapes à partir de la cyanamide. Tous ces composés ont été obtenus avec de bons rendements et en quantité suffisante pour pouvoir être mis en jeu dans la réaction de Friedländer afin d'avoir accès à de nouveaux analogues hétérocycliques de la Tacrine. Cette partie sera traitée dans le chapitre .II

La méthode qui nous a permis de préparer les 3-amino-2-cyanothiophènes et sélénophènes a été étendue à d'autres halogénures activés. Ainsi l'utilisation du 4-chloroacétoacétate d'éthyle permet l'accès à de nouvelles 7-hydroxythiéno[3,2-b]pyridin-5(4H)-ones en une seule étape et avec de bons rendements. L'utilisation du bromonitrométhane a permis l'accès au 3-amino-2-cyanothiophènes et sélénophènes. Disposant des β -chloroacroléines et de bromonitrométhane, nous avons utilisé le savoir faire pour achever un travail plus ancien sur la préparation de 2-aryl-5-nitrothiophènes.

Chapitre II : Préparation des analogues hétérocycliques de la Tacrine

1. Introduction sur la maladie d'Alzheimer

La maladie d'Alzheimer est une dégénérescence progressive neuronale affectant les personnes âgées conduisant à des pertes de mémoires et à la démence. Le risque de souffrir de cette maladie augmente avec l'âge : 10% des plus de 65 ans et 50 % des plus de 85 ans souffrent de cette maladie.⁹⁷ La maladie d'Alzheimer est devenue un problème de santé majeur dans les pays développés au même titre comme les cancers et les problèmes cardiovasculaires. Il existe plusieurs hypothèses pour expliquer l'apparition des symptômes^{97,98,99} :

- les plaques amyloïdes qui sont responsables de la cascade amyloïde qui entraîne la mort neuronale puis la démence (Figure 1).
- la protéine Tau qui entraîne la dégénérescence neurofibrillaire qui conduit à la mort neuronale puis à la démence (Figure 1).
- l'hypothèse cholinergique.

⁹⁷ Francotte, P.; Grandorge, E.; Boverie, S.; De Tullio, P.; Pirotte, B. *Curr. Med. Chem.* **2004**, *11*, 1757.

⁹⁸ Sivaprakasam, K. *Curr. Med. Chem.* **2004**, *11*, 1757

⁹⁹ Pickhardt, M.; Biernat, J.; Khlistunova, I.; Wang, Y.P.; Gazova, Z.; Mandelkow, E.M.; Mandelkow, E. *Curr. Med. Chem.* **2007**, *4*, 397.

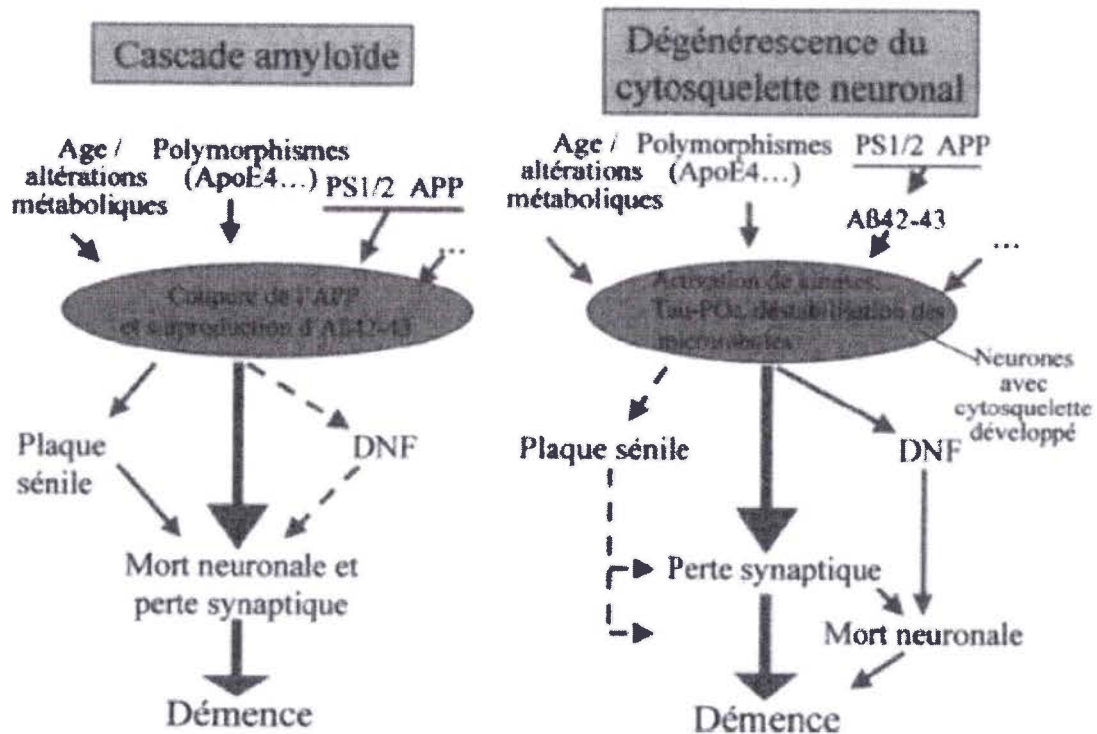


Figure 1 : Rôle des plaques amyloïdes et de la protéines Tau dans la maladie d'Alzheimer. Cette figure est reprise de l'ouvrage multidisciplinaire de Schenk, F., Leuba G. and Büla C. *Du vieillissement cérébral à la maladie d'Alzheimer : autour de la notion de plasticité.* Chapitre VI.3 "hypothèses de la cascade pathologique", rédigé par Savioz, A., Leuba, G., Dubois-Dauphin, M., Walzer, C.

Légende : DNF : dégénérescence neuro fibrillaire, PS1/2 : préséniline 1 et 2, APP : peptide précurseur d'amiloïdes, Ab42-43 : peptide contenant 42 ou 43 amino acides

Dans le cas de l'hypothèse cholinergique, l'acétylcholine (ACh) permet la transmission de l'influx nerveux entre les neurones du cerveau par les synapses. Lors du fonctionnement normal d'une synapse, l'acétylcholinestérase (AChE) dégrade l'acétylcholine dans la fente synaptique (Figure 2). Dans le cas de la maladie d'Alzheimer, il apparaît une baisse de la production d'ACh ce qui altère la transmission du message nerveux. Actuellement, le traitement médical de la maladie d'Alzheimer se fait par une approche symptomatique qui consiste à maintenir aussi longtemps que possible la présence d'un taux minimal d'acétylcholine en utilisant des inhibiteurs d'acétylcholinestérase (AChEIs) et ainsi d'améliorer la transmission du message nerveux. (Figure 2).¹⁰⁰

¹⁰⁰ Cavalli, A.; Bolognesi, M.L.; Minarini, A.; Rosini, M.; Tumiatti, V.; Recanatini, M.; Melchiorre, C. *J. Med. Chem.* **2008**, *51*, 347.

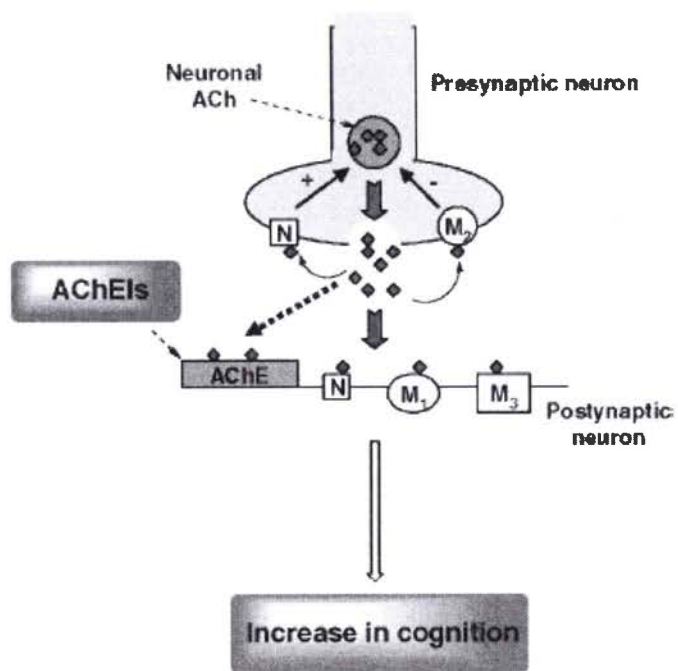


Figure 2 : Action des inhibiteurs d'acétylcholinestérase dans la transmission du message nerveux

Figure reprise de l'article : Cavalli, A.; Bolognesi, M.L.; Minarini, A.; Rosini, M.; Tumiatti, V.; Recanatini, M.; Melchiorre, C. *J. Med. Chem.* **2008**, *51*, 347.

Légende : AChEIs : inhibiteurs d'acétylcholinestérase, ACHE : acétylcholinestérase, N : récepteur nicotinique. M₁, M₂, M₃ : récepteurs muscariniques.

Les inhibiteurs d'acétylcholinestérase qui ont été mis sur le marché sont la Tacrine, le Donépézyl, la Rivastigmine et la Galanthamine (Figure 3). La Tacrine a été le premier inhibiteur d'acétylcholinestérase utilisé comme médicament au États-Unis. Son nom commercial était Cognex[®]. Cependant il présentait des effets secondaires (nausées, vomissement, troubles hépatiques)¹⁰¹ et a été retiré du marché en 2004, remplacé actuellement par les 3 autres produits : Aricept[®] (Donépézyl), Exelon[®] (Rivastigmine), Remynil[®] (Galanthamine) (Figure 3).

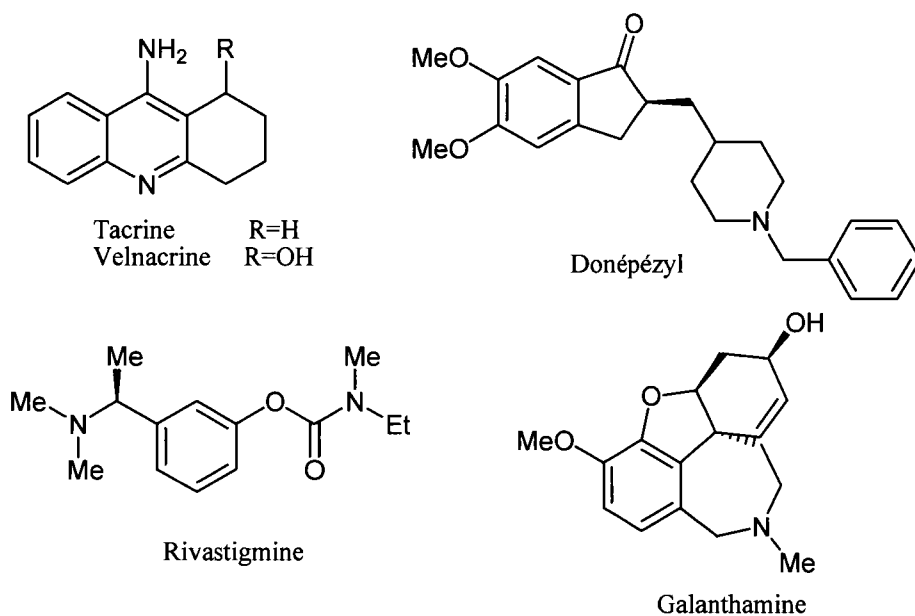


Figure 3

¹⁰¹ Augry, F.; Darchy, J.; De Rotou, J.; Gulefi, M.C.; Forette, F. *J. Pharm. Clin.* **1997**, *16*, 183.

2. Analogues hétérocycliques de la Tacrine

2.1 Bibliographie :

L'objectif de cette seconde partie est de préparer de nouveaux analogues de la Tacrine pour essayer d'améliorer le caractère inhibiteur d'acétylcholinestérase et d'éviter les effets secondaires, si possible.

Plusieurs équipes travaillent sur ce type de projet et de nombreux analogues de Tacrine ont déjà été synthétisés. Le cycle B étant nécessaire pour l'activité, trois types de modification sont possibles (Figure 3) :

- Le cycle benzénique A peut être remplacé par un hétérocycle tel que la pyridine,¹⁰² la dihydropyridine,¹⁰³ le pyrane,^{103,104} le furane,¹⁰⁵ le pyrazole.¹⁰⁶
- Le cycle C peut être modifié : un hétéroatome comme le soufre¹⁰⁷ ou l'azote¹⁰⁸ peut être inséré ou le cycle C peut être ponté, ce qui donne lieu à des Huprines.¹⁰⁹
- Une chaîne latérale peut être ajoutée, cela donne accès à des bis-Tacrine¹¹⁰ ou à des molécules à plusieurs fonctionnalités.^{100,111}

¹⁰⁰ Cavalli, A.; Bolognesi, M.L.; Minarini, A.; Rosini, M.; Tumiatti, V.; Recanatini, M.; Melchiorre, C. *J. Med. Chem.* **2008**, *51*, 347

¹⁰² (a) Marco, J.L.; De Los Rios, C.; Carreiras, C.; Baños J.E.; Badia, A.; Vivas, N.M. *Bioorg. Med. Chem.* **2001**, *9*, 727. (b) Marco, J.L.; De Los Rios, C.; Garcia, A.; Villarroya, M.; Carreiras, C.; Martins, C.; Eleutério, A.; Morreale, A.; Orozco, M.; Luque, F.J. ; *Bioorg. Med. Chem.* **2004**, *12*, 2199. (c) Leon, R.; Marco-Contelles J.; Garcia, A.G.; Villarroya, M. *Bioorg. Med. Chem.* **2005**, *13*, 1167. (d) Marco-Contelles J.; Leon, R.; De los Rios, C.; Garcia, A.G.; Lopez, M.G.; Villarroya, M. *Eur. J. Med. Chem.* **2006**, *41*, 1464.

¹⁰³ Marco-Contelles J.; Leon, R.; De los Rios, C.; Guglietta, A.; Terencio, J.; Lopez, M.G.; Garcia, A.; Villarroya, M. *J. Med. Chem.* **2006**, *49*, 7607.

¹⁰⁴ (a) Grau, A.M.; Marco, J.L. *Bioorg. Med. Chem.* **1997**, *24*, 3165. (b) Marco-Contelles J.; Leon, R.; De los Rios, C.; Garcia, A.G.; Lopez, M.G.; Villarroya, M. *Bioorg. Med. Chem.* **2006**, *14*, 8176.

¹⁰⁵ De Los Rios, C.; Marco, J.L.; Carreiras, M.D.C.; Chinchon, P.M.; Garcia, A.; Villarroya, M. *Bioorg. Med. Chem.* **2002**, *10*, 2077.

¹⁰⁶ (a) Campbell, J.B; Firor, J.W *J. Org. Chem.* **1995**, *60*, 5243. (b). Barreiro, E.J; Camara, C.A.; Hugo Verli, H.; Brazil-Ma's, L.; Castro, N.G; Wagner M. Cintra, W.M.; Aracava, Y.; Carlos R. Rodrigues, C.R.; Fraga C.A.M. *J. Med. Chem.* **2003**, *46*, 1144.

¹⁰⁷ Tabarini, O.; Ceccetti, V.; Temperani, A.; Filipponi, E.; Lamperti, M.G.; Fravolini, A.; *Bioorg. Med. Chem.* **2001**, *9*, 2921.

¹⁰⁸ (a) Valenti, P.; Rampa, A.; Bisi, A.; Andrisano, V.; Cavrini, V.; Fin, L.; Buriani, A.; Giusti, P. *Bioorg. Med. Chem. Lett.* **1997**, *7*, 2599. (b) Rampa, A.; Bisi, A.; Belluti, F.; Gobbi, S.; Valenti, P.; Andrisano, V.; Cavrini, V.; Cavalli, A.; Recatini, M. *Bioorg. Med. Chem.* **2000**, *8*, 497.

¹⁰⁹ Camps, P.; El Achab, R.; Morral, J.; Muñoz-Torrero, Bardia, A.; Eladi Baños, J; Vivas, N.M.; Barril, X.; Orozco, M.; Luque, F.J. *J. Med. Chem.* **2000**, *43*, 4657.

¹¹⁰ (a) Hu, M.K.; Wu, L.J.; Hsiao, G.H.; Yen, M.H. *J. Med. Chem.* **2002**, *45*, 2277. (b) Hu, M.K. *J. Pharm. Pharmacol.* **2001**, *53*, 83. (c) Bolognesi, M.L.; Cavalli, A.; Valgimigli, L.; Bartolini, M.; Rosini, M.; Andrisano, V.; Recanatini, M. Melchiorre, C. *J. Med. Chem.* **2007**, *50*, 6446.

¹¹¹ (a) Fang, L.; Appenroth, D.; Decker, M.; Kiehnopf, M.; Roegler, C.; Deufel, T.; Fleck, C.; Peng, S.; Zhang, Y.; Lehmann, J. *J. Med. Chem.* **2008**, *51*, 713. (b) Petroianu, G.; Arafat, K.; Sasse, B. C.; Stark, H. *Pharmazie* **2006**, *61*, 179.

Nous avons donc adopté la même stratégie pour synthétiser de nouveaux analogues. Dans ce projet, les modifications structurales que nous proposons sont le remplacement du cycle benzénique A et la modification de la taille et de la substitution du cycle C (Figure 3).

Pour le choix de l'hétérocycle, nous avons tout d'abord opté pour le thiophène. Il est admis que celui-ci est un bioisotère du benzène et qu'il est moins toxique que le motif benzénique dans une molécule. La synthèse des thiéno[2,3-*b*]quinoléines (**I**) est très peu décrite^{102b,112} et les des thiéno[3,2-*b*]quinoléines (**II**) et des thiéno[3,4-*b*]quinoléines (**V**) ne sont pas connues. Cette base a donc constitué un point de départ pour la préparation de nouveaux inhibiteurs d'acétylcholinestérase. Par la suite, nous avons étendu notre recherche à d'autres analogues hétérocycliques de la Tacrine comme les sélénophéno[3,2-*b*]quinoléines (**III**), les [2'',3''':4',5']thiéno[3',2':4,5]thiéno[3,2-*b*]quinoléines (**IV**) et les thiazolo[3,2-*b*]quinoléines. Toutes ces molécules n'étaient pas décrites dans la littérature.

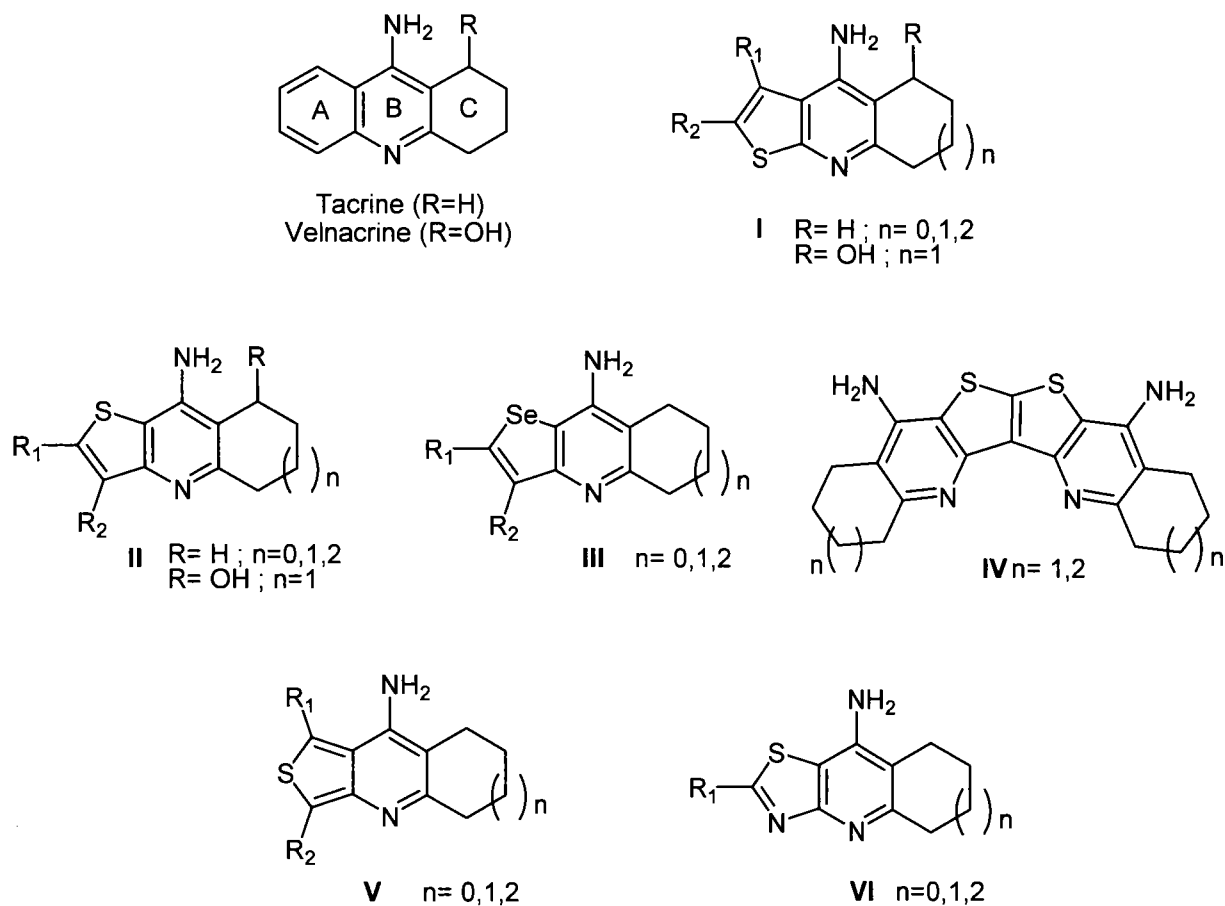


Figure 3

^{102b} Marco, J.L.; De Los Rios, C.; Garcia, A.; Villarroja, M.; Carreiras, C.; Martins, C.; Eleutério, A.; Morreale, A.; Orozco, M.; Luque, F.J. *Bioorg. Med. Chem.* **2004**, *12*, 2199.

¹¹² Chaki, H.; Yamabe, H.; Sugano, M.; Morita, S.; Bessho, T.; Tabata, R.; Saito, K-I.; Egawa, M.; Tobe, A.; Morinaka, Y.; *Bioorg. Med. Chem.* **1995**, *5*, 1495.

De nombreuses publications décrivent la synthèse d'analogues hétérocycliques de la Tacrine. La méthode utilisée est la réaction de Friedländer. Les schémas rétrosynthétiques indiquent que les précurseurs sont les cyclanones et les analogues hétérocycliques de l'antranilonitrile (Schéma 59). Pour les analogues de la Velnacrine¹¹³, la rétrosynthèse est plus longue, elle comporte un changement de groupe fonctionnel, une cyclisation et une condensation. Les précurseurs sont l'hétérocycle et la 1,3-cyclohexanedione. Ainsi les précurseurs des molécules **I-VI** sont respectivement le 2-amino-3-cyanothiophène (**VII**), les 3-amino-2-cyanothiophènes (**38-43**), le 3-amino-2-cyanosélénophène (**44-49**), le 3,4-diamino-2,5-dicyanothiéno[2,3-*b*]thiophène (**50**), les 3-amino-4-cyanothiophènes (**52-55**), les 4-amino-5-cyano-1,3-thiazoles (**59-62**) (Schéma 59).

Dans cette thèse nous ne parlerons pas des thiénoquinoléines **I** et des 2-amino-3-cyanothiophènes (**VII**) qui ont été synthétisés par Pierre Seck¹¹⁴ au laboratoire.

¹¹³ Tabarini, O.; Ceccetti, V.; Temperani, A.; Filipponi, E.; Lamperti, M.G.; Fravolini, A.; *Bioorg. Med. Chem.* **2001**, *9*, 2921

¹¹⁴ Seck, P.; Thomae D.; Kirsch. G. *J. Het. Chem.* **2008**, *45*, 853.

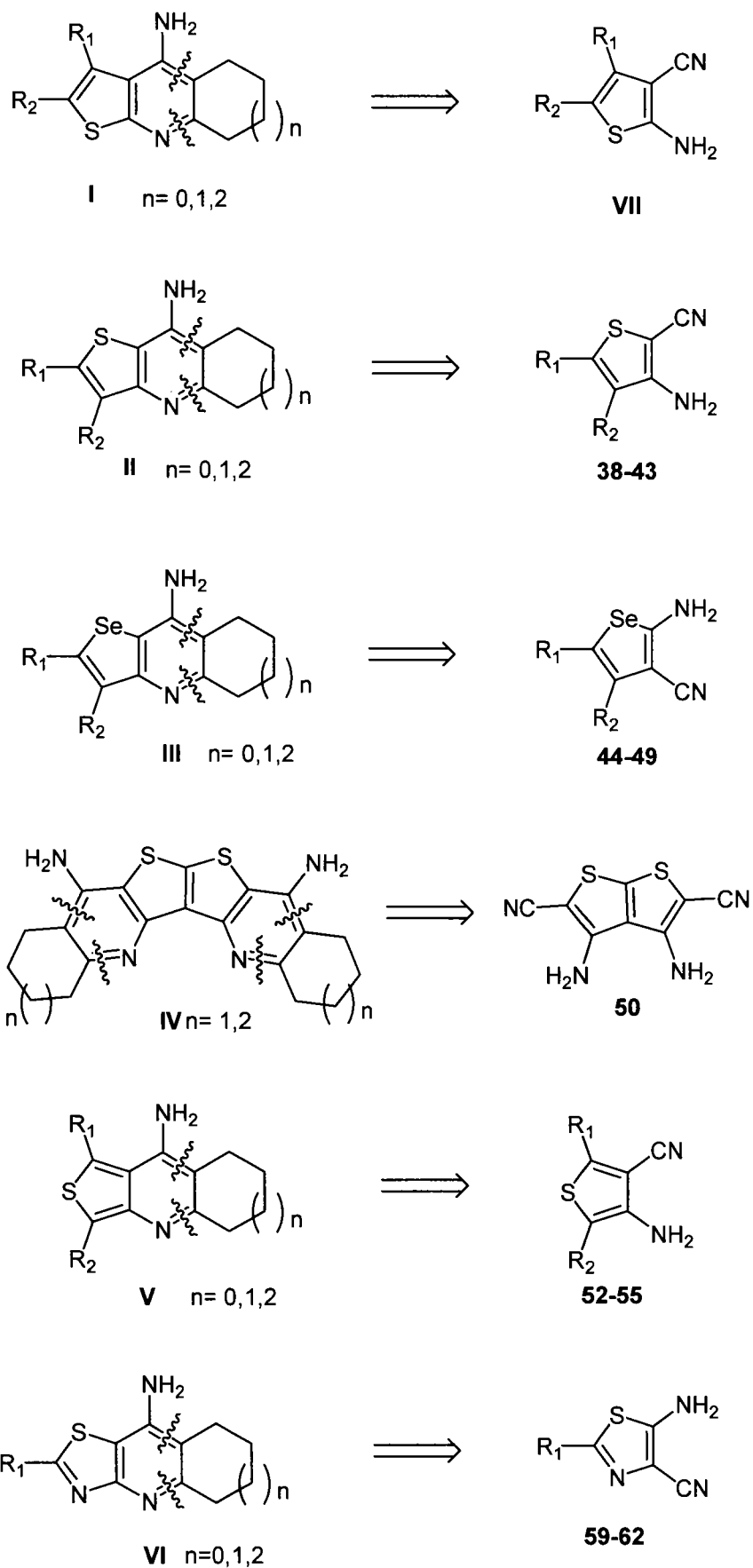


Schéma 59

3. Synthèse des analogues thiophéniques de la Tacrine, Réaction de Friedländer

3.1 Bibliographie

La réaction de Friedländer est très bien décrite dans la littérature. Découverte en 1882 par Friedländer,¹¹⁵ elle a fait l'œuvre de nombreux articles car elle offre de grandes possibilités de synthèses.¹¹⁶ Elle met en jeu des *o*-amino benzaldéhydes et benzophénones, des anthraniloesters, et des anthranilonitriles avec des cétones énoles pour obtenir des pyridines ou des quinoléines lorsque la cyclohexanone est choisie comme cétone.

De nombreux articles traitent de la méthodologie de cette réaction. En effet, la réaction de Friedländer peut s'effectuer en milieu basique,¹¹⁷ en milieu acide (HCl)¹¹⁸, en présence d'APTS,¹¹⁹ en milieu liquide ionique.¹²⁰ Enfin, un acide de Lewis peut être utilisé comme catalyseur tel que le chlorure de zinc,^{108,112, 121} le trifluoroborane,^{4,108a} ou le chlorure d'aluminium¹⁰²⁻¹⁰⁴.

⁴ McKenna, M.T.; Proctor, G.R.; Young, L.C.; Harvey, A.L. *J. Med. Chem.* **1997**, *40*, 3516.

¹⁰² (a) Marco, J.L.; De Los Rios, C.; Carreiras, M. C.; Baños J.E.; Badia, A.; Vivas, N. M. *Bioorg. Med. Chem.* **2001**, *9*, 727. (b) Marco, J.L.; De Los Rios, C.; Garcia, A.G.; Villarroja, M.; Carreiras, M. C.; Martins, C.; Eléuterio, A.; Morreale, A.; Orozco, M.; Luque, F.J.; *Bioorg. Med. Chem.* **2004**, *12*, 2199. (c) Léon, R.; Marco-Contelles J.; Garcia, A.G.; Villarroja, M. *Bioorg. Med. Chem.* **2005**, *13*, 1167. (d) Marco-Contelles J.; Léon, R.; De los Rios, C.; Garcia, A.G.; Lopez, M.G.; Villarroja, M. *Eur. J. Med. Chem.* **2006**, *41*, 1464.

¹⁰³ Marco-Contelles J.; Léon, R.; De los Rios, C.; Guglietta, A.; Terencio, J.; Lopez, M.G.; Garcia, A.; Villarroja, M. *J. Med. Chem.* **2006**, *49*, 7607.

¹⁰⁴ (a) Marco, J.L., Martinez Grau, A. *Bioorg. Med. Chem. Lett.* **1997**, *24*, 3165. (b) Marco-Contelles J.; Leon, R.; De los Rios, C.; Garcia, A.G.; Lopez, M.G.; Villarroja, M. *Bioorg. Med. Chem.* **2006**, *14*, 8176.

¹⁰⁸ (a) Valenti, P.; Rampa, A.; Bisi, A.; Andrisano, V.; Cavrini, V.; Fin, L.; Buriani, A.; Giusti, P. *Bioorg. Med. Chem. Lett.* **1997**, *7*, 2599. (b) Rampa, A.; Bisi, A.; Belluti, F.; Gobbi, S.; Valenti, P.; Andrisano, V.; Cavrini, V.; Cavalli, A.; Recatini, M. *Bioorg. Med. Chem.* **2000**, *8*, 497.

¹¹² Chaki, H.; Yamabe, H.; Sugano, M.; Morita, S.; Bessho, T.; Tabata, R.; Saito, K-I.; Egawa, M.; Tobe, A.; Morinaka, Y.; *Bioorg. Med. Chem.* **1995**, *5*, 1495

¹¹⁵ Friedländer, P. *Ber.* **1882**, *15*, 2572

¹¹⁶ Cheng, C. C.; Yan, S. J. *Org. React.* **1982**, *28*, 37.

¹¹⁷ (a) Li, A.H.; Ahmed E.; Chen, X.; Cox, M.; Cew, A.P.; Dong, H.Q.; Jin, M.; Ma, L.; Panicker, B.; Siu, K.W.; Steinig, A.G.; Solz, K.M.; Tavares, P.A.R.; Volk, B.; Weng, Q.; Werner, D.; Muhlvihill, M.J. *Org. Biomol. Chem.* **2007**, *5*, 61. (b) Maguire, M.P.; Sheets, K.R.; McVety, K.; Spada, A.P.; Zilberstein, A. *J. Med. Chem.* **1994**, *37*, 2129.

¹¹⁸ (a) Wang, G.W.; Jia, C.S.; Dong, Y.W. *Tetrahedron Lett.* **2006**, *47*, 1059. (b) Muscia, G.C.; Bollini, M.; Carnavale, J.P.; Bruno, A.M.; Asis, S.E. *Tetrahedron Lett.* **2006**, *47*, 8811.

¹¹⁹ Akue-Gedu, R.; Gautret, Lelieur, J.P.; Rigo, B. *Synthesis* **2007**, 331.

¹²⁰ Palimkar, S.S.; Siddiqui, S.A.; Daniel, T.; Lahoti, R.J.; Srinivasan, K.V.J. *J. Org. Chem.* **2003**, *68*, 9371.

¹²¹ Li, J.; Shi, L.Z.D.; Wang, Q.L.D.; Wang, C. Zhang, O.; Zhang, L.; Fan, Y. *Synlett* **2008**, 233.

3.2 Synthèse

Dans la littérature, la plupart des méthodes décrites utilisent les *o*-amino benzaldéhydes et *o*-aminobenzophénones. Jose Luis Marco et *al.*¹⁰²⁻¹⁰⁴ ont décrit la synthèse d'analogues hétérocycliques de la Tacrine à partir d'anthralinonitriles en présence de chlorure d'aluminium. C'est donc ces mêmes conditions que nous avons appliquées aux 3-amino-2-cyanothiophènes dans un premier temps. Toutes les précautions ont été prises pour éviter les traces d'eau. Ainsi le dichloroéthane est distillé et la réaction est réalisée sous atmosphère d'argon. Le chlorure d'aluminium est mis en suspension dans le dichloroéthane distillé, sont ajoutés les thiophènes (**39-42**) puis les cétones cycliques (Schéma 60). La réaction est réalisée sous atmosphère d'argon, au reflux pendant 12 heures. Les composés **112-123** sont obtenus avec des rendements variant entre 80 et 98 %.³¹

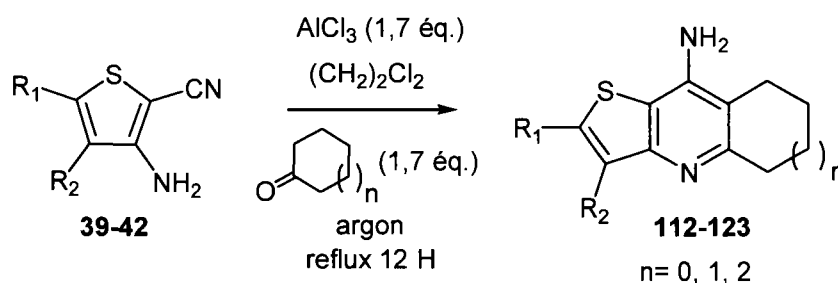
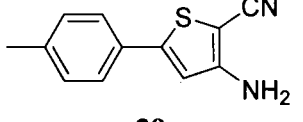
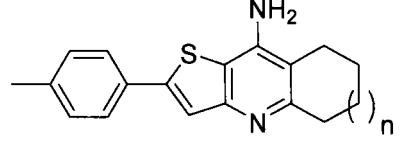
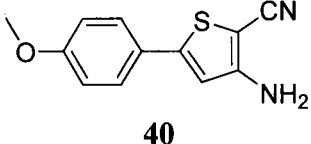
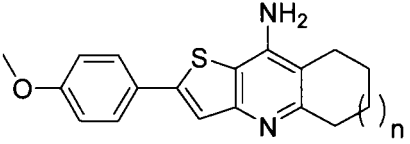
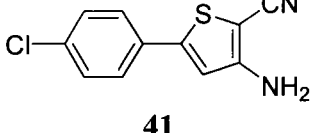
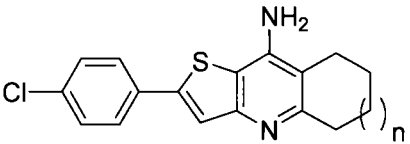
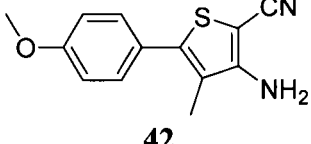
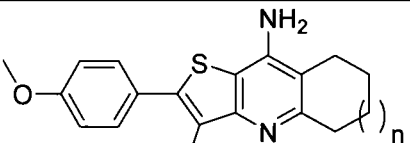


Schéma 60

3.3 Mécanisme

Le mécanisme de cette réaction est décrit en 2004 par Marco et coll (Schéma 61).^{102b} La première étape est la formation de l'imine, qui est en équilibre avec l'énamine. Celle-ci permet la cyclisation par le déplacement du doublet non liant de l'azote. L'hydrolyse en milieu basique conduit à la thiéno[3, 2-b]quinoléine (Schéma 61).

Tableau 13 : Synthèse des analogues thiophéniques de la Tacrine

3-amino-2-cyanothiophènes	Analogues thiophéniques de la Tacrine	Composé	Rendement (%)
 <p>39</p>		<p>112 n=0 113 n=1 114 n=2</p>	<p>87 88 80</p>
 <p>40</p>		<p>115 n=0 116 n=1 117 n=2</p>	<p>87 97 97</p>
 <p>41</p>		<p>118 n=0 119 n=1 120 n=2</p>	<p>88 89 85</p>
 <p>42</p>		<p>121 n=0 122 n=1 123 n=2</p>	<p>76 98 98</p>

Mécanisme

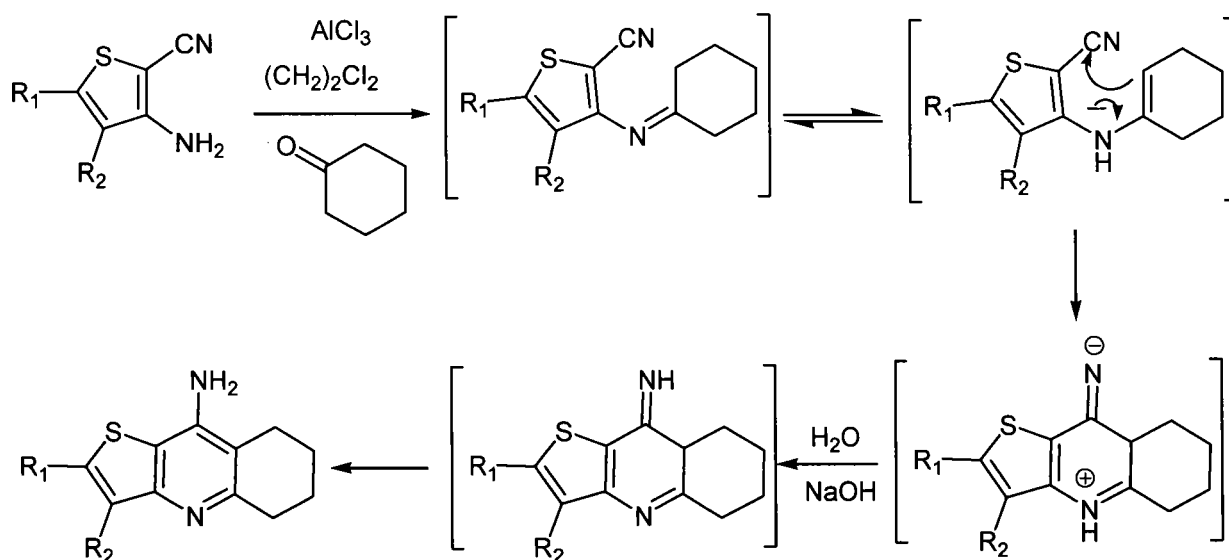


Schéma 61

Le mécanisme réactionnel montre aussi qu'il y a perte d'une molécule d'eau. Le mode opératoire a été modifié par la suite et nous n'avons plus pris les mêmes précautions pour éviter la présence d'eau. L'ordre d'ajout des réactifs est modifié. Le chlorure d'aluminium est ajouté à une solution de thiophène et de cétone dans le dichloroéthane. Cela permet d'activer seulement la cétone. Lorsque cette réaction est réalisée avec le thiophène **38** dans ces nouvelles conditions, le temps de réaction est ramené à 6 heures (Schéma 62), alors que dans les conditions précédentes, le temps de réaction pour la synthèse du thiophène **125** était de 12 heures.

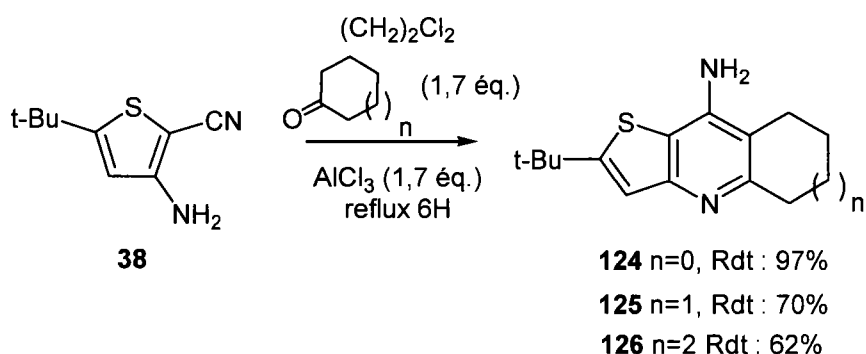


Schéma 62

Par ailleurs, plusieurs équipes ont déterminé les conditions pour réaliser ce type de réaction aux micro-ondes^{118b,122} ce qui permet de réduire considérablement le temps de réaction. La solution est chauffée au reflux pendant 10 minutes au micro-ondes à 150 W en mode « open vessel ». Ce mode d'irradiation permet de maintenir une température constante en ajustant la puissance délivrée. Les rendements obtenus sont excellents (Schéma 63).

^{118b} Muscia, G.C.; Bollini, M.; Carnavale, J.P.; Bruno, A.M.; Asis, S.E. *Tetrahedron Lett.* **2006**, *47*, 8811.

¹²² (a) Frideling, A.; Faure, R.; Galy, J.P.; Kenz, A.; Alkorta, I.; Elguero, J. *Eur. J. Med. Chem.* **2004**, *39*, 37. (b) Perreux, L.; Loupy, A. *Tetrahedron* **2001**, *57*, 9199. (c) Son, S.J.; Cho, S.J.; Park, D.K.; Kwon, T.W.; Jenekhe, S.A. *Tetrahedron Lett.* **2003**, *44*, 255. (d) Jia, C.S.; Zhang, Z.; Tu, S.J.; Wang, G.W. *Org. Biomol. Chem.* **2006**, *4*, 104.

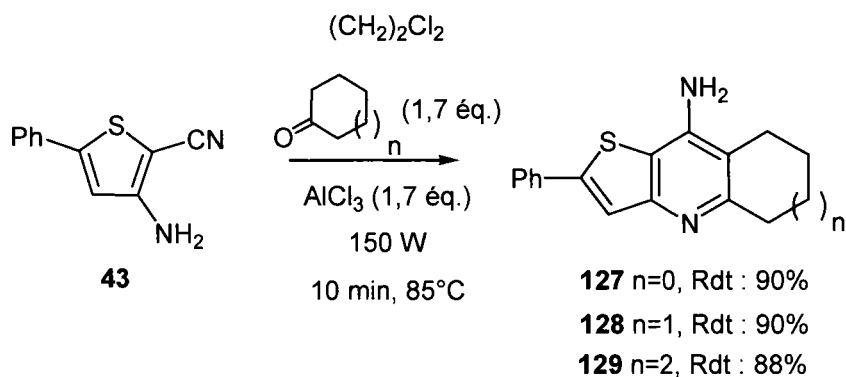


Schéma 63

3.4 Conclusion

Nous avons réussi à synthétiser en une seule étape et avec de très bons rendements les analogues thiophéniques de la Tacrine grâce à la réaction de Friedländer. Nous avons optimisé les conditions pour réduire le temps de réaction. L'ordre d'addition des réactifs a été modifié par rapport au mode opératoire précédent ce qui nous a permis dans un premier temps de réduire le temps de réaction de moitié. L'utilisation du micro-ondes a permis de réduire considérablement le temps de réaction (10 min) tout en ayant d'excellents rendements.

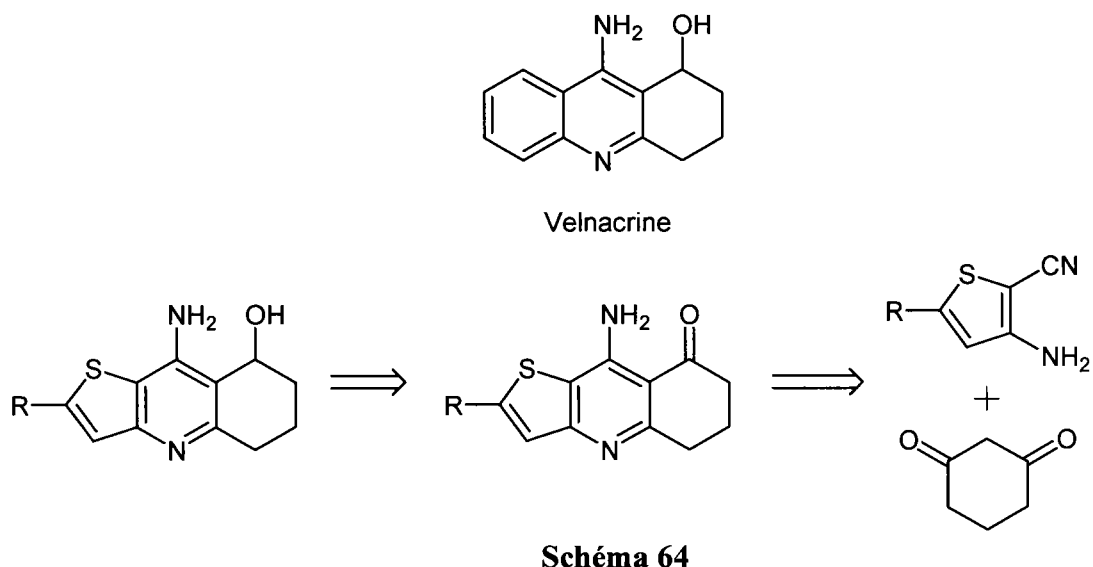
4. Synthèse des analogues thiophéniques de la Velnacrine

4.1 Bibliographie

La Velnacrine est l'analogue hydroxylé de la Tacrine. Pour synthétiser les analogues thiophéniques de la Velnacrine, il est nécessaire de passer par les thiéno[3,2-*b*]quinoléinones puis de réduire la fonction cétonique en alcool (Schéma 64). Donc la première étape est de faire réagir les 3-amino-2-cyanothiophènes avec la 1,3-cyclohexanedione. Pour cela nous avons deux méthodes possibles de synthèse :

- Tabarini et *al.* ont décrit la synthèse d'analogues soufrés de la Velnacrine.¹⁰⁷ Ces composés ont été synthétisés en trois étapes à partir de l'anthalinonitrile et de la thiopyran-3,5-dione.

- La deuxième méthode consiste à utiliser la réaction de Friedländer avec la cyclohexane-1,3-dione pour obtenir les analogues thiophéniques de la Velnacrine en deux étapes.



4.2 Synthèse des 9-amino-6,7-dihydrothiéno[3,2-b]quinoléin-8(5H)-ones

Nous avons testé les deux méthodes. La méthode A consiste à condenser premièrement les 3-amino-2-cyanothiophènes sur la 1,3-cyclohexanedione (Schéma 65). La réaction est réalisée dans le toluène et catalysée par l'acide paratoluène sulfonique. Une distillation azéotropique permet d'éliminer l'eau formée. Nous obtenons les énamines **130-131** avec des rendements respectifs de 11 et 54% (Tableau 14).

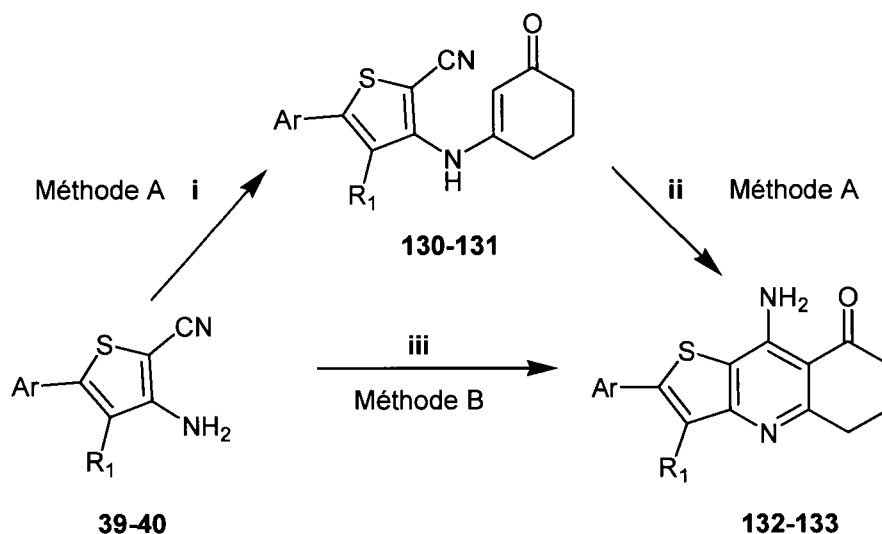


Schéma 65 : i cyclohexan-1,3-dione, APTS, toluène, Dean-Stark, reflux; ii CuCl, base, DMF, reflux; iii AlCl₃ (3,4 éq.), cyclohexan-1,3-dione, (CH₂)₂Cl₂, reflux 48h.

Tableau 14 : Synthèse des énamines

3-amino-2-cyanothiophènes	énamine	Composé	Rendement (%)
 <chem>Nc1cc(C#N)s1-c2ccc(R)cc2</chem> 39		130	11
 <chem>Nc1cc(C#N)s1-c2ccc(OC)cc2</chem> 40		131	54

La seconde étape est la cyclisation. Elle s'effectue au reflux du DMF en présence de chlorure de cuivre I et en milieu basique. Deux bases ont été testées, le carbonate de potassium et le méthanolate de sodium. Les thiéno[3,2-*b*]quinoléinones **132** et **133** ont été obtenues avec des rendements respectifs de 81 et 38 % (Tableau 15).

Tableau 15 : Préparation des thiéno[3,2-*b*]quinoléinones

thiéno[3,2- <i>b</i>]quinoléinones	Composé	Rendement (%)	
		Méthode A	Méthode B
 <chem>Nc1nc2c(s1)c3ccc(R)cc3c2c(=O)CCCC4=CC=CC=C4</chem> 132	132	81 MeONa	80
 <chem>Nc1nc2c(s1)c3ccc(OC)cc3c2c(=O)CCCC4=CC=CC=C4</chem> 133	133	38 K ₂ CO ₃	85

La méthode B consiste à utiliser la réaction de Friedländer. Elle permet la synthèse des thiéno[3,2-*b*]quinoléinones **132-133**, en une seule étape. Les 3-amino-2-cyanothiophènes sont mis en réaction avec la 1,3-cyclohexanedione dans le dichlororéthane en présence de chlorure d'aluminium. La réaction est chauffée au reflux pendant 48 heures. Les rendements obtenus sont très bons (80 et 85%) (Tableau 15).

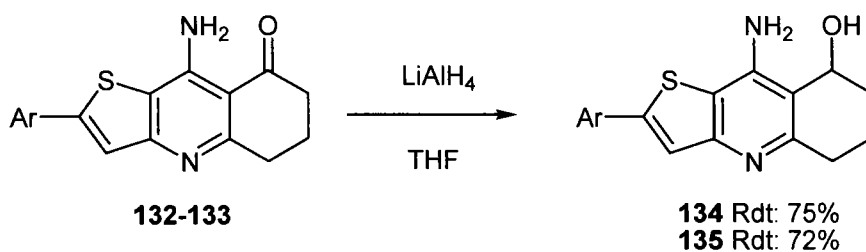
4.2.1 Conclusion

Nous avons synthétisé les thiéno[3,2-*b*]quinoléinones selon deux méthodes différentes. La méthode A comporte deux étapes et n'a pas été optimisée pour obtenir de meilleurs rendements car il apparaît clairement que la réaction de Friedländer est plus adaptée pour obtenir plus rapidement les thiéno[3,2-*b*]quinoléinones avec de bons rendements.

4.3 Réduction des 9-amino-6,7-dihydrothiéno[3,2-*b*]quinoléin-8(5H)-ones

4.3.1 Synthèse

La fonction cétonique des thiéno[3,2-*b*]quinoléinones est facilement réduite par l'hydrure de lithium aluminium dans le THF. Les thiéno[3,2-*b*]quinoléinols sont obtenus avec de bons rendements (Schéma 66).



4.3.2 Conclusion

Nous avons synthétisé avec de nouveaux analogues thiophéniques de la Tacrine et de la Velnacrine. L'équipe de biologie déterminera le potentiel inhibiteur d'acétylcholinestérase de ces molécules.

5. Synthèse des analogues sélénophéniques de la Tacrine

Les 3-amino-2-cyanosélénophènes **44-49** précédemment synthétisés sont utilisés dans la réaction de Friedländer. Nous avons donc réalisé la réaction par chauffage classique et par micro-ondes (Schéma 67).

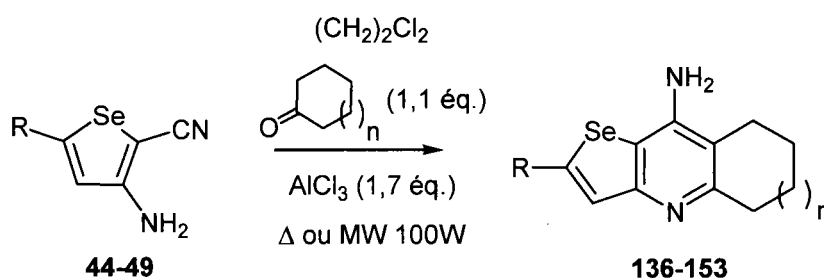
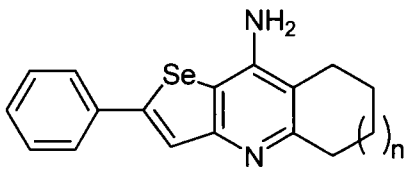
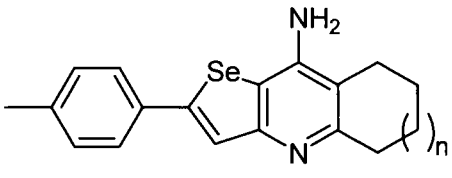
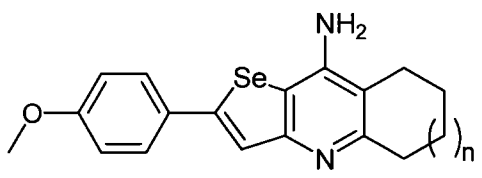
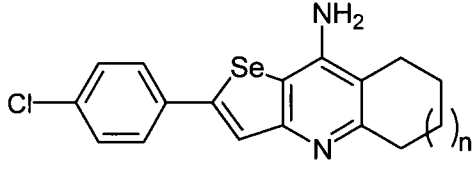
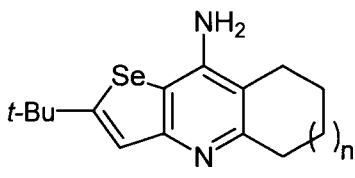
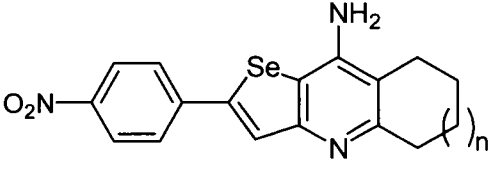


Schéma 67

Par chauffage classique, en mettant le chlorure d'aluminium en suspension puis en ajoutant le sélénophène **47** et la cyclohexanone, on obtient le composé **145** après 12 heures de reflux avec un rendement de 75%. Tout comme dans l'exemple précédent, nous avons changé l'ordre des réactifs. Nous avons dissous, les sélénophènes et les cétones dans le dichloroéthane. Le chlorure d'aluminium est ajouté en dernier lieu avant le chauffage à reflux. Avec ces conditions, le temps de réaction n'excède pas deux heures. Les composés **136-153** sont obtenus avec de bons rendements variant entre 65 et 95% (Tableau 16).⁴²

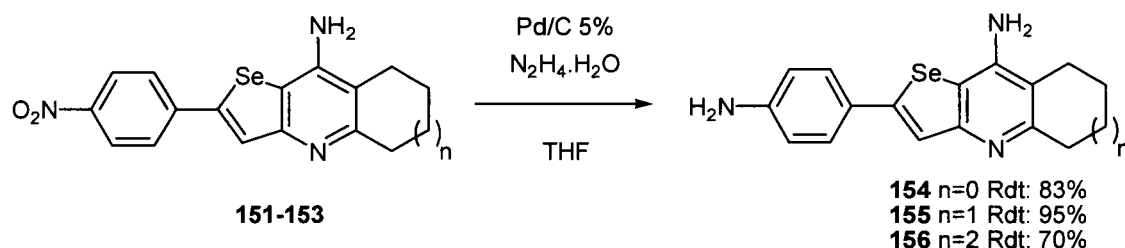
Par irradiation micro-ondes, nous avons d'abord testé les conditions décrites dans le paragraphe précédent. Mais après 10 minutes à 150W en mode open Vessel à 85°C, la réaction n'était pas finie. Nous avons donc augmenté la puissance à 200W. Cette puissance était trop forte et dégradait le chlorure d'aluminium qui ne peut plus catalyser la réaction. C'est pour cela que nous avons changé de mode d'irradiation. Nous avons choisi le mode Power Time. Avec ce mode ci, la puissance délivrée est constante. Nous avons donc choisi 100W comme puissance qui permet d'atteindre facilement, la température d'ébullition du dichloroéthane et ne dégrade pas le chlorure d'aluminium. Nous avons obtenu les composés **136-153** avec de très bons rendements et le temps de réaction n'excède pas 16 minutes. Il faut souligner que pour la préparation des composés **151-153** nous avons dû changer de solvant car les produits **151-153** étaient peu solubles dans le dichloroéthane et précipitaient, ce qui ne permettait pas de finir la réaction aux micro-ondes (Tableau 16).

Tableau 16 : Synthèse des analogues sélénophénique de la Tacrine.

Analogue de la Tacrines	Composé	Reflux		Micro-ondes 100W	
		Temps	Rdt (%)	Temps	Rdt (%)
	136 n=0	120 min	65	2×8 min	70
	137 n=1	120 min	85	2×8 min	95
	138 n=2	120 min	78	2×8 min	97
	139 n=0	60 min	83	1×8 min	93
	140 n=1	60 min	80	1×8 min	89
	141 n=2	60 min	76	1×8 min	91
	142 n=0	120 min	85	2×8 min	75
	143 n=1	60 min	73	2×8 min	84
	144 n=2	60 min	75	2×8 min	82
	145 n=0	120 min	84	1×10 min	94
	146 n=1	120 min	94	1×10 min	79
	147 n=2	120 min	90	1×10 min	88
	148 n=0	120 min	92	1×8 min	93
	149 n=1	120 min	95	1×8min + 3 min	94
	150 n=2	120 min	91	1×8 min	91
	151 n=0	120 min	85	2×8 min ^a	86
	152 n=1	120 min	95	2×8 min ^a	95
	153 n=2	120 min	85	2×8 min ^a	88

^a Réaction effectuée dans le THF avec 6 équivalents de AlCl₃

La fonction nitro des composés **151-153** peut être facilement réduite en groupement amine. L'hydrazine est décomposée sur du palladium sur charbon et produit ainsi une source d'hydrogène. Nous obtenons ainsi les composés **154-156** avec de bons rendements (Schéma 68).



Conclusion

Nous avons synthétisé avec succès de nouveaux analogues sélénophéniques de la Tacrine. Nous avons comparé le chauffage classique et la réaction assistée par micro-ondes pour la réaction de Friedländer. Les rendements obtenus sont comparables par contre, avec les micro-ondes le temps de réaction ne dépasse pas 16 minutes ce qui consiste un avantage. L'équipe de biologie mesurera le potentiel inhibiteur d'acétylcholinestérase de ces molécules.

6. Réaction de Friedländer avec le 2,5-dicyano-3,4-diaminothiéno[2,3-*b*]thiophène

6.1 Synthèse

Nous avons mis en réaction le 2,5-dicyano-3,4-diaminothiéno[2,3-*b*]thiophène **50**. Ce composé comporte deux fois le motif *ortho*-amino-cyano. Il est donc mis avec 3,4 équivalents de cyclanone et de chlorure d'aluminium. La réaction est chauffée pendant une nuit au reflux. Les rendements obtenus sont moyens. Cela provient des difficultés rencontrées pendant le traitement (polarité des composés finaux) (Schéma 69). Cette réaction n'a pas été réalisée aux micro-ondes.

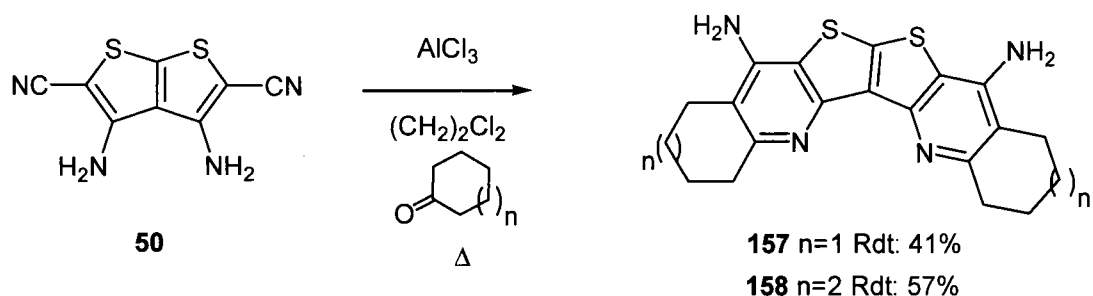


Schéma 69

6.2 Conclusion

Nous avons adapté les conditions de la réaction de Friedländer pour synthétiser avec des rendements moyens les molécules **157** et **158** qui comportent deux motifs quinoléiniques.

7. Synthèse des thieno[3,4-*b*]quinoléines

7.1 Synthèse

Nous avons mis en jeu les 3-amino-4-cyanothiophène-2-carboxylates d'éthyle **52-55** dans la réaction de Friedländer. Sur ces composés, deux fonctions peuvent réagir pour cycliser (Schéma 70). Cette réaction est sélective puisque seulement la fonction nitrile réagit et nous obtenons les thieno[3,4-*b*]quinoléines **159-162**.

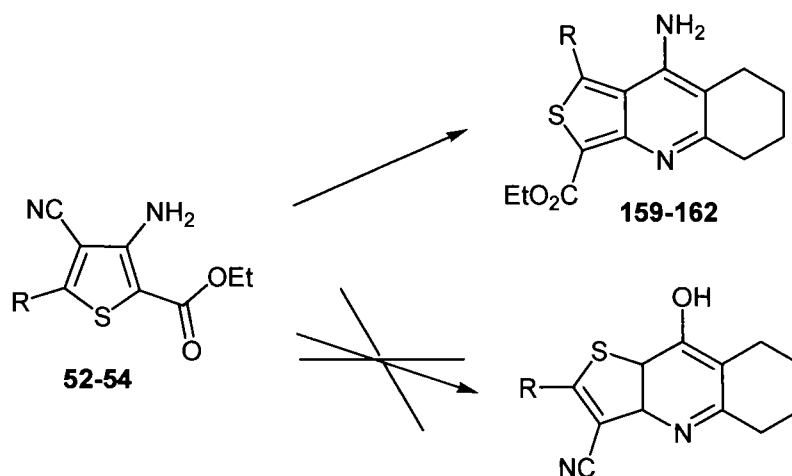


Schéma 70

Nous mettons les thiophènes **52-55** en solution avec la cyclohexanone et deux équivalents de chlorure d'aluminium sont ajoutés. La réaction est ensuite chauffée pendant deux heures au reflux (Schéma 71). Pour le traitement, le solvant est évaporé, et une solution de soude à 10 % est ajoutée. Le produit attendu précipite et est isolé par filtration. Ce traitement présente deux avantages : la méthode est plus rapide et pour les molécules très polaires, cela nous évite de perdre du produit lors de l'extraction.

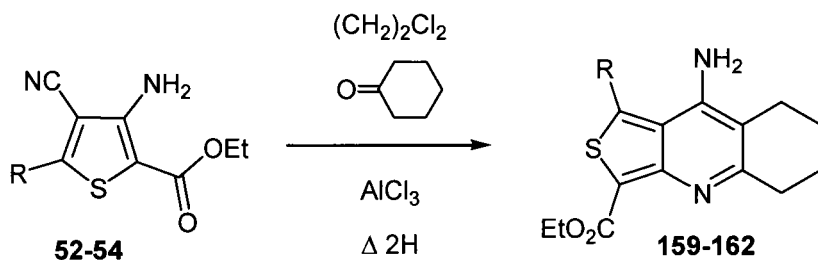
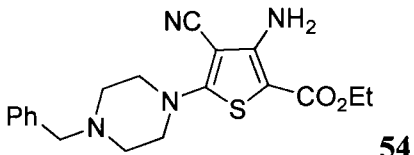
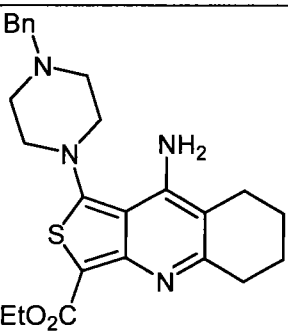
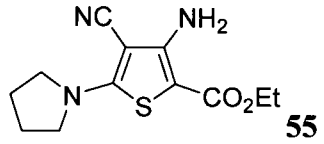
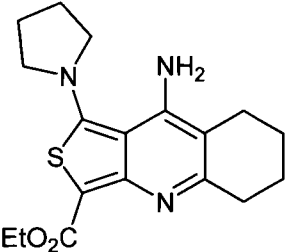


Tableau 17 : Préparation des thiéno[3,4-b]quinoléines

3-Amino-4-cyanothiophènes	Thiéno[3,4-b]quinoléines	Composé	Rendement (%)
<p style="text-align: right;">52</p>	<p style="text-align: center;">159</p>	159	96
<p style="text-align: right;">53</p>	<p style="text-align: center;">160</p>	160	87

Tableau 17 : Préparation des thiéno[3,4-b]quinoléines

3-Amino-4-cyanothiophènes	Thiéno[3,4-b]quinoléines	Composé	Rendement (%)
 <p>54</p>		161	89
 <p>55</p>		162	90

Cette réaction a été aussi réalisée par irradiation micro-ondes avec une puissance constante de 100W. Le composé **159** a été préparé avec un rendement de 93 % en 24 minutes (Schéma 72).

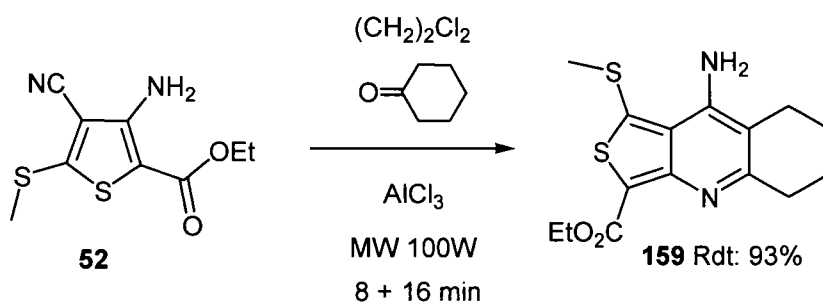


Schéma 72

7.2 Conclusion

Nous avons réussi à synthétiser les thiéno[3,4-b]quinoléines avec de bons rendements à partir des 3-amino-4-cyanothiophènes. Nous avons modifié le traitement ce qui permet d'obtenir plus rapidement les produits finaux.

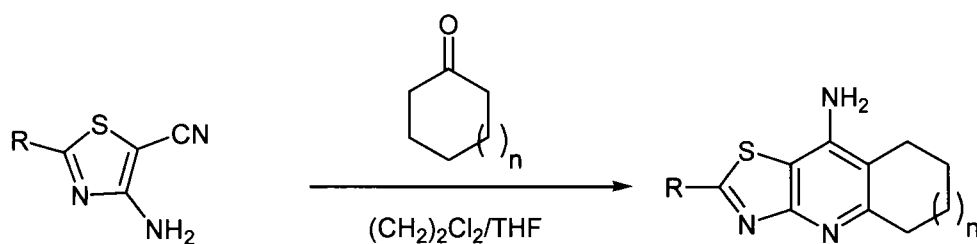
8. Synthèse des analogues thiazoliques de la Tacrine

8.1 Synthèse

Nous avons mis en jeu les 4-amino-5-cyano-1,3-thiazoles **59-62** dans la réaction de Friedländer afin d'obtenir les analogues thiazoliques de la Tacrine. Selon le thiazole utilisé, nous devons adapter les conditions de réaction (Schéma 73). Premièrement nous avons dû utiliser 4 équivalents de chlorure d'aluminium. Par chauffage classique, le solvant de réaction choisi est le dichloroéthane pour les thiazoles **59** et **62** et pour les thiazoles **60** et **61** qui sont plus polaires, le dichloroéthane ne convient pas et après quelques minutes de réaction, apparaît le produit final qui précipite sans que la réaction arrive à son terme. Pour cela, nous avons choisi le THF comme solvant ce qui permet de solubiliser totalement les produits de départ et de mener à bien les réactions. Nous obtenons les composés **163-174** après 4 heures de chauffage au reflux et avec de bons rendements (Tableau 18).

Nous avons ensuite comparé cette méthode avec le chauffage par micro-ondes en mode « Power Time ». Nous avons choisi d'utiliser les thiazoles **59-62** et de les faire réagir avec la cyclohexanone en présence de chlorure d'aluminium. Pour le thiazole, **59** il faut utiliser une puissance de 150W pour que la réaction soit complète. Avec les thiazoles **60-62**, un mélange dichloroéthane/ THF est utilisé. Le dichloroéthane permet de réaliser les réactions sans dépasser une trentaine de minutes environ et le THF permet de solubiliser les thiazoles de départ pour que la réaction soit complète. Les rendements obtenus sont bons et varient entre 79 % et 93 % (Tableau 19).

Pour traiter ces réactions nous avons évaporé le solvant, additionné une solution de soude à 10% et filtré le précipité. Cette méthode se révèle très pratique car par extraction les composés précipitaient dans la phase organique.



59 R= méthylsulfanyl-

60 R =4-morpholinyl-

61 R= 1-pyrrolidinyl-

62 R= anilino-

AlCl₃

Δ or MW 100-150 W

163-174

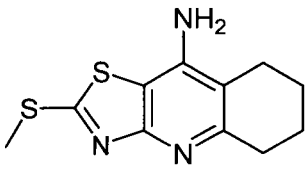
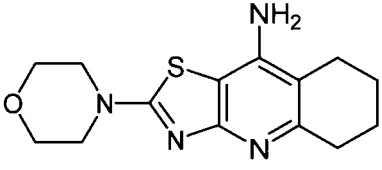
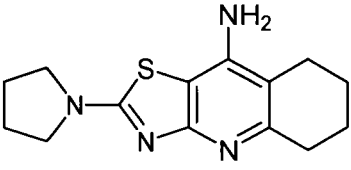
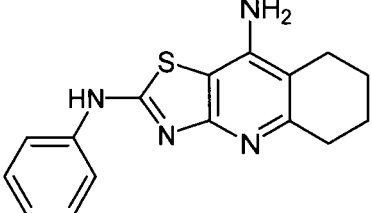
n= 0, 1, 2

Schéma 73

Tableau 18 : Préparation des thiazolo[4,5-*b*]quinoléines et thiazolo[5,4-*e*]pyridines par chauffage classique.

Analogues thiazoliques de la Tacrines	Composé	Chauffage classique		
		Temps	Rdt (%)	Solvant
	163 n=0	240 min	65	Dichloroéthane
	164 n=1	240 min	85	
	165 n=2	240 min	78	
	166 n=0	240 min	83	THF
	167 n=1	240 min	80	
	168 n=2	240 min	76	
	169 n=0	240 min	85	THF
	170 n=1	240 min	73	
	171 n=2	240 min	75	
	172 n=0	240 min	84	Dichloroéthane /THF (5 : 1)
	173 n=1	240 min	94	
	174 n=2	240 min	90	

Tableau 19 : Préparation des thiazolo[4,5-*b*]quinoléines et thiazolo[5,4-*e*]pyridines par irradiation micro-ondes.

Analogues thiazoliques de la Tacrines	Composé	Micro-ondes		
		Temps	Rdt (%)	Solvant/ Puissance
	164	3×8 min	93	Dichloroéthane /THF (4:1) 150 W
	167	2×16 min	93	Dichloroéthane /THF (4:1) 100W
	170	2×16 min	80	Dichloroéthane /THF (4:1) 100W
	173	1×16 min	79	Dichloroéthane /THF (4:1) 100W

8.2 Conclusion

La polarité de ses molécules nous a conduit à utiliser le THF comme solvant de réaction parfois et à évaporer le solvant afin de ne pas perdre de produit. Pour chaque thiazole, nous avons déterminé les meilleures conditions pour réaliser la réaction de Friedländer et obtenir les produits finaux avec de bons rendements. Nous avons synthétisé 12 nouveaux analogues thiazoliques de la Tacrine.

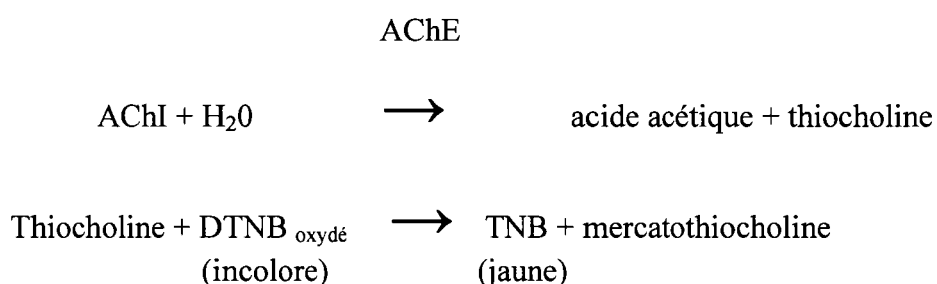
Conclusion du Chapitre II

Nous avons utilisé les divers analogues hétérocycliques des anthranilonitriles pour les engager dans la réaction de Friedländer. Nous avons préparé ainsi les analogues thiophéniques, sélénophéniques, et thiazoliques de la Tacrine. Nous avons dû adapter les conditions de la réaction de Friedländer pour chaque hétérocycle de départ. L'utilisation du micro onde a permis un gain de temps considérable lors de cette réaction. Cela nous a permis d'avoir un accès très rapide à de nombreux nouveaux analogues hétérocycliques de la Tacrine. Ceux-ci sont testés par l'équipe de biologie. Dans le Chapitre III, nous allons étudier les résultats des tests biologiques.

CHAPITRE III : Tests biologiques

1. Tests d'inhibition de l'acétylcholinestérase :

Les molécules synthétisées décrites ci-dessus ont été confiées à l'équipe de biologie du laboratoire. Leur potentiel inhibiteur d'acétylcholinestérase a été évalué en utilisant le test de Ellman¹²³. Brièvement, l'iodure d'acétylthiocholine (AChI), utilisé ici comme substrat artificiel de l'enzyme acétylcholinestérase (AChE), est hydrolysé par l'enzyme en thiocholine dont la fonction thiol réduit immédiatement le DTNB pour former un composé jaune qui absorbe à 412 nM.



Les tests sont réalisés avec de l'acétylcholinestérase humaine recombinante dont la concentration (2 U.mL^{-1} dans du tampon phosphate 0.1 M , $\text{pH } 8$) reste constante. Les solutions de substrat AChI, utilisé ici à concentration saturante (132 mM dans de l'eau distillée) et de DTNB ($13,2 \text{ mM}$ en tampon phosphate $\text{pH } 7$ et EDTA 1 mM) sont conservées à -20°C et décongelées le jour de l'utilisation. Les différents composés supposés inhibiteurs sont dissous temporairement dans le DMSO et ajoutés au mélange réactionnel à des concentrations variant de 0 à $20 \text{ }\mu\text{M}$. La concentration finale de DMSO dans tous les essais est de 6% : cette concentration a été déterminée expérimentalement de façon à pouvoir solubiliser les maximum de composés sans altérer l'activité enzymatique. Les tests sont réalisés en plaques de 96 puits en utilisant tous les témoins nécessaires (sans enzyme, sans

¹²³ Ellman, G.; Courtney, K.D.; Andres, V.; Featherstone, R.M. *Biochem. Pharmacol.* **1961**, *7*, 88.

substrat, sans inhibiteur), chaque concentration de composé étant testée sur un minimum de 5 essais indépendants.

L'activité inhibitrice de nos composés est donnée par la valeur de l'IC₅₀ (évaluée à l'aide du logiciel proposé par Armand Maul,¹²⁴ c'est-à-dire la concentration à laquelle l'activité de l'acétylcholinestérase est inhibée à 50%.

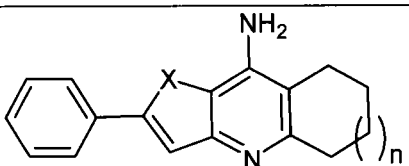
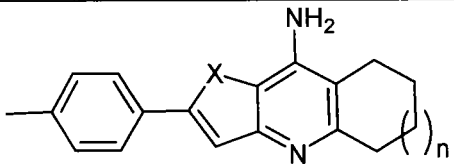
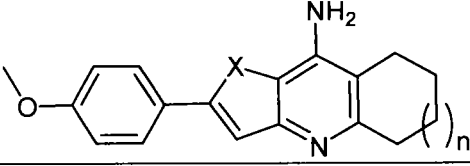
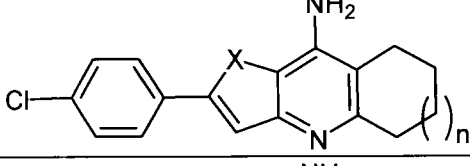
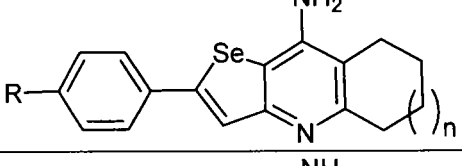
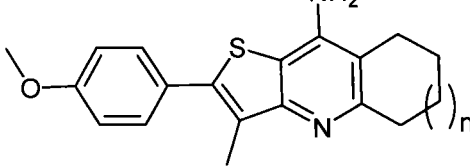
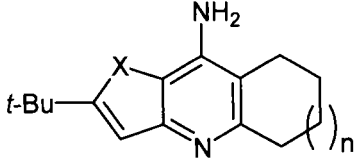
Dans ces conditions, l'IC₅₀ de la Tacrine est de 0,34 µM. Les résultats sont indiqués dans le tableau 20 pour les analogues thiophéniques et sélénophéniques de la Tacrine. Dans le tableau 20, certaines valeurs d'IC₅₀ sont manquantes cela est dû à un problème de solubilité des produits dans le substrat et la valeur de l'IC₅₀ n'a pas pu être déterminée. Nous avons aussi testé les analogues de la Velnacrine. Nous avons réussi à déterminer seulement l'IC₅₀ du composé **135** toujours à cause de la solubilité de ces composés dans le substrat (Schéma 74).

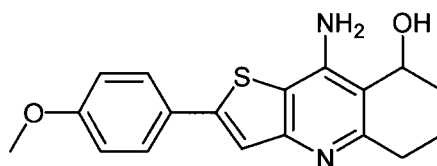
En ce qui concerne, les analogues thiazoliques de la Tacrine, les difficultés éprouvées pour solubiliser les molécules dans le substrat ont été plus grandes. Nous avons réussi à déterminer seulement l'IC₅₀ du composé **164**.

Les test d'inhibitions pour les thiéno[3,4-b]quinoléines et les composés **157-158** sont en cours.

¹²⁴ A. Maul, *Environ. Monit. Assess.* 1992, 23, 153.

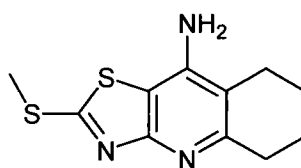
Tableau 20 : IC₅₀ des analogues thiophéniques et sélénothiophéniques de la Tacrine.

molécule		IC ₅₀ (μM)		
		n=0	n=1	n=2
	X=S 127, 128, 129	4	1.7	3.1
	X=Se 136, 137, 138	3.25	1.89	-
	X=S 112, 113, 114	3.4	2.2	2.0
	X=Se 139, 140, 141	6.38	2.89	-
	X=S 115, 116, 117	4	3	4.2
	X=Se 142, 143, 144	2.19	1.59	1.12
	X=S 118, 119, 120	3	3.4	4.4
	X=Se 145, 146, 147	3.53	2.24	-
	R= NO ₂ 151, 152, 153	2.52	1.89	3.52
	R= NH ₂ 154, 155, 156	-	-	-
	121, 122, 123	-	-	-
	X=S 124, 125, 126	24	12	15.5
	X=Se 148, 149, 150	7.48	7.89	10.81



135 IC₅₀: 6,5 µM

Schéma 74



164 IC₅₀: 10,57 µM

Schéma 75

D'après le tableau, on voit que les analogues substitués par un groupement tertio-butyl présentent une moins bonne activité que les autres qui possèdent un groupement aryle. La variation du substituant en position 4 du groupement phényle ne présente pas une différence significative. Les substituants les plus actifs sont l'hydrogène, le méthoxy et le nitro. En général, les composés sélénés présentent une meilleure activité que les analogues thiophéniques.

Conclusion

Tous les analogues que nous avons synthétisés présentent un pouvoir inhibiteur d'acétylcholine estérase inférieur à celui de la Tacrine bien que les valeurs d'IC₅₀ ne soient pas très élevées et laissent supposer un intérêt potentiel. Le composé **144** en particulier se révèle comme l'analogue le plus actif avec une IC₅₀ de 1,12 µM. Avec les composés les plus actifs en série thiophénique et sélénophénique (**143**, **116**, **117**, **128**, **137**), il peut donc entrer dans une série de bons candidats pour poursuivre les investigations biologiques sur culture cellulaire. A cette fin, des cellules de neuroblastome et des cellules d'hépatomes en culture seront exposées à ces composés de façon à en déterminer, dans un premier temps, la cytotoxicité. Cette première étape est en effet incontournable puisque d'une part, des composés agressifs sur des cellules de neuroblastomes ne présenteront aucun intérêt dans le contexte de cette étude, et d'autre part, des composés hépatotoxiques ne mériteront pas d'investigations supplémentaires, l'hépatotoxicité étant un critère rédhibitoire qui a d'ailleurs été la cause principale de l'élimination de la Tacrine de l'arsenal thérapeutique. Seuls les composés non cytotoxiques seront donc utilisables pour poursuivre les investigations qui consisteront à vérifier leur pouvoir cytoprotecteur vis-à-vis d'un stress qui pourra consister soit en un stress oxydant, soit en un stress provoqué par une charge en calcium, tous deux générateurs de mort cellulaire. Il est en effet intéressant de noter que l'inhibition de l'acétylcholine estérase peut améliorer les symptômes de la maladie d'Alzheimer, mais ne permet pas d'agir sur la mort cellulaire. Des composés présentant plusieurs modes d'action présentent donc tout leur intérêt dans ce contexte.

Conclusion générale

Dans un premier temps, nous avons repris et étendu des méthodologies connues au laboratoire. Cela nous a permis, à partir des β -chloroacrylonitriles, d'obtenir de nouveaux composés tels que les 3-amino-2-cyano thiophènes et sélénophènes, les 7-hydroxythiéno[3,2-b]pyridin-5(4H)-ones, les 3-amino-2-nitro thiophènes et sélénophènes. Appliquée aux β -chloroacroléines cette méthode donne accès aux 2-aryl-5-nitrothiophènes.

L'utilisation des cétènes dithioacétals pour obtenir des 3-aminothiophènes est courante au laboratoire. Nous avons modifié les conditions de réactions afin d'obtenir à partir de ces mêmes cétènes des 3-amino-4-cyanothiophènes substitués par une amine secondaire en position 5.

Cette méthode a pu être appliquée au diméthylcyanodithioimidocarbonate et a donné accès de la même manière à de nouveaux 4-amino-5-cyanothiazoles.

Les divers analogues hétérocycliques ainsi préparés ont été engagés dans la réaction de Friedländer. Nous avons ainsi obtenu les analogues thiophéniques, sélénophéniques, et thiazoliques de la Tacrine. L'utilisation du micro onde a permis un gain de temps considérable pour cette réaction. Cela nous a permis d'avoir un accès très rapide à de nombreux analogues hétérocycliques de la Tacrine.

La maîtrise de toutes ces méthodes pour préparer de nouveaux hétérocycles nous permet envisager de nombreuses perspectives que nous étudierons dans le chapitre suivant.

Chapitre IV : Perspectives

Les composés que nous avons synthétisés peuvent servir de produit de départ pour d'autres réactions. Les méthodes que nous avons mises au point peuvent être étendues à d'autres réactifs. Dans ce chapitre, nous présentons les premiers essais et les nouvelles voies imaginables à partir de la bibliographie existante.

1. Bis-tacrine

Il a été démontré que les bis-tacrines sont des inhibiteurs potentiels d'acétylcholinestérase. Les bis-tacrines peuvent réagir avec les deux sites de l'enzyme.^{110c} Les bistacrines sont préparées en trois étapes à partir du 2-aminobenzoate de méthyle (Schéma 76) et possèdent des IC_{50} de l'ordre du nanomolaire.¹²⁵

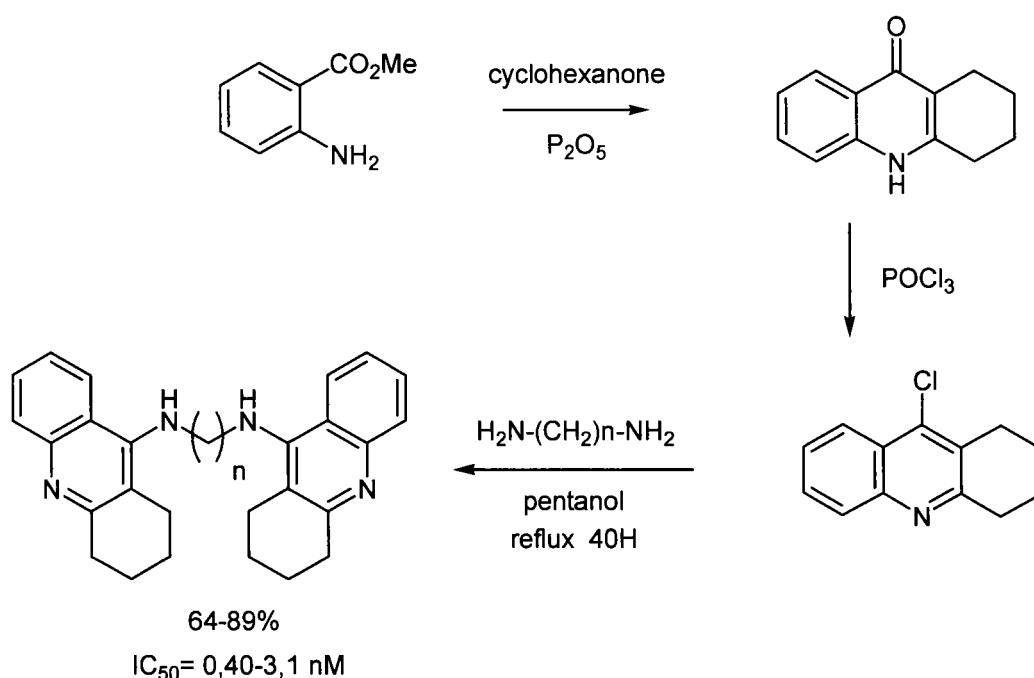


Schéma 76

^{110c} Bolognesi, M.L.; Cavalli, A.; Valgimigli, L.; Bartolini, M.; Rosini, M.; Andrisano, V.; Recanatini, M. Melchiorre, C. *J. Med. Chem.* **2007**, *50*, 6446.

¹²⁵ Carlier, P.R.; Han, Y.F.; Chow, E.S.H.; Li, C.P.L.; Wang, H.; Lieu, T.X.; Wonga, H.S.; Pang, Y.P. *Bioorg. Med. Chem.* **1999**, *7*, 351.

Nous pouvons imaginer la même stratégie à partir des 3-amino-2-thiophènescarboxylates d'éthyle¹⁵ pour obtenir des bis-thiéno[3,2-*b*]quinoléines (Schéma 77).

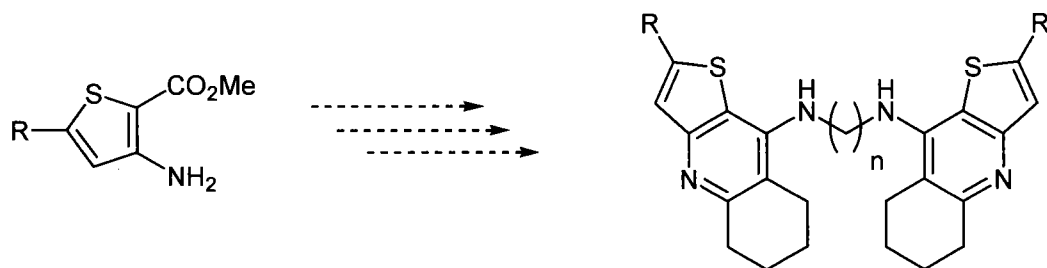


Schéma 77

2. 1H-thiéno[2,3-d]imidazoles et des 1H-sélénophéno[2,3-d]imidazoles

Les 2-nitroanilines réagissent avec des aldéhydes aromatiques dans une réaction de "cyclisation réductrice" qui permet d'obtenir en une étape les benzimidazoles.¹²⁶ En utilisant les 3-amino-2-nitrothiophènes et les 3-amino-2-nitrosélénophènes, nous aurions accès aux 1H-thiéno[2,3-d]imidazoles et 1H-sélénophéno[2,3-d]imidazoles. Nous avons essayé ses mêmes conditions sur le composé **88** sans succès. Seul le produit de départ est récupéré (Schéma 78).

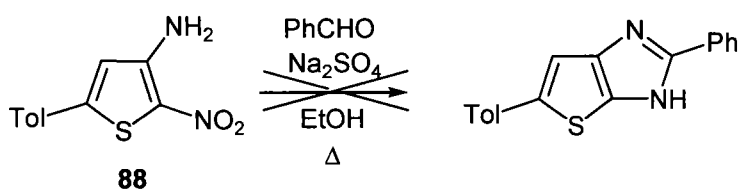


Schéma 78

Nous pouvons envisager l'utilisation de l'hydrazine en présence de Pd/C pour réduire le groupement nitro comme nous l'avons fait dans le chapitre 2 (Schéma 68). Une autre possibilité est de faire réagir les 3-amino-2-nitrothiophènes avec un chlorure d'acide puis de faire la réduction. La cyclisation devrait s'effectuer dans le même temps.

¹²⁶ Yang, D.; Fokas, D.; Libing, J.L.; Baldino, C.M. *Synthesis* **2005**, 47.

3. Synthèse des 4-aminothiazoles.

La synthèse développée dans le chapitre 1 paragraphe 9, permet en une seule étape à partir du composé **58** de préparer des 4-amino-5-cyanothiazoles substitués en position deux par une amine secondaire. Cette réaction permet en une seule étape de choisir les substituants à placer en position 2 et en position 5 des 4-aminothiazoles (Schéma 79). Ce type de réaction n'est pas décrit dans la littérature. Ce travail a été effectué au laboratoire par Zhanjie Xu.

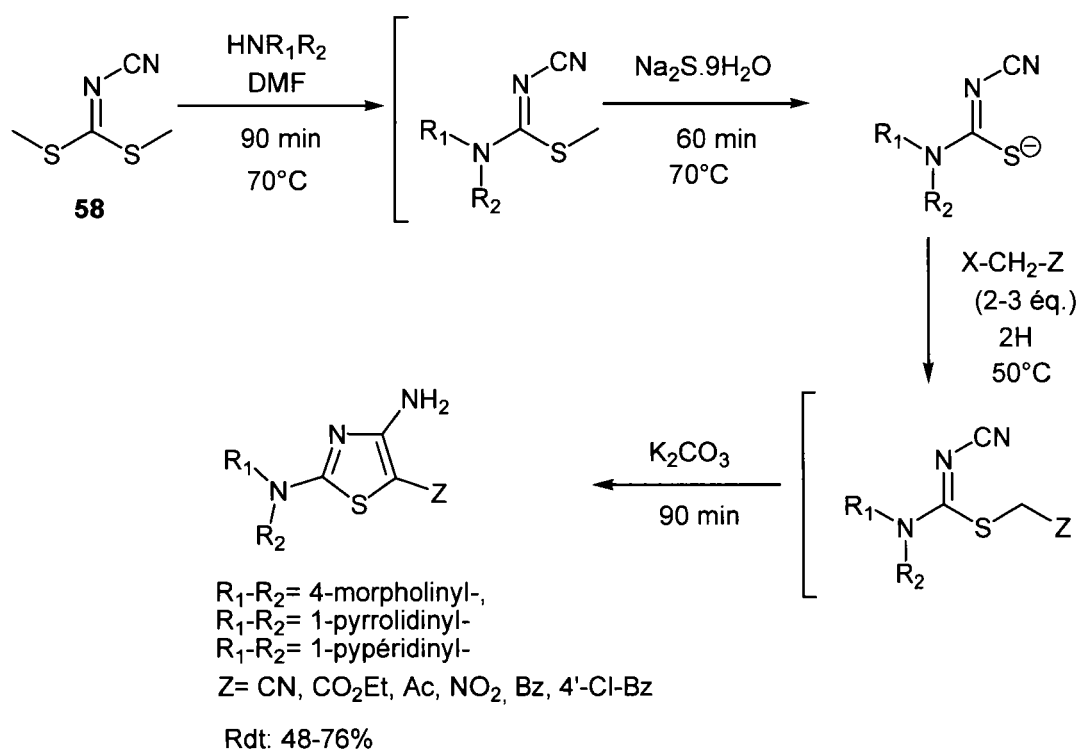
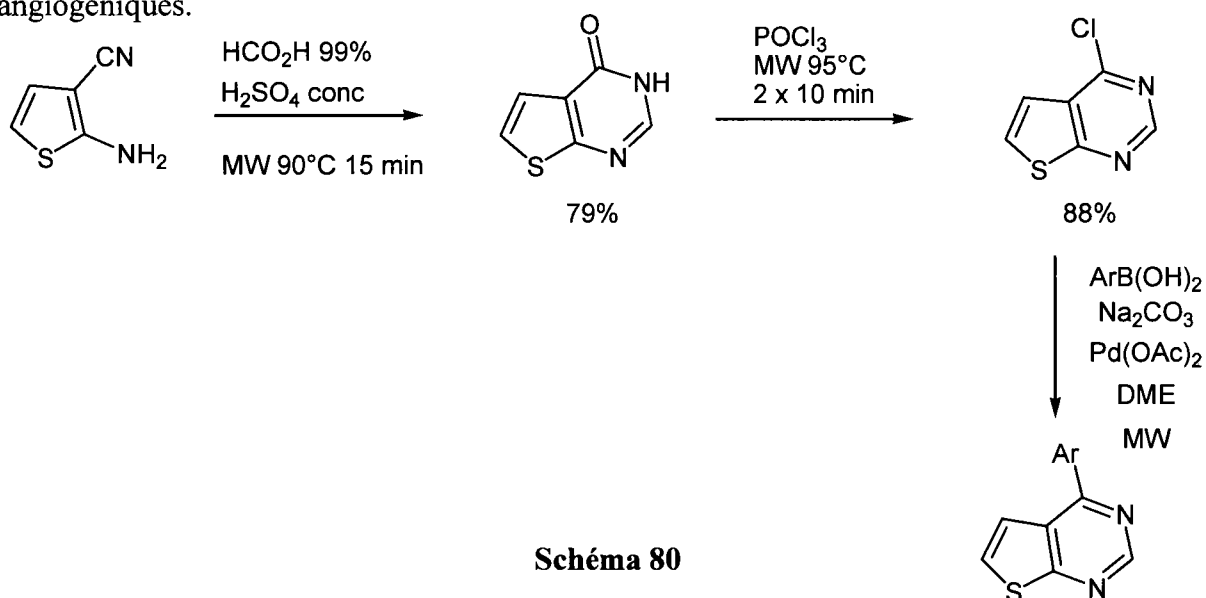


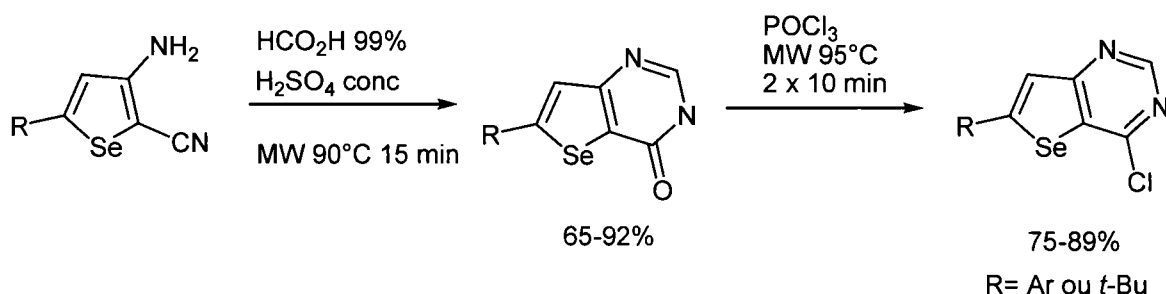
Schéma 79

4. Synthèse des sélénophéno[3,2-*d*]pyrimidines.

Un des thèmes de notre laboratoire est la synthèse de molécules potentiellement anti-angiogéniques.¹²⁷ Les pyrimidines sont un motif qu'on retrouve dans les molécules anti-angiogéniques.¹²⁸ Récemment la synthèse des thiéno[2,3-*d*]pyrimidines a été effectuée à partir du 2-amino-3-cyanothiophène (Schéma 80). La 4-chlorothiéno[2,3-*d*]pyrimidine est utilisée ensuite pour faire un couplage de Suzuki avec un acide boroniques. Les thiéno[2,3-*d*]pyrimidines obtenu sont considérées comme des molécules potentiellement anti-angiogéniques.



La même stratégie peut être envisagée à partir des 3-amino-2-cyanosélénophènes (Schéma 81). Les premiers essais ont été réalisés au laboratoire par Célia Chenet. Le couplage avec un acide boronique sera envisagé par la suite.



¹²⁷ Hesse, S.; Perspicace, E.; Kirsch, G. *Tetrahedron Lett.* **2007**, *48*, 5261.

¹²⁸ Munchhof, M. J.; Beebe, J. S.; Casavant, J. M.; Cooper, B. A.; Doty, J. L.; Higdon, R. C.; Hillerman, S. M.; Soderstrom, C. I.; Knauth, E. A.; Marx, M. A.; Rossi, A. M. K.; Sobolov, S. B.; Sun, J. *Bioorg. Med. Chem. Lett.* **2004**, *14*, 21.

Chapitre V : Partie expérimentale

Généralités

◆ Températures de fusion

Les points de fusion (pf), exprimés en degré Celsius ($^{\circ}\text{C}$), sont mesurés sur un appareil SMP₃ Stuart Scientific et ne sont pas corrigés.

◆ Spectres de résonance magnétique nucléaire (RMN)

Les spectres de RMN du proton (RMN ^1H) et du carbone (RMN ^{13}C) sont enregistrés sur un spectromètre Bruker AC 250. Les solvants utilisés (CDCl_3 ou $\text{DMSO}-d_6$) sont indiqués entre parenthèse. Les déplacements chimiques (δ) sont exprimés en partie par million (ppm).

Les abréviations suivantes sont utilisées :

s : singulet; d : doublet; t : triplet; qd : quadruplet; q : quintuplet.

◆ Infrarouges

Les spectres infrarouges ont été réalisés sur les spectromètres Perkin-Elmer BxFT-IR à l'aide de pastille KBr ou sur Perkin-Elmer FT-IR Baragon 1000PC équipé d'un Graseby-Specac golden gate.

◆ Spectres de masse

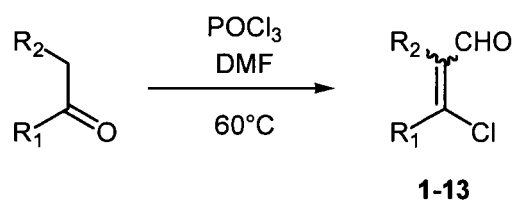
Les spectres de masse sont réalisés sur un appareil GC/MS Agilent Technologies GC-MS équipé d'une injecteur 7683 injector, 6890N gas chromatograph et d'un détecteur sélectif 5973. Les analyses sont effectuées en mode impact électronique à 70 eV.

◆ Analyses élémentaires

Les analyses élémentaires ont été réalisées sur un Leco CHNS.

Partie expérimentale du Chapitre I

1. Synthèse des 3-aryl-3-chloropropénals et 3-alkyl-3-chloropropénals



Mode opératoire général

Dans un tricol de 500 mL muni d'un réfrigérant, d'un thermomètre et d'une ampoule à brome, 0,3 mol (1,5 éq.) d'oxychlorure de phosphore sont refroidis à l'aide d'un bain de glace. 0,3 Mol (1,5 éq.) de DMF sont additionnés sous agitation. Après 30 minutes d'agitation, 0,2 mol (1 éq.) de cétone dissoute dans 100 mL de DMF est ajoutée dans le milieu réactionnel. Le mélange est ensuite chauffé pendant 5 heures à 60°C environ. La solution est décomposée après refroidissement sur 300 mL d'eau glacée. Le pH est ajusté à 4 avec de l'acétate de sodium. Si un précipité se forme, il est filtré sur Büchner et séché. Une petite partie du solide est recristallisée dans le cyclohexane.

Si aucun précipité n'apparaît, le mélange est extrait trois fois à l'éther. La phase organique est lavée avec une solution d'acide chlorhydrique à 1%, ensuite lavées deux fois avec une solution de carbonate de sodium à 10%, puis lavée à l'eau. La phase organique est séchée sur du sulfate de sodium et évaporée.

Deux isomères peuvent se former, la caractérisation décrite est celle de l'isomère désiré qui est majoritaire en RMN ^1H . Pour déterminer les déplacements chimiques des deux isomères nous nous sommes basés sur des analyses NOE qui avaient déjà été faites sur ces mêmes produits¹².

◆ 3-Chloro-3-phénylpropéanal (1)

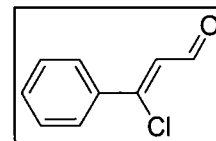
Il est préparé à partir de la acétophénone.

Rendement : 93%.

Aspect : huile orange.

Point d'ébullition : 142°C (20 Torr)

Lit¹²: 142-143°C (20 Torr)



RMN ¹H (250 MHz, CDCl₃) : δ 6,04 (d, 1H, CH, , J=10 Hz) ; 7,48 (m, 3H, 3×CH) ; 7,67 (d, 2H, 2×CH, J=7,5 Hz) ; 10,18 (d, 1H, CHO, J=10 Hz).

RMN ¹³C (62,9 MHz, CDCl₃) : δ 96,27 ; 115,49 ; 126,94 ; 128,77 ; 129,02 ; 131,99 ; 134,26.

◆ 3-Chloro-3-(4-méthylphényl) propéanal (2)

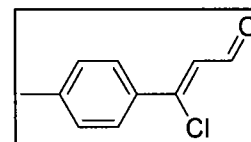
Il est préparé à partir de la p-méthylacétophénone.

Rendement : 73% : 1 seul isomère isolé.

Aspect : cristaux bruns.

Point de fusion : 46-48°C.

Lit^{10b} : point d'ébullition : 153°C (15 Torr)



RMN ¹H (250 MHz, CDCl₃) : δ 2,36 (s, 3H, CH₃); 6,65 (d, 1H, CH, J=7,5Hz); 7,24 (d, 2H, 2×CH, J=7,5 Hz); 7,65 (d, 2H, 2×CH, J=7,5 Hz) ; 10,18 (d, 1H, CHO, J=7,5 Hz).

RMN ¹³C (62,9 MHz, CDCl₃) : δ 55,3 ; 113,7 ; 122,1 ; 127,6 ; 128,7 ; 151,1 ; 162,4 ; 190,5.

◆ **3-Chloro-3-(4-méthoxyphényl)propéнал (3)**

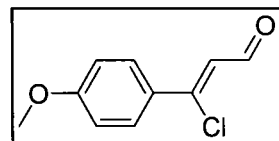
Il est préparé à partir de la p-méthoxyacétophénone.

Rendement : 77% : 1 seul isomère isolé.

Aspect : cristaux bruns.

Point de fusion : 57-59°C.

Lit¹² : 57°C (*i*-PrOH).



RMN ¹H (250 MHz, CDCl₃) : δ 3,88 (s, 3H, CH₃); 6,61 (d, 1H, CH, *J*=7,5Hz); 6,96 (d, 2H, 2×CH, *J*=10 Hz); 7,73 (d, 2H, 2×CH, *J*=10 Hz); 10,18 (d, 1H, CHO, *J*=7,5 Hz).

RMN ¹³C (62,9 MHz, CDCl₃) : δ 55,3 ; 113,7 ; 122,1 ; 127,6 ; 128,7 ; 151,1 ; 162,4 ; 190,5.

◆ **3-Chloro-3-(4-chlorophényl) propéнал (4)**

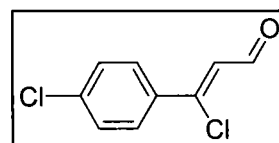
Il est préparé à partir de la p-chloroacétophénone.

Rendement : 88% : 1 seul isomère isolé.

Aspect : cristaux incolores cassés.

Point de fusion : 86-88°C.

Lit¹² : 86°C (EtOH).



RMN ¹H (250 MHz, CDCl₃) : δ 6,65 (d, 1H, CH, *J*=10,0Hz); 7,46 (d, 2H, 2×CH, *J*=7,5 Hz); 7,69 (d, 2H, 2×CH, *J*=7,5 Hz); 10,21 (d, 1H, CHO, *J*=10,0 Hz).

RMN ¹³C (62,9 MHz, CDCl₃) : δ 124,5 ; 128,9 ; 129,6 ; 133,9 ; 138,0 ; 150,7 ; 191,1.

◆ **3-Chloro-3-(4-fluorophényl)propéнал (5)**

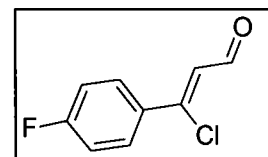
Il est préparé à partir de la p-fluoroacétophénone.

Rendement : 60%. 1 seul isomère isolé.

Aspect : cristaux incolores.

Point de fusion : 72°C

Lit^{10b}: 72°C.



RMN ¹H (250 MHz, CDCl₃) : δ 6,62 (d, 1H, CH, J=6,8Hz) ; 7,16 (m, 2H, 2×CH) ; 7,76 (m, 2H, 2×CH) ; 10,20 (d, 1H, CH, J=6,8Hz).

RMN ¹³C (62,9 MHz, CDCl₃) : δ 116.17, 124.23, 129.37, 131.72, 150.98, 164.80, 191.28.

◆ **3-Chloro-3-(4-nitrophényl) propéнал (6)**

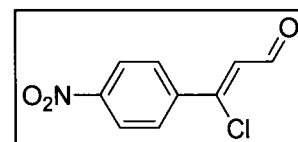
Il est préparé à partir de la p-nitroacétophénone.

Rendement : 81% : 1 seul isomère isolé.

Aspect : cristaux oranges.

Point de fusion : 74-75°C

Lit¹²⁹: 77°C



RMN ¹H (250 MHz, CDCl₃) : δ 7,15 (d, 1H, CH, J=7,5Hz); 8,18 (d, 2H, 2×CH, J=7,5 Hz); 8,31 (d, 2H, 2×CH, J=7,5 Hz) ; 10,13 (d, 1H, CHO, J=7,5Hz).

RMN ¹³C (62,9 MHz, CDCl₃) : δ 124,5 ; 127,4 ; 129,2 ; 141,3 ; 148,6 ; 149,6 ; 192,1.

◆ **3-Chloro-3-(1,1'-biphényl) propéna** (7)

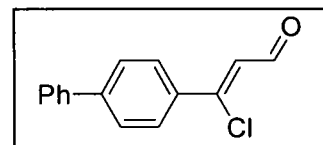
Il est synthétisé à partir de la 4-phénylacétophénone

Rendement : 65% : 1 seul isomère isolé.

Aspect : cristaux bruns.

Point de fusion : 92°C

Lit¹³⁰ : 98-99°C



RMN ¹H (250 MHz, CDCl₃) : δ 6,74 (d, 1H, CH, *J*=7,5Hz) ; 7,45 (m, 3H, 3×CH) ; 7,62 (d, 2H, 2×CH, *J*=7,5 Hz) ; 7,65 (d, 2H, 2×CH, *J*=7,5 Hz) ; 7,84 (d, 2H, 2×CH, *J*=8,5 Hz) ; 10,24 (d, 1H, CHO, *J*=7,5 Hz).

RMN ¹³C (62,9 MHz, CDCl₃) : δ 124,10 ; 127,34 ; 127,85 ; 128,27 ; 129,05 ; 129,85 ; 134,23 ; 139,52 ; 144,73 ; 151,96 ; 191,49

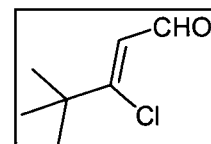
◆ **3-Chloro-3-(*t*-butyl) propéna** (8)

Il est préparé à partir de la pinacolone.

Rendement : 73% : 1 seul isomère isolé.

Aspect : huile orange

Point d'ébullition : 75-78°C (1 atm)



RMN ¹H (250 MHz, CDCl₃) : δ 1,25 (s, 9H, 3×CH₃) ; 6,14 (d, 1H, CH, *J*=7,5 Hz) ; 10,04 (d, 1H, CHO, *J*=7,5 Hz).

RMN ¹³C (62,9 MHz, CDCl₃) : δ 27,6 ; 39,5 ; 116,7 ; 164,5 ; 191,0.

◆ **Chloro-3,4-dihydronaphthalene-2-carbaldéhyde (9)**

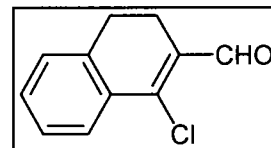
Il est préparé à partir de l' α -tétralone.

Rendement : 89% :

Aspect : cristaux ocres.

Point de fusion : 36-37°C.

Lit¹³¹ : 37°C.



RMN ¹H (250 MHz, CDCl₃) : δ 2,64 (t, 2H, CH₂, $J=7,5$ Hz) ; 2,82 (t, 2H, CH₂, $J=7,5$ Hz) ; 7,23 (t, 1H, CH, $J=7,5$ Hz) ; 7,36 (m, 2H, 2 \times CH) ; 7,86 (d, 1H, CH, $J=7,5$ Hz) ; 10,39 (s, 1H, CHO).

RMN ¹³C (62,9 MHz, CDCl₃) : δ 21,6 ; 27,0 ; 126,3 ; 127,1 ; 127,7 ; 131,4 ; 132,0 ; 132,1 ; 139,0 ; 145,9 ; 190,7.

◆ **3-Chloro-2-méthyl-3-phénylpropéнал (10)**

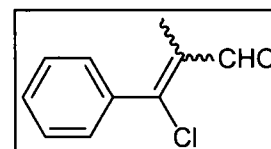
Il est préparé à partir de la propiophénone.

Rendement : 76% :

Aspect : huile jaune.

Point d'ébullition : 122-124°C (10 Torr).

Lit¹² : 122-124°C (12 Torr).



RMN ¹H (250 MHz, CDCl₃) : δ 2,05 (s, 3H, CH₃) ; 7,38 (m, 5H, 5 \times CH) ; 9,45 (s, 1H, CHO).

RMN ¹³C (62,9 MHz, CDCl₃) : δ 12,13 ; 128,45 ; 130,03 ; 130,34 ; 135,73 ; 136,26 ; 154,49 ; 190,31.

◆ **3-Chloro-3-(4-méthoxyphényl)-2méthylpropénal (11)**

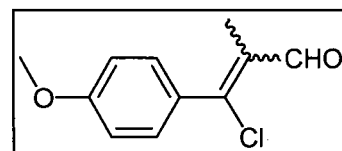
Il est préparé à partir de la p-méthoxypropiophénone.

Rendement : 60%.

Aspect : cristaux blancs.

Point de fusion : 44°C

Lit¹² : 40-43°C (éther de pétrole)



RMN ¹H (250 MHz, CDCl₃) : δ 2,07 (s, 3H, CH₃) ; 3,86 (s, 3H, CH₃O) ; 6,93 (d, 2H, 2×CH, *J*=8,3 Hz) ; 7,36 (d, 2H, 2×CH, *J*=8,3 Hz) ; 9,49 (s, 1H, CHO).

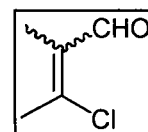
RMN ¹³C (62,9 MHz, CDCl₃) : δ 14,3 ; 55,4 ; 113,8 ; 122,1 ; 128,0 ; 128,7 ; 151,1 ; 162,4 ; 190,5.

◆ **3-Chloro-2,3-diméthylpropénal (12)**

Il est préparé à partir de la butanone.

Rendement : 38%.

Aspect : Huile noire.



RMN ¹H (250 MHz, CDCl₃) : δ 1,90 (s, 3H, CH₃) ; 2,59 (s, 3H, CH₃) ; 10,02 (s, 1H, CHO).

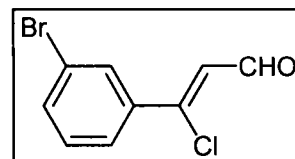
◆ **3-Chloro-3-(3-bromophényl)propéнал (13)**

Il est préparé à partir de 3-bromoacetophénone . .

Rendement : 74%.

Aspect : solide orange.

Point de fusion : 64-65°C (EtOH)



RMN ^1H (250 MHz, DMSO- d_6) : δ 7,04 (d, 1H, CH, $J=6,5$ Hz) ; 7,46 (m, 1H, CH) ; 7,75 (m, 1H, CH) ; 7,87 (m, 1H, CH) ; 8,04 (m, 1H, CH), 10,10 (d, 1H, CH, $J=6,5$ Hz).

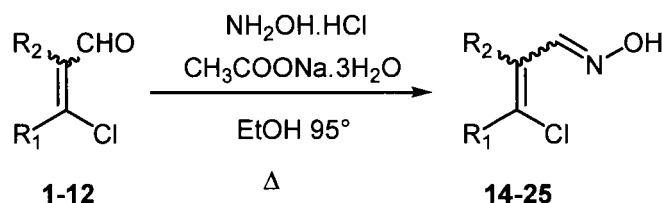
RMN ^{13}C (62,9MHz, DMSO- d_6) : δ 122,23 ; 125,39 ; 126,25 ; 129,53 ; 130,96 ; 134,49 ; 136,99 ; 148,43 ; 191,30.

Analyse élémentaire : $\text{C}_9\text{H}_6\text{BrClO}$

Calculée : C 44,03 ; H 2,46 ; Br 32,55 ; Cl 14,44;

Trouvée : C 43,99 ; H 2.50 ; Br 32.59 ; Cl 14.41.

2. Synthèse des oximes des 3-aryl-3-chloroacroléïnes et des 3-alkyl-3-chloroacroléïnes



Mode opératoire général

Dans un ballon de 1000 mL muni d'un réfrigérant, 0,20 mol (1 éq.) d' β -chloroacroléïne (1-12) sont dissous dans 300 mL d'éthanol. On ajoute 0,22 mol (1,1 éq.) de chlorhydrate d'hydroxylamine et 0,22 mol (1,1 éq.) d'acétate de sodium trihydraté. Après une à deux heures de reflux, l'éthanol est évaporé presque à sec et on ajoute de l'eau et de la glace en quantité suffisante pour dissoudre les sels, l'oxime précipite. Le solide, filtré sur Büchner et séché. Une petite partie du solide est recristallisée dans le cyclohexane.

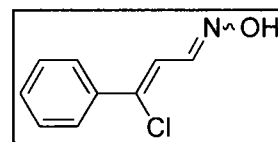
Le produit brut sera utilisé sans purification supplémentaire.

L'oximation a lieu sur le mélange d'isomères, la caractérisation décrite est celle de l'isomère désiré qui est majoritaire en RMN ^1H .

◆ Oxime du 3-chloro-3-phénylpropénal (14)

Rendement : >95%.

Aspect : huile orange.



RMN ^1H (250 MHz, CDCl_3) : δ 6,89 (d, 1 H, CH, $J=12$ Hz) ; 7,46 (m, 3H, 3 \times CH) ; 7,56 (m, 2H, 2 \times CH) ; 8,06 (d, 1H, CH, $J=12$ Hz) ; 8,30 (s, 1H, OH).

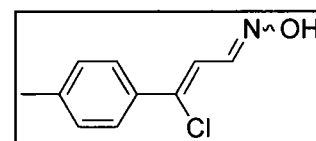
◆ Oxime du 3-chloro-3-phénylpropénal (15)

Rendement : >95%.

Aspect : cristaux oranges.

Point de fusion : 106-108°C.

Lit¹³ : 110°C



RMN ^1H (250 MHz, CDCl_3) : δ 2,38 (s, 3H, CH_3) ; 6,80 (d, 1 H, CH, $J=12$ Hz) ; 7,19 (d, 2H, 2 \times CH, $J=5,4$ Hz) ; 7,57 (d, 2H, 2 \times CH, $J=5,4$ Hz) ; 7,63 (d, 1H, CH, $J=12$ Hz) ; 8,30 (s, 1H, OH).

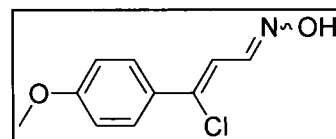
◆ Oxime du 3-chloro-3-(4-méthoxyphényl)propénal (16)

Rendement : >95%:

Aspect : cristaux jaunes.

Point de fusion : 115-117°C.

Lit¹³ : 128-130°C.



RMN ^1H (250 MHz, CDCl_3) : δ 3,87 (s, 3H, CH_3) ; 6,79 (d, 1H, CH, $J=12$ Hz) ; 6,95 (d, 2H, 2 \times CH, $J=8,2$ Hz) ; 7,64 (d, 1H, CHO, $J=12$ Hz) ; 7,75 (d, 2H, 2 \times CH, $J=8,2$ Hz) ; 7,90 (s, 1H, OH).

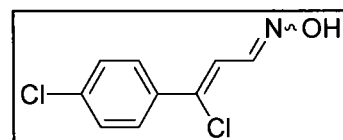
◆ Oxime du 3-chloro-3-(4-chlorophényl) propéna1 (17)

Rendement : >95%:

Aspect : cristaux incolores.

Point de fusion : 118-120°C.

Lit¹³ : 114-115°C.



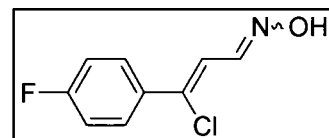
RMN ¹H (250 MHz, CDCl₃) : δ 6,81 (d, 1H, CH, J=10,0Hz) ; 7,37 (d, 2H, 2×CH, J=8,3 Hz) ; 7,61 (d, 2H, 2×CH, J=8,3 Hz) ; 8,32 (d, 1H, CHO, J=10,0 Hz).

◆ Oxime du 3-chloro-3-(4-fluorophényl)propéna1 (18)

Rendement : >95% :

Aspect : cristaux jaunes

Point de fusion : 105-106°C



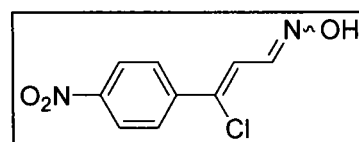
RMN ¹H (250 MHz, CDCl₃) : δ 7.23 (m, 2H, 2×CH) ; 7,35 (m, 1H, CH) ; 7,54 (m, 1H, CH) ; 7.78 (m, 2H, 2×CH).

◆ Oxime du 3-chloro-3-(4-nitrophényl) propéna1 (19)

Rendement : 85%.

Aspect : cristaux jaunes

Point de fusion : 122 °C (dec)



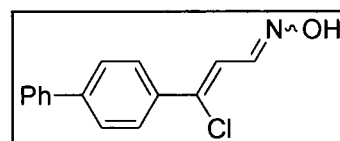
RMN ¹H (250 MHz, CDCl₃) : δ 7.76 (m, 2H, 2×CH) ; 7,83 (m, 1H, CH) ; 8.16 (m, 2H, 2×CH) ; 8.22 (m, 1H, CH) ; 11.20 (s, 1H, OH).

◆ **Oxime du 3-chloro-3-(1,1'biphényl) propénal (20)**

Rendement : 76% : 1 seul isomère isolé.

Aspect : cristaux jaunes.

Point de fusion : 144°C



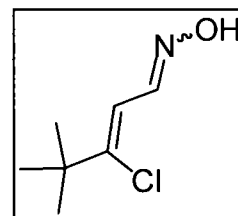
RMN ^1H (250 MHz, CDCl_3) : δ 6,65 (d, 1H, CH, $J=7,5\text{Hz}$) ; 7,33 (m, 3H, $3\times\text{CH}$) ; 7,45 (m, 4H, $4\times\text{CH}$) ; 7,64 (m, 2H, $2\times\text{CH}$) ; 8,17 (d, 1H, CH, $J=7,5\text{ Hz}$).

RMN ^{13}C (62,9 MHz, CDCl_3) : δ 118,66 ; 127,08 ; 127,19 ; 127,44 ; 127,88, 128,91 ; 135,44 ; 138,87 ; 139,91 ; 142,61 ; 149,49.

◆ **Oxime du 3-chloro-3-(*t*-butyl) propénal (21)**

Rendement : >95% :

Aspect : huile orange



RMN ^1H (250 MHz, CDCl_3) : δ 1,24 (s, 9H, CH_3) ; 6,24 (d, 1H, CH, $J=10,0\text{Hz}$) ; 7,74 (s, 1H, OH) ; 8,17 (d, 2H, $2\times\text{CH}$, $J=10,0\text{ Hz}$).

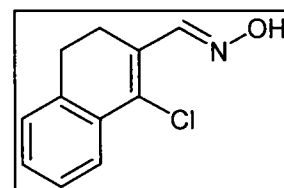
◆ **Oxime du chloro-3,4-dihydronaphthalène-2-carbaldéhyde (22)**

Rendement : 98% :

Aspect : cristaux jaunes.

Point de fusion : 128-129°C

Lit¹³² : 126-127°C



RMN ^1H (250 MHz, CDCl_3) : δ 2,66 (t, 2H, CH_2 , $J=7,5\text{Hz}$) ; 2,94 (t, 2H, CH_2 , $J=7,5\text{Hz}$) ; 7,21 (t, 1H, CH, $J=7,5\text{Hz}$) ; 7,35 (m, 2H, $2\times\text{CH}$) ; 7,67 (d, 1H, CH, $J=7,5\text{ Hz}$).

RMN ^{13}C (62,9 MHz, CDCl_3) : δ 23,7 ; 27,18 ; 125,30 ; 126,83 ; 127,26 ; 127,75 ; 129,16 ; 132,56 ; 133,62 ; 137,29 ; 149,54.

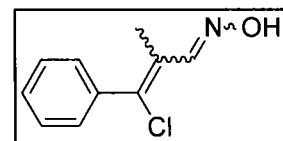
◆ Oxime du 3-chloro-2-méthyl-3-phénylpropénal (23)

Rendement : >95% :

Aspect : cristaux incolores.

Point de fusion : 120°C.

Lit¹⁴ : 120°C.



RMN ¹H (250 MHz, CDCl₃) : δ 2,22 (s, 3H, CH₃); 7,37 (m, 5H, 5×CH); 7,80 (s, 1H, 1×CH) ; 7,93 (d, 1H, CHO, *J*=10,0 Hz).

RMN ¹³C (62,9 MHz, CDCl₃) : δ 15,15 ; 128, 57 ; 128,94 ; 129, 18 ; 129,54 ; 137, 26 ; 138, 54 ; 150,18.

◆ Oxime du 3-chloro-3-(4-méthoxyphényl)-2méthylpropénal (24)

Rendement : 79%.

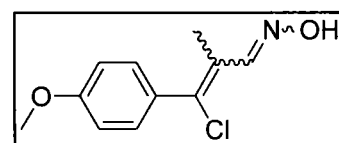
Aspect : cristaux blancs.

Point de fusion : 125°C

Lit¹⁴ : 126°C (éther de pétrole)

RMN ¹H (250 MHz, CDCl₃) : δ 2,24 (s, 3H, CH₃) ; 3,84 (s, 3H, CH₃O) ; 6,863 (d, 2H, 2×CH, *J*=8,3 Hz); 7,34 (d, 2H, 2×CH, *J*=8,3 Hz) ; 7,82 (s, 1H, CH) ; 8,34 (s, 1H, OH).

RMN ¹³C (62,9 MHz, CDCl₃) : δ 15,35 ; 55,41 ; 113,80 ; 127,84 ; 129,61 ; 130,60 ; 130,60 ; 150,44 ; 160,25.

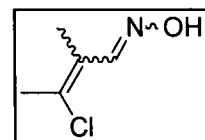


◆ Oxime du 3-chloro-2,3-diméthylpropénal (25)

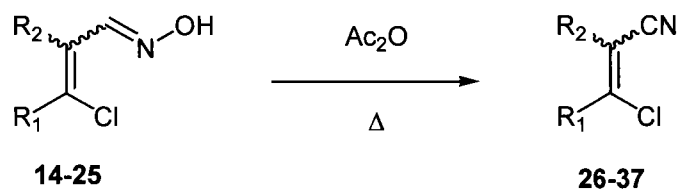
Rendement : 42%.

Aspect : Huile noire.

RMN ¹H (250 MHz, CDCl₃) : δ 1,94 (s, 3H, CH₃) ; 2,32 (s, 3H, CH₃) ; 8,14 (s, 1H, OH) ; 8,30 (s, 1H, CH).



3. Synthèse des 3-aryl-3-chloropropénitriles ou 3-alkyl-3-chloropropénitriles



Mode opératoire général :

Dans un ballon de 250 mL muni d'un réfrigérant, 0,1 mol d'oxime (**14-25**) est dissout dans 100 mL d'anhydride acétique. Le mélange est chauffé à reflux pendant 18 heures. Après refroidissement, le mélange est versé sur 500 mL d'eau et de glace. Après quelques minutes d'agitation, si un précipité se forme il est filtré sous vide. Le produit est séché et une petite portion est recristallisée dans le cyclohexane. Si aucun précipité n'apparaît le produit est extrait trois fois au dichlorométhane. Les phases organiques sont séchées sur sulfate de magnésium, filtrées et évaporées.

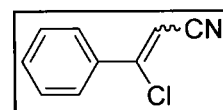
La déshydratation a lieu sur le mélange d'isomères, la caractérisation décrite est celle de l'isomère désiré qui est généralement majoritaire en RMN ^1H .

◆ **3-Chloro-3-phénylpropénitrile (26)**

Il est préparé à partir du composé **14**.

Rendement : 93%.

Aspect : huile orange-brune.



RMN ^1H (250 MHz, CDCl_3) : δ 5,78 (s, 1H, CH) ; 7,48 (m, 3H, 3 \times CH) ; 7,67 (m, 2H, 2 \times CH).

RMN ^{13}C (62,9 MHz, CDCl_3) : δ 96,27 ; 115,49 ; 126,94 ; 128,76 ; 129,02 ; 131,99 ; 134,26.

◆ **3-Chloro-3-(4-méthylphényl) propénitrile (27)**

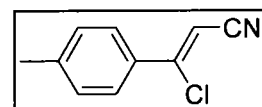
Il est préparé à partir du composé **15**.

Rendement : 79% : 1 seul isomère isolé.

Aspect : cristaux bruns.

Point de fusion : 80-82°C. (cyclohexane)

Lit¹² : Péb.: 162-168°C (10 torrs)



RMN ^1H (250 MHz, CDCl_3) : δ 2,41 (s, 3H, CH_3) ; 5,99 (s, 1H, CH) ; 7,24 (d, 2H, 2 \times CH, $J=7,5$ Hz) ; 7,56 (d, 2H, 2 \times CH, $J=7,5$ Hz).

RMN ^{13}C (62,9 MHz, CDCl_3) : δ 21,41 ; 95,05 ; 115,67 ; 127,19 ; 129,16 ; 131,41 ; 142,76 ; 153,33.

◆ **3-Chloro-3-(4-méthoxyphényl)propénitrile (28)**

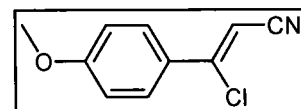
Il est préparé à partir du composé **16**.

Rendement : 91% : 1 seul isomère isolé.

Aspect : cristaux jaunes.

Point de fusion : 92°C (cyclohexane).

Lit¹³³ : 93-94°C (*i*-PrOH).



RMN ^1H (250 MHz, CDCl_3) : δ 3,83 (s, 3H, CH_3) ; 5,87 (s, 1H, CH) ; 6,88 (d, 2H, 2 \times CH, $J=7,5$ Hz) ; 7,64 (d, 2H, 2 \times CH, $J=7,5$ Hz).

RMN ^{13}C (62,9 MHz, CDCl_3) : δ 55,56 ; 93,59 ; 114,28 ; 115,91 ; 126,51 ; 128,26 ; 152,81 ; 162,62.

◆ **3-Chloro-3-(4-chlorophényl) propénitrile (29)**

Il est préparé à partir du composé 17.

Rendement : 96% : 1 seul isomère isolé.

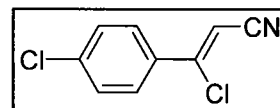
Aspect : cristaux bruns.

Point de fusion : 75°C (cyclohexane)

Lit¹³ : 82-84°C.

RMN ¹H (250 MHz, CDCl₃) : δ 6,01 (s, 1H, CH); 7,41 (d, 2H, 2×CH, J=7,5 Hz); 7,60 (d, 2H, 2×CH, J=7,5 Hz).

RMN ¹³C (62,9 MHz, CDCl₃) : δ 123,74 ; 127,04 ; 127,60 ; 133,98 ; 142,80 ; 147,59 ; 147,84.



◆ **3-Chloro-3-(4-fluorophényl)propénitrile (30)**

Il est préparé à partir du composé 18.

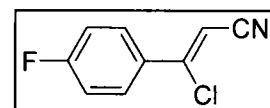
Rendement : 77% : 1 seul isomère isolé.

Aspect : cristaux jaunes.

Point de fusion : 90°C

RMN ¹H (250 MHz, CDCl₃) : δ 5,91 (s, 1H, CH) ; 7,07 (m, 2H, 2×CH) ; 7,60 (m, 2H, 2×CH).

RMN ¹³C (62,9 MHz, CDCl₃) : δ 96,15 ; 115,79 ; 116,38 ; 129,40 ; 152,04 ; 162,79 ; 166,84.



◆ **3-Chloro-3-(4-nitrophényl) propénitrile (31)**

Il est préparé à partir du composé 19.

Rendement : 90% : 1 seul isomère isolé.

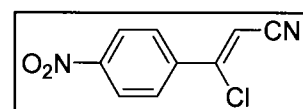
Aspect : cristaux jaunes.

Point de fusion : 130°C (EtOH)

Lit¹³ : 126-130°C

RMN ¹H (250 MHz, CDCl₃) : δ 6,18 (s, 1H, CH) ; 7,85 (d, 2H, 2×CH, J=8,7 Hz) ; 8,32 (d, 2H, 2×CH, J=8,7 Hz).

RMN ¹³C (62,9 MHz, CDCl₃) : δ 99,89 ; 114,51 ; 124,24 ; 129,50 ; 139,73 ; 149,52 ; 150,62.



◆ **3-Chloro-3-(1,1'-biphényl) propénitrile (32)**

Il est préparé à partir du composé **20**.

Rendement : 85% :

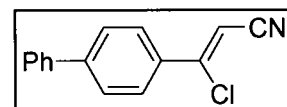
Aspect : cristaux bruns

Point de fusion : 96°C.

Lit¹³ : 98°C.

RMN ¹H (250 MHz, CDCl₃) : δ 5,89 (s, 1H, CH) ; 7,32 (m, 4H, 4×CH) ; 7,58 (m, 5H, 5×CH).

RMN ¹³C (62,9 MHz, CDCl₃) : δ 95.75 ; 115.56 ; 127.08 ; 127.203 ; 128.40 ; 128.84 ; 129.05 ; 132.87 ; 139.31 ; 144.79 ; 152.93.



◆ **3-Chloro-3-(*t*-butyl) propénitrile (33)**

Il est préparé à partir du composé **21**.

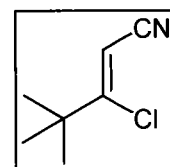
Rendement : 77%.

Aspect : huile orange.

Lit¹³³ : 198-199°C (1atm)

RMN ¹H (250 MHz, CDCl₃) : δ 1,26 (s, 9H, 3×CH₃) ; 5,56 (s, 1H, CH).

RMN ¹³C (62,9 MHz, CDCl₃) : δ 28,0 ; 39,9 ; 95,6 ; 114,9 ; 167,3.



◆ **Chloro-3,4-dihydronaphthalène-2-carbonitrile (34)**

Il est préparé à partir du composé **22**.

Rendement : 95% :

Aspect : solide gris

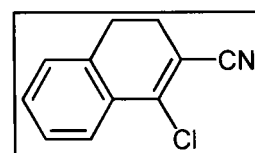
Point de fusion : 52°C

Lit¹³⁴ : Pf: 52-53°C (EtOH)

RMN ¹H (250 MHz, CDCl₃) : δ 2,65 (t, 2H, CH₂, J=7,5Hz) ; 2,93 (t, 2H, CH₂, J=7,5Hz) ;

7,21 (t, 1H, CH, J=7,5Hz) ; 7,35 (m, 2H, 2×CH) ; 7,67 (d, 1H, CH, J=7,5 Hz).

RMN ¹³C (62,9 MHz, CDCl₃) : δ 26,3 ; 26,7 ; 107,9 ; 117,2 ; 126,1 ; 127,3 ; 127,7 ; 130,3 ; 131,1 ; 136,4 ; 143,3.



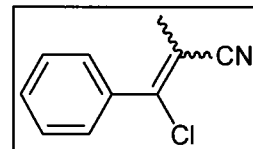
◆ **3-Chloro-2-méthyl-3-phénylpropénitrile (35)**

Il est préparé à partir du composé **23**.

Rendement : 88% :

Aspect : huile jaune.

Point d'ébullition : 60°C (80 mmHg).



RMN ¹H (250 MHz, CDCl₃) : δ 2,22 (s, 3H, CH₃); 7,44 (m, 3H, 3×CH); 7,65 (m, 2H, 2×CH).

RMN ¹³C (62,9 MHz, CDCl₃) : δ 19,33 ; 106,93 ; 118,27 ; 128,50 ; 128,63 ; 130,32 ; 136,05 ; 149,62.

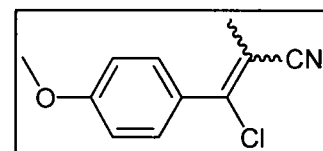
◆ **3-Chloro-3-(4-méthoxyphényl)-2-méthylpropénitrile (36)**

Il est préparé à partir du composé **24**.

Rendement : 93%.

Aspect : cristaux bruns.

Point de fusion : 60-62°C



RMN ¹H (250 MHz, CDCl₃) : δ 2,21 (s, 3H, CH₃) ; 3,85 (s, 3H, CH₃O) ; 6,92 (d, 2H, 2×CH, J=10,8 Hz); 7,59 (d, 2H, 2×CH, J=10,8 Hz).

RMN ¹³C (62,9 MHz, CDCl₃) : δ 19,36 ; 55,44 ; 105,13 ; 113,93 ; 118,77 ; 128,35 ; 130,21 ; 119,69 ; 161,38.

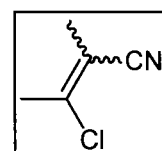
◆ **3-Chloro-2,3-diméthylpropénitrile (37)**

Il est préparé à partir du composé **25**.

Rendement : 50%.

Aspect : solide noir.

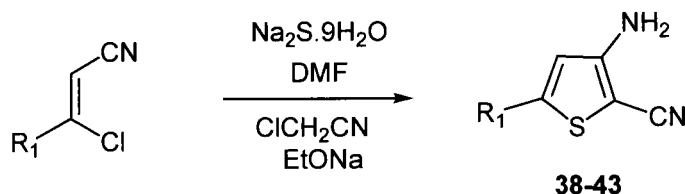
Point de fusion : 45-46°C



RMN ¹H (250 MHz, CDCl₃) : δ 2,02 (s, 3H, CH₃) ; 2,45 (s, 3H, CH₃).

4. Synthèse des 3-amino-5-aryl-2-cyanothiophènes et 3-amino-5-alkyl thiophènes

Mode opératoire général :



Dans un tricol de 250 mL muni d'un réfrigérant et d'un thermomètre, 60 mmol (1 éq.) de sulfure de sodium nonahydraté sont mis en suspension dans 80 mL de DMF. Le mélange est chauffé à 40°C environ sous agitation pour pendant 30 minutes. 60 Mmol (1 éq.) de 3-chloro-3-arylacrylonitrile sont dissout dans 20 mL de DMF et ajouté en une seule fois. Le mélange réactionnel est alors agité pendant 90 minutes à 50°C. 0,06 mol (1 éq.) de chloroacétonitrile dissout dans 1 mL de DMF, sont additionné en une seule fois. Après une autre heure d'agitation à 50°C, 0,06 mol (1 éq.) d'éthalonate de sodium fraîchement préparés sont ajoutés en une seule fois dans le mélange réactionnel. Après 30 minutes d'agitation à 50°C, le mélange est décomposé après refroidissement sur 300 mL d'eau glacée. Le précipité qui se forme est isolé par filtration sous vide, rincé 2 fois avec 50 mL d'eau. Le solide est séché à température ambiante jusqu'à masse constante. Un petit échantillon du produit est recristallisé dans l'isopropanol ou purifié par colonne (CH₂Cl₂). Le produit brut sera utilisé sans autre purification pour la suite des réactions.

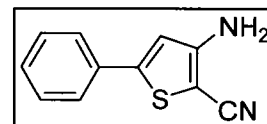
◆ **3-Amino-5-phényl-2-cyanothiophène (38)**

Rendement : 68%

Aspect : solide brun

Point de fusion : 174°C

Lit²⁷ : Pf : 174-175°C



RMN ¹H (250 MHz, CDCl₃) : δ 6.57 (s, 2H, NH₂) ; 6.93 (s, 1H, CH) ; 7,43 (m, 3H, 3×CH) ; 7,57 (m, 2H, 2×CH).

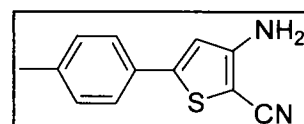
RMN ¹³C (62,9 MHz, DMSO-*d*₆) : δ 74.70 ; 115.68 ; 125.54 ; 126.43 ; 128.27 ; 132.06 ; 148.05 ; 157.87 ; 162.26.

◆ **3-Amino-5-(4-méthyl-phényl)-2-cyanothiophène (39)**

Rendement : 93%

Aspect : solide jaune purifié par chromatographie (CH₂Cl₂)

Point de fusion : 195-197°C



RMN ¹H (250 MHz, CDCl₃) : δ 6.57 (s, 2H, NH₂) ; 4,91 (s, 2H, NH₂) ; 6,75 (s, 1H, CH) ; 7,18 (d, 2H, 2×CH, *J*=7,5 Hz) ; 7,42 (d, 2H, 2×CH, *J*=7,5 Hz).

RMN ¹³C (62,9 MHz, DMSO-*d*₆) : δ 21,32 ; 74,79 ; 115,70 ; 116,37 ; 125,97 ; 129,88 ; 130,22 ; 139,71 ; 148,89 ; 158,44.

Analyse élémentaire : C₁₂H₁₀N₂S :

Calculée : C, 67.26 ; H, 4.70 ; N, 11.07.

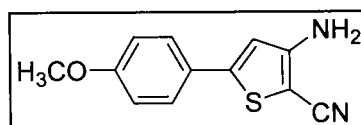
Trouvée : C, 67.35 ; H, 4.67 ; N, 10.99.

◆ **3-Amino-5-(4-méthoxy-phényl)-2-cyanothiophène (40)**

Rendement : 95%

Aspect : solide jaune

Point de fusion : 204-206°C (*i*-PrOH)



RMN ¹H (250 MHz, CDCl₃) : δ 3,78 (s, 3H, CH₃) ; 6,49 (s, 2H, NH₂) ; 6,80 (s, 1H, CH) ; 6,98 (d, 2H, 2×CH, *J*=7,5 Hz) ; 7,52 (d, 2H, 2×CH, *J*=7,5 Hz).

RMN ¹³C (62,9 MHz, DMSO-*d*₆) : δ 55,85 ; 74,24 ; 115,04 ; 115,18 ; 116,43 ; 125,27 ; 127,61 ; 148,75 ; 158,50 ; 160,71.

Analyse élémentaire: C₁₂H₁₀N₂OS

Calculée : C, 62,59 ; H, 4,38 ; N, 12,16,

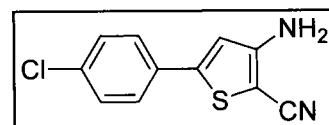
Trouvée : C, 62,32 ; H, 4,56 ; N, 12,47,

◆ **3-Amino-5-(4-chloro-phényl)-2-cyanothiophène (41)**

Rendement : 95%

Aspect : solide jaune

Point de fusion : 184-186°C (*i*-PrOH)



RMN ¹H (250 MHz, CDCl₃) : δ 6,58 (s, 2H, NH₂) ; 6,94 (s, 1H, CH) ; 7,48 (d, 2H, 2×CH, *J*=7,5 Hz) ; 7,61 (d, 2H, 2×CH, *J*=7,5 Hz).

RMN ¹³C (62,9 MHz, DMSO-*d*₆) : δ 75,50 ; 116,04 ; 116,76 ; 127,82 ; 129,75 ; 131,42 ; 134,37 ; 147,06 ; 158,36.

Analyse élémentaire : C₁₁H₇ClN₂S :

Calculée : C, 56,29 ; H, 3,01 ; N, 11,94.

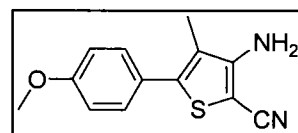
Trouvée : C, 56,42 ; H, 3,15 ; N, 11,74.

◆ **3-Amino-5-(4-méthoxyphényl)-4-méthyl-2-cyanothiophène (42)**

Rendement : 70%

Aspect : solide jaune

Point de fusion : 186-188°C purifié par chromatographie (CH₂Cl₂).



RMN ¹H (250 MHz, CDCl₃) : δ 1,73 (s, 3H, CH₃) ; 3,01 (s, 3H, CH₃O) ; 5,16 (s, 2H, NH₂) ; 6,18 (d, 2H, 2×CH, J=7,5 Hz) ; 6,56 (d, 2H, 2×CH, J=7,5 Hz).

RMN ¹³C (62,9 MHz, DMSO-*d*₆) : δ 12,38 ; 55,71 ; 114,66 ; 116,81 ; 123,54 ; 123,80 ; 125,42 ; 130,54 ; 143,19 ; 157,18 ; 160,14.

Analyse élémentaire: C₁₃H₁₂N₂OS

Calculée : C, 63,91 ; H, 4,95 ; N, 11,47.

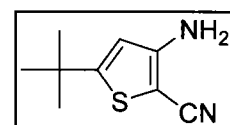
Trouvée : C, 63,69 ; H, 4,56 ; N, 11,12.

◆ **3-Amino-5-*t*-butyl-2-cyanothiophène (43)**

Rendement : 65%

Aspect : solide brun

Point de fusion : 116°C



RMN ¹H (250 MHz, CDCl₃) : δ 1,25 (s, 9H, 3×CH₃) ; 6,34 (s, 2H, NH₂) ; 6,38 (s, 1H, CH).

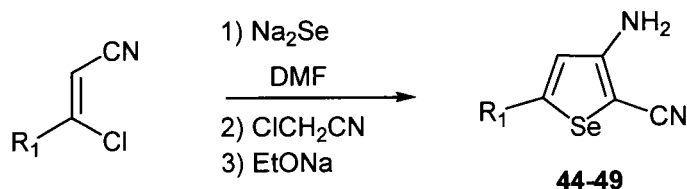
RMN ¹³C (62,9 MHz, DMSO-*d*₆) : δ 29.90 ; 46.17 ; 97.12 ; 115.87 ; 137.14.

5. Synthèse des 3-amino-2-cyanosélénophènes substitués.

Préparation du séléniure de sodium. Na₂Se

La soude en pastille (0,224 mol ; 5,6 équ.) et la rongalite (0,096 mol ; 2,4 équ.) sont dissous dans 40 mL d'eau. Le sélénium (0,04 mol ; 1 équ.) est ensuite ajouté et le mélange est chauffé à 50°C pendant une heure. Le précipité blanc obtenu est filtré sous atmosphère d'argon et le séléniure de sodium frais est rapidement utilisé pour la synthèse des sélénophènes.

Mode opératoire général :



Dans un tricol de 250 mL muni d'un réfrigérant et d'un thermomètre, 40 mmol (1 équ.) de séléniure de sodium frais sont mises en suspension dans 40 mL de DMF. 3-Chloro-3-arylacrylonitrile (40 mmol, 1 équ.) de sont dissous dans 15 mL de DMF et ajoutés en une seule fois. Le mélange réactionnel est alors agité pendant deux heures à 60°C. Le chloroacétonitrile (40 mmol, 1 équ.) est additionné goutte à goutte. Après deux heures d'agitation à 60°C, l'éthalonate de sodium (40 mmol, 1 équ.) fraîchement préparé est ajouté en une seule fois dans le mélange réactionnel. Après une heure d'agitation à 60°C, le mélange est décomposé après refroidissement sur 300 mL d'eau glacée. Le précipité qui se forme est isolé par filtration sous vide, rincé 2 fois avec 50 mL d'eau. Le solide est séché à température ambiante jusqu'à masse constante. Un petit échantillon du produit est recristallisé dans l'éthanol. Le produit brut sera utilisé sans autre purification pour la suite des réactions.

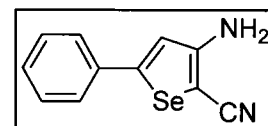
◆ **3-Amino-5-phényl-2-cyanosélénophène (44)**

Préparé à partir du composé **26**.

Rendement : 64%

Aspect : solide brun

Point de fusion : 110-112°C (déc.)



IR (neat): 3429, 3332, 3229, 2959, 2197, 1563 cm^{-1} .

RMN ^1H : δ 6,58 (s, 2H, NH_2), 7,20 (s, 1H, CH) ; 7,41 (m, 3H, CH) ; 7,42 (m, 2H, 2 \times CH).

RMN ^{13}C : δ 72,32 ; 117,15 ; 119,31 ; 125,78 ; 129,30 ; 129,41 ; 134,00 ; 153,11 ; 159,48.

GC/MS (EI, 70 eV): $m/z = 248$ [M^+], 168, 77.

Analyse élémentaire : $\text{C}_{11}\text{H}_8\text{N}_2\text{Se}$

Calculée : C, 56,46 ; H, 3,26 ; N, 11,33 ;

Trouvée : C, 56,66 ; H, 3,23 ; N, 10,30.

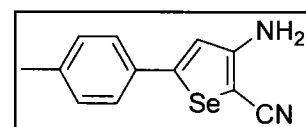
◆ **3-Amino-5-(4-méthylphényl)-2-cyanosélénophène (45)**

Préparé à partir du composé **27**.

Rendement : 76%

Aspect : solide brun

Point de fusion : 190-192°C



IR (KBr): 3428, 3345, 3242, 2178, 1566 cm^{-1} .

RMN ^1H (250 MHz, $\text{DMSO-}d_6$): δ 2,30 (s, 3H, CH_3) ; 6,54 (s, 2H, NH_2) ; 7,15 (s, 1H, CH) ; 7,22 (d, 2H, 2 \times CH, $J=7,5$ Hz) ; 7,42 (d, 2H, 2 \times CH, $J=7,5$ Hz).

RMN ^{13}C (62,9 MHz, $\text{DMSO-}d_6$): δ 20,77 ; 71,67 ; 117,26 ; 118,64 ; 125,68 ; 129,71 ; 131,31 ; 138,34 ; 153,26 ; 159,53.

GC/MS (EI, 70 eV): $m/z = 262$ [M^+], 182, 115.

Analyse élémentaire : $\text{C}_{12}\text{H}_{10}\text{N}_2\text{Se}$

Calculée : C, 55,18 ; H, 3,86 ; N, 10,73.

Trouvée : C, 55,05 ; H, 4,01 ; N, 10,78.

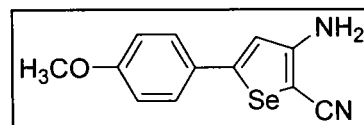
◆ **3-Amino-5-(4-méthoxyphényl)-2-cyanosélénophène (46)**

Préparé à partir du composé **28**.

Rendement : 80%

Aspect : solide brun

Point de fusion : 220-222°C



IR (KBr): 3458, 3339, 3234, 2182, 1565 cm^{-1} .

RMN ^1H (250 MHz, DMSO- d_6): δ 3,77 (s, 3H, CH₃) ; 6,52 (s, 2H, NH₂) ; 6,96 (d, 2H, 2×CH, $J=7,5$ Hz) ; 7,11 (s, 1H, CH) ; 7,46 (d, 2H, 2×CH, $J=7,5$ Hz).

RMN ^{13}C (62,9 MHz, DMSO- d_6): δ 55,33 ; 113,47 ; 114,59 ; 117,20 ; 117,94 ; 126,54 ; 126,54 ; 126,97 ; 157,21 ; 159,67 ; 160,20.

GC/MS (EI, 70 eV): $m/z = 278$ [M^+], 263, 198.

Analyse élémentaire: C₁₂H₁₀N₂OSe

Calculée : C, 52,00 ; H, 3,64 ; N, 10,11,

Trouvée : C, 52,16 ; H, 3,78 ; N, 10,99,

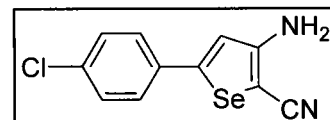
◆ **3-Amino-5-(4-chlorophényl)-2-cyanosélénophène (47)**

Préparé à partir du composé **29**.

Rendement : 77%

Aspect : solide vert

Point de fusion : 204-206°C



IR (KBr): 3429, 3333, 3229, 2198, 1566 cm^{-1} .

RMN ^1H (250 MHz, CDCl₃) : δ 6,62 (s, 2H, NH₂) ; 7,25 (s, 1H, CH) ; 7,46 (d, 2H, 2×CH, $J=7,5$ Hz) ; 7,55 (d, 2H, 2×CH, $J=7,5$ Hz).

RMN ^{13}C (62,9 MHz, DMSO- d_6) : δ 72,72 ; 117,07 ; 120,00 ; 127,70 ; 128,73 ; 132,90 ; 133,87 ; 151,39 ; 159,49.

GC/MS (EI, 70 eV): $m/z = 282$ [M^+], 202.

Analyse élémentaire: C₁₁H₇ClN₂Se

Calculée : C, 46,92 ; H, 2,51 ; N, 9,95.

Trouvée : C, 46,81 ; H, 2,24 ; N, 9,88.

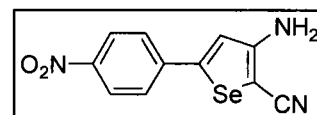
♦ **3-Amino-5-(4-chlorophényl)-2-cyanosélénophène (48)**

Préparé à partir du composé 31.

Rendement : 77%

Aspect : solide orange

Point de fusion : 198-200°C.



IR (KBr): 3431, 3312, 1557 cm^{-1} .

RMN ^1H (250 MHz, DMSO- d_6): δ 6,66 (s, 2H, NH_2) ; 7,41 (s, 1H, CH) ; 7,80 (d, 2H, $2\times\text{CH}$, $J=7,5$ Hz) ; 8,23 (d, 2H, $2\times\text{CH}$, $J=7,5$ Hz).

RMN ^{13}C (62,9 MHz, DMSO- d_6): δ 75,06 ; 116,74 ; 122,03 ; 124,48 ; 126,62 ; 140,01 ; 147,28 ; 149,92 ; 159,38.

GC/MS (EI, 70 eV): $m/z = 293$ [M^+], 263, 247, 220, 140.

Analyse élémentaire: $\text{C}_{11}\text{H}_7\text{N}_3\text{O}_2\text{Se}$

Calculée : C, 45,22 ; H, 2,42 ; N, 14,38 ;

Trouvée : C, 45,84 ; H, 2,45 ; N, 14,27.

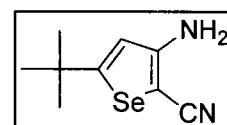
♦ **3-amino-5-*tert*-butyl-2-cyanosélénophène (49)**

Préparé à partir du composé 33.

Rendement : 68%

Aspect : solide brun

Point de fusion : 122-124°C



IR (KBr): 3414, 3334, 3227, 2959, 2185, 1570 cm^{-1} .

RMN ^1H (250 MHz, DMSO- d_6): δ 1,32 (s, 9H, $3\times\text{CH}_3$) ; 4,44 (s, 2H, NH_2) ; 6,59 (s, 1H, CH).

RMN ^{13}C (62,9 MHz, DMSO- d_6): δ 32,32 ; 36,94 ; 79,61 ; 116,85 ; 117,68 ; 156,60 ; 172,16.

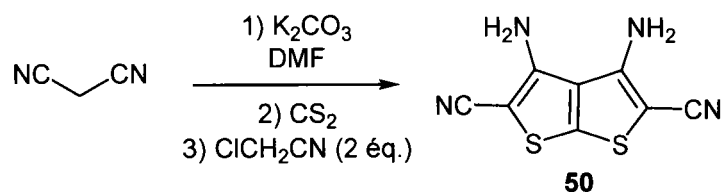
GC/MS (EI, 70 eV): $m/z = 228$ [M^+], 213, 147, 132.

Analyse élémentaire: $\text{C}_9\text{H}_{12}\text{N}_2\text{Se}$

Calculée : C, 47,58 ; H, 5,32 ; N, 12,33 ;

Trouvée : C, 47,84 ; H, 5,44 ; N, 12,28.

6. Synthèse du 3,4-diamino-2,5-dicyanothiéno[2,3-b]thiophène

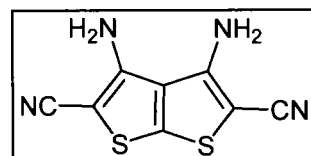


Le K₂CO₃ (0,3 mol, 3 éq.) préalablement séché à l'étuve, est mis en suspension dans 40 mL de DMF, on ajoute le malononitrile (0,1 mol, 1 éq.) dissous dans 20 mL DMF. Le disulfure de carbone est additionné à température ambiante (0,15 mol, 1,5 éq.). Après 30 minutes sous forte agitation, le mélange réactionnel est refroidi à 0°C et le chloroacétonitrile (0,2 mol, 2 éq.), dissous dans 10 de DMF, est ajouté en 20 minutes. Le milieu réactionnel est agité 7 heures à température ambiante. Le milieu réactionnel est décomposé sur 200 mL d'eau et de glace, le précipité qui apparaît est filtré sur büchner et séché. Le produit est purifié par recristallisation dans l'éthanol.

Rendement : 50%

Aspect : cristaux bruns

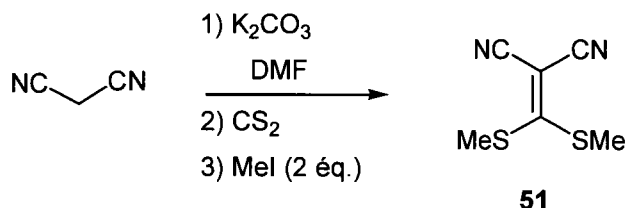
Point de fusion : 250°C



RMN ¹H (250 MHz, CDCl₃): δ 5,43 (s, 4H, NH₂).

RMN ¹³C (62,9 MHz, DMSO-*d*₆): δ 97,9 ; 114,2 ; 124,7 ; 143,8 ; 148,9.

7. Synthèse du 2-(bis-méthylsulfanylméthylène)malononitrile



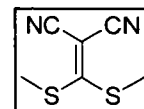
Dans un tricol de 500 mL muni d'un réfrigérant, d'une ampoule de coulée et d'un thermomètre, est placé le malononitrile (0,2 mol, 1éq.), le carbonate de potassium (0,2 mol, 1éq.) et 240 mL de DMF. Le mélange est alors agité à température ambiante pendant deux heures avant de couler le disulfure de carbone (0,2 mol, 1éq.) goutte à goutte à 0°C. Le mélange est agité pendant 2 heures supplémentaires à température ambiante. L'iodure de méthyle (0,4 mol, 2éq.) est ajouté goutte à goutte à 0°C. Le mélange réactionnel est alors décomposé sur 800 mL d'eau après 3 heures d'agitation à température ambiante. Le précipité jaune qui apparaît est filtré sur büchner, rincé à l'eau (2×50 mL), séché et purifié par recristallisation dans l'isopropanol.

Rendement : 92%

Aspect : Cristaux incolores

Point de fusion : 82°C.

Lit³⁶ : 82-84°C

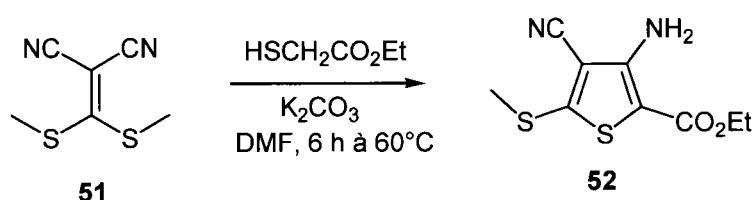


RMN ¹H (250 MHz, DMSO-*d*₆): δ 2,75 (s, 6H, 2×CH₃)

RMN ¹³C (62,9 MHz, DMSO-*d*₆): δ 19,3 ; 74,4 ; 112,7 ; 185,8.

8. Synthèse des 3-amino-4-cyanothiophènes

8.1 Synthèse du 3-amino-4-cyano-5-méthylsulfanyl-thiophène-2-carboxylate d'éthyle.



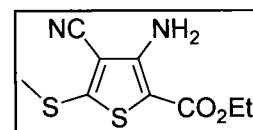
A une solution de 2-(bis-méthylsulfanyl-méthylène)malononitrile (0,05 mol, 1éq.) dans 30mL de DMF sont ajoutés le thioglycolate d'éthyle (0,05 mol, 1éq.) et le carbonate de potassium (0,05 mol, 1éq.) préalablement séché au moins une nuit à l'étuve. Le mélange réactionnel est versé sur 100 mL d'eau après avoir été chauffé à 60°C pendant 6 heures. Le précipité est filtré sous vide, séché et purifié par recristallisation dans l'isopropanol.

Rendement : 59%

Aspect : cristaux incolores

Point de fusion : 146°C

Lit⁵³ : Pf : 147°C

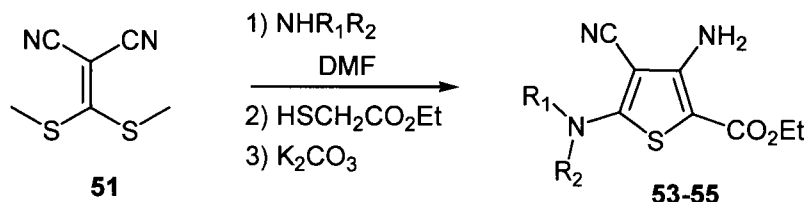


RMN ¹H (250 MHz, DMSO-*d*₆): δ 1,34 (t, 3H, CH₃, *J*=7,2 Hz) ; 2,65 (s, 3H, CH₃) ; 4,29 (qd, 2H, CH₂, *J*=7,2Hz) ; 5,76 (s, 2H, NH₂)

RMN ¹³C (62,9 MHz, DMSO-*d*₆): δ 14,4 ; 16,8 ; 60,2 ; 112,7 ; 148,7 ; 154,2 ; 159,5 ; 165,1 ; 163,6.

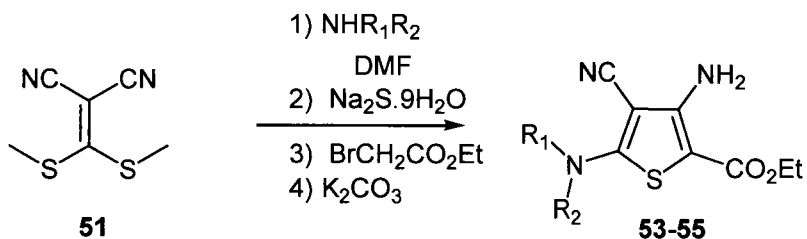
8.2 Synthèse des 3-amino-4-cyano-2-thiophène carboxylates d'éthyle.

Méthode A :



A une solution de 2-(bis-méthylsulfanyl-méthylène)malononitrile (0,01 mol, 1 éq.) dans 15 mL de DMF, on ajoute l'amine secondaire (0,01 mol, 1 éq.). Un dégagement gazeux apparaît et la solution est chauffée à 70°C pendant 75 minutes. Le thioglycolate d'éthyle (0,01 mol, 1 éq.) et le carbonate de potassium (0,01 mol, 1 éq.) sont ajoutés. Le mélange réactionnel est chauffé à 70°C pendant deux heures. Le mélange réactionnel est décomposé sur 100 mL d'eau et de glace. Le précipité blanc est filtré sur büchner, rincé deux fois à l'eau et séché. Le solide est ensuite recristallisé dans l'éthanol absolu.

Méthode B :



A une solution de 2-(bis-méthylsulfanyl-méthylène)malononitrile (0,01 mol, 1 éq.) dans 15 mL de DMF, on ajoute l'amine secondaire (0,01 mol, 1 éq.). Un dégagement gazeux apparaît et la solution est chauffée à 70°C pendant 75 minutes. Le sulfure de sodium nonahydraté est ajouté (0,01 mol, 1 éq.) et la solution est chauffée à 70°C pendant deux heures. Le bromoacétate d'éthyle (0,02 mol, 2 éq.) est ensuite ajouté goutte à goutte et la solution est chauffée à 70°C pendant deux heures. Le carbonate de potassium (0,01 mol, 1 éq.) est ajouté et la réaction est agitée pendant 45 minutes supplémentaires. Le mélange réactionnel est décomposé sur 100 mL d'eau et de glace. Le précipité blanc est filtré sur büchner, rincé deux fois à l'eau et séché. Le solide est ensuite recristallisé dans l'éthanol absolu.

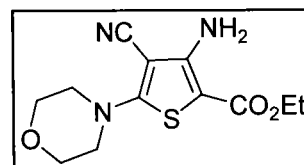
◆ **3-Amino-4-cyano-5-(4-morpholinyl)-2-thiophèncarboxylate d'éthyle (53)**

Rendement : Méthode A : 28%.

Méthode B : 43%

Aspect : cristaux incolores

Point de fusion : 133°C



RMN ¹H (250 MHz, DMSO-*d*₆): δ 1,20 (t, 3H, CH₃, *J*=7,5 Hz) ; 3.54 (m, 4H, 2×CH₂) ; 3.71 (m, 4H, 2×CH₂) ; 4,12 (qd, 2H, CH₂, *J*=7,5Hz) ; 5,65 (s, 2H, NH₂)

RMN ¹³C (62,9 MHz, DMSO-*d*₆): δ 14,43 ; 49,55 ; 59,28 ; 65,00 ; 77,92 ; 115,21 ; 135,06 ; 155,31 ; 162,67 ; 166,56.

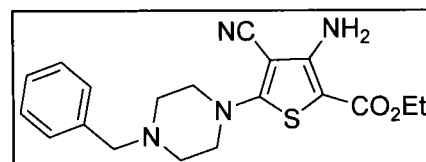
◆ **3-Amino-5-(4-benzyl-1-pipérazinyl)-4-cyano-2-thiophèncarboxylate d'éthyle (54)**

Rendement : Méthode A : 40%.

Méthode B : 50%

Aspect : cristaux incolores

Point de fusion : 112°C



RMN ¹H (250 MHz, CDCl₃): δ 1,30 (t, 3H, CH₃, *J*=7,5 Hz) ; 2.60 (m, 4H, 2×CH₂) ; 3.54 (s, 2H, CH₂) ; 3.63 (t, 3H, CH₂+CH, *J*= 5 Hz) ; 3.83 (t, 1H, CH, *J*= 5 Hz) ; 4,23 (qd, 2H, CH₂, *J*=7,5Hz) ; 5,81 (s, 2H, NH₂) ; 7.37 (m, 5H, 5×CH).

RMN ¹³C (62,9 MHz, DMSO-*d*₆): δ 14,44 ; 49,79 ; 51,29 ; 59,23 ; 77,74 ; 115,25 ; 127,07 ; 128,41 ; 129,20 ; 137,44 ; 162,67 ; 166,12 ; 169,41 ; 175,33 ; 177,61.

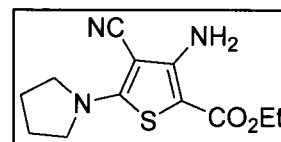
◆ **3-Amino-5-(4-benzyl-1-pipérazinyl)-4-cyano-2-thiophène-carboxylate d'éthyle (55)**

Rendement : Méthode A : 80%.

Méthode B : 77%

Aspect : cristaux incolores

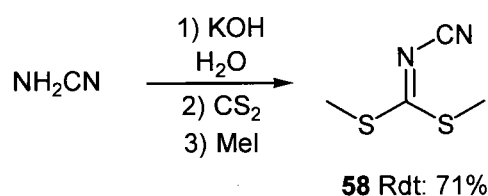
Point de fusion : 215°C



RMN ¹H (250 MHz, CDCl₃): δ 1,27 (t, 3H, CH₃, *J*=7,5 Hz) ; 2,05 (m, 4H, 2×CH₂) ; 3,59 (m, 4H, 2×CH₂) ; 4,19 (qd, 2H, CH₂, *J* = 7.5 Hz) ; 6,68 (s, 2H, NH₂).

RMN ¹³C (62,9 MHz, DMSO-*d*₆): δ 14,49 ; 25,19 ; 51,17 ; 59,00 ; 74,99 ; 115,90 ; 162,11 ; 162,72 ; 169,42 ; 170,45

9. Synthèse du diméthyl cyanodithioimidocarbonate



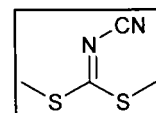
La cyanamide (en solution dans l'eau à 50%) (0,02 mol, 1éq.) est dissoute dans 80 mL d'eau. L'hydroxyde de sodium (0,04 mol, 2éq.) est ajouté et la solution est agitée à 45 minutes à température ambiante. Ensuite le disulfure de carbone (0,02 mol, 1éq.) est ajouté et la solution est chauffée à 40°C. Quand tout le disulfure de carbone est dissous (environ deux heures) et qu'il ne reste plus qu'une seule phase (coloration orange), l'iodure de méthyle est ajouté à 0°C et la réaction est agitée toute la nuit à température ambiante. Le précipité jaune est filtré sur büchner, lavé avec de l'eau (2×50 mL), séché et recristallisé dans l'EtOH.

Rendement : 71%

Aspect : cristaux incolores

Point de fusion : 58°C

Lit¹³⁵ : Pf : 57°C



IR (KBr): 2176 (s) cm⁻¹

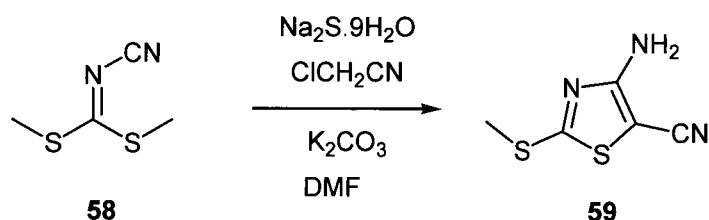
RMN ¹H (250 MHz, DMSO-*d*₆): δ 2.70 (s, 6H, 2×CH₃).

RMN ¹³C (62,9 MHz, DMSO-*d*₆): δ 15.82, 112.25, 193.77.

GC-MS (EI, 70 eV): *m/z* (%): 143, 99, 74.

10. Synthèse des 4-amino-5-cyano-1,3-thiazoles

10.1 Synthèse du 4-amino-5-cyano-2-(méthylsulfanyl)-1,3-thiazole



Dans un tricol de 250 mL, équipé d'un ballon d'un réfrigérant, d'un compte bulle et d'un thermomètre, le sulfure de sodium (0,04 mol, 1éq.) est mis en suspension dans le DMF (53 mL). On ajoute le diméthyl cyanodithioimidocarbonate (0,04 mol, 1éq.) dissous dans 13 mL de DMF. La solution est chauffée pendant deux heures à 70°C. Le chloroacétonitrile (Méthode A : 0,04 mol, 1éq. Méthode B : 0,08 mol, 2éq.) est ajouté goutte à goutte à 70°C. La réaction est exothermique et la température monte à 85°C. Le mélange réactionnel est chauffé deux heures supplémentaires à 70°C. Le carbonate de potassium est ajouté (0,04 mol, 1éq.) et la solution est chauffée une heure à 70°C. La solution est ensuite décomposée sur 400 mL d'eau et de glace. Le précipité obtenu est filtré sur büchner, lavé à l'eau (2×50 mL) et séché. Le solide ainsi obtenu est recristallisé dans l'éthanol.

Rendement : Méthode A : 0,7%

Méthode B : 85% :

Aspect : cristaux incolores.

Point de fusion : 57-59°C.

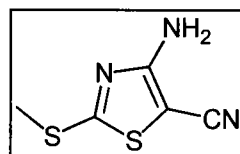
Lit¹³⁶ : 204-206C.

IR (neat): 3308, 3171, 2192, 1641, 1534 cm^{-1} .

RMN ¹H (250 MHz, DMSO-*d*₆): δ 2,62 (s, 3H, CH₃) ; 7,22 (s, 2H, NH₂).

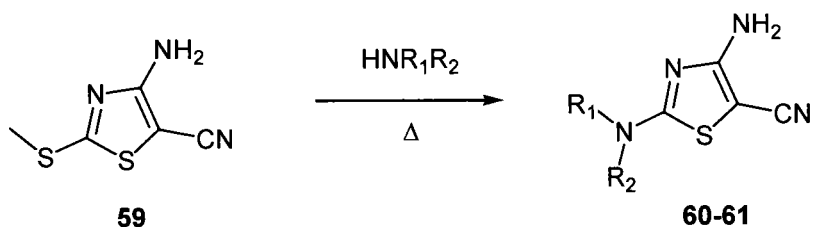
RMN ¹³C (62,9 MHz, DMSO-*d*₆): δ 15,52 ; 67,16 ; 114,43 ; 165,52 ; 172,25.

GC-MS (EI, 70 eV): *m/z* (%): 171 [M⁺], 156, 138.

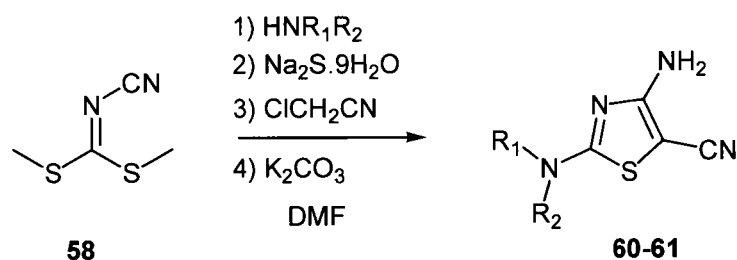


10.2 Synthèse des 4-amino-5-cyano-1,3-thiazoles

Méthode A :



Méthode B :



Dans un tricol de 250 mL, équipé d'un ballon d'un réfrigérant, d'un compte bulle et d'un thermomètre, l'amine secondaire (0,01 mol, 1éq.) est ajouté au diméthyl cyanodithioimidocarbonate (0,01 mol, 1éq.) dissous dans 13 mL de DMF. Le mélange réactionnel est chauffé pendant une heure à 70°C. Le sulfure de sodium nonahydraté (0,01 mol, 1éq.) est ajouté et la solution est chauffée 70°C pendant deux heures. Le chloroacétonitrile (0,03 mol, 3éq.) est ajouté à 50°C et la solution est chauffée pendant deux heures supplémentaires à 50°C. Le carbonate de potassium est ajouté (0,01 mol, 1éq.) et la solution est chauffée une heure à 50°C. La solution est ensuite décomposée sur 100 mL d'eau et de glace. Le précipité obtenu est filtré sur büchner, lavé à l'eau (2×20 mL) et séché. Le solide ainsi obtenu est recristallisé dans l'éthanol.

◆ **4-Amino-5-cyano-2-(4-morpholinyl)-1,3-thiazole (60)**

Rendement : Méthode A : 90%

Méthode B : 78% :

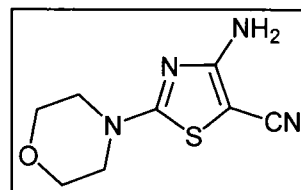
Aspect : cristaux incolores.

Point de fusion : 236°C.

IR (neat): 3320, 3205, 1641, 1563 cm^{-1} .

RMN ^1H (250 MHz, DMSO- d_6): δ 3,39 (t, 4H, $2\times\text{CH}_2$, $J=5,0$ Hz) ; 3,65 (t, 4H, $2\times\text{CH}_2$, $J=5,0$ Hz) ; 6,81 (s, 2H, NH_2).

RMN ^{13}C (62,9 MHz, DMSO- d_6): δ 47,36 ; 56,92 ; 65,15 ; 116,49 ; 165,06 ; 170,01.



◆ **4-Amino-5-cyano-2-(1-pyrrolidinyl)-1,3-thiazole (61)**

Rendement : Méthode A : 95%

Méthode B : 76% :

Aspect : cristaux incolores.

Point de fusion : 299°C.

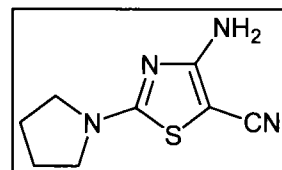
Lit¹³⁶ : Pf : 303-305°C.

IR (neat): 3323, 3168, 2170 cm^{-1}

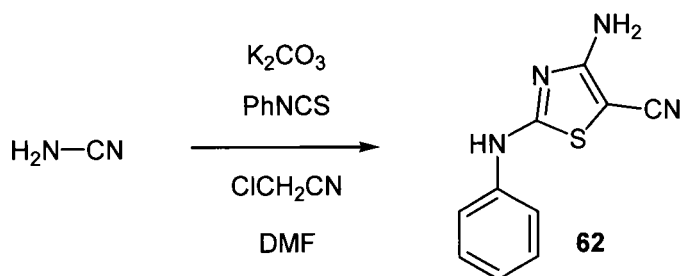
RMN ^1H (250 MHz, DMSO- d_6): δ 1,94 (t, 4H, $2\times\text{CH}_2$, $J=7,5$ Hz) ; 3,33 (t, 4H, $2\times\text{CH}_2$, $J=7,5$ Hz) ; 6,75 (s, 2H, NH_2).

RMN ^{13}C (62,9 MHz, DMSO- d_6): δ 25,03 ; 49,10 ; 56,18 ; 116,90 ; 165,47 ; 166,18.

GC-MS (EI, 70 eV): m/z (%) : 194 [M^+], 166 (43), 139 (16), 97 (17), 70 (18), 55 (24).



10.3 Synthèse du 2-anilino-4-amino-5-cyano-1,3-thiazole

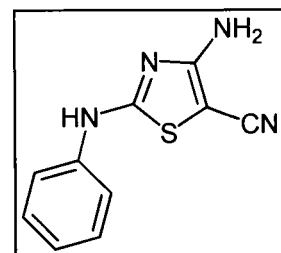


La cyanamide 99% (0,01 mol, 1 éq.) est dissoute dans 53 mL de DMF sec. Le carbonate de potassium (0,01 mol, 1 éq.) est additionné et le mélange réactionnel est agité pendant deux heures à température ambiante. L'isothiocyanate de phényle est ajouté goutte à goutte et la réaction est chauffée à 60°C pendant une heure. Le chloroacétonitrile (0,01 mol, 1 éq.) est doucement additionné goutte à goutte. La réaction est exothermique et la température augmente jusqu'à 75°C. Le mélange réactionnel est chauffé pendant une heure à cette température. Après refroidissement, la solution est décomposée sur 60 mL d'eau glacée. Le précipité qui apparaît est filtré, lavé avec de l'eau, et séché. Le produit est purifié par recristallisation dans l'éthanol.

Rendement : 92%

Aspect : solide jaune.

Point de fusion : 299°C.



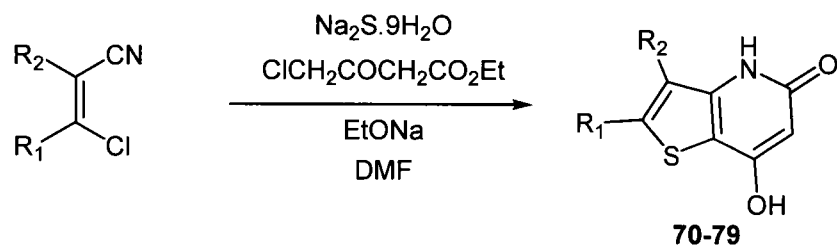
IR (neat): 2171 cm^{-1}

RMN ^1H (250 MHz, $\text{DMSO-}d_6$): δ 6,92 (s, 2H, NH_2) ; 7,03 (t, $J=7,5$ Hz, 1H, CH) ; 7,32 (t, $J=7,5$ Hz, 2H, $2\times\text{CH}$) ; 7,57 (d, $J=7,5$ Hz, 2H, $2\times\text{CH}$) ; 10,63 (s, 1H, NH).

RMN ^{13}C (62,9 MHz, $\text{DMSO-}d_6$): δ 56,68 ; 116,28 ; 118,24 ; 124,36 ; 129,46 ; 139,70 ; 164,46 ; 164,52.

GC-MS (EI, 70 eV): m/z (%) : 216 (100), 119 (31), 77 (19).

11. Synthèse des 7-hydroxythiéno[3,2-b]pyridin-5(4H)-ones



Le sulfure de sodium nonahydraté (0,01 mol, 1 éq.) est mis en suspension dans 14 mL de DMF et chauffé pendant 30 minutes à 40°C. Le β-chloroacrylonitrile (0,01 mol, 1 éq.) est dissous dans 4 mL de DMF puis ajouté au mélange réactionnel. La solution est chauffée pendant 90 minutes à 60°C puis le 4-chloroacetoacetate d'éthyle (0,01 mol, 1 éq.) dissous dans 1 mL de DMF est ajouté goutte à goutte. La solution est chauffée à 60°C pendant 90 minutes supplémentaires avant d'ajouter une solution d'éthylate de sodium (0,02 mol, 2 éq.) dans 14 mL d'EtOH absolu. Le mélange réactionnel est agité pendant 30 minutes à 60°C puis refroidi. La solution est décomposée sur 150 mL d'eau glacé puis acidifié jusqu'à pH=1 avec de l'acide chlorhydrique concentré. Le précipité qui apparaît est filtré sur büchner rincé deux fois avec 25 mL d'eau puis séché. Le solide obtenu est purifié par recristallisation à chaud : il est mis en suspension dans 25 mL d'éther éthylique et chauffé au reflux pendant 30 minutes. Le solide est filtré et rincé deux fois avec 25 mL d'éther éthylique.

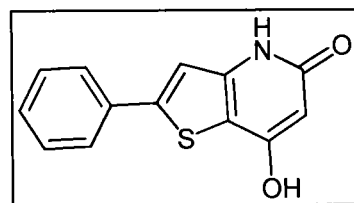
◆ 7-Hydroxy-2-phénylthiéno[3,2-*b*]pyridin-5(4*H*)-one (70)

Rendement : 72%

Aspect : cristaux bruns.

Point de fusion : 220-222°C (déc).

IR (KBr) : 2814, 1621, 1516 cm^{-1} .



RMN ^1H (250 MHz, DMSO- d_6): δ 5.61 (s, 1H, CH) ; 7.28 (s, 1H, CH) ; 7.50 (d, 2H, 2 \times CH, $J=7.5$ Hz) ; 7.72 (d, 2H, 2 \times CH, $J=7.5$ Hz) ; 11.52 (s, 1H, NH) ; 11.78 (s, 1H, OH).

RMN ^{13}C (62,9 MHz, DMSO- d_6): δ 95.42 ; 112.90 ; 118.15 ; 125.71 ; 129.08 ; 129.32 ; 132.66 ; 137.95 ; 145.54 ; 161.48 ; 164.04.

Analyse élémentaire : $\text{C}_{13}\text{H}_9\text{NO}_2\text{S}$

Calculée : C, 64.18 ; H, 3.73 ; N, 5.76;

Trouvée : C, 64.32 ; H, 3.59 ; N, 5.61.

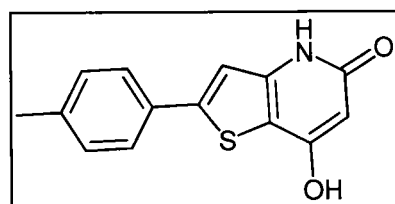
◆ 7-Hydroxy-2-(4-méthylphényl)thiéno[3,2-*b*]pyridin-5(4*H*)-one (71)

Rendement : 74%

Aspect : cristaux bruns.

Point de fusion : 204-206°C (déc).

IR (KBr) : 2916, 1620, 1523 cm^{-1} .



RMN ^1H (250 MHz, DMSO- d_6): δ 2.33 (s, 3H, CH_3) ; 5.56 (s, 1H, CH) ; 7.19 (s, 1H, CH) ; 7.26 (d, 2H, 2 \times CH, $J=7.5$ Hz) ; 7.58 (d, 2H, 2 \times CH, $J=7.5$ Hz) ; 11.43 (s, 1H, NH) ; 11.58 (s, 1H, OH).

RMN ^{13}C (62,9 MHz, DMSO- d_6): δ 20.80 ; 93.27 ; 112.48 ; 125.91 ; 129.46 ; 129.90 ; 130.31, 139.46 ; 143.94 ; 149.05 ; 162.99 ; 163.68.

Analyse élémentaire : $\text{C}_{14}\text{H}_{11}\text{NO}_2\text{S}$:

Calculée : C, 65.35 ; H, 4.31 ; N, 5.44 ;

Trouvée : C, 65.23 ; H, 4.51 ; N, 5.72.

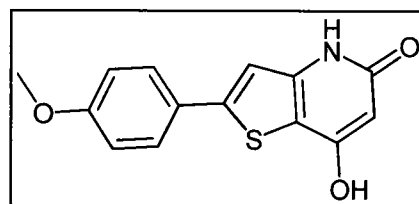
◆ **7-Hydroxy-2--(4-méthoxyphényl)thiéno[3,2-*b*]pyridin-5(4*H*)-one (72)**

Rendement : 80%

Aspect : cristaux bruns.

Point de fusion : 208-210°C (déc).

IR (KBr) : 2835, 1667, 1538 cm⁻¹.



RMN ¹H (250 MHz, DMSO-*d*₆): δ 3,79 (s, 3H, CH₃) ; 5,55 (s, 1H, CH) ; 7,01 (d, 2H, 2×CH, *J*=10 Hz) ; 7,12 (s, 1H, CH) ; 7,63 (d, 2H, 2×CH, *J*=10 Hz) ; 11,42 (s, 1H, NH) ; 11,58 (s, 1H, OH).

RMN ¹³C (62,9 MHz, DMSO-*d*₆): δ 55,30 ; 94,43 ; 110,44 ; 111,73 ; 114,69 ; 125,14 ; 129,68 ; 143,94 ; 147,24 ; 160,05 ; 162,32 ; 163,71.

Analyse élémentaire : C₁₄H₁₁NO₃S :

Calculée : C, 61,52 ; H, 4,06 ; N, 5,12 ;

Trouvée : C, 61,75 ; H, 4,37 ; N, 5,19.

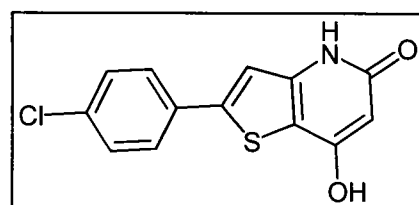
◆ **7-Hydroxy-2-(4-chlorophényl)thiéno[3,2-*b*]pyridin-5(4*H*)-one (73)**

Rendement : 95%

Aspect : cristaux bruns.

Point de fusion : 218-220°C (déc).

IR (KBr) : 2819, 1672, 1515 cm⁻¹.



RMN ¹H (250 MHz, DMSO-*d*₆): δ 5.63 (s, 1H, CH) ; 7.27 (s, 1H, CH) ; 7.48 (d, 2H, 2×CH, *J*=7.5 Hz) ; 7.70 (d, 2H, 2×CH, *J*=7.5 Hz) ; 11.67 (s, 1H, NH) ; 11.71 (s, 1H, OH).

RMN ¹³C (62,9 MHz, DMSO-*d*₆): δ 95.53 ; 113.53 ; 127.48 ; 128.70 ; 129.28 ; 131.09 ; 131.56 ; 133.56 ; 144.95 ; 161.51 ; 163.98.

Analyse élémentaire : C₁₃H₈ClNO₂S :

Calculée : C, 56.22 ; H, 2.90 ; N, 5.04 ;

Trouvée : C, 56.03 ; H, 3.08 ; N, 5.29.

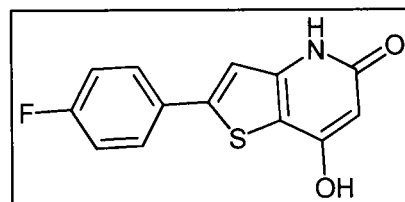
◆ **7-Hydroxy-2-(4-fluorophényl)thiéno[3,2-*b*]pyridin-5(4*H*)-one (74)**

Rendement : 88%

Aspect : cristaux bruns.

Point de fusion : 212-214°C (déc).

IR (KBr) : 2892, 1671, 1524 cm⁻¹.



RMN ¹H (250 MHz, DMSO-*d*₆): δ 5.99 (s, 1H, CH) ; 7.30 (m, 2H, 2×CH) ; 7.77 (d, 2H, 2×CH) ; 9.20 (s, 1H, NH) ; 12.34 (s, 1H, OH).

RMN ¹³C (62,9 MHz, DMSO-*d*₆): δ 93.58 ; 113.40 ; 116.20 ; 116.55 ; 128.42 ; 128.90 ; 143.80 ; 147.34 ; 160.70 ; 163.04 ; 163.65.

Analyse élémentaire : C₁₃H₈FNO₂S :

Calculée : C, 59.76 ; H, 3.09 ; N, 5.36 ;

Trouvée : C, 59.64 ; H, 3.26 ; N, 5.56.

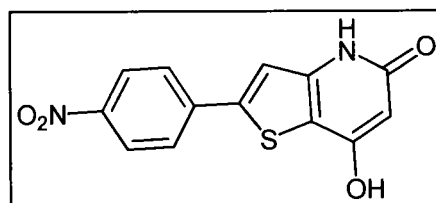
◆ **7-Hydroxy-2-(4-nitrophényl)thiéno[3,2-*b*]pyridin-5(4*H*)-one (75)**

Rendement : 98%

Aspect : cristaux bruns.

Point de fusion : 230-232°C (déc).

IR (KBr) : 3559, 1731, 1519 cm⁻¹.



RMN ¹H (250 MHz, CDCl₃): δ 5.96 (s, 1H, CH) ; 7.57 (s, 1H, CH) ; 7.94 (d, 2H, 2*CH, *J*=7,5 Hz) ; 8,25 (d, 2H, 2*CH, *J*=7,5 Hz) ; 11,50 (s, 1H, NH) ; 11,60 (s, 1H, OH).

RMN ¹³C (62,9 MHz, DMSO-*d*₆): δ 96,15 ; 113,08 ; 115,68 ; 126,46 ; 127,11 ; 138,79 ; 143,37 ; 143,53 ; 146,98 ; 161,78 ; 165,23.

Analyse élémentaire : C₁₃H₈N₂O₄S :

Calculée : C, 54,16 ; H, 2,80 ; N, 9,72 ;

Trouvée : C, 54,46 ; H, 2,67 ; N, 9,56.

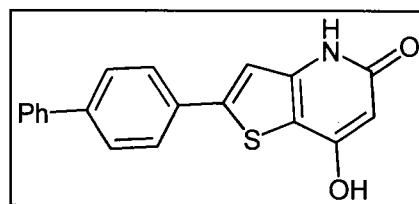
◆ **2-[1,1'-Biphenyl]-4-yl-7-Hydroxythiéno[3,2-*b*]pyridin-5(4*H*)-one (76)**

Rendement : 80%

Aspect : cristaux bruns.

Point de fusion : 206-208°C (déc).

IR (KBr) : 3027, 1664, 1521 cm⁻¹.



RMN ¹H (250 MHz, DMSO-*d*₆): δ 5,72 (s, 1H, CH) ; 7,53 (s, 1H, CH) ; 7,40 (d, 2H, 2*CH, *J*=7,5 Hz) ; 7,48 (m, 3H, 3*CH) ; 7,72 (d, 2H, 2*CH, *J*=7,5 Hz) ; 7,78 (m, 3H, 3*CH) ; 11,72 (s, 2H, NH + OH).

RMN ¹³C (62,9 MHz, DMSO-*d*₆): δ 113,25 ; 126,86 ; 127,49 ; 127,94 ; 128,07 ; 128,19 ; 128,56 ; 128,99 ; 129,57 ; 131,09 ; 138,89 ; 141,22 ; 142,30 ; 162,64 ; 167,03.

Analyse élémentaire : C₁₉H₁₃NO₂S :

Calculée : C, 71,45 ; H, 4,10 ; N, 4,39 ;

Trouvée : C, 71,26 ; H, 4,45 ; N, 4,52.

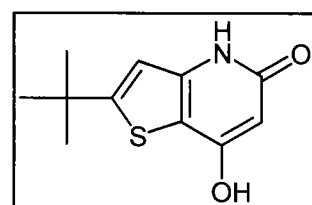
◆ **2-Tertiobutyl-7-hydroxythiéno[3,2-*b*]pyridin-5(4*H*)-one (77)**

Rendement : 70%

Aspect : cristaux bruns.

Point de fusion : 210-212°C (déc).

IR (KBr) : 2962, 1639, 1507 cm⁻¹.



RMN ¹H (250 MHz, CDCl₃): δ 1,33 (s, 3H, CH₃) ; 5,55 (s, 1H, CH) ; 6,71 (s, 1H, CH) ; 11,44 (s, 2H, NH + OH).

RMN ¹³C (62,9 MHz, DMSO-*d*₆): 32,09 ; 35,15 ; 95,06 ; 108,95 ; 112,55 ; 143,43 ; 161,70 ; 162,16 ; 164,74.

Analyse élémentaire : C₁₁H₁₃NO₂S :

Calculée : C, 59,17 ; H, 5,87 ; N, 6,27 ;

Trouvée : C, 59,05 ; H, 5,80 ; N, 6,07.

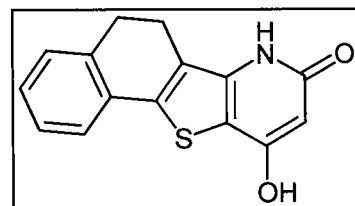
◆ **10-Hydroxy-5,6-dihydronaphtho[2',1':4,5]thiéo[3,2-*b*]pyridin-8(7*H*)-one (78)**

Rendement : 76%

Aspect : cristaux bruns.

Point de fusion : 228-230°C (déc).

IR (KBr) : 2934, 1631, 1516 cm^{-1} .



RMN ^1H (250 MHz, DMSO-*d*₆): δ 2,93 (m, 4H, 2*CH₂) ; 5,65 (s, 1H, CH) ; 7,29 (m, 3H, 3*CH) ; 7,45 (m, 1H, CH) ; 11,60 (s, 2H, NH + OH).

RMN ^{13}C (62,9 MHz, DMSO-*d*₆): δ 20,51 ; 27,48 ; 95,38 ; 109,58 ; 123,10 ; 125,96 ; 127,16 ; 128,24 ; 128,42 ; 130,01 ; 135,27 ; 138,31 ; 142,03 ; 161,69 ; 164,62.

Analyse élémentaire : C₁₅H₁₁NO₂S :

Calculée : C, 66,89 ; H, 4,12 ; N, 5,20 ;

Trouvée : C, 66,63 ; H, 4,36 ; N, 5,35.

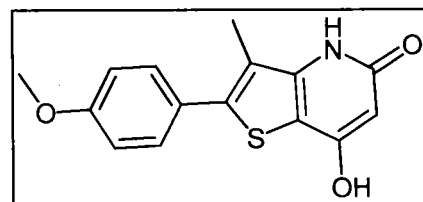
◆ **7-Hydroxy-3-méthyl-2-phenylthiéo[3,2-*b*]pyridin-5(4*H*)-one (79)**

Rendement : 2%

Aspect : cristaux bruns.

Point de fusion : 220-222°C (déc).

IR (KBr) : 3062, 1660, 1520 cm^{-1} .



RMN ^1H (250 MHz, CDCl₃): 2,27 (s, 3H, CH₃) ; 5,64 (s, 1H, CH) ; 7,45 (m, 5H, 5*CH) ; 11,45 (s, 2H, NH + OH).

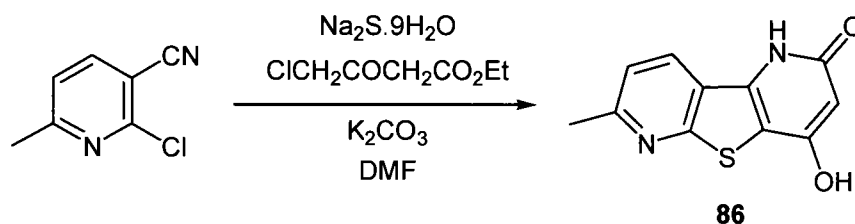
RMN ^{13}C (62,9 MHz, DMSO-*d*₆): δ 11,97 ; 95,42 ; 109,55 ; 122,64 ; 128,42 ; 128,83 ; 128,93 ; 133,36 ; 140,19 ; 143,80 ; 161,23 ; 164,76.

Analyse élémentaire : C₁₄H₁₁NO₂S :

Calculée : C, 65,35 ; H, 4,31 ; N, 5,44 ;

Trouvée : C, 65,16 ; H, 4,67 ; N, 5,72.

12. Synthèse de la 4-hydroxy-7-méthyl-pyridino[2,3-*d*]thieno[3,2-*b*]pyridin-2(1*H*)-one



Le sulfure de sodium nonahydraté (0,01 mol, 1 éq.) est mis en suspension dans 14 mL de DMF et chauffé pendant 30 minutes à 40°C. Le 2-chloro-6-méthylnicotinonitrile (0,01 mol, 1 éq.) est dissous dans 4 mL de DMF puis ajouté au mélange réactionnel. La solution est chauffée pendant 90 minutes à 60°C puis le 4-chloroacetoacetate d'éthyle (0,01 mol, 1 éq.) dissous dans 1 mL de DMF est ajouté goutte à goutte. La solution est chauffée à 60°C pendant 90 minutes supplémentaires avant d'ajouter le carbonate de potassium (0,02 mol, 2 éq.). Le mélange réactionnel est agité pendant 30 minutes à 60°C puis refroidie. La solution est décomposée sur 150 mL d'eau glacé puis acidifiée jusqu'à pH=1 avec de l'acide phosphorique à 85%. Le précipité qui apparaît est filtré sur büchner rincé deux fois avec 25 mL d'eau puis séché. Le solide obtenu est purifié par recristallisation à chaud : il est mis en suspension dans 25 mL d'éther éthylique et chauffé au reflux pendant 30 minutes. Le solide est filtré et rincé deux fois avec 25 mL d'éther éthylique.

Rendement : 80%

Aspect : cristaux bruns.

Point de fusion : 214-216°C (déc).

IR (KBr) : 3247, 1639, 1543 cm^{-1} .

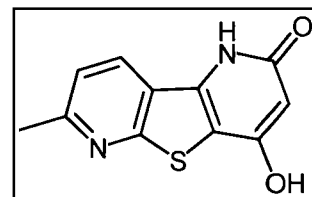
RMN ^1H (250 MHz, CDCl_3): 2,49 (s, 3H, CH_3) ; 5,87 (s, 1H, CH) ; 7,40 (d, 2H, $2\times\text{CH}$, $J=7,5$ Hz) ; 8,56 (d, 2H, $2\times\text{CH}$, $J=7,5$ Hz) ; 11,70 (s, 2H, NH + OH).

RMN ^{13}C (62,9 MHz, $\text{DMSO-}d_6$): δ 24,16 ; 97,39 ; 107,92 ; 120,16 ; 121,31 ; 130,46 ; 136,19 ; 158,62 ; 159,43 ; 162,01 ; 164,29.

Analyse élémentaire : $\text{C}_{11}\text{H}_8\text{N}_2\text{O}_2\text{S}$:

Calculée : C, 56,88 ; H, 3,47 ; N, 12,06 ;

Trouvée : C, 56,76 ; H, 3,12 ; N, 12,30.



13. Synthèse du bromonitrométhane

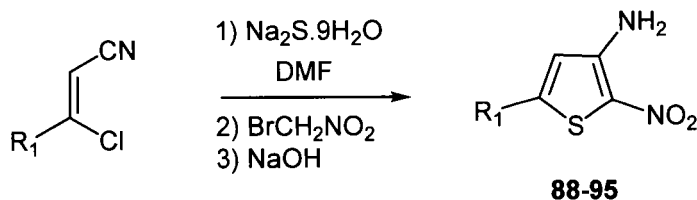
Dans un ballon de 2000 mL, muni d'une ampoule à brome, la solution de de soude (0,6 mol, 1 éq.) dans 810 mL d'eau et 0,6 mol de nitrométhane distillé sont refroidis dans un bain de glace sous agitation, à 0°C, 30 ml (1éq) de dibrome sont additionnés en 5 à 7 secondes pour éviter d'obtenir des mélanges de di et tribromonitromethane. Après 30 minutes, le pH est ajusté à 3 avec l'acide chlorhydrique (2M) puis le mélange est extrait trois fois au dichlorométhane et les phases organiques sont séchées sur du sulfate de sodium et évaporées. Le produit est assez pur pour être utilisé brut pour les réactions suivantes. Une distillation est évitée à cause de la toxicité du bromonitrométhane.

Rendement : 61%.

Aspect : huile jaune.

RMN ¹H (250 MHz, CDCl₃) : δ 5, 72 (s, 2H, CH₂)

14. Synthèse des 3-amino-2-nitro thiophènes substitués



Mode Opérateur Général :

Dans un tricol de 250 mL muni d'un réfrigérant et d'un thermomètre, 50 mmol (1 éq.) de sulfure de sodium nonahydraté sont mis en suspension dans 98 mL de DMF. Le mélange est chauffé à 40°C environ sous agitation pendant 30 minutes. 50 mmol (1 éq.) de 3-chloro-3-arylpropénitrile sont ajoutés en une seule fois. Le mélange réactionnel est alors agité pendant 90 minutes à 55°C. 50 Mmol (1 éq.) de bromonitrométhane sont additionnés goutte à goutte à température ambiante. Après 90 min d'agitation à 55°C, 50 mmol (1 éq.) de soude dissous dans 10 mL d'eau sont ajoutés au le mélange réactionnel. Après 30 minutes d'agitation à 55°C, le mélange est décomposé après refroidissement sur 500 mL d'eau glacée. Le précipité qui se forme est isolé par filtration sous vide, rincé 2 fois avec 50 mL d'eau. Le solide est séché à température ambiante jusqu'à masse constante. Le produit est ensuite recristallisé ou purifié par chromatographie.

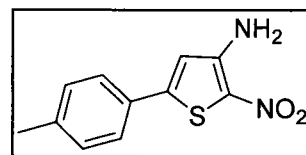
3-Amino-5-(4-méthylphényl)-2-nitrothiophène (88)

Rendement : 60%.

Aspect : solide brun

Point de fusion : 224-227 °C (EtOH)

IR (KBr): 3437, 3307, 1554 cm^{-1} .



RMN ^1H (250 MHz, DMSO- d_6) : δ 2,29 (s, 3H, CH_3) ; 6,98 (s, 1H, CH) ; 7,22 (d, 2H, 2 \times CH, $J=7,5$ Hz) ; 7,61 (d, 2H, 2 \times CH, $J=7,5$ Hz) ; 8,20 (s, 2H, NH_2),

RMN ^{13}C (62,9 MHz, DMSO- d_6): δ 20,91 ; 114,29 ; 125,90 ; 128,68 ; 129,94 ; 140,76 ; 149,89 ; 152,10 ; 155,56.

Analyse élémentaire: $\text{C}_{11}\text{H}_{10}\text{N}_2\text{O}_2\text{S}$

Calculée : C, 56,39 ; H, 4,30 ; N, 11,96 ;

Trouvée : C, 56,55 ; H, 4,51 ; N, 11,72.

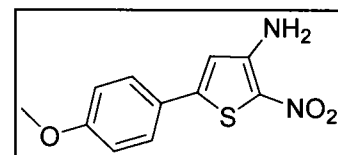
◆ 3-Amino-5-(4-méthoxyphényl)-2-nitrothiophène (89)

Rendement : 62%

Aspect : solide jaune

Point de fusion : 213-215°C (EtOH).

IR (KBr): 3430, 3307, 1552 cm^{-1} .



RMN ^1H (250 MHz, DMSO- d_6) : δ 3,83 (s, 3H, CH_3O) ; 6,92 (s, 1H, CH) ; 7,05 (d, 2H, 2 \times CH, $J=7,5$ Hz) ; 7,67 (d, 2H, 2 \times CH, $J=7,5$ Hz) ; 8,18 (s, 2H, NH_2).

RMN ^{13}C (62,9 MHz, DMSO- d_6) : δ 55,44 ; 113,37 ; 114,78 ; 119,58 ; 123,90 ; 127,68 ; 149,97 ; 152,33 ; 161,23.

Analyse élémentaire: $\text{C}_{11}\text{H}_{10}\text{N}_2\text{O}_3\text{S}$

Calculée : C, 52,79 ; H, 4,03 ; N, 11,19 ;

Trouvée : C, 52,68 ; H, 4,17 ; N, 11,03.

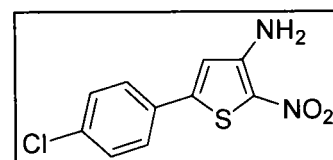
◆ **3-Amino-5-(4-chlorophenyl)-2-nitrothiophène (90)**

Rendement : 71%.

Aspect : solide jaune

Point de fusion : 269-270 °C (EtOH).

IR (KBr) : 3433, 3284, 1561 cm^{-1} .



RMN ^1H (250 MHz, DMSO- d_6): δ 7,04 (s, 1H, CH) ; 7,57 (d, 2H, 2 \times CH, J=7,5 Hz) ; 7,73 (d, 2H, 2 \times CH, J=7,5 Hz) ; 8,22 (s, 2H, NH $_2$).

RMN ^{13}C (62,9 MHz, DMSO- d_6): δ 115,63 ; 120,34 ; 127,80 ; 129,41 ; 130,30 ; 135,21 ; 148,00 ; 151,82.

Analyse élémentaire: C $_{10}$ H $_7$ ClN $_2$ O $_2$ S

Calculée : C, 47,16 ; H, 2,77 ; N, 11,00,

Trouvée : C, 47,23 ; H, 2,61 ; N, 10,82.

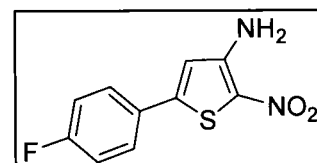
◆ **3-Amino-5-(4-fluorophényl)-2-nitrothiophène (91)**

Rendement : 80%

Aspect : solide vert.

Point de fusion : 230-232 °C (recristallisation à chaud EtOH).

IR (KBr) : 3442, 3304, 1525 cm^{-1} .



RMN ^1H (250 MHz, DMSO- d_6): δ 6,97 (s, 1H, CH) ; 7,32 (m, 2H, 2 \times CH) ; 7,75 (m, 2H, 2 \times CH) ; 8,18 (s, 2H, NH $_2$).

RMN ^{13}C (62,9 MHz, DMSO- d_6): δ 115,13 ; 116,25 ; 120,17 ; 128,41 ; 148,39 ; 151,92 ; 161,30 ; 165,26.

Analyse élémentaire: C $_{10}$ H $_7$ FN $_2$ O $_2$ S

Calculée : C, 50,41 ; H, 2,96 ; N, 11,76,

Trouvée : C, 50,16 ; H, 2,77 ; N, 11,96.

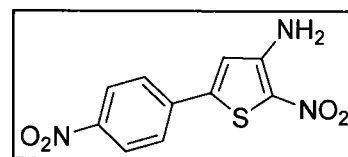
◆ **3-Amino-5-(4-nitrophényl)-2-nitrothiophène (92)**

Rendement : 70%.

Aspect : solide brun

Point de fusion : 244-246 °C (EtOH).

IR (KBr) : 3458, 3308, 1511 cm^{-1} .



RMN ^1H (250 MHz, DMSO- d_6): δ 7.19 (s, 1H, CH) ; 7.96 (d, 2H, 2 \times CH, J=7,5 Hz) ; 8.26 (s, 2H, NH $_2$) ; 8.28 (d, 2H, 2 \times CH, J=7,5 Hz).

RMN ^{13}C (62.9 MHz, DMSO- d_6): δ 117.80 ; 121.39 ; 124.44 ; 127.24 ; 137.33 ; 146.05 ; 148.01 ; 151.84.

Analyse élémentaire: $\text{C}_{10}\text{H}_7\text{N}_3\text{O}_4\text{S}$

Calculée : C, 45,28; H, 2,66 ; N, 15,84,

Trouvée : C, 45,13 ; H, 2,79 ; N, 15,72.

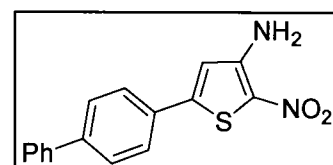
◆ **3-Amino-5-[1,1'-biphényl]-4-yl-2-nitrothiophène (93)**

Rendement : 62%

Aspect : solide brun.

Point de fusion : 126-128°C (chromatographie cyclohexane : acétate d'éthyl (8 :2)).

IR (KBr) : 3420, 3305, 1560 cm^{-1} .



RMN ^1H (250 MHz, DMSO- d_6): δ 7,06 (s, 1H, CH) ; 7,50 (m, 4H, 4 \times CH) ; 7,75 (m, 5H, 5 \times CH) ; 8,22 (s, 2H, NH $_2$).

RMN ^{13}C (62,9 MHz, DMSO- d_6): δ 114,95 ; 120,23 ; 126,59 ; 127,25 ; 127,49 ; 128,12 ; 129,04 ; 130,39 ; 138,80 ; 142,10 ; 149,13 ; 151,59.

Analyse élémentaire: $\text{C}_{16}\text{H}_{12}\text{N}_2\text{O}_2\text{S}$

Calculée : C, 64,85; H, 4,08 ; N, 9,45,

Trouvée : C, 65,01 ; H, 4,27 ; N, 9,22.

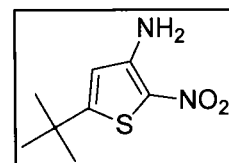
◆ **3-Amino-5-tertiobutyl-2-nitrothiophène (94)**

Rendement : 70%.

Aspect : solide jaune

Point de fusion : 132-134°C (cyclohexane/EtOH).

IR (KBr) : 3431, 3312, 1557 cm^{-1} .



RMN ^1H (250 MHz, DMSO- d_6): δ 1,25 (s, 9H, 3 \times CH $_3$) ; 6,46 (s, 1H, CH) ; 8,02 (s, 2H, NH $_2$).

RMN ^{13}C (62.9 MHz, DMSO- d_6): δ 30,60 ; 35,00 ; 114,66 ; 115,95 ; 151,63 ; 165,40.

Analyse élémentaire: C $_8$ H $_{12}$ N $_2$ O $_2$ S

Calculée : C, 47,98; H, 6,04 ; N, 13,99,

Trouvée : C, 47,84 ; H, 6,14 ; N, 14,18.

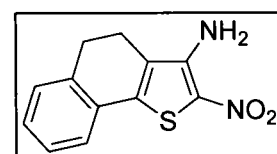
◆ **3-Amino-2-nitro-4,5-dihydronaphtho[1,2-b]thiophène (95)**

Rendement : 80%

Aspect : solide jaune

Point de fusion : 217-218°C (EtOH).

IR (KBr) : 3432, 3307, 1545 cm^{-1} .



RMN ^1H (250 MHz, DMSO- d_6) : δ 2,71 (t, 2H, CH $_2$, J=7,5 Hz) ; 2,97 (t, 2H, CH $_2$, J=7,5 Hz) ; 7,34 (m, 3H, 3 \times CH) ; 7,43 (d, H, CH, J=7,5 Hz) ; 8,18 (s, 2H, NH $_2$).

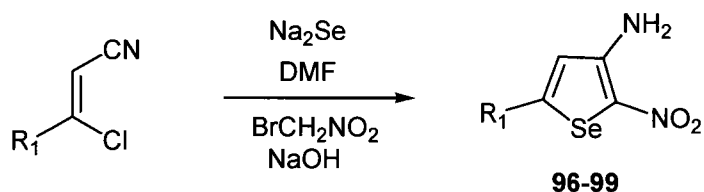
RMN ^{13}C (62,9 MHz, DMSO- d_6) : δ 20,14 ; 26,85 ; 119,86 ; 124,06 ; 126,43 ; 127,31 ; 128,01 ; 128,44 ; 130,32 ; 136,59 ; 142,04 ; 150,10.

Analyse élémentaire: C $_{12}$ H $_{10}$ N $_2$ O $_2$ S

Calculée : C, 58,52; H, 4,09 ; N, 11,37,

Trouvée : C, 58,23 ; H, 4,22 ; N, 11,41.

15. Synthèse des 3-amino-2-nitro-sélénophènes substitués.



Mode opératoire général :

Dans un tricol de 250 mL muni d'un réfrigérant et d'un thermomètre, 10 mmol (1 éq.) de séléniure de sodium frais sont mis en suspension dans 10 mL de DMF. Le 3-chloro-3-arylacrylonirile (10 mmol, 1 éq.) est dissous dans 4 mL de DMF et ajouté en une seule fois. Le mélange réactionnel est alors agité pendant deux heures à 60°C. Le bromonitrométhane (10 mmol, 1 éq.) est additionné goutte à goutte 0°C. Après deux heures d'agitation à 60°C, l'éthalonate de sodium (10 mmol, 1 éq.) fraîchement préparé est ajouté en une seule fois dans le mélange réactionnel. Après une heure d'agitation à 60°C, le mélange est décomposé après refroidissement sur 60 mL d'eau glacée. Le précipité qui se forme est isolé par filtration sous vide, rincé 2 fois avec 10 mL d'eau. Le solide est séché et purifié par recristallisation dans l'éthanol.

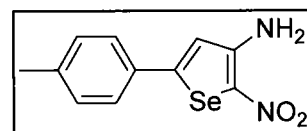
◆ **3-Amino-2-nitro-5-(4-méthyl)phénylsélénophène (96)**

Rendement : 76%

Aspect : solide vert

Point de fusion : 246-248°C.

IR (neat) : 3427, 3305, 1606, 1308 cm^{-1} .



RMN ^1H : δ 2,33 (s, 3H, CH_3), 7,23 (s, 1H, CH), 7,22 (d, 2H, , $2\times\text{CH}$, $J=7,5$ Hz), 7,44 (d, 2H, , $2\times\text{CH}$, $J=7,5$ Hz), 8,44 (s, 2H, NH_2).

RMN ^{13}C : δ 20.89 ; 117.88 ; 118.28 ; 126.19 ; 129.27 ; 129.52 ; 140.87 ; 154.36 ; 154.79.

Analyse élémentaire : $\text{C}_{11}\text{H}_{10}\text{N}_2\text{O}_2\text{Se}$

Calculée : C, 46,99 ; H, 3,58 ; N, 9,96 ;

Trouvée : C, 46,89 ; H, 3,39 ; N, 10,01.

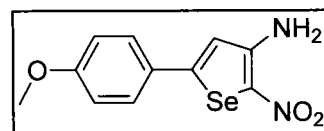
◆ **3-Amino-5-(4-méthylphényl)-2-cyanosélénophène (97)**

Rendement : 66%

Aspect : solide jaune

Point de fusion : 228-230°C

IR (KBr): 3441, 3325, 1597 cm^{-1} .



RMN ^1H (250 MHz, $\text{DMSO}-d_6$): δ 3.78 (s, 3H, CH_3) ; 7.04 (d, 2H, $J=7.5$ Hz, $2\times\text{CH}$) ; 7.17 (s, 1H, CH) ; 7.58 (d, 2H, $J=7.5$ Hz, $2\times\text{CH}$) ; 8.38 (s, 2H, NH_2).

RMN ^{13}C (62,9 MHz, $\text{DMSO}-d_6$): δ 55.44, 103.55, 114.34, 114.59, 117.21, 127.97, 129.76, 154.62, 161.31.

Analyse élémentaire : $\text{C}_{11}\text{H}_{10}\text{N}_2\text{O}_3\text{Se}$

Calculée : C, 44.46 ; H, 3,39 ; N, 9.43.

Trouvée : C, 44.32 5 ; H, 3.27 ; N, 9,55.

◆ **3-Amino-5-(4-chlorophényl)-2-nitrosélénophène (98)**

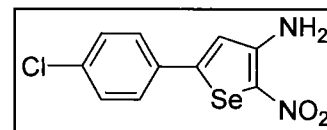
Préparé à partir du composé 29.

Rendement : 57%

Aspect : solide vert

Point de fusion : 274-276°C

IR (KBr): 3420, 3280, 3160, 1624 cm⁻¹.



RMN ¹H (250 MHz, DMSO-*d*₆): δ 7,29 (s, 1H, CH) ; 7,52 (d, 2H, 2×CH, J=7,5 Hz) ; 7,65 (d, 2H, 2×CH, J=7,5 Hz) ; 8,41 (s, 2H, NH₂).

RMN ¹³C (62,9 MHz, DMSO-*d*₆): δ 97,63 ; 119,37 ; 128,05 ; 129,56 ; 130,32 ; 135,22 ; 152,81 ; 154,00.

Analyse élémentaire: C₁₂H₇ClN₂O₂Se

Calculée : C, 39.82 ; H, 2.34 ; N, 9.29,

Trouvée : C, 39.73 ; H, 2.22 ; N, 9.41,

◆ **3-Amino-5-*t*-butyl-2-nitrosélénophène (99)**

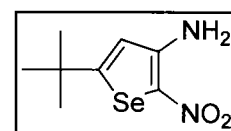
Préparé à partir du composé 33.

Rendement : 62%

Aspect : solide orange

Point de fusion : 136-138°C

IR (KBr): 3415, 3302, 2965, 1617 cm⁻¹



RMN ¹H (250 MHz, CDCl₃) : δ 1.23 (s, 9H, 3×CH₃) ; 6,74 (s, 1H, CH) ; 8,28 (s, 2H, NH₂).

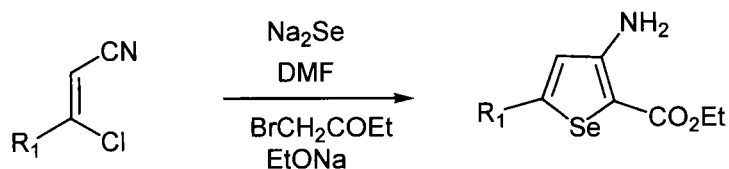
RMN ¹³C (62,9 MHz, DMSO-*d*₆) : δ 31,40 ; 36,78 ; 117,60 ; 118,23 ; 153,90 ; 172,07.

Analyse élémentaire: C₈H₁₂N₂O₂Se

Calculée : C, 38,88 ; H, 4,89 ; N, 11,33.

Trouvée : C, 38,95 ; H, 4,71 ; N, 11,47.

16. Synthèse des 3-amino-2-sélénophènecarboxylates d'éthyle substitués.



Mode opératoire général :

Dans un tricol de 250 mL muni d'un réfrigérant et d'un thermomètre, 10 mmol (1 éq.) de séléniure de sodium frais sont mis en suspension dans 10 mL de DMF. Le 3-chloro-3-arylacrylonirile (10 mmol, 1 éq.) est dissous dans 4 mL de DMF et ajouté en une seule fois. Le mélange réactionnel est alors agité pendant deux heures à 60°C. Le bromoacétate d'éthyle (10 mmol, 1 éq.) est additionné goutte à goutte à 60°C. Après deux heures d'agitation à 60°C, l'éthylate de sodium (10 mmol, 1 éq.) fraîchement préparé est ajouté en une seule fois dans le mélange réactionnel. Après une heure d'agitation à 60°C, le mélange est décomposé après refroidissement sur 60 mL d'eau glacée. Le précipité qui se forme est isolé par filtration sous vide, rincé 2 fois avec 50 mL d'eau. Le solide est séché et purifié par recristallisation dans l'éthanol.

◆ **3-Amino-5-(4-méthylphényl)-2-sélénophèncarboxylate d'éthyle (100)**

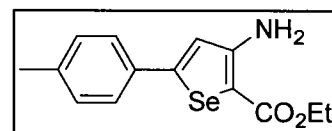
Préparé à partir du composé 27.

Rendement : 80%

Aspect : solide brun

Point de fusion : 110-112°C.

IR (KBr) : 3472 ; 3438 ; 3362 ; 3335 ; 1654 ; 1602 cm^{-1} .



RMN ^1H : δ 1,23 (t, 3H, CH_3 , $J=7,5$ Hz) ; 2,33 (s, 3H, CH_3) ; 4,15 (d, 2H, CH_2 , $J=7,5$ Hz) ; 6,71 (s, 2H, NH_2) ; 7,21 (s, 1H, CH) ; 7,23 (d, 2H, $2\times\text{CH}$, $J=7,5$ Hz) ; 7,44 (d, 2H, $2\times\text{CH}$, $J=7,5$ Hz)

RMN ^{13}C : δ 14,47 ; 20,76 ; 59,35 ; 95,53 ; 119,49 ; 125,76 ; 129,73 ; 131,91 ; 138,96 ; 152,22 ; 157,20 ; 164,67.

GC/MS (EI, 70 eV): $m/z = 309$ [M^+], 263, 237, 115.

◆ **3-Amino-5-(4-méthoxyphényl)-2-sélénophèncarboxylate d'éthyle (101)**

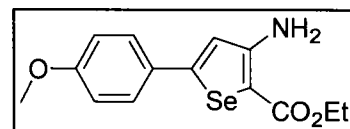
Préparé à partir du composé 28.

Rendement : 83%

Aspect : solide vert

Point de fusion : 134-136°C

IR (KBr): 3441, 3325, 1597 cm^{-1} .



RMN ^1H (250 MHz, $\text{DMSO-}d_6$): δ 1.23 (t, 3H, CH_3 , $J=7.5$ Hz) ; 3.78 (s, 3H, CH_3) ; 4.15 (d, 2H, CH_2 , $J=7.5$ Hz) ; 6.69 (s, 2H, NH_2) ; 6.97 (d, 2H, CH, $J=10$ Hz) ; 7.14 (s, 1H, CH) ; 7.50 (d, 2H, $J=10$ Hz).

RMN ^{13}C (62,9 MHz, $\text{DMSO-}d_6$): δ 14.48 ; 55.30 ; 59.35 ; 94.99 ; 114.55 ; 118.71 ; 127.25 ; 129.02 ; 152.11 ; 157.33 ; 160.09 ; 164.67.

GC/MS (EI, 70 eV): $m/z = 325$ [M^+], 279, 253.

◆ **3-Amino-5-(4-chlorophényl)-2-sélénophénecarboxylate d'éthyle (102)**

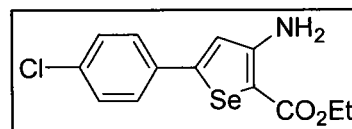
Préparé à partir du composé **29**.

Rendement : 80%

Aspect : solide brun

Point de fusion : 136-138°C

IR (KBr): 3473, 3363, 3438, 3335, 1654, 1602 cm⁻¹.



RMN ¹H (250 MHz, DMSO-*d*₆): δ 1,35 (t, 3H, CH₃, *J*=7,5 Hz) ; 4,28 (d, 2H, CH₂, *J*=7,5 Hz) ; 5,62 (s, 2H, NH₂) ; 7,01 (s, 1H, CH) ; 7,33 (d, 2H, 2×CH, *J*=7,5 Hz) ; 7,46 (d, 2H, 2×CH, *J*=7,5 Hz).

RMN ¹³C (62,9 MHz, DMSO-*d*₆): δ 14,43 ; 59,47 ; 96,57 ; 120,77 ; 127,48 ; 129,14 ; 133,40 ; 133,52 ; 149,48 ; 154,38 ; 164,60.

GC/MS (EI, 70 eV): *m/z* = 329 [M⁺], 283, 257.

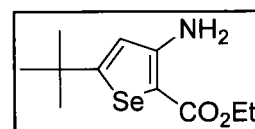
◆ **3-Amino-5-*t*-butyl-2-sélénophénecarboxylate d'éthyle (103)**

Préparé à partir du composé **33**.

Rendement : 70%

Aspect : solide orange

Point de fusion : 122-124°C



IR (KBr): 3414, 3334, 3226, 2958, 2185, 1570cm⁻¹

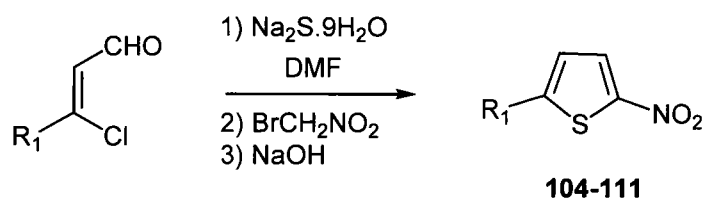
RMN ¹H (250 MHz, CDCl₃) : δ 1.19 (t, 3H, CH₃, *J*=7.5 Hz), 1.35 (s, 9H, CH₃), 4.10 (d, 2H, CH₂, *J*=7.5 Hz), 6.57 (s, 2H, NH₂), 6.70 (s, 1H, CH).

RMN ¹³C (62,9 MHz, DMSO-*d*₆) :δ 14.47 ; 31.77 ; 36.18 ; 59.04 ; 94.00 ; 119.39 ; 156.59 ; 164.81 ; 168.84.

GC/MS (EI, 70 eV): *m/z* = 275 [M⁺], 260, 209, 107.

17. Synthèse des 2-aryl-5-nitrothiophènes.

Mode opératoire général :



Dans un tricol de 250 mL muni d'un réfrigérant et d'un thermomètre, 50 mmol (1 éq.) de sulfure de sodium nonahydraté sont mis en suspension dans 98 mL de DMF. Le mélange est chauffé à 40°C environ sous agitation pendant 30 minutes. 50 Mmol (1 éq.) de 3-chloro-3-arylpropénonirile sont ajoutés en une seule fois. Le mélange réactionnel est alors agité pendant 90 minutes à 55°C. 50 Mmol (1 éq.) de bromonitrométhane sont additionnés goutte à goutte à température ambiante. Après 90 min d'agitation à 50°C, 0,06 mol (1 éq.) de soude dissous dans 10 mL d'eau sont ajoutés au le mélange réactionnel. Après 30 minutes d'agitation à 55°C, le mélange est décomposé après refroidissement sur 500 mL d'eau glacée. Le précipité qui se forme est isolé par filtration sous vide, rincé 2 fois avec 50 mL d'eau. Le solide est séché à température ambiante jusqu'à masse constante. Le produit est ensuite recristallisé.

◆ **2-(4-Méthylphényl)-5-nitrothiophène (104)**

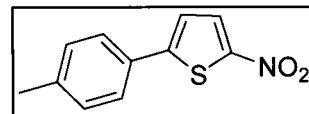
Préparé à partir du composé 2.

Rendement : 83%.

Aspect : solide brun

Point de fusion : 86-87 °C (diisopropyl éther)

IR (KBr): 1510 (NO₂), 1333 (NO₂) cm⁻¹.



RMN ¹H (250 MHz, DMSO-*d*₆) : δ 2,34 (s, 3H, CH₃) ; 7,30 (d, 2H, 2×CH, J= 8,0 Hz) ; 7,61 (d, J= 4,4 Hz, 1H) ; 7,71 (d, 2H, 2×CH, J= 8,0 Hz) ; 8,13 (d, 1H, CH, J= 4,4 Hz).

RMN ¹³C (62.9 MHz, DMSO-*d*₆): δ 20,85 ; 123,38 ; 126,12 ; 128,71 ; 130,02 ; 131,37 ; 140,36 ; 151,85.

Analyse élémentaire: C₁₁H₉NO₂S

Calculée : C, 60.26 ; H, 4.14 ; N, 6.39.

Trouvée : C, 60,30 ; H, 4,19 ; N, 6,32.

◆ **2-(4-Méthoxyphényl)-5-nitrothiophène (105)**

Préparé à partir du composé 3.

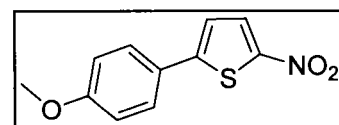
Rendement : 74%

Aspect : solide orange.

Point de fusion : 129-131°C (cyclohexane).

Lit³⁹ : Pf : 135°C

IR (KBr): 1536 (NO₂), 1337 (NO₂) cm⁻¹.



RMN ¹H (250 MHz, DMSO-*d*₆) : δ 3,83 (s, 3H, CH₃) ; 7,06 (d, 2H, 2×CH, J=7,5 Hz) ; 7,57 (d, 1H, CH, J=5,0 Hz) ; 7,79 (d, 2H, 2×CH, J=7,5 Hz) ; 8,14 (d, H, CH, J=5,0 Hz).

RMN ¹³C (62,9 MHz, DMSO-*d*₆) : δ 55,19 ; 114,86 ; 122,66 ; 123,71 ; 127,47 ; 130,44 ; 148,05 ; 152,04 ; 160,95.

◆ **2-(4-Chlorophényl)-5-nitrothiophène (106)**

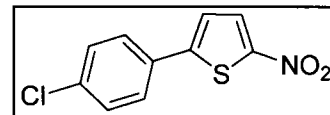
Préparé à partir du composé 4.

Rendement : 71%.

Aspect : solide brun.

Point de fusion : 121-124 °C (EtOH).

IR (KBr) : 1534 (NO₂), 1333 (NO₂) cm⁻¹.



RMN ¹H (250 MHz, DMSO-*d*₆): δ 7,58 (d, 2H, 2×CH, J= 10,0 Hz) ; 7,72 (d, H, CH, J= 5,0 Hz) ; 7,88 (d, 2H, 2×CH, J= 10,0 Hz) ; 8,13 (d, H, CH, J= 5,0 Hz).

RMN ¹³C (62,9 MHz, DMSO-*d*₆): δ 124,56 ; 127,79 ; 129,44 ; 131,27 ; 134,86 ; 149,57 ; 149,83.

Analyse élémentaire: C₁₀H₆ClNO₂S

Calculée : C, 50,11 ; H, 2,52 ; N, 5,84.

Trouvée : C, 5,20 ; H, 2,60 ; N, 5,80.

◆ **2-(4-Fluorophényl)-5-nitrothiophène (107)**

Préparé à partir du composé 5.

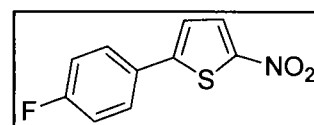
Rendement : 62%

Aspect : solide vert.

Point de fusion : 124-126 °C (EtOH).

Lit⁸⁶ : Pf : 129-130°C

IR (KBr) : 1536 (NO₂), 1334 (NO₂) cm⁻¹.



RMN ¹H (250 MHz, DMSO-*d*₆) : δ 7,33 (m, 2H, 2×CH) ; 7,63 (d, 1H, CH, J=4,3 Hz) ; 7,87 (m, 2H, 2×CH) ; 8,14 (d, H, CH, J=4,3 Hz).

RMN ¹³C (62,9 MHz, DMSO-*d*₆) : δ 116,5 ; 116,8 ; 124,1 ; 128,4 ; 128,6 ; 131,3 ; 150,2 ; 161,1.

◆ **2-(4-Nitrophényl)-5-nitrothiophène (108)**

Préparé à partir du composé 6.

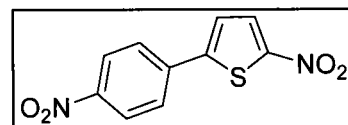
Rendement : 75%.

Aspect : solide brun

Point de fusion : 166-170 °C (EtOH).

Lit¹⁷ : Pf : 179°C (EtOH / H₂O)

IR (KBr) : 1516 (NO₂), 1345 (NO₂) cm⁻¹.



RMN ¹H (250 MHz, DMSO-*d*₆): δ 7,87 (m, 1H, CH) ; 8,09 (d, 2H, 2×CH, J= 8,75 Hz) ; 8,21 (m, 1H, CH) ; 8,13 (m, 1H, CH).

RMN ¹³C (62,9 MHz, DMSO-*d*₆): δ 124,41 ; 126,51 ; 127,24 ; 130,27 ; 131,02 ; 137,35 ; 147,81 ; 151,17.

◆ **2-[1,1'-Biphényl]-4yl-5-nitrothiophène (109)**

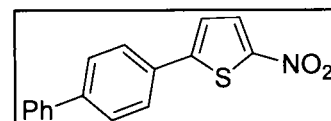
Préparé à partir du composé 7.

Rendement : 62%

Aspect : solide brun.

Point de fusion : 166-169 °C (EtOH).

IR (KBr) : 1485 (NO₂), 1300 (NO₂) cm⁻¹.



RMN ¹H (250 MHz, DMSO-*d*₆) : δ 8,37-7,82 (m, 11H, 11×CH).

RMN ¹³C (62,9 MHz, DMSO-*d*₆) : δ 124,7 ; 125,1 ; 125,4 ; 127,5 ; 128,1 ; 128,3 ; 131,1 ; 132,1 ; 138,3 ; 148,7 ; 148,8 ; 152,2.

Analyse élémentaire: C₁₁H₁₆NO₂S

Calculée : C, 68,31; H, 3,94 ; N, 4,98,

Trouvée : C, 68,38 ; H, 4,01 ; N, 4,95.

◆ **2-Nitro-4,5-dihydronaphtho[1,2-*b*]thiophène (110)**

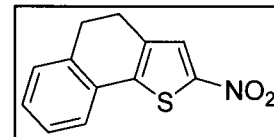
Préparé à partir du composé **9**.

Rendement : 85%.

Aspect : solide brun.

Point de fusion : 114-116 °C (EtOH).

IR (KBr) : 1531 (NO₂), 1326 (NO₂) cm⁻¹.



RMN ¹H (250 MHz, DMSO-*d*₆): δ 2,85 (m, 2H, CH₂); 2,95 (m, 2H, CH₂); 7,35 (m, 3H, 3×CH) ; 7,55 (d, 2H, 2×CH, J= 7,5 Hz) ; 8,09 (s, 1H, CH).

RMN ¹³C (62,9 MHz, DMSO-*d*₆): δ 22,78 ; 27,43 ; 123,99 ; 127,52 ; 128,49 ; 128,64 ; 130,03 ; 130,63 ; 136,20 ; 137,50 ; 143,91 ; 147,95.

Analyse élémentaire: C₁₂H₉NO₂S

Calculée : C, 62,32; H, 3,92 ; N, 6,06,

Trouvée : C, 62,40 ; H, 3,99 ; N, 6,10.

◆ **2-(3'-bromophényl)-5-nitrothiophène (111)**

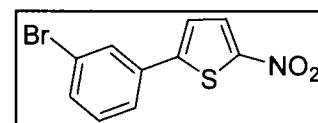
Préparé à partir du composé **13**.

Rendement : 71%

Aspect : solide orange.

Point de fusion : mp 76-79 °C (EtOH).

IR (KBr) : 1534 (NO₂), 1470 (NO₂) cm⁻¹.



RMN ¹H (250 MHz, DMSO-*d*₆) : δ 7,44 (m, 1H, CH) ; 7,66 (m, 1H, CH) ; 7,75 (d, 1H, CH, J= 5,0 Hz) ; 7,80 (m, 1H, CH) ; 8,06 (m, 1H, CH) ; 8,13 (m, 1H, CH).

RMN ¹³C (62,9 MHz, DMSO-*d*₆) : δ 122,72 ; 122,74 ; 125,08 ; 125,34 ; 128,57 ; 131,08 ; 131,48 ; 132,81 ; 133,65 ; 150,06.

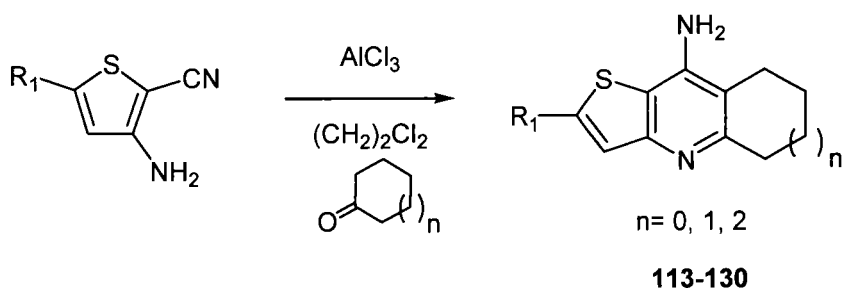
Analyse élémentaire: C₁₀H₆BrNO₂S

Calculée : C, 42,27; H, 2,13 ; N, 4,93,

Trouvée : C, 42,22 ; H, 2,16 ; N, 4,89.

Partie expérimentale du Chapitre II

1. Synthèse des analogues thiophéniques de la Tacrine, Réaction de Friedländer



Mode opératoire général :

Méthode A :

A une suspension d' AlCl_3 broyé (3,4 mmol, 1,7 éq.) dans le dichloroéthane sec (34 mL) sous atmosphère d'argon, le 3-amino-2-cyanothiophène (2 mmol, 1 éq.) et la cyclanone (1,7 mmol, 1,7 éq.) sont additionnés. La solution est chauffée au reflux pendant 12 h et suivie par chromatographie sur couche mince. Si la réaction n'est pas complète, un excès de chlorure d'aluminium est ajouté. Une fois la réaction terminée, une solution de THF/eau (2 :1) est additionné à température ambiante. Une solution d'hydroxyde de sodium à 10 % (50 mL) est ajoutée. Après avoir agité pendant 30 minutes, la solution est extraite trois fois avec du dichlorométhane. La phase organique est lavée avec une solution de NaCl saturée et séchée avec du sulfate de sodium, filtrée et les solvants sont évaporés. Le produit obtenu est purifié par chromatographie sur colonne avec comme éluant dichlorométhane/méthanol (9 :1).

Méthode B :

Le 3-amino-2-cyanothiophène (2 mmol, 1 éq.) et la cyclanone (1,7 mmol, 1,7 éq.) sont dissous dans 50 mL de dichloroéthane. Après 5 minutes d'agitation à température ambiante, le chlorure d'aluminium broyé (3,4 mmol, 1,7 éq.) est additionné. La solution est chauffée au

reflux pendant 10 minutes au micro ondes à 150 W en mode open vessel Une fois la réaction terminée, une solution de THF/eau (2 :1) est additionné à température ambiante. Une solution d'hydroxyde de sodium à 10 % (50 mL) est ajoutée. Après avoir agité pendant 30 minutes, la solution est extraite trois fois avec du dichlorométhane. La phase organique est lavée avec une solution de NaCl saturée et séchée avec du sulfate de sodium, filtrée et les solvants sont évaporés. Le produit obtenu est recristallisé à chaud dans l'éther éthylique.

Méthode C :

Le 3-amino-2-cyanothiophène (2 mmol, 1 éq.) et la cyclanone (2,2 mmol, 1,1 éq.) sont dissous dans 50 mL de dichloroéthane. Après 5 minutes d'agitation à température ambiante, le chlorure d'aluminium broyé (3,4 mmol, 1,7 éq.) est additionné. La solution est chauffée au reflux pendant 6 h et suivie par chromatographie sur couche mince. Une fois la réaction terminée, une solution de THF/eau (2 :1) est additionné à température ambiante. Une solution d'hydroxyde de sodium à 10 % (50 mL) est ajoutée. Après avoir agité pendant 30 minutes, la solution est extraite trois fois avec du dichlorométhane. La phase organique est lavée avec une solution de NaCl saturée et séchée avec du sulfate de sodium, filtrée et les solvants sont évaporés. Le produit obtenu est recristallisé à chaud dans l'éther éthylique.

◆ 8-Amino-2-(4-méthylphényl)-6,7-dihydro-5H-cyclopenta[b]thiéo[2,3-e]pyridine (112)

Rendement : 87% (Méthode A).

Aspect : cristaux bruns

Point de fusion : 180-182°C.

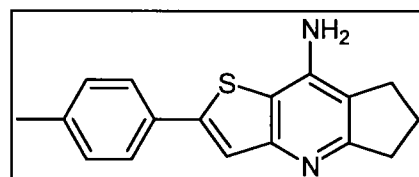
RMN ¹H (250 MHz, DMSO-*d*₆): δ 2,04 (m, 2H, CH₂) ; 2,33 (s, 3H, CH₃) ; 2,77 (m, 2H, CH₂) ; 2,85 (m, 2H, CH₂) ; 6,26 (s, 2H, NH₂) ; 7,27 (d, 2H, *J*=7,5 Hz) ; 7,60 (s, 1H, CH) ; 7,64 (d, 2H, *J*=7,5 Hz).

RMN ¹³C (62,9 MHz, DMSO-*d*₆): δ 21,32 ; 23,06 ; 27,93 ; 34,37 ; 114,67 ; 116,36 ; 120,65 ; 126,04 ; 130,26 ; 131,54 ; 138,65 ; 144,22 ; 145,37 ; 157,08 ; 164,43.

Analyse élémentaire : C₁₇H₁₆N₂S

Calculée : C, 72,82; H, 5,75; N, 9,99;

Trouvée : C, 72,57; H, 5,59; N, 9,98.

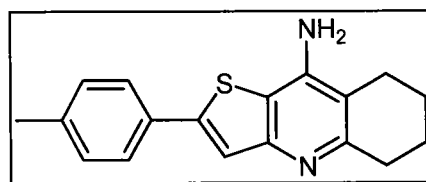


◆ **9-Amino-2-(4-méthylphényl)-5,6,7,8-tetrahydrothiéno[3,2-*b*]quinoléine (113)**

Rendement : 88% (Méthode A).

Aspect : cristaux bruns

Point de fusion : 186-188°C.



RMN ^1H (250 MHz, DMSO- d_6): δ 1,78 (m, 2H, CH₂) ; 1,80 (m, 2H, CH₂) ; 2,33 (s, 3H, CH₃) ; 2,55 (m, 2H, CH₂) ; 2,77 (m, 2H, CH₂) ; 6,20 (s, 2H, NH₂) ; 7,27 (d, 2H, $J=7,5$ Hz) ; 7,57 (s, 1H, CH), 7,64 (d, 2H, $J=7,5$ Hz).

RMN ^{13}C (62,9 MHz, DMSO- d_6): δ 21,29 ; 22,91 ; 23,05 ; 23,75 ; 32,94 ; 110,17 ; 111,88 ; 120,13 ; 126,15 ; 130,28 ; 131,41 ; 138,85 ; 144,85 ; 147,44 ; 154,46 ; 154,80.

Analyse élémentaire : C₁₈H₁₈N₂S

Calculée : C, 73,43 ; H, 6,16 ; N, 9,51;

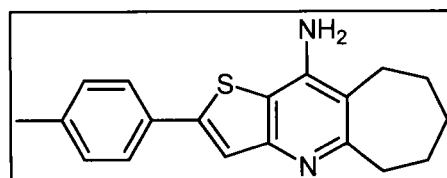
Trouvée : C, 73,41 ; H, 5,84 ; N, 9,66.

◆ **10-Amino-2-(4-méthylphényl)-6,7,8,9-tetrahydro-5*H*-cyclohepta[*b*]thiéno[2,3-*e*]pyridine (114)**

Rendement : 80% (Méthode A).

Aspect : cristaux bruns

Point de fusion : 188-190°C.



RMN ^1H (250 MHz, DMSO- d_6): δ 1,53 (m, 2H, CH₂) ; 1,58 (m, 2H, CH₂) ; 1,78 (m, 2H, CH₂) ; 2,33 (s, 3H, CH₃) ; 2,75 (t, 2H, CH₂) ; 2,92 (m, 2H, CH₂) ; 6,12 (s, 2H, NH₂) ; 7,27 (d, 2H, $J=7,5$ Hz) ; 7,58 (s, 1H, CH) ; 7,64 (d, 2H, $J=7,5$ Hz).

RMN ^{13}C (62,9 MHz, DMSO- d_6): δ 21,25 ; 25,30 ; 26,93 ; 27,84 ; 32,17 ; 32,30 ; 115,41 ; 117,40 ; 120,56 ; 126,04 ; 130,21 ; 131,39 ; 138,68 ; 144,45 ; 146,30 ; 154,07 ; 162,10.

Analyse élémentaire : C₁₉H₂₀N₂S

Calculée : C, 73,99 ; H, 6,54 ; N, 9,08;

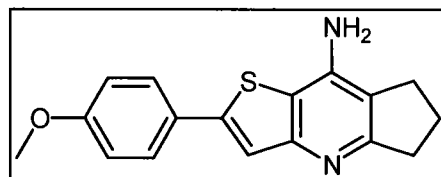
Trouvée : C, 73,48 ; H, 6,84 ; N, 9,27.

◆ **8-Amino-2-(4-méthoxyphényl)-6,7-dihydro-5H-cyclopenta[*b*]thiéo[2,3-*e*]pyridine (115)**

Rendement : 87% (Méthode A).

Aspect : cristaux bruns

Point de fusion : 180-182°C.



RMN ¹H (250 MHz, DMSO-*d*₆): δ 2,21 (m, 2H, CH₂) ; 2,85 (m, 2H, CH₂) ; 3,07 (m, 2H, CH₂) ; 3,85 (s, 3H, CH₃) ; 6,28 (s, 2H, NH₂) ; 6,96 (d, 2H, *J*=8,8 Hz) ; 7,50 (s, 1H, CH) ; 7,64 (d, 2H, *J*=8,8 Hz).

RMN ¹³C (62,9 MHz, DMSO-*d*₆): δ 23,05 ; 27,93 ; 34,35 ; 55,77 ; 114,58 ; 115,09 ; 116,12 ; 119,80 ; 126,87 ; 127,52 ; 144,21 ; 145,40 ; 157,14 ; 160,12 ; 164,25.

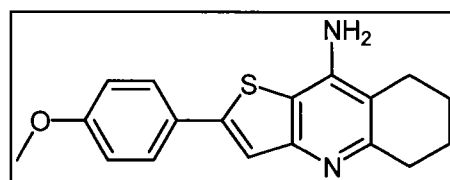
HRMS: *m/z* calculée pour C₁₇H₁₆N₂OS : 296,0983 ; trouvée : 296,0982.

◆ **9-Amino-2-(4-méthylphényl)-5,6,7,8-tetrahydrothiéo[3,2-*b*]quinoléine (116)**

Rendement : 97% (Méthode A).

Aspect : cristaux bruns

Point de fusion : 186-188°C.



RMN ¹H (250 MHz, DMSO-*d*₆): δ 1,79 (m, 2H, CH₂) ; 1,80 (m, 2H, CH₂) ; 2,25 (m, 2H, CH₂) ; 2,78 (m, 2H, CH₂) ; 3,82 (s, 3H, CH₃) ; 6,16 (s, 2H, NH₂) ; 7,06 (d, 2H, *J*=8,8 Hz) ; 7,50 (s, 1H, CH) ; 7,71 (d, 2H, *J*=7,5 Hz).

RMN ¹³C (62,9 MHz, DMSO-*d*₆): δ 22,95 ; 23,15 ; 23,73 ; 33,30 ; 55,74 ; 109,94 ; 115,04 ; 115,53 ; 119,90 ; 126,84 ; 127,49 ; 144,11 ; 146,88 ; 155,13 ; 155,36 ; 160,07.

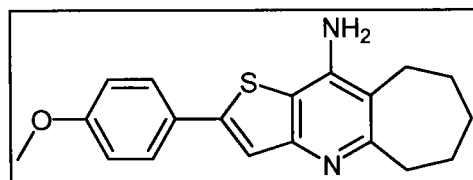
HRMS: *m/z* calculée pour C₁₈H₁₈N₂OS : 310,1140; trouvée : 310,1160.

◆ **10-Amino-2-(4-méthoxyphényl)-6,7,8,9-tetrahydro-5H-cyclohepta[b]thiéo[2,3-e]pyridine (117)**

Rendement : 97% (Méthode A).

Aspect : cristaux bruns

Point de fusion : 190-192°C.



RMN ^1H (250 MHz, DMSO- d_6): δ 1,73 (m, 2H, CH₂) ; 1,75 (m, 2H, CH₂) ; 2,48 (m, 2H, CH₂) ; 2,74 (m, 2H, CH₂) ; 3,08 (m, 2H, CH₂) ; 3,85 (s, 3H, CH₃) ; 4,14 (s, 2H, NH₂) ; 6,96 (d, 2H, $J=9,0$ Hz) ; 7,49 (s, 1H, CH) ; 7,64 (d, 2H, $J=9,0$ Hz).

RMN ^{13}C (62,9 MHz, DMSO- d_6): δ 25,40 ; 27,09 ; 28,01 ; 32,31 ; 32,55 ; 55,82 ; 115,12 ; 115,31 ; 117,20 ; 120,28 ; 126,94 ; 127,54 ; 144,053 ; 146,04 ; 154,81 ; 162,39.

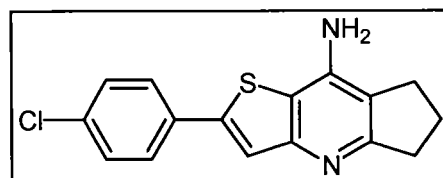
HRMS: m/z calculée pour C₁₉H₂₀N₂OS : 324,1296 ; trouvée : 324,1308.

◆ **8-Amino-2-(4-chlorophényl)-6,7-dihydro-5H-cyclopenta[b]thiéo[2,3-e]pyridine (118)**

Rendement : 88% (Méthode A).

Aspect : cristaux bruns

Point de fusion : 189-191°C.



RMN ^1H (250 MHz, DMSO- d_6): δ 2,06 (m, 2H, CH₂) ; 2,79 (t, 2H, CH₂) ; 2,86 (m, 2H, CH₂) ; 6,27 (s, 2H, NH₂) ; 7,52 (d, 2H, $2\times\text{CH}$, $J=7,5$ Hz) ; 7,71 (s, 1H, CH) ; 7,79 (d, 2H, $2\times\text{CH}$, $J=7,5$ Hz).

RMN ^{13}C (62,9 MHz, DMSO- d_6): δ 27,94 ; 31,20 ; 34,42 ; 114,93 ; 116,88 ; 122,16 ; 127,79 ; 129,71 ; 133,24 ; 133,48 ; 142,45 ; 145,31 ; 157,11 ; 164,87.

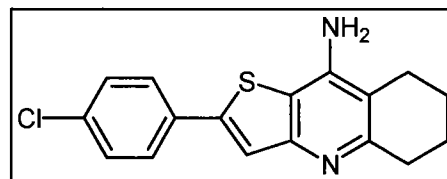
HRMS: m/z calculée pour C₁₆H₁₃ClN₂S : 300,0487 ; trouvée : 300,0497.

◆ **9-Amino-2-(4-chlorophényl)-5,6,7,8-tetrahydrothiéno[3,2-*b*]quinoléine (119)**

Rendement : 89% (Méthode A).

Aspect : cristaux bruns

Point de fusion : 190-192°C.



RMN ^1H (250 MHz, DMSO- d_6): δ 1,77 (m, 4H, CH₂) ; 2,50 (m, 2H, CH₂) ; 2,78 (m, 2H, CH₂) ; 6,15 (s, 2H, NH₂) ; 7,54 (d, 2H, 2×CH, $J=7,5$ Hz) ; 7,69 (s, 1H, CH) ; 7,79 (d, 2H, 2×CH, $J=7,5$ Hz).

RMN ^{13}C (62,9 MHz, DMSO- d_6): δ 22,86 ; 23,05 ; 23,75 ; 33,19 ; 110,34 ; 116,26 ; 121,88 ; 127,78 ; 129,64 ; 133,08 ; 133,50 ; 142,73 ; 147,12 ; 154,81 ; 155,39.

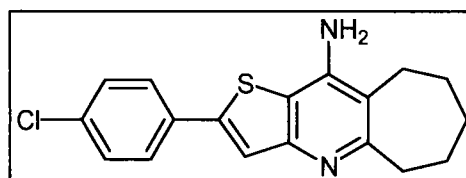
HRMS: m/z calculée pour C₁₇H₁₅ClN₂S : 314,0644 ; trouvée : 314,0651.

◆ **10-Amino-2-(4-chlorophényl)-6,7,8,9-tetrahydro-5*H*-cyclohepta[*b*]thiéno[2,3-*e*]pyridine (120)**

Rendement : 85% (Méthode A).

Aspect : cristaux bruns

Point de fusion : 191-193°C.



RMN ^1H (250 MHz, DMSO- d_6): δ 1,58 (m, 2H, CH₂) ; 1,60 (m, 2H, CH₂) ; 1,81 (m, 2H, CH₂) ; 2,78 (m, 2H, CH₂) ; 2,94 (m, 2H, CH₂) ; 6,14 (s, 2H, NH₂) ; 7,54 (d, 2H, 2×CH, $J=7,5$ Hz) ; 7,71 (s, 1H, CH) ; 7,79 (d, 2H, 2×CH, $J=7,5$ Hz).

RMN ^{13}C (62,9 MHz, DMSO- d_6): δ 25,36 ; 26,99 ; 27,90 ; 32,21 ; 32,84 ; 115,64 ; 117,92 ; 122,39 ; 127,44 ; 127,76 ; 129,64 ; 133,19 ; 142,43 ; 146,05 ; 154,48 ; 162,70.

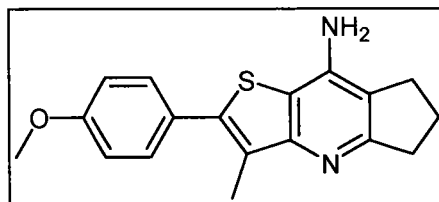
HRMS: m/z calculée pour C₁₈H₁₇ClN₂S : 328,0800 ; trouvée : 328,0797.

◆ **8-Amino-2-(4-méthoxyphényl)-3-méthyl-6,7-dihydro-5H-cyclopenta[b]thiéo[2,3-e]pyridine (121)**

Rendement : 76% (Méthode A).

Aspect : cristaux bruns

Point de fusion : 207-209°C.



RMN ^1H (250 MHz, DMSO- d_6): δ 2,38 (s, 3H, CH₃) ; 2,71 (m, 2H, CH₂) ; 2,80 (m, 2H, CH₂) ; 2,88 (m, 2H, CH₂) ; 3,80 (s, 3H, CH₃O) ; 6,21 (s, 1H, NH₂) ; 7,09 (d, 2H, 2×CH, $J=7,5$ Hz) ; 7,52 (d, 2H, 2×CH, $J=7,5$ Hz).

RMN ^{13}C (62,9 MHz, DMSO- d_6): δ 12,96 ; 23,05 ; 27,82 ; 34,30 ; 55,70 ; 114,85 ; 114,96 ; 115,73 ; 127,24 ; 127,95 ; 130,45 ; 130,55 ; 138,13 ; 145,41 ; 159,52 ; 163,48.

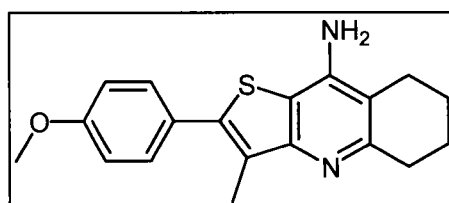
HRMS: m/z calculée pour C₁₈H₁₆N₂OS : 310,1139 ; trouvée : 310,1146.

◆ **9-Amino-2-(4-méthoxyphényl)-3-méthyl-5,6,7,8-tetrahydrothiéo[3,2-b]quinoléine (122)**

Rendement : 98% (Méthode A).

Aspect : cristaux bruns

Point de fusion : 210-212°C.



RMN ^1H (250 MHz, DMSO- d_6): δ 1.68 (m, 2H, CH₂), 1.81 (m, 2H, CH₂), 2.37 (s, 3H, CH₃), 2.65 (m, 2H, CH₂), 2.83 (m, 2H, CH₂), 3.83 (s, 3H, CH₃O), 6.06 (s, 1H, NH₂), 7.06 (d, 2H, 2×CH, $J=7.5$ Hz), 7.71 (d, 2H, 2×CH, $J=7.5$ Hz).

RMN ^{13}C (62,9 MHz, DMSO- d_6): δ 12.86, 23.23, 23.71, 33.43, 36.45, 55.69, 110.30, 114.79, 115.24, 127.33, 128.07, 130.21, 130.42, 137.92, 146.94, 154.57, 159.50.

Analyse élémentaire : C₁₉H₂₀N₂OS

Calculée : C, 70.34; H, 6.21; N, 8.63;

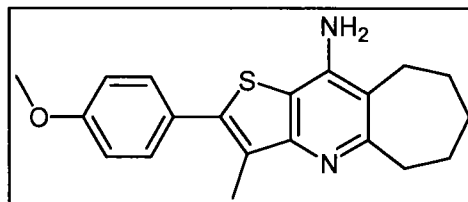
Trouvée : C, 70.22 H, 6.04; N, 8.87.

◆ **10-Amino-2-(4-méthoxyphényl)-3-méthyl-6,7,8,9-tetrahydro-5H-cyclohepta[b]thiéo[2,3-e]pyridine (123)**

Rendement : 98% (Méthode A).

Aspect : cristaux bruns

Point de fusion : 211-213°C.



RMN ^1H (250 MHz, DMSO- d_6): δ 1.68 (m, 2H, CH₂), 1.74 (m, 2H, CH₂), 1.81 (m, 2H, CH₂), 2.37 (s, 3H, CH₃), 2.65 (m, 2H, CH₂), 2.83 (m, 2H, CH₂), 3.83 (s, 3H, CH₃O), 6.06 (s, 1H, NH₂), 7.06 (d, 2H, 2 \times CH, $J=7.5$ Hz), 7.71 (d, 2H, 2 \times CH, $J=7.5$ Hz).

RMN ^{13}C (62,9 MHz, DMSO- d_6): δ 12.62, 12.87, 27.00, 27.87, 30.49, 32.20, 55.77, 114.88, 115.79, 116.92, 130.57, 132.06, 132.18, 138.52, 146.56, 152.87, 159.64, 161.40.

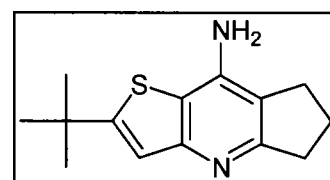
HRMS: m/z calculée pour C₂₀H₂₂N₂S : 338.1452; trouvée : 338.1484.

◆ **8-Amino-2-t-butyl-6,7-dihydro-5H-cyclopenta[b]thiéo[2,3-e]pyridine (124)**

Rendement : 97% (Méthode B).

Aspect : cristaux incolores

Point de fusion : 149°C (Et₂O).



RMN ^1H (250 MHz, DMSO- d_6): δ 1,28 (s, 9H, 3 \times CH₃) ; 2,01 (q, 2H, CH₂, $J=7,5$ Hz) ; 2,73 (t, 2H, CH₂, $J=7,5$ Hz) ; 2,80 (t, 2H, CH₂, $J=7,5$ Hz) ; 6,03 (s, 2H, NH₂) ; 6,95 (s, 1H, CH).

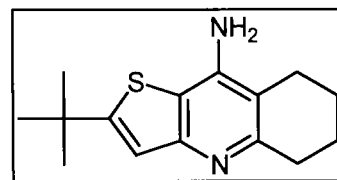
RMN ^{13}C (62,9 MHz, DMSO- d_6): δ 19,81 ; 27,02 ; 31,66 ; 33,89 ; 34,50 ; 113,23 ; 114,92 ; 119,24 ; 144,54 ; 156,31 ; 157,57 ; 163,42.

◆ **9-Amino-2-phényl-5,6,7,8-tetrahydrothiéno[3,2-*b*]quinoléine (125)**

Rendement : 70% (Méthode C).

Aspect : cristaux incolores

Point de fusion : 162°C (Et₂O).



RMN ¹H (250 MHz, DMSO-*d*₆): δ 1,28 (s, 9H, 3×CH₃) ; 1,75 (m, 4H, 2×CH₂) ; 2,48 (m, 2H, CH₂) ; 2,72 (m, 2H, CH₂) ; 5,89 (s, 2H, NH₂) ; 6,93 (s, 1H, CH).

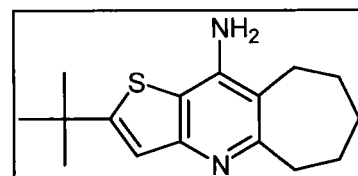
RMN ¹³C (62,9 MHz, DMSO-*d*₆): δ 22,54 ; 22,74 ; 23,14 ; 31,64 ; 32,84 ; 34,74 ; 108,79 ; 114,53 ; 119,14 ; 146,29 ; 154,12 ; 154,24 ; 157,86 ; 170,62.

10-Amino-2-phényl-6,7,8,9-tetrahydro-5*H*-cyclohepta[*b*]thiéno[2,3-*e*]pyridine(126)

Rendement : 62% (Méthode C).

Aspect : cristaux incolores

Point de fusion : 174°C (Et₂O).



RMN ¹H (250 MHz, DMSO-*d*₆): δ 1,28 (s, 9H, 3×CH₃) ; 1,53 (m, 4H, 2×CH₂) ; 1,76 (m, 2H, CH₂) ; 2,73 (m, 2H, CH₂) ; 2,87 (m, 2H, CH₂) ; 5,88 (s, 2H, NH₂) ; 6,94 (s, 1H, CH).

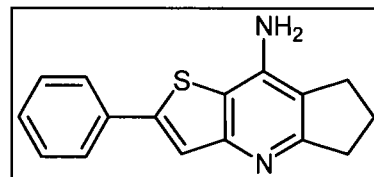
RMN ¹³C (62,9 MHz, DMSO-*d*₆): δ 24,79 ; 26,58 ; 27,53 ; 31,68 ; 31,75 ; 34,47 ; 34,74 ; 114,14 ; 116,05 ; 119,45 ; 145,36 ; 153,34 ; 157,70 ; 161,31.

◆ **8-Amino-2-phényl-6,7-dihydro-5H-cyclopenta[b]thiéo[2,3-e]pyridine (127)**

Rendement : 90% (Méthode C).

Aspect : cristaux bruns

Point de fusion : 194°C.



RMN ^1H (250 MHz, DMSO- d_6): δ 2,05 (q, 2H, CH₂, $J=7,5$ Hz) ; 2,77 (t, 2H, CH₂, $J=7,5$ Hz) ; 2,85 (t, 2H, CH₂, $J=7,5$ Hz) ; 6,26 (s, 2H, NH₂) ; 7,41 (m, 3H, 3 \times CH) ; 7,67 (s, 1H, CH) ; 7,75 (m, 2H, 2 \times CH).

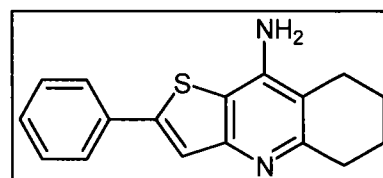
RMN ^{13}C (62,9 MHz, DMSO- d_6): δ 27,79 ; 32,67 ; 39,12 ; 119,51 ; 121,41 ; 126,11 ; 130,87 ; 133,80 ; 134,47 ; 139,02 ; 148,74 ; 150,11 ; 161,80 ; 169,37.

◆ **9-Amino-2-phényl-5,6,7,8-tetrahydrothiéo[3,2-b]quinoléine (128)**

Rendement : 90% (Méthode B).

Aspect : cristaux bruns

Point de fusion : 192°C.



RMN ^1H (250 MHz, DMSO- d_6): δ 1,77 (q, 2H, CH₂, $J=7,5$ Hz) ; 2,49 (m, 2H, CH₂) ; 2,76 (m, 2H, CH₂) ; 6,11 (s, 2H, NH₂) ; 7,44 (m, 3H, 3 \times CH) ; 7,63 (s, 1H, CH) ; 7,75 (m, 2H, 2 \times CH).

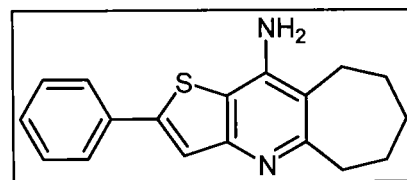
RMN ^{13}C (62,9 MHz, DMSO- d_6): δ 22,93 ; 23,11 ; 23,79 ; 33,15 ; 110,25 ; 116,16 ; 121,10 ; 126,21 ; 129,18 ; 129,75 ; 134,19 ; 144,41 ; 147,30 ; 154,74 ; 155,15.

◆ **10-Amino-2-phényl-6,7,8,9-tetrahydro-5H-cyclohepta[b]thiéo[2,3-e]pyridine<(128)**

Rendement : 88% (Méthode B).

Aspect : cristaux bruns

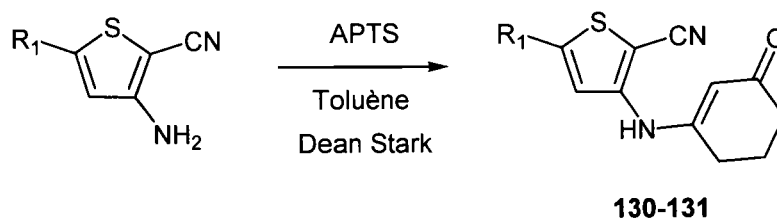
Point de fusion : 189°C.



RMN ¹H (250 MHz, DMSO-*d*₆): δ 1,62 (m, 4H, 2×CH₂), 1,84 (m, 2H, CH₂), 2,83 (m, 2H, CH₂), 2,99 (m, 2H, CH₂), 6,19 (s, 1H, NH₂), 7,50 (m, 3H, 3×CH), 7,72 (s, 1H, CH), 7,81 (d, 2H, 2×CH).

RMN ¹³C (62,9 MHz, DMSO-*d*₆): δ 24,84 ; 26,47 ; 27,37 ; 29,81 ; 31,68 ; 115,01 ; 117,24 ; 121,00 ; 125,44 ; 128,50 ; 129,16 ; 133,71 ; 143,59 ; 145,68 ; 153,79 ; 161,88.

2. Synthèse des 2-cyano-3-[(3-oxo-1-cyclohexèn-1-yl)amino] thiophènes substitués.



Mode opératoire général :

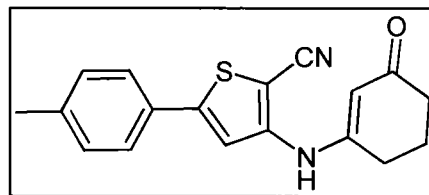
Dans un ballon de 100 mL équipé d'un Dean Stark, le 3-amino-2-cyano-5-aryltiophène (0,02 mol, 1 éq.) est dissous dans 20 mL de toluène anhydre, puis la 1,3-cyclohexanedione (0,02 mol, 1éq.) est ajoutée ainsi que l'acide p-toluènesulfonique (0,067 mmol). Le mélange réactionnel est ainsi chauffé à reflux pendant 4 heures. L'eau qui se forme est séparée de la réaction à l'aide du séparateur Dean Stark. Le mélange réactionnel est refroidi la glace et le précipité formé est séparé par filtration sous vide puis lavé avec du toluène froid et ensuite avec de l'hexane froid. Le produit est recristallisé dans un mélange diéthyléther/éthanol (1 : 1).

◆ **2-Cyano-5-(4-méthylphényl)-3-[(3-oxo-1-cyclohexèn-1-yl)amino] thiophène (130)**

Rendement : 11% :

Aspect : cristaux oranges

Point de fusion : 232-234°C.



RMN ^1H (250 MHz, DMSO- d_6): δ 1,91 (m, 2H, CH₂) ; 2,19 (m, 2H, CH₂) ; 2,33 (s, 3H, CH₃) ; 2,54 (m, 2H, CH₂) ; 5,25 (s, 1H, CH-CO) ; 7,33 (d, 2H, 2 \times CH, $J=7,5$ Hz) ; 7,56 (s, 1H, CH) ; 7,61 (d, 2H, 2 \times CH, $J=7,5$ Hz) ; 9,42 (s, 1H, NH).

RMN ^{13}C (62,9 MHz, DMSO- d_6): δ 21,38 ; 21,97 ; 28,23 ; 36,93 ; 94,85 ; 102,23 ; 113,93 ; 120,58 ; 126,39 ; 129,36 ; 130,47 ; 140,36 ; 148,36 ; 150,12 ; 161,77 ; 196,68.

Analyse élémentaire : C₁₈H₁₆N₂OS

Calculée : C, 70,10 ; H, 5,23 ; N, 9,08 ;

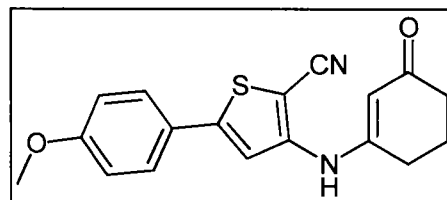
Trouvée : C, 69,89 ; H, 5,23 ; N, 9,21.

◆ **2-Cyano-5-(4-méthoxyphényl)-3-[(3-oxo-1-cyclohexèn-1-yl)amino] thiophène (131)**

Rendement : 71% :

Aspect : cristaux jaunes

Point de fusion : 224-226°C.



RMN ^1H (250 MHz, DMSO- d_6): δ 1,90 (m, 2H, CH₂) ; 2,19 (m, 2H, CH₂) ; 2,53 (m, 2H, CH₂) ; 3,79 (s, 3H, CH₃) ; 5,25 (s, 1H, CH-CO) ; 7,01 (d, 2H, 2 \times CH, $J=7,5$ Hz) ; 7,49 (s, 1H, CH) ; 7,61 (d, 2H, 2 \times CH, $J=7,5$ Hz) ; 9,41 (s, 1H, NH).

RMN ^{13}C (62,9 MHz, DMSO- d_6): δ 21,97 ; 28,23 ; 36,91 ; 55,93 ; 94,25 ; 102,17 ; 114,01 ; 115,30 ; 119,86 ; 124,69 ; 128,06 ; 148,37 ; 150,08 ; 161,12 ; 161,84 ; 196,75.

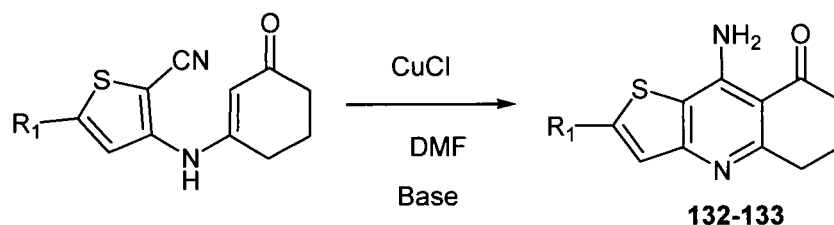
Analyse élémentaire : C₁₈H₁₆N₂O₂S

Calculée : C, 66,65 ; H, 4,97 ; N, 8,64 ;

Trouvée : C, 67,01 ; H, 5,14 ; N, 8,37.

3. Synthèse des 9-amino-6,7-dihydrothiéno[3,2-b]quinoléin-8(5H)-ones substituées

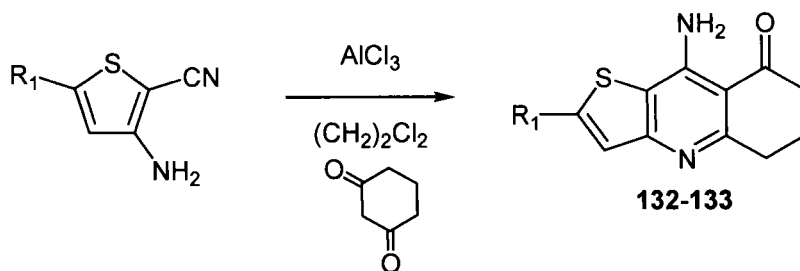
Méthode A :



Mode opératoire général :

Dans un bicol de 100 mL muni d'un réfrigérant, la base (2,2 mmol, 0,20 éq.) et de chlorure de cuivre I (10,4 mmol, 1 éq.) sont additionnés au 2-cyano-3-[(3-oxo-1-cyclohexen-1-yl)amino] thiophènes (10,4 mmol, 1 éq.) dissous dans 20 mL de DMF. La réaction est chauffée à 80-90°C pendant 4h. Après refroidissement, le mélange est versé sur 150 mL d'une solution glacée de tartrate de sodium à 10%. Le précipité noir obtenu est isolé par filtration sous vide. Il est extrait par un mélange méthanol/acétate d'éthyle 50 : 50. Les extraits organiques sont séchés sur sulfate de sodium et évaporés. Le produit souhaité est purifié par chromatographie sur colonne (dichlorométhane/ méthanol 9:1).

Méthode B :



Mode opératoire général :

A une suspension d'AlCl₃ (6,8 mmol, 3,4 éq.) dans le dichloroéthane sec (68 mL) sous atmosphère d'argon, le 3-amino-2-cyanothiophène (2 mmol, 1 éq.) et la 1,3-cyclohexanedione (3,4 mmol, 1,7 éq.) sont additionnés. La solution est chauffée au reflux pendant 24 h et suivie par chromatographie sur couche mince. Si la réaction n'est pas complète, un excès de chlorure d'aluminium est ajouté. Une fois la réaction terminée, une solution de THF/eau (2 :1) est additionné à température ambiante. Une solution d'hydroxyde de sodium à 10 % (50 mL) est

ajoutée. Après avoir agité pendant 30 minutes, la solution est extraite trois fois avec du dichlorométhane. La phase organique est lavée avec une solution de NaCl saturée et séchée avec du sulfate de sodium, filtrée et les solvants sont évaporés. Le produit obtenu est purifié par chromatographie sur colonne avec comme éluant dichlorométhane/méthanol (9 :1).

◆ **9-amino-2-(4-méthylphényl)-6,7-dihydrothiéno[3,2-b]quinoléin-8(5H)-one (132)**

Rendement : Méthode A : 81% (Base : MeONa)

Méthode B : 80%

Aspect : cristaux bruns

Point de fusion : 220-222°C.

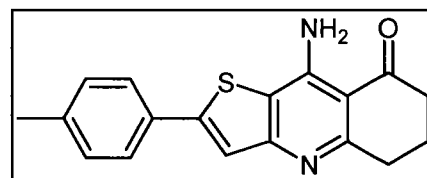
RMN ¹H (250 MHz, DMSO-*d*₆): δ 2,00 (m, 2H, CH₂); 2,34 (s, 3H, CH₃); 2,50 (m, 2H, CH₂); 2,60 (m, 2H, CH₂); 2,94 (s, 2H, NH₂); 7,31 (d, 2H, 2×CH, *J*=7,5 Hz); 7,64 (s, 1H, CH); 7,69 (d, 2H, 2×CH, *J*=7,5 Hz).

RMN ¹³C (62,9 MHz, DMSO-*d*₆): δ 21,38 ; 21,94 ; 22,33 ; 34,30 ; 115,46 ; 121,60 ; 126,42 ; 130,41 ; 130,76 ; 132,95 ; 139,72 ; 149,48 ; 151,72 ; 158,41 ; 164,55 ; 201,92.

Analyse élémentaire : C₁₈H₁₆N₂OS :

Calculée : C, C, 70,10 ; H, 5,23 ; N, 9,08 ;

Trouvée : C, 70,26 ; H, 5,12 ; N, 8,77.



◆ **9-Amino-2-(4-méthoxyphényl)-6,7-dihydrothiéno[3,2-b]quinoléin-8(5H)-one (133)**

Rendement : Méthode A : 38% (Base : K₂CO₃)

Méthode B : 85%

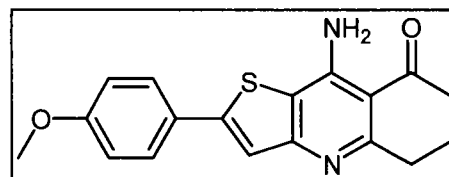
Aspect : cristaux bruns

Point de fusion : 228-230°C.

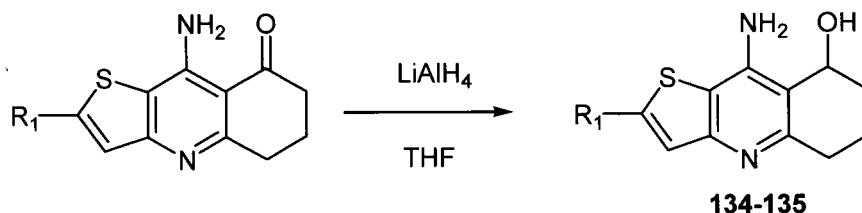
RMN ¹H (250 MHz, CDCl₃): δ 1,80 (s, 2H, NH₂); 2,18 (m, 2H, CH₂); 2,70 (m, 2H, CH₂); 3,14 (m, 2H, CH₂); 3,87 (s, 3H, CH₃); 6,98 (d, 2H, 2×CH, *J*=7,5 Hz); 7,58 (s, 1H, CH); 7,64 (d, 2H, 2×CH, *J*=7,5 Hz).

RMN ¹³C (62,9 MHz, DMSO-*d*₆): δ 21,38, 21,99, 34,07, 55,90, 106,63, 115,27, 116,86, 120,47, 126,08, 127,99, 149,23, 151,43, 158,41, 160,78, 164,230, 201,52.

HRMS: *m/z* calculée pour C₁₈H₁₆N₂O₂S : 324,0932 trouvée : 324,0930.



4. Synthèse des thiéno [3,2-b] quinoléin-8-ol



Mode opératoire général :

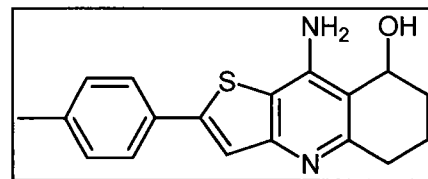
Dans un bicol de 100 mL muni d'une ampoule d'addition et d'un réfrigérant, le LiAlH₄ (1,6 mmol, 1,6 éq.) est mis en suspension dans 20 mL de THF anhydre. Le mélange est refroidit à 0°C sur de la glace sous agitation. On introduit alors goutte à goutte la cétone (1 mmol, 1 éq.) dissoute dans 20 mL de THF anhydre. Après l'addition, on laisse le mélange sous agitation au reflux pendant une heure. L'excès de LiAlH₄ est ensuite décomposé par HCl à 10 % et le mélange est rendu basique par une solution de NaOH à 30 %. L'alcool obtenu est extrait par de l'acétate d'éthyle. Après séchage sur du sulfate de sodium, le solvant est évaporé et le produit est purifié par chromatographie sur colonne de silice avec comme éluant un mélange dichlorométhane/ méthanol 9:1

◆ **9-Amino-2-(4-méthylphényl)-5,6,7,8-tetrahydrothiéno[3,2-*b*]quinoléin-8-ol (134)**

Rendement : 75% :

Aspect : cristaux bruns

Point de fusion : 225-227°C.



RMN ¹H (250 MHz, CDCl₃ + DMSO-*d*₆): δ 1,47 (m, 2H, CH₂) ; 1,88 (m, 2H, CH₂) ; 2,05 (m, 2H, CH₂) ; 2,71 (s, 3H, CH₃) ; 4,38 (m, 1H, CH-O) ; 5,48 (s, 1H, OH) ; 6,40 (s, 2H, NH₂) ; 6,95 (s, 1H, CH) ; 6,72 (d, 2H, 2×CH, *J*=7,5 Hz) ; 7,06 (d, 2H, 2×CH, *J*=7,5 Hz).

RMN ¹³C (62,9 MHz, DMSO-*d*₆): δ 18,33 ; 21,35 ; 32,93 ; 33,15 ; 63,11 ; 112,95 ; 116,58 ; 119,93 ; 126,23 ; 130,32 ; 131,18 ; 139,11 ; 146,04 ; 149,04 ; 154,95 ; 155,34.

Analyse élémentaire : C₁₈H₁₈N₂OS

Calculée : C, 69,65 ; H, 5,84 ; N, 9,02 ;

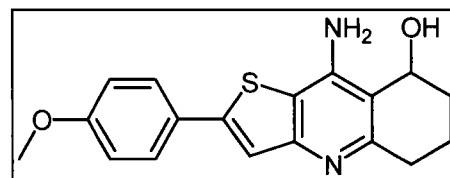
Trouvée : C, 69,70 ; H, 5,70 ; N, 8,79.

◆ **9-Amino-2-(4-méthoxyphényl)-5,6,7,8-tetrahydrothiéno[3,2-*b*]quinoléin-8-ol (135)**

Rendement : 72% :

Aspect : cristaux bruns

Point de fusion : 225-228°C.

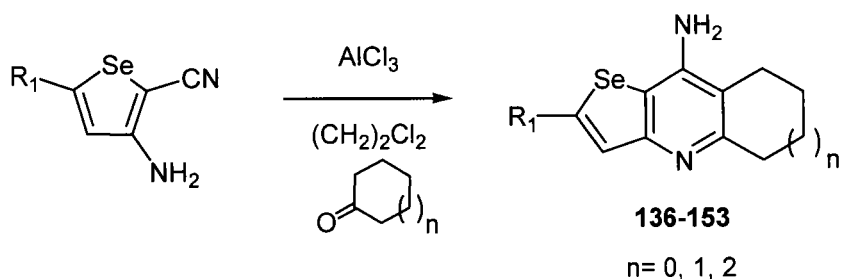


RMN ¹H (250 MHz, DMSO-*d*₆): δ 1.55 (m, 2H, CH₂), 2.11 (m, 2H, CH₂), 2.37 (m, 2H, CH₂), 3.39 (s, 3H, CH₃O), 4.23 (m, 1H, CH-O), 5.46 (s, 1H, OH), 6.19 (s, 2H, NH₂) 6.94 (s, 1H, CH), 6.52 (d, 2H, 2×CH, *J*=7.5 Hz), 7.18 (d, 2H, 2×CH, *J*=7.5 Hz).

RMN ¹³C (62,9 MHz, DMSO-*d*₆): δ 18.54, 33.32, 33.52, 55.82, 63.37, 112.75, 115.13, 116.31, 119.85, 126.70, 127.65, 145.21, 148.53, 155.76, 156.40, 160.27.

HRMS: *m/z* calculée pour C₁₈H₁₈N₂O₂S : 326.1089 ; trouvée : 326.1089.

5. Synthèse des analogues sélénothiéniques de la Tacrine



Méthode A :

Mode opératoire général :

Le 3-amino-2-cyanothiophène (1 mmol, 1 éq.) et la cyclanone (1,1 mmol, 1,1 éq.) sont dissous dans 25 mL de dichloroéthane. Après 5 minutes d'agitation à température ambiante, le chlorure d'aluminium broyé (1,7 mmol, 1,7 éq.) est additionné. La solution est chauffée au reflux pendant 1-2 h et suivie par chromatographie sur couche mince. Une solution d'hydroxyde de sodium à 10 % (25 mL) est ajoutée. Après avoir agité pendant 30 minutes, la solution est extraite trois fois avec du dichlorométhane. La phase organique est lavée avec une solution de NaCl saturée, séchée avec du sulfate de sodium, filtrée et évaporée. Le produit obtenu est purifié par chromatographie sur colonne avec comme éluant acétate d'éthyle (100%) ou recristallisé à chaud dans l'acétonitrile.

Méthode B :

Mode opératoire général :

Le 3-amino-2-cyanothiophène (2 mmol, 1 éq.) et la cyclanone (1,7 mmol, 1,7 éq.) sont dissous dans 50 mL de dichloroéthane. Après 5 minutes d'agitation à température ambiante, le chlorure d'aluminium broyé (3,4 mmol, 1,7 éq.) est additionné. La solution est chauffée au reflux pendant 8 à 16 minutes au micro ondes à 100 W en mode power time (puissance constante). Une solution d'hydroxyde de sodium à 10 % (50 mL) est ajoutée. Après avoir agité pendant 30 minutes, la solution est extraite trois fois avec du dichlorométhane. La phase organique est lavée avec une solution de NaCl saturée, séchée avec du sulfate de sodium, filtrée et évaporée. Le produit obtenu est purifié par chromatographie sur colonne avec comme éluant acétate d'éthyle (100%) ou recristallisé à chaud dans l'acétonitrile.

◆ **8-Amino-2-phényl-6,7-dihydro-5H-cyclopenta[b]sélénophéno[2,3-e]pyridine (136)**

Rendement : 65% (Méthode A, 120 min).

70% (Méthode B, 2×8 min).

Aspect : cristaux bruns (purifié par colonne)

Point de fusion : 234-236°C.

IR (neat): 2949, 1638, 1563, 1540, 753, 680 cm^{-1} .

RMN ^1H (250 MHz, DMSO- d_6): δ 2,10 (m, 2H, CH₂), 2,75 (m, 2H, CH₂), 2,78 (m, 2H, CH₂), 6,23 (s, 2H, NH₂), 7,38 (m, 3H, 3×CH), 7,52 (m, 2H, 2×CH) 7,52 (s, 1H, CH).

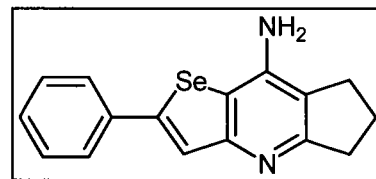
RMN ^{13}C (62,9 MHz, DMSO- d_6): δ 24,65, 27,45, 33,70, 114,54, 117,54, 124,33, 125,91, 127,83, 129,14, 135,50, 146,64, 146,95, 158,78, 163,76.

GC/MS (EI, 70 eV): $m/z = 314$ [M^+], 233.

Analyse élémentaire : C₁₆H₁₄N₂Se

Calculée : C, 61,35; H, 4,50; N, 8,94;

Trouvée : C, 61,43; H, 4,49; N, 8,89.



◆ **9-Amino-2-phényl-5,6,7,8-tetrahydrosélénophéno[3,2-b]quinoléine (137)**

Rendement : 85% (Méthode A, 120 min).

95% (Méthode B, 2×8 min).

Aspect : cristaux bruns (purifié par colonne)

Point de fusion : 228-230°C.

IR (neat): 2926, 1640, 1559, 1529, 753, 684 cm^{-1}

RMN ^1H (250 MHz, DMSO- d_6): δ 1.80 (m, 4H, 2×CH₂), 2.49 (m, 2H, CH₂), 2.75 (m, 2H, CH₂), 6.09 (s, 2H, NH₂), 7.39 (m, 3H, 3×CH), 7.68 (m, 2H, 2×CH), 7.80 (s, 1H, CH).

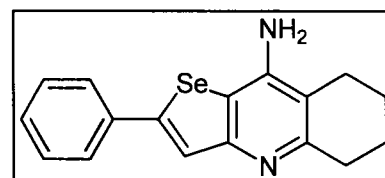
RMN ^{13}C (62,9 MHz, DMSO- d_6): δ 22.38, 22.59, 23.32, 32.52, 110.03, 116.82, 124.30, 125.97, 128.54, 129.14, 135.46, 146.83, 148.70, 154.53, 156.89.

GC/MS (EI, 70 eV): $m/z = 328$ [M^+], 312, 300.

Analyse élémentaire : C₁₇H₁₆N₂Se

Calculée : C, 62.39; H, 4.93; N, 8.56;

Trouvée : C, 62.34; H, 4.74; N, 8.65.



◆ **10-Amino-2-phényl-6,7,8,9-tetrahydro-5H-cyclohepta[b]sélénophéno[2,3-e]pyridine (138)**

Rendement : 78% (Méthode A, 120 min).

97% (Méthode B, 2×8 min).

Aspect : cristaux bruns (purifié par colonne)

Point de fusion : 216-218°C.

IR (neat): 2918, 1631, 1558, 1528, 753, 687 cm^{-1}

RMN ^1H (250 MHz, $\text{DMSO-}d_6$): δ 1,56 (m, 4H, 2× CH_2); 1,80 (m, 2H, CH_2); 2,73 (m, 2H, CH_2); 2,90 (m, 2H, CH_2); 6,20 (s, 2H, NH_2); 7,42 (m, 3H, 3×CH); 7,68 (m, 2H, 2×CH); 7,82 (s, 1H, CH).

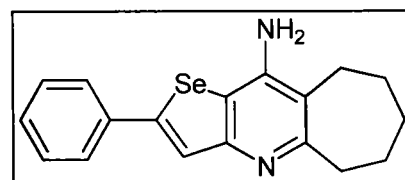
RMN ^{13}C (62,9 MHz, $\text{DMSO-}d_6$): δ 23,63; 24,99; 26,45; 27,29; 31,74; 115,31; 118,87; 124,61; 125,94; 128,47; 129,15; 135,52; 146,79; 147,70; 156,37; 161,72.

GC/MS (EI, 70 eV): $m/z = 342$ [M^+], 327, 313, 288, 77.

Analyse élémentaire : $\text{C}_{18}\text{H}_{18}\text{N}_2\text{Se}$

Calculée : C, 63,34; H, 5,32; N, 8,21;

Trouvée : C, 63,57; H, 5,13; N, 8,14.



◆ **8-Amino-2-(4-méthylphényl)-6,7-dihydro-5H-cyclopenta[b]sélénophéno[2,3-e]pyridine (139)**

Rendement : 83% (Méthode A, 60 min).

93% (Méthode B, 1×8 min).

Aspect : cristaux bruns (purifié par colonne)

Point de fusion : 264-266°C.

IR (neat): 2949, 1645, 1561, 1538, 800 cm^{-1} .

RMN ^1H (250 MHz, $\text{DMSO-}d_6$): δ 2,14 (m, 2H, CH_2); 2,17 (s, 3H, CH_3); 2,77 (m, 2H, CH_2); 3,00 (m, 2H, CH_2); 4,05 (s, 2H, NH_2); 7,18 (d, 2H, 2×CH, $J=7,5$ Hz); 7,46 (d, 2H, 2×CH, $J=7,5$ Hz); 7,57 (s, 1H, CH).

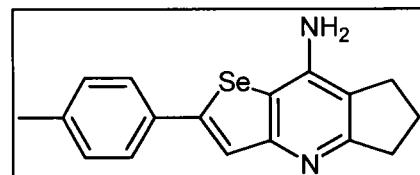
RMN ^{13}C (62,9 MHz, $\text{DMSO-}d_6$): δ 20,76; 22,44; 27,47; 33,81; 114,40; 117,18; 123,89; 125,81; 129,69; 132,84; 138,04; 146,56; 146,76; 159,26; 163,95.

GC/MS (EI, 70 eV): $m/z = 328$ [M^+], 247, 163, 115, 91

Analyse élémentaire : $\text{C}_{17}\text{H}_{16}\text{N}_2\text{Se}$:

Calculée : C, 62,39; H, 4,93; N, 8,56;

Trouvée : C, 62,66; H, 5,14; N, 8,29.



◆ **9-Amino-2-(4-méthylphényl)-5,6,7,8-tetrahydrosélénophéno[3,2-*b*]quinoléine (140)**

Rendement : 80% (Méthode A, 60 min).

89% (Méthode B, 1×8 min).

Aspect : cristaux incolores (purifié par colonne)

Point de fusion : 254-256°C.

IR (neat): 2929, 1646, 1559, 1535, 807 cm⁻¹.

RMN ¹H (250 MHz, DMSO-*d*₆): δ 1,79 (m, 4H, 2×CH₂) ; 2,34 (s, 3H, CH₃) ; 2,50 (m, 2H, CH₂) ; 2,75 (m, 2H, CH₂) ; 6,02 (s, 2H, NH₂) ; 7,26 (d, 2H, 2×CH, *J*=7,5 Hz) ; 7,58 (d, 2H, 2×CH, *J*=7,5 Hz) ; 7,76 (s, 1H, CH).

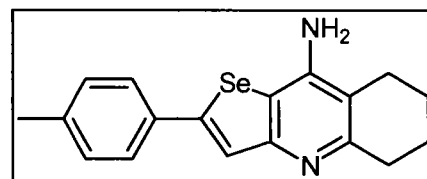
RMN ¹³C (62,9 MHz, DMSO-*d*₆): δ 20,75 ; 22,43 ; 22,66 ; 23,34 ; 32,67, 109,92 ; 116,48 ; 123,82 ; 125,85 ; 130,67 ; 132,80 ; 138,10 ; 146,73 ; 148,50 ; 154,63 ; 157,29.

GC/MS (EI, 70 eV): *m/z* = 342 [M⁺], 326, 314, 163, 115, 91.

Analyse élémentaire : C₁₈H₁₈N₂Se :

Calculée : C, 63,34 ; H, 5,32 ; N, 8,21 ;

Trouvée : C, 63,38 ; H, 5,33 ; N, 8,35.



◆ **10-Amino-2-(4-méthylphényl)-6,7,8,9-tetrahydro-5H-cyclohepta[*b*]sélénophéno[2,3-*e*]pyridine (141)**

Rendement : 76% (Méthode A, 60 min).

91% (Méthode B, 1×8 min).

Aspect : cristaux bruns (purifié par colonne).

Point de fusion : 276-278°C.

IR (neat): 2917, 1648, 1559, 1534, 809 cm⁻¹

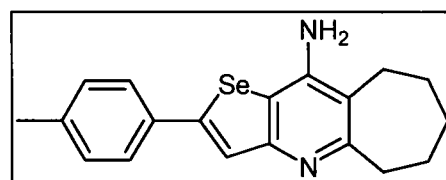
RMN ¹H (250 MHz, DMSO-*d*₆): δ 1,55 (m, 4H, 2×CH₂), 1,58 (m, 2H, CH₂), 2,30 (s, 3H, CH₃), 2,72 (m, 2H, CH₂), 2,89 (m, 2H, CH₂), 5,99 (s, 2H, NH₂), 7,25 (d, 2H, 2×CH, *J*=7,5 Hz), 7,56 (d, 2H, 2×CH, *J*=7,5 Hz), 7,75 (s, 1H, CH).

RMN ¹³C (62,9 MHz, DMSO-*d*₆): δ 20,74, 25,00, 26,47, 27,32, 31,75, 32,07, 115,20, 118,55, 124,01, 125,68, 129,66, 132,83, 138,04, 146,79, 147,58, 156,60, 161,75.

Analyse élémentaire : C₁₉H₂₀N₂Se :

Calculée : C, 64,22 ; H, 5,67 ; N, 7,88 ;

Trouvée : C, 64,08 ; H, 5,57 ; N, 7,98.



◆ **8-Amino-2-(4-méthoxyphényl)-6,7-dihydro-5H-cyclopenta[b]sélénophéno[2,3-e]pyridine (142)**

Rendement : 83% (Méthode A, 120 min).

75% (Méthode B, 2×8 min).

Aspect : cristaux bruns (purifié par colonne).

Point de fusion : 236-238°C.

IR (neat): 2944, 1647, 1562, 1540, 810 cm^{-1}

RMN ^1H (250 MHz, DMSO- d_6): δ 2,22 (m, 2H, CH₂); 2,82 (m, 2H, CH₂); 3,05 (m, 2H, CH₂); 3,87 (s, 3H, CH₃); 4,18 (s, 2H, NH₂); 6,96 (d, 2H, 2×CH, $J=7,5$ Hz); 7,64 (d, 2H, 2×CH, $J=7,5$ Hz); 7,71 (s, 1H, CH).

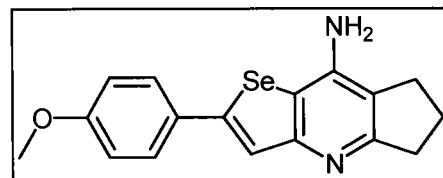
RMN ^{13}C (62,9 MHz, DMSO- d_6): δ 22,96 ; 27,27 ; 34,38 ; 55,41 ; 114,36 ; 115,65 ; 123,36 ; 127,86 ; 128,63 ; 129,59 ; 145,00 ; 147,76 ; 159,85 ; 160,04 ; 165,15.

GC/MS (EI, 70 eV): $m/z = 344$ [M^+], 329, 300, 219, 207.

Analyse élémentaire : C₁₇H₁₆N₂OSe :

Calculée : C, 59,48 ; H, 4,70 ; N, 8,16 ;

Trouvée : C, 59,61 ; H, 4,52 ; N, 8,13.



◆ **9-Amino-2-(4-méthylphényl)-5,6,7,8-tetrahydrothiéno[3,2-b]quinoléine (143)**

Rendement : 73% (Méthode A, 60 min).

84% (Méthode B, 2×8 min).

Aspect : cristaux incolores (purifié par colonne).

Point de fusion : 246-248°C.

IR (neat): 2933, 1646, 1532, 1499, 822 cm^{-1}

RMN ^1H (250 MHz, DMSO- d_6): δ 1,79 (m, 2H, CH₂); 1,81 (m, 2H, CH₂); 2,47 (m, 2H, CH₂); 2,86 (m, 2H, CH₂); 3,73 (s, 3H, CH₃); 4,13 (s, 2H, NH₂); 6,83 (d, 2H, 2×CH, $J=7,5$ Hz); 7,49 (d, 2H, 2×CH, $J=7,5$ Hz); 7,66 (s, 1H, CH).

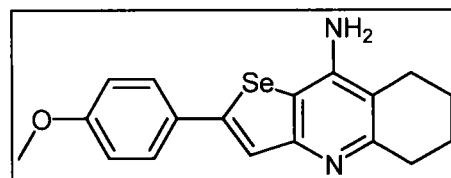
RMN ^{13}C (62,9 MHz, DMSO- d_6): δ 22,71 ; 22,92 ; 23,38 ; 33,04 ; 55,40 ; 110,96 ; 114,35 ; 123,23 ; 127,77 ; 128,55 ; 129,59 ; 147,28 ; 147,91 ; 155,79 ; 157,80 ; 160,07,

GC/MS (EI, 70 eV): $m/z = 358$ [M^+], 343, 330, 315, 219, 207.

Analyse élémentaire : C₁₈H₁₈N₂OSe :

Calculée : C, 60,51 ; H, 5,08 ; N, 7,84 ;

Trouvée : C, 60,78 ; H, 5,26 ; N, 7,94.



◆ **10-Amino-2-(4-méthoxyphényl)-6,7,8,9-tetrahydro-5H-cyclohepta[b]sélénophéno[2,3-*e*]pyridine (144)**

Rendement : 75% (Méthode A, 60 min).

82% (Méthode B, 2×8 min).

Aspect : cristaux incolores (purifié par colonne).

Point de fusion : 240-242°C.

IR (neat): 2918, 1650, 1533, 1498, 825 cm⁻¹

RMN ¹H (250 MHz, DMSO-*d*₆): δ 1,54 (m, 2H, CH₂) ; 1,56 (m, 2H, CH₂) ; 1,79 (m, 2H, CH₂) ; 2,72 (m, 2H, CH₂) ; 2,88 (m, 2H, CH₂) ; 3,79 (s, 3H, CH₃) ; 5,97 (s, 2H, NH₂) ; 7,00 (d, 2H, 2×CH, *J*=7,5 Hz) ; 7,60 (d, 2H, 2×CH, *J*=7,5 Hz) ; 7,67 (s, 1H, CH).

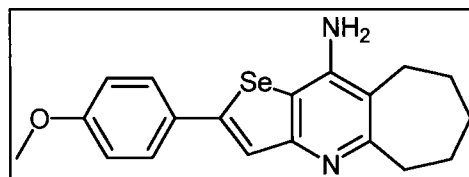
RMN ¹³C (62,9 MHz, DMSO-*d*₆): δ 26,04 ; 26,64 ; 27,29 ; 32,22 ; 39,05 ; 55,41 ; 116,50 ; 119,92 ; 123,51 ; 127,51 ; 127,76 ; 128,59 ; 146,16 ; 148,08 ; 157,06 ; 160,05 ; 162,65,

GC/MS (EI, 70 eV): *m/z* = 372 [M⁺], 357, 343, 328, 315, 300, 219, 207,

Analyse élémentaire : C₁₉H₂₀N₂OSe :

Calculée : C, 61,45 ; H, 5,43 ; N, 7,54 ;

Trouvée : C, 61,25 ; H, 5,53 ; N, 7,72.



◆ **8-Amino-2-(4-chlorophényl)-6,7-dihydro-5H-cyclopenta[b]sélénophéno[2,3-*e*]pyridine (145)**

Rendement : 84% (Méthode A, 120 min).

94% (Méthode B, 1×10 min).

Aspect : cristaux bruns (purifié par colonne).

Point de fusion : 270-272°C.

IR (neat): 2952, 1642, 1539, 1562, 814 cm⁻¹

RMN ¹H (250 MHz, DMSO-*d*₆): δ 2,04 (m, 2H, CH₂) ; 2,75 (m 2H, CH₂) ; 2,83 (m, 2H, CH₂,) ; 6,22 (s, 2H, NH₂) ; 7,57 (d, 2H, 2×CH, *J*=7,5 Hz) ; 7,62 (d, 2H, 2×CH, *J*=7,5 Hz) ; 7,71 (s, 1H, CH).

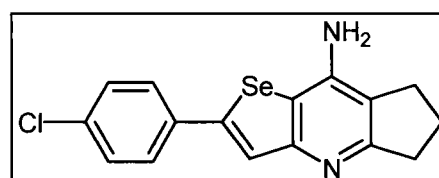
RMN ¹³C (62,9 MHz, DMSO-*d*₆): δ 22,41 ; 27,47 ; 33,76 ; 114,67 ; 117,80 ; 125,28 ; 127,56 ; 129,08 ; 132,88 ; 134,46 ; 144,87 ; 146,83 ; 158,93 ; 164,10.

GC/MS (EI, 70 eV): *m/z* = 348 [M⁺], 331, 311, 267.

Analyse élémentaire : C₁₆H₁₃ClN₂Se :

Calculée : C, 55,27 ; H, 3,77 ; N, 8,06;

Trouvée : C, 55,54 ; H, 3,83 ; N, 8,09.



◆ **9-Amino-2-(4-chlorophényl)-5,6,7,8-tetrahydrosélénophéno[3,2-*b*]quinoléine (146)**

Rendement : 94% (Méthode A, 120 min).

79% (Méthode B, 1×10 min).

Aspect : cristaux bruns (purifié par colonne).

Point de fusion : 258-260°C.

IR (neat): 2932, 1628, 1557, 1528, 814 cm⁻¹

RMN ¹H (250 MHz, DMSO-*d*₆): δ 1,77 (m, 4H, 2×CH₂) ; 2,48 (m, 2H, CH₂) ; 2,74 (m, 2H, CH₂) ; 6,08 (s, 2H, NH₂) ; 7,50 (d, 2H, 2×CH, *J*=7,5 Hz) ; 7,67 (d, 2H, 2×CH, *J*=7,5 Hz) ; 7,84 (s, 1H, CH).

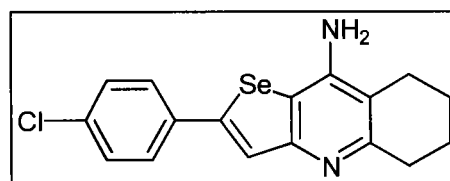
RMN ¹³C (62,9 MHz, DMSO-*d*₆): δ 22,37 ; 22,59 ; 23,35 ; 32,60 ; 110,16 ; 117,05 ; 125,22 ; 127,61 ; 129,09 ; 132,94 ; 134,43 ; 145,07 ; 148,63 ; 154,76 ; 156,95,

GC/MS (EI, 70 eV): *m/z* = 362 [M⁺], 346, 334, 281.

Analyse élémentaire : C₁₇H₁₅ClN₂Se :

Calculée : C, 56,45 ; H, 4,18 ; N, 7,74 ;

Trouvée : C, 56,61 ; H, 4,16 ; N, 7,49.



◆ **10-Amino-2-(4-chlorophényl)-6,7,8,9-tetrahydro-5H-cyclohepta[*b*]sélénophéno[2,3-*e*]pyridine (147)**

Rendement : 90% (Méthode A, 120 min).

88% (Méthode B, 1×10 min).

Aspect : cristaux bruns (purifié par colonne).

Point de fusion : 274-276°C.

IR (neat): 2917, 1648, 1559, 1531, 820cm⁻¹

RMN ¹H (250 MHz, DMSO-*d*₆): δ 1.57 (m, 4H, 2×CH₂) ; 1.79 (m, 2H, CH₂) ; 2.38 (m, 2H, CH₂) ; 2.89 (m, 2H, CH₂) ; 6.06 (s, 2H, NH₂) ; 7.55 (d, 2H, 2×CH, *J*=7.5 Hz) ; 7.63 (d, 2H, 2×CH, *J*=7.5 Hz) ; 7.85 (s, 1H, CH).

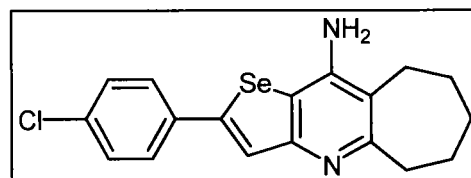
RMN ¹³C (62,9 MHz, DMSO-*d*₆): δ 23.63 ; 25.00 ; 26.45 ; 27.28 ; 30.36 ; 115.46 ; 119.15 ; 125.47 ; 127.59 ; 129.09 ; 132.89 ; 134.48 ; 145.06 ; 147.66 ; 156.36 ; 161.95.

GC/MS (EI, 70 eV): *m/z* = 376 [M⁺], 361, 347, 207.

Analyse élémentaire : C₁₈H₁₇ClN₂Se :

Calculée : C, 57.54 ; H, 4.56 ; N, 7.46 ;

Trouvée : C, 57.65 ; H, 4.50 ; N, 7.43.



◆ **8-Amino-2-*t*-butyl-6,7-dihydro-5H-cyclopenta[*b*]sélénophéno[2,3-*e*]pyridine (148)**

Rendement : 92% (Méthode A, 120 min).

93% (Méthode B, 1×8 min).

Aspect : cristaux bruns (purifié par colonne).

Point de fusion : 212-214°C.

IR (neat): 2951, 1646, 1563, 1537 cm⁻¹

RMN ¹H (250 MHz, DMSO-*d*₆): δ 1,35 (s, 9H, 3×CH₃) ; 2,01 (m, 2H, CH₂) ; 2,71 (m, 2H, CH₂) ; 2,79 (m, 2H, CH₂) ; 5,97 (s, 1H, NH₂) ; 7,14 (s, 1H, CH).

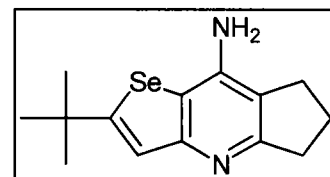
RMN ¹³C (62,9 MHz, DMSO-*d*₆): δ 22,44 ; 27,36 ; 32,13 ; 32,78 ; 36,09 ; 113,58 ; 116,31 ; 122,68 ; 146,70 ; 158,59 ; 162,53 ; 163,25.

GC/MS (EI, 70 eV): *m/z* = 294 [M⁺], 279, 263, 251, 237, 199.

Analyse élémentaire : C₁₄H₁₈N₂Se :

Calculée : C, 57,34 ; H, 6,19 ; N, 9,55 ;

Trouvée : C, 57,30 ; H, 6,11 ; N, 9,37.



◆ **9-Amino-2-*t*-butyl-5,6,7,8-tetrahydrosélénophéno[3,2-*b*]quinoléine (149)**

Rendement : 95% (Méthode A, 120 min).

79% (Méthode B, 1×8+3 min).

Aspect : cristaux beiges (purifié par colonne).

Point de fusion : 198-200°C.

IR (neat): 2928, 1641, 1562, 1527 cm⁻¹

RMN ¹H (250 MHz, DMSO-*d*₆): δ 1.35 (s, 9H, 3×CH₃) ; 1.74 (m, 4H, 2×CH₂) ; 2.48 (m, 2H, CH₂) ; 2.70 (m, 2H, CH₂) ; 5.84 (s, 1H, NH₂) ; 7.11 (s, 1H, CH).

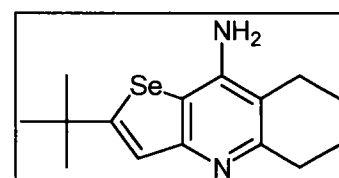
RMN ¹³C (62,9 MHz, DMSO-*d*₆): δ 22.49 ; 22.71 ; 23.22 ; 32.10 ; 32.61 ; 36.08 ; 109.17 ; 115.74 ; 122.57 ; 148.48 ; 153.93 ; 156.60 ; 162.80.

GC/MS (EI, 70 eV): *m/z* = 308 [M⁺], 293, 277, 265, 213.

Analyse élémentaire : C₁₅H₂₀N₂Se:

Calculée : C, 58.63 ; H, 6.56 ; N, 9.12 ;

Trouvée : C, 58.52 ; H, 6.40 ; N, 9.06.



◆ **10-Amino-2-*t*-butyl-6,7,8,9-tetrahydro-5H-cyclohepta[*b*]sélénophéno[2,3-*e*]pyridine (150)**

Rendement : 91% (Méthode A, 120 min).

91% (Méthode B, 1×8 min).

Aspect : cristaux beiges (purifié par colonne).

Point de fusion : 192-194°C.

IR (neat): 2916, 1680, 1562, 1528 cm⁻¹

RMN ¹H (250 MHz, DMSO-*d*₆): δ 1,35 (s, 9H, 3×CH₃) ; 1,52 (m, 4H, 2×CH₂) ; 1,74 (m, 2H, CH₂) ; 2,68 (m, 2H, CH₂) ; 2,85 (m, 2H, CH₂) ; 5,85 (s, 1H, NH₂) ; 7,12 (s, 1H, CH).

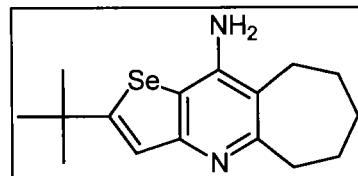
RMN ¹³C (62,9 MHz, DMSO-*d*₆): δ 24,95 ; 26,51 ; 27,40 ; 31,76 ; 32,13 ; 36,07 ; 38,35 ; 114,49 ; 117,72 ; 122,81 ; 147,53 ; 155,87 ; 161,11 ; 162,82.

GC/MS (EI, 70 eV): *m/z* = 322 [M⁺], 307, 293, 277, 263, 227.

Analyse élémentaire : C₁₇H₂₂N₂Se :

Calculée : C, 59,81 ; H, 6,90 ; N, 8,72 ;

Trouvée : C, 59,65 ; H, 7,04 ; N, 8,87.



◆ **8-Amino-2-(4-nitrophényl)-6,7-dihydro-5H-cyclopenta[*b*]sélénophéno[2,3-*e*]pyridine (151)**

Rendement : 85% (Méthode A, 120 min).

86% (Méthode B, 1×10 min).

Aspect : cristaux bruns.

Point de fusion : 286-288°C (CH₃CN).

IR (neat): 2922, 1590, 1562, 1511, 1337 cm⁻¹

RMN ¹H (250 MHz, DMSO-*d*₆): δ 2,08 (m, 2H, CH₂) ; 2,75 (m, 2H, CH₂) ; 2,85 (m, 2H, CH₂) ; 6,35 (s, 2H, NH₂) ; 7,95 (d, 2H, 2×CH, *J*=7,5 Hz) ; 8,11 (s, 1H, CH) ; 8,26 (d, 2H, 2×CH, *J*=7,5 Hz).

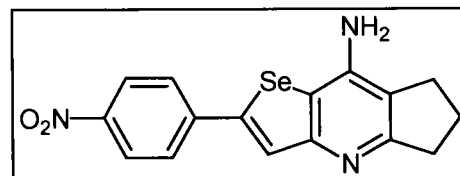
RMN ¹³C (62,9 MHz, DMSO-*d*₆): δ 22,38 ; 27,50 ; 33,71 ; 115,20 ; 119,24 ; 124,39 ; 126,81 ; 127,90 ; 141,82 ; 143,59 ; 146,67 ; 146,98 ; 158,43 ; 164,43.

GC/MS (EI, 70 eV): *m/z* = 248, 168.

Analyse élémentaire : C₁₅H₁₃N₃O₂Se :

Calculée : C, 53,64 ; H, 3,66 ; N, 11,73 ;

Trouvée : C, 53,46 ; H, 3,85 ; N, 11,42.



♦ **9-Amino-2-(4-nitrophényl)-5,6,7,8-tetrahydrosélénophéno[3,2-*b*]quinoléine (152)**

Rendement : 95% (Méthode A, 120 min).

95% (Méthode B, 2×8 min).

Aspect : cristaux bruns.

Point de fusion : 276-278°C (CH₃CN).

IR (neat): 2932, 1592, 1561, 1511, 1338 cm⁻¹

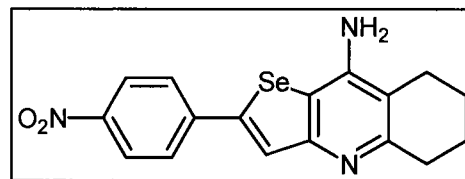
RMN ¹H (250 MHz, DMSO-*d*₆): δ 1,78 (m, 4H, 2×CH₂) ; 2,48 (m, 2H, CH₂) ; 2,76 (m, 2H, CH₂) ; 6,17 (s, 2H, NH₂) ; 7,96 (d, 2H, 2×CH, *J*=7,5 Hz) ; 8,10 (s, 1H, CH) ; 8,26 (d, 2H, 2×CH, *J*=7,5 Hz).

RMN ¹³C (62,9 MHz, DMSO-*d*₆): δ 22,32 ; 22,56 ; 23,19 ; 32,68 ; 110,64 ; 118,39 ; 124,39 ; 126,86 ; 128,11 ; 141,85 ; 143,61 ; 146,70 ; 148,66 ; 155,30 ; 156,73.

Analyse élémentaire : C₁₇H₁₅N₃O₂Se :

Calculée : C, 54,85 ; H, 4,06 ; N, 11,29 ;

Trouvée : C, 55,12 ; H, 4,30 ; N, 11,23.



♦ **10-Amino-2-(4-nitrophényl)-6,7,8,9-tetrahydro-5*H*-cyclohepta[*b*]sélénophéno[2,3-*e*]pyridine (153)**

Rendement : 85% (Méthode A, 120 min).

88% (Méthode B, 1×8 min).

Aspect : cristaux bruns.

Point de fusion : 272-274°C (CH₃CN).

IR (neat): 2918 , 1591, 1560, 1514, 1338 cm⁻¹

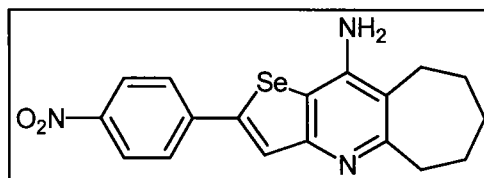
RMN ¹H (250 MHz, DMSO-*d*₆): δ 1.57 (m, 4H, 2×CH₂), 1.78 (m, 2H, CH₂), 2.76 (m, 2H, CH₂), 2.82 (m, 2H, CH₂), 6.17 (s, 2H, NH₂), 7.95 (d, 2H, 2×CH, *J*=7.5 Hz), 8.10 (s, 1H, CH), 8.26 (d, 2H, 2×CH, *J*=7.5 Hz).

RMN ¹³C (62,9 MHz, DMSO-*d*₆): δ 25.03, 26.42, 27.22, 29.82, 31.69, 115.94, 120.54, 124.41, 126.83, 128.25, 141.87, 143.67, 146.58, 147.74, 156.07, 162.38.

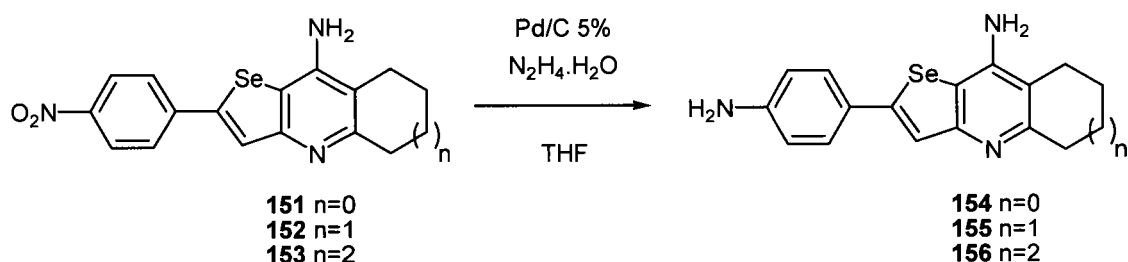
Analyse élémentaire : C₁₈H₁₇N₃O₂Se :

Calculée : C, 55.96; H, 4.44; N, 10.88;

Trouvée : C, 55.84 H, 4.59; N, 10.98.



6. Réduction des Amino-(4-nitrophényl)sélénophéno[2,3-*e*]pyridine



Mode opératoire général :

Dans un tricol de 50 mL équipé d'un réfrigérant et de bouchons, 60 mg de palladium sur charbon (5%) sont ajoutés à une solution de composé **151-153** (0,5 mmol, 1 éq.) dissous dans 10 mL d'éthanol absolu. L'hydrazine hydratée (1,35 mmol, 2,7 éq.) est ajoutée goutte à goutte à température ambiante. Le mélange réactionnel est chauffé au reflux. Chaque heure est ajoutée 1,35 mmol d'hydrazine hydratée. Après quatre heures de chauffage, le milieu réactionnel est filtré sur célite, et rincé avec 2 fois 20 mL d'éthanol, le filtrat est évaporé sous pression réduite et 30 mL d'eau sont ajoutés. Le précipité qui apparaît est filtré sur büchner, lavé deux fois avec 10 mL d'eau et séché. Le produit est ensuite recristallisé dans l'éthanol.

♦ 8-Amino-2-(4-aminophényl)-6,7-dihydro-5H-cyclopenta[*b*]sélénophéno[2,3-*e*]pyridine (**154**)

Rendement : 83%.

Aspect : cristaux oranges.

Point de fusion : 210-212°C.

IR (neat): 3338, 3209, 2949, 1604, 1562, 1502, 821 cm^{-1}

RMN ^1H (250 MHz, $\text{DMSO-}d_6$): δ 2,03 (m, 2H, CH_2) ; 2,73 (m, 2H, CH_2) ; 2,81 (m, 2H, CH_2) ; 5,47 (s, 2H, NH_2) ; 6,08 (s, 2H, NH_2) ; 6,58 (d, 2H, $2\times\text{CH}$, $J=7,5$ Hz) ; 7,33 (d, 2H, $2\times\text{CH}$, $J=7,5$ Hz) ; 7,48 (s, 1H, CH).

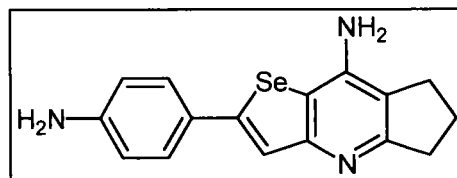
RMN ^{13}C (62,9 MHz, CDCl_3): δ 22,41 ; 27,42 ; 33,64 ; 113,86 ; 113,92 ; 115,73 ; 119,96 ; 122,91 ; 126,98 ; 146,85 ; 148,50 ; 149,57 ; 159,22 ; 163,04.

GC/MS (EI, 70 eV): $m/z = 329$ [M^+], 313, 207.

Analyse élémentaire : $\text{C}_{16}\text{H}_{15}\text{N}_3\text{Se}$:

Calculée : C, 58,54 ; H, 4,61 ; N, 12,80 ;

Trouvée : C, 58,61 ; H, 4,68 ; N, 12,79.



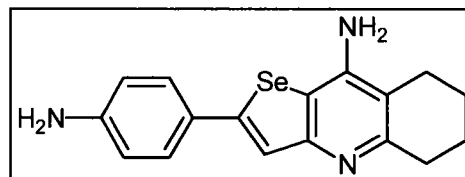
◆ **9-Amino-2-(4-aminophényl)-5,6,7,8-tetrahydrosélénophéno[3,2-*b*]quinoléine (155)**

Rendement : 95%

Aspect : cristaux oranges.

Point de fusion : 208-210°C.

IR (neat): 3338, 3208, 2924, 2856, 1603, 1531, 1500 cm^{-1}



RMN ^1H (250 MHz, CDCl_3): δ 1,76 (m, 4H, $2\times\text{CH}_2$) ; 2,48 (m, 2H, CH_2) ; 2,71 (m, 2H, CH_2) ; 5,48 (s, 2H, NH_2) ; 5,96 (s, 2H, NH_2) ; 6,58 (d, 2H, $2\times\text{CH}$, $J=7,5$ Hz) ; 7,33 (d, 2H, $2\times\text{CH}$, $J=7,5$ Hz) ; 7,45 (s, 1H, CH).

RMN ^{13}C (62,9 MHz, CDCl_3): δ 22,41 ; 22,60 ; 23,23 ; 32,35 ; 109,42 ; 113,85 ; 115,14 ; 119,83 ; 122,86 ; 127,04 ; 148,56 ; 148,65 ; 149,62 ; 153,83 ; 157,32.

Analyse élémentaire : $\text{C}_{17}\text{H}_{17}\text{N}_3\text{Se}$:

Calculée : C, 59,65 ; H, 5,01 ; N, 12,28;

Trouvée : C, 59,74 ; H, 5,32 ; N, 12,39.

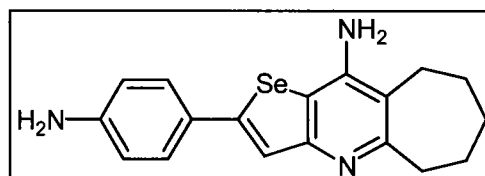
◆ **10-Amino-2-(4-aminophényl)-6,7,8,9-tetrahydro-5H-cyclohepta[*b*]sélénophéno[2,3-*e*]pyridine (156)**

Rendement : 70%

Aspect : cristaux oranges.

Point de fusion : 212-214°C.

IR (neat): 3341, 3193, 2916, 2847, 1601, 1529, 1500, 816 cm^{-1}



RMN ^1H (250 MHz, $\text{DMSO-}d_6$): δ 1,48 (m, 4H, $2\times\text{CH}_2$) ; 1,78 (m, 2H, CH_2) ; 2,71 (m, 2H, CH_2) ; 2,86 (m, 2H, CH_2) ; 5,47 (s, 2H, NH_2) ; 5,91 (s, 2H, NH_2) ; 6,58 (d, 2H, $2\times\text{CH}$, $J=7,5$ Hz) ; 7,33 (d, 2H, $2\times\text{CH}$, $J=7,5$ Hz) ; 7,45 (s, 1H, CH).

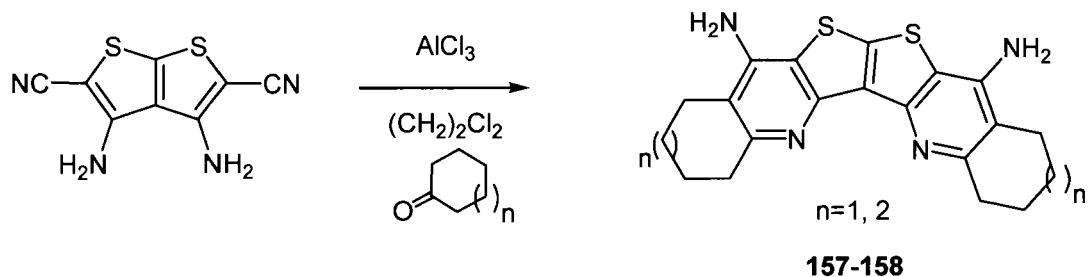
RMN ^{13}C (62,9 MHz, $\text{DMSO-}d_6$): δ 18,51 ; 24,95 ; 26,41 ; 27,29 ; 31,74 ; 113,75 ; 114,72 ; 117,12 ; 119,92 ; 123,66 ; 126,97 ; 147,77 ; 149,60 ; 150,42 ; 154,84 ; 160,86.

Analyse élémentaire : $\text{C}_{18}\text{H}_{19}\text{N}_3\text{Se}$:

Calculée : C, 60,67 ; H, 5,37 ; N, 11,79 ;

Trouvée : C, 60,62 ; H, 5,27 ; N, 11,84.

7. Synthèse des 5,8-diamino-1,2,3,4,9,10,11,12-octahydroquino[2'',3'':4',5']thiéno[3',2':4,5]thiéno[3,2-b]quinoléines



Mode opératoire général :

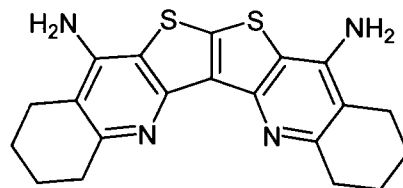
A une suspension d' AlCl_3 broyé (6,8 mmol, 3,4 éq.) dans le dichloroéthane sec (68 mL) sous atmosphère d'argon, le 3-amino-2-cyanothiophène (2 mmol, 1 éq.) et la cyclohexanone (3,4 mmol, 3,4 éq.) sont additionnés. La solution est chauffée au reflux pendant 24 h et suivie par chromatographie sur couche mince. Si la réaction n'est pas complète, un excès de chlorure d'aluminium est ajouté. Une fois la réaction terminée, une solution de THF/eau (2 :1) est additionné à température ambiante. Une solution d'hydroxyde de sodium à 10 % (50 mL) est ajoutée. Après avoir agité pendant 30 minutes, la solution est extraite trois fois avec de l'acétate d'éthyle. La phase organique est lavée avec une solution de NaCl saturée et séchée avec du sulfate de sodium, filtrée et les solvants sont évaporés. Le produit obtenu est purifié par recristallisation dans l'isopropanol.

◆ **5,8-Diamino-1,2,3,4,9,10,11,12-octahydroquino[2'',3'':4',5']thiéno[3',2':4,5]thiéno[3,2-*b*]quinoléine (157)**

Rendement : 41%.

Aspect : solide brun.

Point de fusion : 270°C.



RMN ^1H (250 MHz, DMSO- d_6): δ 1,81 (m, 8H, 2 \times CH $_2$) ; 2,54 (m, 4H, 2 \times CH $_2$), 2,92 (m, 4H, 2 \times CH $_2$), 6,53 (s, 4H, 2 \times NH $_2$).

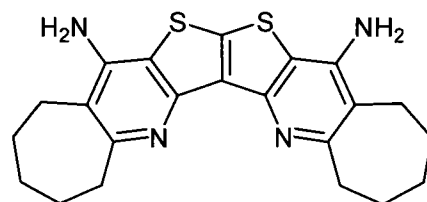
RMN ^{13}C (62,9 MHz, DMSO- d_6): δ 19.10 ; 22.56 ; 23.00 ; 31.95 ; 110.57 ; 113.72 ; 118.86 ; 143.18 ; 144.32 ; 149.03 ; 153.74.

◆ **6,9-Diamino-2,3,4,5,11,12,13,14-octahydro-1*H*,10*H*-cyclohepta[*b*]cyclohepta[5'',6'']pyrido[2'',3'':4',5']thiéno[3',2':4,5]thiéno[2,3-*e*]pyridine (158)**

Rendement : 57%.

Aspect : solide brun.

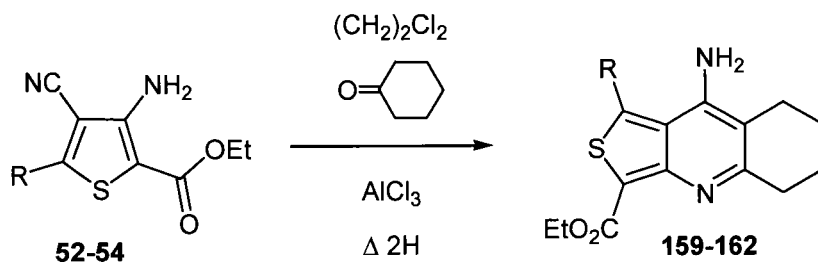
Point de fusion : 280°C



RMN ^1H (250 MHz, DMSO- d_6): δ 1,57 (m, 4H, 2 \times CH $_2$) ; 1,64 (m, 4H, 2 \times CH $_2$) ; 1,84 (m, 4H, 2 \times CH $_2$), 2,80 (m, 4H, 2 \times CH $_2$), 8,03 (s, 4H, 2 \times NH $_2$).

RMN ^{13}C (62,9 MHz, DMSO- d_6): δ 18.42 ; 23.48 ; 27.65 ; 31.84 ; 32.07 ; 110.57 ; 113.20 ; 117.50 ; 144.12 ; 144.32 ; 148.77 ; 153.52.

8. Synthèse des 9-amino-5,6,7,8-tétrahydrothiéno[3,4-*b*]quinoléine-3-carboxylate d'éthyle.



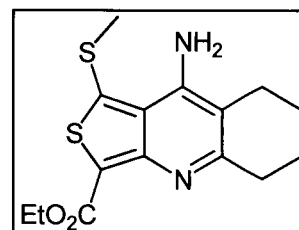
Le 3-amino-4-cyanothiophène (2 mmol, 1 éq.) et la cyclanone (2,2 mmol, 1,1 éq.) sont dissous dans 50 mL de dichloroéthane. Après 5 minutes d'agitation à température ambiante, le chlorure d'aluminium broyé (4 mmol, 2 éq.) est additionné. La solution est chauffée au reflux pendant 2 h puis refroidie jusqu'à température ambiante. Le solvant est ensuite évaporé sous pression réduite. Une solution d'hydroxyde de sodium à 10 % (50 mL) est ajoutée. Après avoir agité pendant 30 minutes, le précipité est filtré sur fritté, lavé deux fois avec 25 mL d'eau. Le produit obtenu est recristallisé à chaud dans l'éthanol.

◆ **9-Amino-1-(méthylsulfanyl)-5,6,7,8-tétrahydrothiéno[3,4-*b*]quinoléine-3-carboxylate (159)**

Rendement : 96 %.

Aspect : cristaux jaunes.

Point de fusion : 152°C (déc).



RMN ^1H (250 MHz, DMSO- d_6): δ 1,27 (t, 3H, CH₃, $J=7,5$ Hz) ; 1,76 (m, 4H, 2 \times CH₂) ; 2,44 (m, 2H, CH₂) ; 2,74 (m, 4H, 2 \times CH₂) ; 4,23 (qd, 2H, CH₂, $J = 7,5$ Hz) ; 6,56 (s, 2H, NH₂).

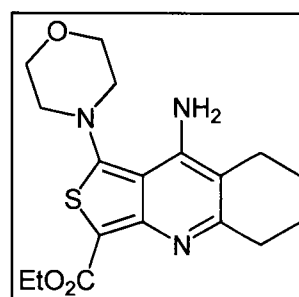
RMN ^{13}C (62,9 MHz, DMSO- d_6): δ 14,37 ; 22,24 ; 22,30 ; 22,42 ; 22,91 ; 34,32 ; 59,80 ; 105,95 ; 115,45 ; 123,31 ; 135,10 ; 145,94 ; 151,19 ; 160,04 ; 162,69.

◆ **9-Amino-1-(4-morpholinyl)-5,6,7,8-tétrahydrothiéno[3,4-*b*]quinoléine-3-carboxylate d'éthyle (160)**

Rendement : 87%

Aspect : cristaux jaunes.

Point de fusion : 160°C (déc).



RMN ^1H (250 MHz, DMSO- d_6): δ 1,26 (t, 3H, CH₃, $J=7,5$ Hz) ; 1,75 (m, 4H, 2 \times CH₂) ; 2,43 (m, 2H, CH₂) ; 2,52 (m, 2H, CH₂) ; 2,70 (m, 4H, 2 \times CH₂) ; 3,82 (m, 4H, 2 \times CH₂) ; 4,20 (qd, 2H, CH₂, $J = 7,5$ Hz) ; 6,56 (s, 2H, NH₂).

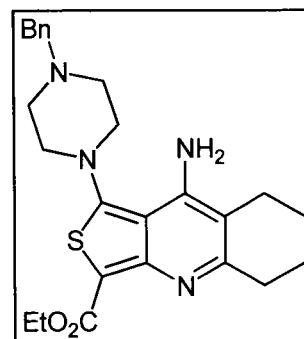
RMN ^{13}C (62,9 MHz, DMSO- d_6): δ 14,49 ; 22,39 ; 22,60 ; 22,71 ; 34,29 ; 55,16 ; 65,59 ; 104,58 ; 105,08 ; 115,30 ; 145,73 ; 150,67 ; 157,21 ; 160,80 ; 162,53.

◆ **9-Amino-1-(4-benzyl-1-pipérazinyl)-5,6,7,8-tétrahydrothiéno[3,4-*b*]quinoléine-3-carboxylate d'éthyle (161)**

Rendement : 87 %. (Méthode A : 60 mL de (CH₂)₂Cl₂).

Aspect : cristaux jaunes.

Point de fusion : 164°C.



RMN ¹H (250 MHz, DMSO-*d*₆): δ 1,25 (t, 3H, CH₃, *J*=7,5 Hz) ; 1,75 (m, 4H, 2×CH₂) ; 2,41 (m, 2H, CH₂) ; 2,49 (m, 4H, 2×CH₂) ; 2,67 (m, 2H, CH₂) ; 3,42 (m, 4H, 2×CH₂) ; 3,56 (s, 2H, CH₂) ; 4,20 (qd, 2H, CH₂, *J*= 7,5 Hz) ; 6,59 (s, 2H, NH₂) ; 7,31 (m, 5H, 5×CH).

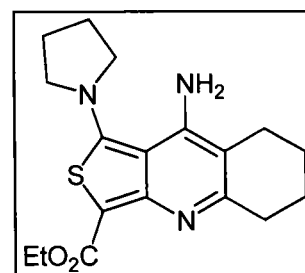
RMN ¹³C (62,9 MHz, DMSO-*d*₆): δ 14,58 ; 22,67 ; 22,82 ; 34,69 ; 53,23 ; 55,63 ; 60,36 ; 62,80 ; 105,41 ; 116,16 ; 127,34 ; 127,53 ; 128,44 ; 129,00 ; 136,98 ; 137,49 ; 145,98 ; 150,42 ; 157,30 ; 162,18 ; 176,79.

◆ **9-Amino-1-(1-pyrrolidinyl)-5,6,7,8-tétrahydrothiéno[3,4-*b*]quinoléine-3-carboxylate (162)**

Rendement : 95 %.

Aspect : cristaux jaunes.

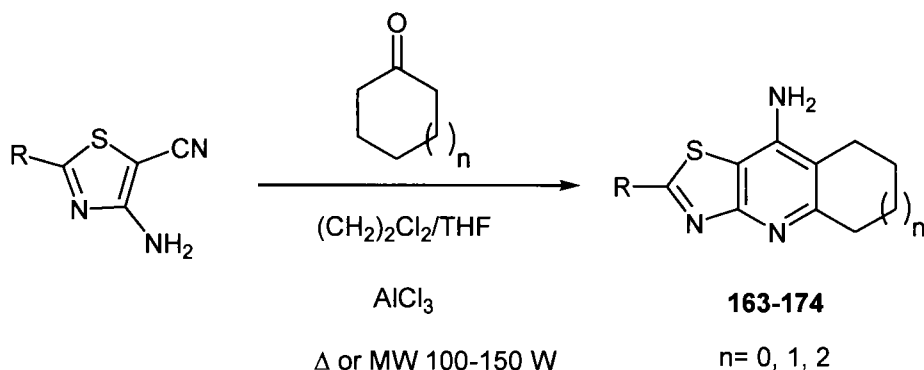
Point de fusion : 150°C (déc).



RMN ¹H (250 MHz, DMSO-*d*₆): δ 1,27 (qd, 3H, CH₃, *J* = 7,5 Hz), 1,77 (m, 4H, 2×CH₂) ; 1,99 (m, 4H, 2×CH₂) ; 2,45 (m, 2H, CH₂) ; 2,72 (m, 2H, CH₂) ; 3,24 (m, 4H, 2×CH₂) ; 4,19 (t, 2H, CH₂, *J* = 7,5 Hz) ; 6,47 (s, 2H, NH₂).

RMN ¹³C (62,9 MHz, DMSO-*d*₆): δ 14,56 ; 22,38 ; 22,51 ; 22,68 ; 24,52 ; 33,65 ; 55,66 ; 58,95 ; 99,02 ; 104,23 ; 112,88 ; 131,35 ; 147,24 ; 150,95 ; 157,76 ; 161,01.

9. Synthèse des analogues thiazoliques de la Tacrine



Méthode A :

Le 4-amino-5-cyano-1,3-thiazole (2 mmol, 1 éq.) et la cyclanone (2,8 mmol, 1,4 éq.) sont dissous dans un mélange dichloroéthane/THF. Après 5 minutes d'agitation à température ambiante, le chlorure d'aluminium broyé (4 mmol, 2 éq.) est additionné. La solution est chauffée au reflux pendant 2 h puis refroidie jusqu'à température ambiante. Un excès de chlorure d'aluminium est ajouté. (2 mmol, 1,7 éq.). Le mélange réactionnel est chauffé au reflux deux heures supplémentaires. Les solvants sont ensuite évaporés sous pression réduite. Une solution d'hydroxyde de sodium à 10 % (50 mL) est ajoutée. Après avoir agité pendant 30 minutes, le précipité est filtré sur fritté, lavé deux fois avec 25 mL d'eau et deux fois avec 10 mL d'éther éthylique. Le produit obtenu est recristallisé à chaud dans l'acétonitrile.

Méthode B :

Le 4-amino-5-cyano-1,3-thiazole (1 mmol, 1 éq.) et la cyclohexanone (1,4 mmol, 1,4 éq.) sont dissous dans un mélange dichloroéthane/THF. Après 5 minutes d'agitation à température ambiante, le chlorure d'aluminium broyé (2 mmol, 2 éq.) est additionné. La solution est chauffée au reflux au micro ondes pendant 8-16 minutes entre 100 et 150 W en mode power time. Un excès de chlorure d'aluminium est ajouté. (2 mmol, 2 éq.) si la réaction n'est pas terminée et réchauffée au micro-ondes à même puissance. Les solvants sont ensuite évaporés sous pression réduite. Une solution d'hydroxyde de sodium à 10 % (50 mL) est ajoutée. Après avoir agité pendant 30 minutes, le précipité est filtré sur fritté, lavé deux fois avec 12 mL d'eau et deux fois avec 5 mL d'éther éthylique. Le produit obtenu est recristallisé à chaud dans l'acétonitrile.

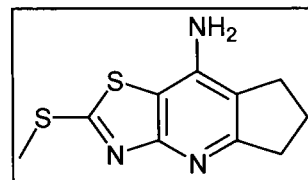
◆ **8-Amino-2-(méthylsulfanyl)-6,7-dihydro-5H-cyclopenta[b][1,3]thiazolo[5,4-*e*]pyridine (163)**

Rendement : 96 %. (Méthode A : 60 mL de (CH₂)₂Cl₂).

Aspect : cristaux incolores.

Point de fusion : 266°C (déc).

IR (neat): 3320, 3205, 1641, 1563 cm⁻¹



RMN ¹H (250 MHz, DMSO-*d*₆): δ 2,03 (q, 2H, CH₂, *J*=7,5 Hz) ; 2,72 (t, 2H, CH₂, *J*=7,5 Hz) ; 2,73 (s, 3H, CH₃) ; 2,82 (t, 2H, CH₂, *J*=7,5 Hz) ; 6,34 (s, 2H, NH₂).

RMN ¹³C (62,9 MHz, DMSO-*d*₆): δ 15,31 ; 22,33 ; 27,26 ; 33,98 ; 109,65 ; 114,42 ; 144,87 ; 163,75 ; 164,72 ; 167,66.

GC/MS (EI, 70 eV): *m/z* = 237 (100), 204 (19), 191 (28).

◆ **9-Amino-2-(méthylsulfanyl)-5,6,7,8-tetrahydro[1,3]thiazolo[4,5-*b*]quinoléine (164)**

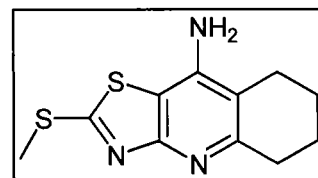
Rendement : 77 %. (Méthode A : 60 mL de (CH₂)₂Cl₂).

93 % (Method D: 20 mL of (CH₂)₂Cl₂ + 5 mL of THF, 6 mmol d' AlCl₃, 150 W, 3×8 min)

Aspect : cristaux incolores.

Point de fusion : 215°C.

IR (neat): 3318, 3206, 1643, 1571, 1541 cm⁻¹



RMN ¹H (250 MHz, DMSO-*d*₆): δ 21,76 (m, 4H, 2×CH₂) ; 2,45 (m, 2H, CH₂) ; 2,73 (m, 5H, CH₂ + CH₃) ; 6,22 (s, 2H, NH₂).

RMN ¹³C (62,9 MHz, DMSO-*d*₆): δ 15,27 ; 22,26 ; 22,52 ; 23,14 ; 32,72 ; 109,06 ; 110,06 ; 146,87 ; 154,57 ; 162,50 ; 168,10.

GC/MS (EI, 70 eV): *m/z* = 251 (100).

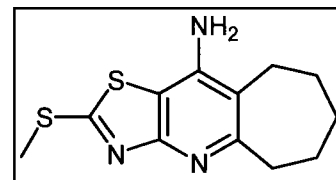
◆ **10-Amino-2-(méthylsulfanyl)-6,7,8,9-tetrahydro-5H-cyclohepta[b][1,3]thiazolo[5,4-*e*]pyridine (165)**

Rendement : 87 %. (Méthode A : 60 mL de (CH₂)₂Cl₂).

Aspect : cristaux incolores.

Point de fusion : 234°C.

IR (neat): 3323, 3202, 1645, 1564, 1543 cm⁻¹



RMN ¹H (250 MHz, DMSO-*d*₆): δ 1.52 (m, 4H, 2×CH₂); 1.76 (m, 2H, CH₂); 2.72 (m, 5H, CH₂ + CH₃); 2.88 (m, 2H, CH₂); 6.22 (s, 2H, NH₂).

RMN ¹³C (62,9 MHz, DMSO-*d*₆): δ 15.35; 24.71; 26.30; 27.16; 31.68; 31.80; 110.76; 115.37; 146.03; 161.79; 161.89; 167.78.

GC/MS (EI, 70 eV): *m/z* = 265 (100), 250 (19), 236 (28)..

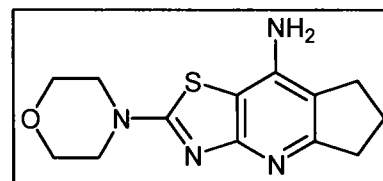
◆ **8-Amino-2-(4-morpholinyl)-6,7-dihydro-5H-cyclopenta[b][1,3]thiazolo[5,4-*e*]pyridine (166)**

Rendement : 98 %. (Méthode A : 50 mL de THF).

Aspect : cristaux incolores.

Point de fusion : 311°C.

IR (neat): 1628, 1569, 1534 cm⁻¹



RMN ¹H (250 MHz, DMSO-*d*₆): δ 2,03 (q, 2H, CH₂, *J*=7,5 Hz); 2,68 (t, 2H, CH₂, *J*=7,5 Hz); 2,74 (t, 2H, CH₂, *J*=7,5 Hz); 3,47 (t, 4H, 2×CH₂, *J*=5,0 Hz); 3,72 (t, 4H, 2×CH₂, *J*=5,0 Hz); 6,01 (s, 2H, NH₂).

RMN ¹³C (62,9 MHz, DMSO-*d*₆): δ 22,22; 27,28; 33,94; 47,55; 65,41; 104,13; 112,98; 144,68; 162,06; 164,13; 168,28.

GC/MS (EI, 70 eV): *m/z* = 276 (100), 219 (100), 190 (15).

◆ **9-Amino-2-(4-morpholinyl)-5,6,7,8-tetrahydro[1,3]thiazolo[4,5-*b*]quinoléine (167)**

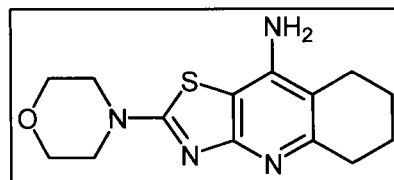
Rendement : 98 %. (Méthode A : 50 mL de THF).

93 % (Method D: 20 mL of (CH₂)₂Cl₂ + 5 mL of THF, 4 mmol AlCl₃, 100 W, 2×16 min)

Aspect : cristaux incolores.

Point de fusion : 318°C.

IR (neat): 3302, 3209, 1629, 1567, 1532 cm⁻¹



RMN ¹H (250 MHz, DMSO-*d*₆): δ 1,72 (m, 4H, 2×CH₂) ; 2,41 (m, 2H, CH₂) ; 2,63 (m, 2H, CH₂) ; 3,48 (t, 4H, 2×CH₂, *J*=5,0 Hz) ; 3,72 (t, 4H, 2×CH₂, *J*=5,0 Hz) ; 5,87 (s, 2H, NH₂)

RMN ¹³C (62,9 MHz, DMSO-*d*₆): δ 22,45 ; 22,68 ; 23,01 ; 32,61 ; 47,60 ; 65,42 ; 104,05 ; 108,76 ; 146,45 ; 153,14 ; 162,03 ; 168,30.

GC/MS (EI, 70 eV): *m/z* = 290 (100), 233 (88), 204 (17).

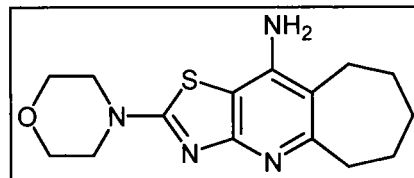
◆ **10-Amino-2-(4-morpholinyl)-6,7,8,9-tetrahydro-5H-cyclohepta[*b*][1,3]thiazolo[5,4-*e*]pyridine (168)**

Rendement : 92 %. (Méthode A : 50 mL de THF).

Aspect : cristaux incolores.

Point de fusion : 314°C.

IR (neat): 1633, 1565, 1526 cm⁻¹



RMN ¹H (250 MHz, DMSO-*d*₆): δ 1,51 (m, 4H, 2×CH₂) ; 1,75 (m, 2H, CH₂) ; 2,65 (m, 2H, CH₂) ; 2,80 (m, 2H, CH₂) ; 3,47 (t, 4H, 2×CH₂, *J*=5,0 Hz) ; 3,72 (t, 4H, 2×CH₂, *J*=5,0 Hz) ; 5,87 (s, 2H, NH₂).

RMN ¹³C (62,9 MHz, DMSO-*d*₆): δ 24,69 ; 26,38 ; 27,37 ; 31,81 ; 40,48 ; 47,70 ; 65,40 ; 105,53 ; 114,03 ; 145,70 ; 160,47 ; 161,32 ; 168,32.

GC/MS (EI, 70 eV): *m/z* = 304 (100), 247 (63).

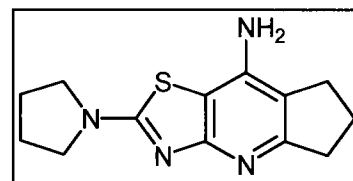
◆ **8-Amino-2-(1-pyrrolidinyl)-6,7-dihydro-5H-cyclopenta[b][1,3]thiazolo[5,4-e]pyridine (169)**

Rendement : 98 %. (Méthode A : 50 mL de THF).

Aspect : cristaux incolores.

Point de fusion : 369°C.

IR (neat): 1632, 1573, 1535 cm^{-1}



RMN ^1H (250 MHz, DMSO- d_6): δ 1,99 (m, 6H, 3 \times CH $_2$) ; 2,67 (t, 4H, 2 \times CH $_2$, $J=5,0$ Hz) ; 2,72 (t, 4H, 2 \times CH $_2$, $J=5,0$ Hz) ; 3,47 (t, 4H, 2 \times CH $_2$, $J=5,0$ Hz) ; 3,43 (m, 4H, 2 \times CH $_2$) ; 5,91 (s, 2H, NH $_2$).

RMN ^{13}C (62,9 MHz, DMSO- d_6): δ 22,24 ; 24,79 ; 27,25 ; 33,96 ; 67,22 ; 104,10 ; 112,35 ; 144,54 ; 161,71 ; 164,13 ; 164,92.

GC/MS (EI, 70 eV): m/z = 260 (100), 232 (42), 205(74), 55(19).

◆ **9-Amino-2-(1-pyrrolidinyl)-5,6,7,8-tetrahydro[1,3]thiazolo[4,5-b]quinoléine (170)**

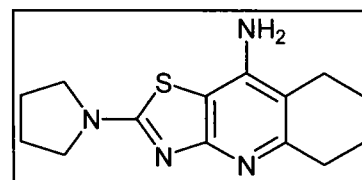
Rendement : 95 %. (Méthode A : 50 mL de THF).

80 % (Méthode B: 20 mL of (CH $_2$) $_2$ Cl $_2$ + 5 mL of THF, 4 mmol AlCl $_3$, 100 W, 2 \times 16 min).

Aspect : cristaux incolores.

Point de fusion : 346°C.

IR (neat): 1629, 1576, 1522 cm^{-1}



RMN ^1H (250 MHz, DMSO- d_6): δ 1,73 (m, 4H, 2 \times CH $_2$) ; 1,98 (m, 4H, 2 \times CH $_2$) ; 2,40 (m, 2H, CH $_2$) ; 2,62 (m, 2H, CH $_2$) ; 3,43 (m, 4H, 2 \times CH $_2$) ; 5,77 (s, 2H, NH $_2$).

RMN ^{13}C (62,9 MHz, DMSO- d_6): δ 22,51 ; 22,73 ; 22,95 ; 25,06 ; 32,62 ; 48,79 ; 104,07 ; 108,16 ; 146,27 ; 152,76 ; 162,06 ; 164,14.

GC/MS (EI, 70 eV): m/z = 274 (100), 246 (45), 219 (49), 70 (12).

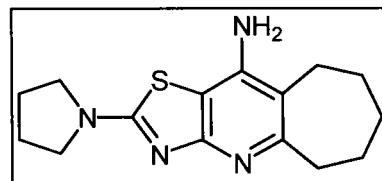
◆ **10-Amino-2-(1-pyrrolidinyl)-6,7,8,9-tetrahydro-5H-cyclohepta[b][1,3]thiazolo[5,4-*e*]pyridine (171)**

Rendement : 97 %. (Méthode A : 50 mL de THF).

Aspect : cristaux incolores.

Point de fusion : 336°C.

IR (neat): 1630, 1571, 1524 cm^{-1}



RMN ^1H (250 MHz, DMSO- d_6): δ 1,50 (m, 4H, 2 \times CH $_2$) ; 1,75 (m, 2H, CH $_2$) ; 1,99 (m, 4H, 2 \times CH $_2$) ; 2,63 (m, 2H, CH $_2$) ; 2,78 (m, 2H, CH $_2$) ; 3,41 (t, 4H, 2 \times CH $_2$, $J=5,0$ Hz) ; 5,77 (s, 2H, NH $_2$).

RMN ^{13}C (62,9 MHz, DMSO- d_6): δ 24,69 ; 25,07 ; 26,40 ; 27,44 ; 31,87 ; 40,48 ; 48,82 ; 105,47 ; 113,42 ; 145,57 ; 160,10 ; 162,06 ; 164,18.

GC/MS (EI, 70 eV): m/z = 288 (100), 273 (16), 260 (44), 233 (25).

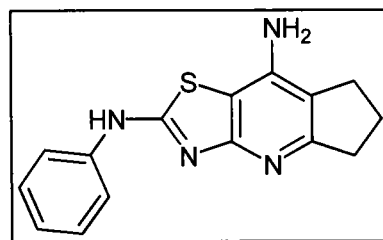
◆ **8-Amino-2-anilino-6,7-dihydro-5H-cyclopenta[b][1,3]thiazolo[5,4-*e*]pyridine (172)**

Rendement : 85 %. (Méthode A : 50 mL de (CH $_2$) $_2$ Cl $_2$ + 10 mL de THF).

Aspect : cristaux oranges.

Point de fusion : 274°C.

IR (neat): 1623, 1564, 1526 cm^{-1}



RMN ^1H (250 MHz, DMSO- d_6): δ 2.01 (q, 2H, CH $_2$, $J=7,5$ Hz) ; 2.70 (t, 2H, CH $_2$, $J=7,5$ Hz) ; 2.77 (t, 2H, CH $_2$, $J=7,5$ Hz) ; 6.01 (s, 2H, NH $_2$) ; 6.97 (t, 1H, CH, $J=7,5$ Hz) ; 7.31 (t, 2H, 2 \times CH, $J=7,5$ Hz) ; 7.73 (d, 2H, 2 \times CH, $J=7,5$ Hz) ; 10.50 (s, 1H, NH).

RMN ^{13}C (62,9 MHz, DMSO- d_6): δ 22,26 ; 27,32 ; 33,89 ; 103,82 ; 113,48 ; 117,88 ; 121,67 ; 128,80 ; 144,60 ; 161,90.

◆ **9-Amino-2-anilino-5,6,7,8-tetrahydro[1,3]thiazolo[4,5-b]quinoléine (173)**

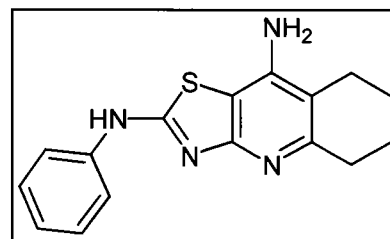
Rendement : 80 %. (Méthode A : 50 mL de $(\text{CH}_2)_2\text{Cl}_2$ + 10 mL de THF).

79 % (Méthode D: 20 mL de $(\text{CH}_2)_2\text{Cl}_2$ + 5 mL de THF, 4 mmol AlCl_3 , 100 W, 2×16 min).

Aspect : cristaux oranges.

Point de fusion : 280°C .

IR (neat): 1617, 1563, 1519 cm^{-1}



RMN ^1H (250 MHz, $\text{DMSO}-d_6$): δ 1,75 (m, 4H, $2 \times \text{CH}_2$) ; 2,43 (m, 4H, $2 \times \text{CH}_2$) ; 2,68 (m, 2H, CH_2) ; 5,99 (s, 2H, NH_2) ; 7,00 (t, 1H, CH, $J=7,5$ Hz) ; 7,33 (t, 2H, $2 \times \text{CH}$, $J=7,5$ Hz) ; 7,76 (d, 2H, $2 \times \text{CH}$, $J=7,5$ Hz) ; 10,48 (s, 1H, NH).

RMN ^{13}C (62,9 MHz, $\text{DMSO}-d_6$): δ 22,45 ; 22,69 ; 23,07 ; 32,56 ; 103,76 ; 109,44 ; 117,77 ; 121,83 ; 128,80 ; 140,73 ; 146,48 ; 153,05 ; 16,73 ; 161,87.

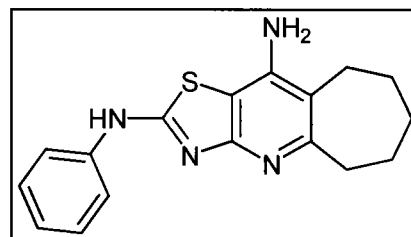
◆ **10-Amino-2-anilino-6,7,8,9-tetrahydro-5H-cyclohepta[b][1,3]thiazolo[5,4-e]pyridine (174)**

Rendement : 97 %. (Méthode A : 50 mL de $(\text{CH}_2)_2\text{Cl}_2$ + 10 mL de THF).

Aspect : cristaux oranges.

Point de fusion : 275°C .

IR (neat): 1634, 1564, 1542 cm^{-1}



RMN ^1H (250 MHz, $\text{DMSO}-d_6$): δ 1,50 (m, 4H, $2 \times \text{CH}_2$) ; 1,75 (m, 2H, CH_2) ; 1,99 (m, 4H, $2 \times \text{CH}_2$) ; 2,63 (m, 2H, CH_2) ; 2,78 (m, 2H, CH_2) ; 3,41 (t, $J=5,0$ Hz, 4H, $2 \times \text{CH}_2$) ; 5,77 (s, 2H, NH_2).

RMN ^{13}C (62,9 MHz, $\text{DMSO}-d_6$): δ 24,75 ; 26,39 ; 27,34 ; 31,84 ; 40,48 ; 105,23 ; 114,73 ; 117,71 ; 121,81 ; 128,82 ; 140,71 ; 140,71 ; 145,73 ; 160,38 ; 161,17 ; 161,67.

Références

- 1 (a) Muijlwijk-Koezen, J.E.; Timmerman, H.; Goot, H.; Menge, Wiro M.P.B.; Kuenzel, J.F.; Groote, M.;
IJzerman, J.P. *J. Med. Chem.* **2000**, *43*, 2227. (b) Barchechath, S.D.; Tawatao, R.I.; Corr, M.; Carson, D.A.;
Cottam, H.B. *J. Med. Chem.* **2005**, *48*, 6409.
- 2 Harris, N.V.; Smith, C.; Bowden, K. *J. Med. Chem.* **1990**, *33*, 434.
- 3 Mizuno, T.; Iwai, T.; Ishino, Y. *Tetrahedron Lett.* **2004**, *35*, 7073.
- 4 McKenna, M.T.; Proctor, G.R.; Young, L.C.; Harvey, A.L. *J. Med. Chem.* **1997**, *40*, 3516.
- 5 Augry, F.; Darchy, J.; De Rotou, J.; Gulefi, M.C.; Forette, F. *J. Pharm. Clin.* **1997**, *16*, 183.
- 6 Kirsch, G.; *Thèse d'État*, Université de Metz **1985**, 50.
- 7 Vilsmeier, A.; Haack, A. *Ber.* **1927**, *60*, 119.
- 8 (a) Arnold, Z.; Sorm F. *Collect. Czech. Chem. Comm.* **1958**, *23*, 452. (b) Arnold, Z.; Zemlicka, J. *Collect.*
Czech. Chem. Comm. **1959**, *24*, 2385.
- 9 (a) Kirsch, G.; Prim, D.; Leising, F.; Mignani, G. *J. Heterocyclic. Chem.* **1994**, *31*, 1005. (b) Prim, D.;
Joseph, D.; Kirsch, G. *Phosphorus, Sulfur Silicon Relat. Elem.* **1994**, *91*, 137.
- 10 (a) Liebscher, J.; B.; Hartmann, H. *Synthesis.* **1979**, 241. (b) Schelborn, H.; Frischleder, H.; Hauptmann, S.
Tetrahedron Lett. **1970**, *11*, 4315.
- 11 Prim, D.; Fuss, A.; Kirsch, G.; Silva, A. M. S. *J. Chem. Soc., Perkin Trans. 2*, **1999**, 1175.
- 12 Liebscher, J.; Neumann, B.; Hartmann, H. *J. Prakt. Chem.* **1983**, *325*, 915.
- 13 Vo-Quang; *Ann.Chim.(Paris)* **1962**, *7*, 795.
- 14 Migianu, E.; Kirsch, G. *Synthesis*, **2002**, *8*, 1096.
- 15 Migianu, E.; *Thèse*, Université de Metz **2002**.
- 16 Friedrich, K.; Wallensfels, K.; *In The Chemistry of Cyano Group*; Rappoport, Z.; Ed.; Wiley-Interscience
New York, **1970**.
- 17 Mowry, D.T. *Chem. Rev.* **1948**, *42*, 250.
- 18 (a) Miller, M.; Loundon, G. *J. Org. Chem.* **1975**, *40*, 126. (b) Fizet, C.; Streith, J. *Synthesis* **1979**, 112. (c)
Fizet, C.; Streith, J. *Tetrahedron Lett.* **1974**, *15*, 3187. (d) Olah, G.A.; Keumi, T. *Synthesis* **1979**, 112. (e)
Sosnovsky, G.; Krogh, J.A.; Umhoefer, S. *Synthesis* **1979**, 722.
- 19 Saednya, A. *Synthesis* **1982**, 190.
- 20 Sampath Kumar, H.M.; Subba Reddy, B.V.; Tirupathy Reddy, P.; Yadav, J.S. *Synthesis* **1999**, 586.
- 21 Hartmann, H. *Synthesis* **1984**, 275.
- 22 Fiesselmann, H. *Angew. Chem.* **1959**, 377.
- 23 Huddleston, P.; Barker, J. *Synthetic Communications*, **1979**, *9*, 731.
- 24 (a) L. Brault, E. Migianu, A. Néguesque, E. Battaglia, D. Bagrel, G. Kirsch *Eur. J. Med. Chem.* **2005**, *40*,
757. (b) Romagnoli, R.; Baraldi, P.G.; Remusat, V.; Carrion, M.D.; Cara, C.L.; Preti, D.; Fruttarolo, F.;
Pavani, M. G.; Tabrizi, M.A.; Tolomeo, M.; Grimaudo, S.; Balzarini, J.; Mary, A.J.; Hamel, E. *J. Med.*
Chem. **2006**, *49*, 6425. (c) Hertzog, D.L.; Al-Barazanji, K.A.; Bigham, E.C.; Bishop, M.J.; Britt, C.S.;
Carlton, D.L.; Cooper, J.P.; Daniels, A.J.; Garrido, D.M.; Goetz, A.S.; Grizzle, M.K.; Yu C. Guo, Handlon,
A.L.; Ignar, D.M.; Morgan, R.O.; Peat, A.P.; Tavares, F.X.; Zhou, H. *Bioorg. Med. Chem. Lett.* **2006**, *16*,
4723. (d) Andersen, H.S.; Olsen, O.H.; Iversen, L.F.; Soerensen, A.L.P.; Mortensen, S.B.; Christensen, M.S.;
Branner, S.; Hansen, T.K.; Lau, J.F.; Jeppesen, L.; Moran, E.J.; Su, J.; Bakir, F.; Judge, L.; Shahbaz, M.;
Collins, T.; Vo, T.; Newman, M.J.; Ripka, W.C.; Møller, N.P.H. *J. Med. Chem.* **2002**, *45*, 4443.
- 25 Mathias, E.; Shimanski, M. *J. Chem. Soc.* **1981**, 569.
- 26 Vega, S.; Gil, M.S. *J. Heterocyclic. Chem.* **1991**, *28*, 945.
- 27 Ren, W.Y.; Rao, K.V.B, Klein, R.S. *J. Heterocyclic. Chem.* **1986**, *23*, 1757.
- 28 Lim, M.I.; Ren, W.Y.; Klein, R.S. *J. Org. Chem.* **1982**, *47*, 4594.
- 29 Gewald, K.; Hain, U. *Monatsh. Chem.* **1992**, *123*, 455.
- 30 Gomper, R. *Angew. Chem.* **1961**, *73*, 537
- 31 Thomae, D.; Kirsch, G.; Seck, P. *Synthesis* **2007**, 1027
- 32 (a) Rheinbolt, H. Houben-Weyl, *Methoden der organischen Chemie, Schwefel-, Selen-, Tellur-Vereinigungen*,
Muller E., éd., Georg Thieme Verlag, Stuttgart, **1967**, Vol. IX. (b) Klayman, D.L.; Günther, W.H.H *Organic*
selenium compounds: Their Chemistry and Biology, éd. John Wiley & Sons Inc., Chichester, **1973**. (c)
Paulmier, C. *Selenium Reagents and Intermediates in Organic Synthesis*; Baldwin J.E., éd: Pergamon Press,
Oxford, **1986**, Vol 4. (d) Patai, S.; Rappoport Z. *The chemistry of Organic Selenium and Tellurium*

- Compounds, éd. John Wiley and Sons Inc, Chischester, 1987, Vol. 2. (e) Mugeshe, G.; Du Mont, W.W.; Sies, H. *Chem. Rev.* **2001**, *101*, 2125 (f) Sharpless, K.B.; Gordon, K.M., Lauer, R.F.; Patrick, D.W.; Singer, S.P.; Young, M.W.; *Chem Scr.* **1975**, *8A*, 9.
- 33 Suzuki, K.T; Tsuji, Y.; Ohta, Y.; Suzuki, N. *Toxicol. Appl. Pharm.* **2008**, *227*, 76.
- 34 (a) Ip, C.; Lisk, D.J. *Carcinogenesis* **1996**, *15*, 1881. (b) Lu, J.; Pei, H.; Ip, C.; Lisk, D.J. *Carcinogenesis* **1996**, *17*, 1903.
- 35 Arnault, J.; Auger, J. *J. Chromatogr. A* **2006**, *1112*, 23.
- 36 Sommen, G.; Comel, A.; Kirsch, G. *SynLett.* **2003**, 855.
- 37 Sommen, G. *Thèse Université de Metz*, **2003**.
- 38 Dyachenko, V.D.; Sharanin, Yu.A.; Shestopalov, A.M.; Rodinovskaya, L.A.; Turov, A.V. *J.Gen.Chem.USSR* **1990**, *60*, 2131.
- 39 (a) Dyachenko, V. D.; Sharanin, Yu. A. *J.Gen.Chem.USSR* **1991**, *61*, 861. (b) Litvinov, V.P; Mortikov, V.Y.; Sharanin, Y.A.; Shestopalov, A.M. *Synthesis*, **1985**, 98.
- 40 (a) Brandsma, L.; Wijers, H.E. *Recl. Trav. Chim.* **1963**, *82*, 68. (b) Bird, M.L.; Challengers, F. *J.Chem. Soc.* **1942**, 570. (c) Klayman, D.L.; Griffin, T.S. *J. Am. Chem. Soc.* **1973**, *95*, 197. (d) Gladysz, J.A.; Hornby, J.L.; Garbe, J.E. *J. Org. Chem.* **1978**, *43*, 1204. (e) Bergman, J.; Engman, L. *Synthesis*, **1980**, 569.
- 41 (a) Cagniant, P.; Perin, P.; Kirsch, G., Cagniant, D. *C. R. Hebd. Seances Acad. Sci. Ser. C* **1973**, *277*, 37. (b) Cagniant, P.; Perin, P.; Kirsch, G., Cagniant, D. *C. R. Hebd. Seances Acad. Sci. Ser. C* **1974**, *279*, 851.
- 42 Thomae, D.; Kirsch, G.; Seck, P. *Synthesis* **2008**, 1600.
- 43 Peters, D.; Hörnfeldt, A.B; Gronowitz, S. *J. Heterocyclic. Chem.* **1990**, *27*, 2165.
- 44 Kukolja, S.; Draheim, S.E.; Graves, B.J.; Hunden, J. Pfeil L.; Cooper, R.D.G; Ott, J.L.; Couter, F.T. *J.Med. Chem.* **1995**, *28*, 1896.
- 45 Fabre, D.; Farge, D.; James, C. DE 2,703,624; **1976**; *Chem Abstr.*, *87*, 168000v.
- 46 (a) Briel, D. *Pharmazie* **1990**, *45*, 895. (b) Rudorf, W.D.; Köditz, J.; Tersakian, A. Chatterjee, S.K. *Liebiegs. Ann. Chem.* **1992**, 387. (c) El-Shafei, A.K.; El-Saghier, A.M.M.; Sultan, A.; Soliman, A.M. *Phosphorus Sulfur* **1992**, *72*, 73. (e) El-Shafei, A.K.; Abdel-Ghany, A.H.; Sultan, A.; El-Saghier, A.M.M. *Phosphorus Sulfur* **1992**, *72*, 15. (f) El-Saghier, A.M.M *Bull. Chem. Soc. Jpn.* **1993**, *23*, 2704.
- 47 Prim. D.; Kirsch, G. *J.Chem. Soc., Perkin Trans. 1* **1994**, 2603.
- 48 Comel, A.; Kirsch, G. *J. Heterocyclic Chem.* **2001**, *38*, 1167.
- 49 (a) Khalil, Z.H.; Yanni, A.S.; Gaber, A.M.; Abdel-Mohsen, Sh.A. *Phosphorus, Sulfur Silicon Relat. Elem.* **2000**, *162*, 65. (b) Fuentes, J.; Molina, J.L.; Pradera, M.A. *Tetrahedron Asymmetry* **1998**, *9*, 2517. (c) Chiba, T.; Sato, H.; Kato, T. *Chem. Pharm. Bull.* **1983**, *37*, 2480. (d) El-Shafei, A.K.; Abdel-Ghany, H.A.; Sultan, A.A.; El-Saghier, A.M.M. *Phosphorus, Sulfur Silicon Relat. Elem.* **1992**, *73*, 15. (e) Luteijn, J.M.; Dolman, H.; Wals, H.C. *Tetrahedron* **1988**, *44*, 5921. (f) Chiba, T.; Sato, H.; Kato, T. *Chem. Pharm. Bull.* **1982**, *30*, 3548.
- 50 (a) Gewald, K.; Hain, U.; Schmidt, M.; *J. Prakt. Chem.* **1986**, *328*, 459. (b) Fedorov, A.E.; Shestopalov, A.M.; Belyakov, P.A. *Russ. Chem. Bl.* **2003**, *52*, 2063.
- 51 Sommen, G.; Comel, A.; Kirsch, G. *Tetrahedron* **2003**, *59*, 1557.
- 52 Sommen, G.; Comel, A.; Kirsch, G. *Synlett* **2001**, 1731.
- 53 Sommen, G.; Comel, A.; Kirsch, G. *Synthesis* **2003**, 735.
- 54 Sommen, G.; Comel, A.; Kirsch, G. *Tetrahedron Lett.* **2002**, *43*, 257.
- 55 (a) Kolb. M. *Synthesis*, **1990**, 171. (b) Tominaga, Y. *J. Heterocyclic. Chem.* **1989**, *26*, 1167. (c) Yokoyama M., Togo, H.; Kondo, S. *Sulfur Reports* **1990**, *10*, 23.
- 56 (a) Gupta, A. K.; Ila, H.; Junjappa, H. *Tetrahedron Lett.* **1988**, *29*, 6633. (b) Gupta, A. K.; Ila, H.; Junjappa, H. *Tetrahedron* **1990**, *46*, 2561. (c) Gupta, A. K.; Ila, H.; Junjappa, H. *Tetrahedron* **1990**, *46*, 3703. (d) Singh, O.M.; Junjappa, H. Ila, H. *J. Chem. Soc. Perkin Trans 1* **1997**, 3561. (e) Barun, O.; Patra, P.K.; Ila, H.; Junjappa, H. *Tetrahedron Lett.* **1999**, *40*, 3797. (f) Kishore, K., Reddy, K.R; Suresh, J.R.; Ila, H.; Junjappa, H. *Tetrahedron* **1999**, *55*, 7645. (g) Basveshwar Rao, M.V.; Syam Kumar, U.K.; Junjappa, H. *Tetrahedron* **1999**, *55*, 11563 (h) Mehta, B.K.; Nandi, S.; Ila, H.; Junjappa, H. *Tetrahedron* **1999**, *55*, 12843. (i) Barun, O.; Mohanta, P.K.; Ila, H.; Junjappa, H. *Synlett* **2000**, 653.
- 57 (a) Yokoyama, M.; Tohnishi, M.; Kurihara, A.; Imamoto, T. *Chem. Lett.* **1982**, 1933. (b) Tominaga, Y.; Honkawa, Y.; Hara, M.; Hosomi, A. *J. Heterocycl. Chem.* **1990**, *27*, 775. (c) Pohl, M.; Bechstein, U.; Paetzel, M.; Liebscher, J.; Jones, P.G. *J. Prakt. Chem.* **1992**, *334*, 630. (d) Hosomi, A.; Miyashiro, Y.; Yoshida, R.; Tominaga, Y.i; Yanagi, T.u; Hojo, M. *J. Org. Chem.* **1990**, *55*, 5308.
- 58 Stephensen, H.; Zaragoza, F.; *J. Org. Chem.* **1997**, *62*, 6096.

- 59 (a) Masquelin, T.; Obrecht, D. *Tetrahedron*, **2001**, *57*, 153. (b) Zabriskie, T. M.; Mayne, C. L.; Ireland, C. M. *J. Am. Chem. Soc.* **1988**, *110*, 7919. (c) Hara, M.; Asano, K.; Kawamoto, I.; Takiguchi, I.; Katsumata, S.; Takahashi, K.; Nakano, H. *J. Antibiot.* **1988**, *42*, 1768. (d) Crews, P.; Kakou, Y.; Quinoa, E. *J. Am. Chem. Soc.* **1988**, *110*, 4365. (e) Metzger, J. V. *Chemistry of Heterocyclic Compounds*; Wiley: New York, 1979; p 34. (f) Metzger, J. V. *In Thiazoles and their Benzo Derivatives*, Potts, K. T., Ed.; Pergamon: New York, 1984; Vol. 6.
- 60 (a) Walek, W.; Pallas, M.; Augustin, M. *Tetrahedron*, 1976, *32*, 623. (b) Wobig, D. *Justus Liebigs Ann. Chem.* **1972**, *764*, 125.
- 61 (a) Timmons, R.J.; Wittenbrook, L.S. *J. Org. Chem.* 1967, *32*, 1566. (b) Buckman, J.; Pera, J.D.; Appling, J.W. U.S. Patent 2 881 071, 1959 *Chem. Abstr.*, **1959**, *53*, 20678d. (c) Yokoyama, M.; Kumata, K.; Yamada, N.; Noro, H.; Sudo, Y. *J. Chem. Soc. Perkin Trans. 1* **1988**, 2309. (d) Suyama, T.; Suzuki, N.; Nishimura, M.; Saitoh, Y.; Ohkoshi, H.; Yamaguchi, J.I. *Bull. Chem. Soc. Jpn.* **2005**, *78*, 873. (e) Elgemeie, G.H.; Sood, S.A. *Synth. Commun.* **2006**, *36*, 743. (f) Alqaradawi, S.Y.; Elgemeie, G.H. *Synth. Commun.* **2004**, *34*, 805.
- 62 (a) Gewald, K.; Schaefer, H.; Eckert, K.; Jeschke, T. *J. Prakt. Chem.* **1996**, *338*, 206. (b) Gruner, M.; Rehwald, M.; Eckert, K.; Gewald, K. *Heterocycles* **2000**, *53*, 2363. (c) Walczynski, K.; Zuiderveld, O.P.; Timmerman, H. *Eur. J. Med. Chem.* **2005**, *40*, 15. (d) Seybold, G.; Eilingsfeld, H. *Liebigs Ann. Chem.* **1979**, *9*, 1271. (e) Eilingsfeld, H.; Swybold, G. DE 2713573; **1978**
- 63 (a) Ried, W.; Kuhnt, D. *Liebigs Ann. Chem.* **1986**, *4*, 780-784; (b) Ried, W.; Broft, G.W.; Bats, J.W. *Chem. Ber.* **1983**, *116*, 1547. (c) Ried, W.; Kuhnt *Synthesis* **1987**, *10*, 940.
- 64 Lee, I.Y.; Lee, J.Y.; Lee, H.J.L.; Gong, Y.D. *Synlett* **2005**, 2483.
- 65 Gewald, K.; Hain, U. *J. Prakt. Chem.* **1975**, *317*, 329.
- 66 (a) Franck, R.; Gilligan, J-M. *J. Org. Chem.* **1971**, *36*; 222. (b) Bornstein, J.; Reid, W.; Torres, D. *J. Am. Chem. Soc.* **1954**, *76*, 2760. (c) Bruckle, D.; Cantello, B.; Smith, H.; Spicer, B. *J. Med. Chem.* **1975**, *18*, 726.
- 67 McQuaid, L. A.; Smith, E. C. R.; Lodge, D.; Pralon, E.; Wikel, J. H.; Calligaro, D.O.; O'Malley, P.J. *J. Med. Chem.* **1992**, *35*, 3423.
- 68 (a) Buchstaller, H.-P.; Siebert, C. D.; Lyssy, R. H.; Ecker, G.; Krug, M.; Berger, M. L.; Gottschlich, R.; Noe, C. R. *Sci. Pharm.* **2000**, *68*, 3-14. (b) Buchstaller, H.-P.; Siebert, C. D.; Lyssy, R. H.; Frank, I.; Duran, A.; Gottschlich, R.; Noe, C. R. *Monatsh. Chem.* **2001**, *132*, 279-293. (c) Noe, C. R.; Buchstaller, H.-P.; Siebert, C. D. *Pharmazie* **1996**, *51*, 833-836.
- 69 Buschtaller, H-P.; Siebert, C.; Steimetz, R.; Frank, A.; Berger, M.; Gottschlich, R.; Leibrock, J.; Krug, M.; Steinhilber, D.; Noe, C. *J. Med. Chem.* **2006**, *49*, 864.
- 70 (a) Lee, D-J.; Kim, K. *J. Org. Chem.* 2004, *69*, 4867. (b) Baker, J.M.; Huddelston, P.R.; Chadwick, N.; Keenan, G.J. *J. Chem. Res. Synop.* **1980**, 6-7.
- 71 Genevois-Borella, A.; Vuilhorgne, M.; Mignani, S. *Heterocycles*, **2002**, *57*, 317.
- 72 Rodinovskaya, L.; Shestopalov, A.; Gromova, Shestopalov, A. *Synthesis* **2006**, 2357.
- 73 (a) Dunn, A.D.; Norrie, R. *J. Prakt. Chem.* **1992**, *334*, 483. (b) Shestopalov, A.A.; Gromova, A.V.; Rodinovskaya, L. A.; Nikishin, K.G.; Litvinov, V.P.; Shestopalov, A. *Russ. Chem. Bl.* **2004**; *53*, 2353. (c) Moryashova, S.I.; Salamandra, L.K.; Fedorov, A.E.; Rodinovskaya, L.A.; Shestopalov, A.M.; Semenov, V.V. *Russ. Chem. Bl.* **1998**, *47*, 357.
- 74 Rodinovskaya, L.A.; Shestopalov, A.M. *Russ. Chem. Bl.* **2000**, *49*, 348
- 75 Aadil, M.; Kirsch, G. *Phosphorus, Sulfur and Silicon* **1993**, *82*, 91.
- 76 (a) Mariella, R.; Cope, A.; Krueger, J.; Marshall, D.; *Organic Syntheses* **1963**, *4*, 210. (b) Hardtmann, G. E.; Huegi, B.; Koletar, G.; Kroin, S.; Ott, H.; *J. Med. Chem.* **1974**, *17*, 636.
- 77 Kaminski, T. *Thèse, Université de Metz*, **2007**.
- 78 Hallas, G.; Towns, A. D. *Dyes and Pigments.* **1997**, *3*, 219
- 79 (a) Wright, J.B; *Chem. Rev.* **1951**, *48*, 397. (b) Preston, P.N. *Chem. Rev.* **1974**, *74*, 279.
- 80 Yang, D.; Fokas, D.; Li, J.; Libing, Y.; Baldino, C.M. *Synthesis*, **2005**, 47
- 81 (a) Spasov, A.A.; Yozhitsa, I.N.; Bugeava, L.I.; Anisimova, V.A. *Pham. Chem. J.* **1999**, *33*, 232. (b) Preston, P.N. *In the Chemistry of Heterocyclic compounds, Benzimidazoles and Congeneric Tricyclic compounds*, Vol 40, Part 2; John Wiley & Sons: New York, **1980**, Chap. 10.
- 82 Borza, I.; Bozo, E.; Barta-Szalai, G.; Kiss, C.; Tarkani, G.; Demeter, A.; Gati, T.; Hada, V.; Kolok, S.; Gere, A.; Fodor, L.; Nagy, J.; Gagoczy, K.; Magdo, I.; Bela, A.; Fetter, J.; Bertha, F.; Kerserü, G.M.; Horvath, C.; Farkas, S.; Greiner, I.; Domany, G. *J. Med. Chem.* **2007**, *50*, 901.
- 83 Fishwick, B. R.; Rowles, D. K.; Stirling, C.J.M. *J. Chem. Soc. Perkin Trans. 1*; **1986**; 1171.
- 84 Thomae, D.; Rodriguez Dominguez, J.C.; Kirsch, G.; Seck, P. *Tetrahedron* **2008**, *64*, 3232.
- 85 Morley, J; O.; Matthews, T. P. *Org. Biomol. Chem.* **2006**, *4*, 359.

- 86 Beers, S. A.; Malloy, E. A.; Wu, W.; Wachter, M.; Ansell, J.; Singer, M.; Steber, M.; Barbone, A.; Kirchner, T.; Ritchie, D.; Argentieri, D. *Bioorg. Med. Chem.* **1997**, *5*, 779.
- 87 (a) Gronowitz, S.; Gjos, N. *Acta Chem. Scand.* **1967**, *21*, 2823. (b) Gronowitz, S.; Gjos, N. *Acta Chem. Scand.* **1972**, *26*, 1851.
- 88 Lavenot, L.; Gozzi, C.; Ilg, K.; Orlova, I.; Penalva, V.; Lemaire, M. *J. Organomet. Chem.* **1998**, *567*, 49.
- 89 Gozzi, C.; Lavenot, L.; Ilg, K.; Penalva, V.; Lemaire, M. *Tetrahedron Letters*, **1997**, *38*, 8867.
- 90 Ohishi, Y.; Doi, Y.; Nakanishi, T. *Chem. Pharm. Bull.* **1984**, *32*, 4260.
- 91 Tromelin, A.; Demerseman, P.; Royer, R. *Synthesis*. **1985**, *11*, 1074.
- 92 (a) Ray, J.K.; Gupta, S.; Pan, D.; Kar, G.K. *Tetrahedron* **2001**, *57*, 7213. (b) El-Deen, I.M.; El-Fattah, M.A.; Ibrahim, H.K.; El-Gohary, A. *Phosphorus, Sulfur Silicon Relat. Elem.*; **2003**, *178*, 1463. (c) Reddy, G. J.; Latha, D.; Sailaja, S.; Pallavi, K.; Rao, K. S *Heterocycl. Commun.* **2004**, *10*, 411.
- 93 Chandra, R.; Kung, M.P.; Kung, H.F. *Bioorg. Med. Chem. Lett.* **2006**, *16*, 1350.
- 94 Cagniant, P.; Kirsch, G.; *C. R. Hebd. Seances Acad. Sci. Ser. C* **1975**, *281*, 35-38.
- 95 Rodriguez Dominguez, J.C.; Thomae, D.; Kirsch, G.; Seck, P. *Synlett* **2008**, 286.
- 96 Yang, D.; Fokas, D.; Li, J.; Libing, Y.; Baldino, C.M. *Synthesis*, **2005**, 47.
- 97 Francotte, P.; Grandorge, E.; Boverie, S.; De Tullio, P.; Pirotte, B. *Curr. Med. Chem.* **2004**, *11*, 1757.
- 98 Sivaprakasam, K. *Curr. Med. Chem.* **2004**, *11*, 1757
- 99 Pickhardt, M.; Biernat, J.; Khlitunova, I.; Wang, Y.P.; Gazova, Z.; Mandelkow, E.M.; Mandelkow, E. *Curr. Med. Chem.* **2007**, *4*, 397.
- 100 Cavalli, A.; Bolognesi, M.L.; Minarini, A.; Rosini, M.; Tumiatti, V.; Recanatini, M.; Melchiorre, C. *J. Med. Chem.* **2008**, *51*, 347.
- 101 Augry, F.; Darchy, J.; De Rotou, J.; Gulefi, M.C.; Forette, F. *J. Pharm. Clin.* **1997**, *16*, 183.
- 102 (a) Marco, J.L.; De Los Rios, C.; Carreiras, M. C.; Baños J.E.; Badia, A.; Vivas, N. M. *Bioorg. Med. Chem.* **2001**, *9*, 727. (b) Marco, J.L.; De Los Rios, C.; Garcia, A.G.; Villarroya, M.; Carreiras, M. C.; Martins, C.; Eléuterio, A.; Morreale, A.; Orozco, M.; Luque, F.J. ; *Bioorg. Med. Chem.* **2004**, *12*, 2199. (c) Léon, R.; Marco-Contelles J.; Garcia, A.G.; Villarroya, M. *Bioorg. Med. Chem.* **2005**, *13*, 1167. (d) Marco-Contelles J.; Léon, R.; De los Rios, C.; Garcia, A.G.; Lopez, M.G.; Villarroya, M. *Eur. J. Med. Chem.* **2006**, *41*, 1464.
- 103 Marco-Contelles J.; Léon, R.; De los Rios, C.; Guglietta, A.; Terencio, J.; Lopez, M.G.; Garcia, A.; Villarroya, M. *J. Med. Chem.* **2006**, *49*, 7607.
- 104 (a) Marco, J.L., Martinez Grau, A. *Bioorg. Med. Chem. Lett.* **1997**, *24*, 3165. (b) Marco-Contelles J.; Leon, R.; De los Rios, C.; Garcia, A.G.; Lopez, M.G.; Villarroya, M. *Bioorg. Med. Chem.* **2006**, *14*, 8176.
- 105 De Los Rios, C.; Marco, J.L.; Carreiras, M. C.; Chinchon, P.M.; Garcia, A. G.; Villarroya, M. *Bioorg. Med. Chem.* **2002**, *10*, 2077.
- 106 (a) Campbell, J.B; Firor, J.W *J. Org. Chem.* **1995**, *60*, 5243. (b). Barreiro, E.J; Camara, C.A.; Hugo Verli, H.; Brazil-Ma's, L.; Castro, N.G; Wagner M. Cintra, W.M.; Aracava, Y.; Carlos R. Rodrigues, C.R.; Fraga C.A.M. *J. Med. Chem.* **2003**, *46*, 1144.
- 107 Tabarini, O.; Ceccetti, V.; Temperani, A.; Filipponi, E.; Lamperti, M.G.; Fravolini, A.; *Bioorg. Med. Chem.* **2001**, *9*, 2921.
- 108 (a) Valenti, P.; Rampa, A.; Bisi, A.; Andrisano, V.; Cavrini, V.; Fin, L.; Buriani, A.; Giusti, P. *Bioorg. Med. Chem. Lett.* **1997**, *7*, 2599. (b) Rampa, A.; Bisi, A.; Belluti, F.; Gobbi, S.; Valenti, P.; Andrisano, V.; Cavrini, V.; Cavalli, A.; Recatini, M. *Bioorg. Med. Chem.* **2000**, *8*, 497.
- 109 Camps, P.; El Achab, R.; Morral, J.; Muñoz-Torrero, Bardia, A.; Eladi Baños, J; Vivas, N.M.; Barril, X.; Orozco, M.; Luque, F.J. *J. Med. Chem.* **2000**, *43*, 4657.
- 110 (a) Hu, M.K.; Wu, L.J.; Hsiao, G.H.; Yen, M.H. *J. Med. Chem.* **2002**, *45*, 2277. (b) Hu, M.K. *J. Pharm. Pharmacol.* **2001**, *53*, 83. (c) Bolognesi, M.L.; Cavalli, A.; Valgimigli, L.; Bartolini, M.; Rosini, M.; Andrisano, V.; Recanatini, M. Melchiorre, C. *J. Med. Chem.* **2007**, *50*, 6446.
- 111 (a) Fang, L.; Appenroth, D.; Decker, M.; Kiehntopf, M.; Roegler, C.; Deufel, T.; Fleck, C.; Peng, S.; Zhang, Y.; Lehmann, J. *J. Med. Chem.* **2008**, *51*, 713. (b) Petroianu, G.; Arafat, K.; Sasse, B. C.; Stark, H. *Pharmazie* **2006**, *61*, 179.
- 112 Chaki, H.; Yamabe, H.; Sugano, M.; Morita, S.; Bessho, T.; Tabata, R.; Saito, K-I.; Egawa, M.; Tobe, A.; Morinaka, Y.; *Bioorg. Med. Chem.* **1995**, *5*, 1495.
- 113 Tabarini, O.; Ceccetti, V.; Temperani, A.; Filipponi, E.; Lamperti, M.G.; Fravolini, A.; *Bioorg. Med. Chem.* **2001**, *9*, 2921
- 114 Seck, P.; Thomae D.; Kirsch, G. *J. Het. Chem.* **2008**, *acceptée*.
- 115 Friedländer, P. *Ber.* **1882**, *15*, 2572

- 116 Cheng, C. C.; Yan, S. *J. Org. React.* **1982**, *28*, 37.
- 117 (a) Li, A.H.; Ahmed E.; Chen, X.; Cox, M.; Cew, A.P.; Dong, H.Q.; Jin, M.; Ma, L.; Panicker, B.; Siu, K.W.; Steinig, A.G.; Solz, K.M.; Tavares, P.A.R.; Volk, B.; Weng, Q.; Werner, D.; Muhlvihiill, M.J. *Org. Biomol. Chem.* **2007**, *5*, 61. (b) Maguire, M.P.; Sheets, K.R, McVety, K.; Spada, A.P.; Zilberstein, A. *J. Med. Chem.* **1994**, *37*, 2129.
- 118 (a) Wang, G.W.; Jia, C.S.; Dong, Y.W. *Tetrahedron Lett.* **2006**, *47*, 1059. (b) Muscia, G.C.; Bollini, M.; Carnavale, J.P.; Bruno, A.M.; Asis, S.E. *Tetrahedron Lett.* **2006**, *47*, 8811.
- 119 Akue-Gedu, R.; Gautret, Lelieur, J.P.; Rigo, B. *Synthesis* **2007**, 331.
- 120 Palimkar, S.S.; Siddiqui, S.A.; Daniel, T.; Lahoti, R.J.; Srinivasan, K.V.J. *J. Org. Chem.* **2003**, *68*, 9371.
- 121 Li, J.; Shi, L.Z.D.; Wang, Q.L.D.; Wang, C. Zhang, O.; Zhang, L.; Fan, Y. *Synlett* **2008**, 233.
- 122 (a) Frideling, A.; Faure, R.; Galy, J.P.; Kenz, A.; Alkorta, I.; Elguero, J. *Eur. J. Med. Chem.* **2004**, *39*, 37. (b) Perreux, L.; Loupy, A. *Tetrahedron* **2001**, *57*, 9199. (c) Son, S.J.; Cho, S.J.; Park, D.K.; Kwon, T.W.; Jenekhe, S.A. *Tetrahedron Lett.* **2003**, *44*, 255. (d) Jia, C.S.; Zhang, Z.; Tu, S.J.; Wang, G.W. *Org. Biomol. Chem.* **2006**, *4*, 104.
- 123 Ellman, G.; Courtney, K.D.; Andres, V.; Featherstone, R.M. *Biochem. Pharmacol.* **1961**, *7*, 88.
- 124 A. Maul, *Environ. Monit. Assess.* 1992, *23*, 153.
- 125 Carlier, P.R.; Han, Y.F.; Chow, E.S.H.; Li, C.P.L.; Wang,H.; Lieu, T.X.; Wonga, H.S.; Pang, Y.P. *Bioorg. Med. Chem.* **1999**, *7*, 351.
- 126 Yang, D.; Fokas, D.; Libing, J.L.; Baldino, C.M. *Synthesis* **2005**, 47.
- 127 Hesse, S.; Perspicace, E.; Kirsch, G. *Tetrahedron Lett.* **2007**, *48*, 5261.
- 128 Munchhof, M. J.; Beebe, J. S.; Casavant, J. M.; Cooper, B. A.; Doty, J. L.; Higdon, R. C.; Hillerman, S. M.; Soderstrom, C. I.; Knauth, E. A.; Marx, M. A.; Rossi, A.M. K.; Sobolov, S. B.; Sun, J. *Bioorg. Med. Chem. Lett.* **2004**, *14*, 21.
- 129 Bodendorf, K.; Mayer, R. *Chem. Ber.* **1965**, *98*, 3554.
- 130 Weissenfels et al. *Z. Chem.* 1966, *6*, 471
- 131 Ziegenbein, W.; Lang, W. *Chem. Ber.* **1960**, *93*, 2743.
- 132 Patent; Upjohn; BE 643708; 1964; Chem.Abstr.; EN; 63; 9893f; 1965
- 133 Gardner, D.V.; McGreer, D.E. *Can. J. Chem.* **1970**, *48*, 2110
- 134 Gorelik, M.V.; Lomzakova, V.I.; *J.Org.Chem.USSR* **1978**, *14*, 981.
- 135 Hantzsch; Wolvekamp; *Justus Liebigs Ann. Chem.* **1904**, *331*, 279
- 136 Evers, R. *J. Prakt. Chem.* **1985**, *327*, 604.
- 137 Gewald, K.; Hain, U.; Hartung, P. *Monatsh. Chem.* **1981**, *112*, 1393.

Résumé

Nous avons repris et étendu les méthodologies bien connues au laboratoire. A partir des β -chloroacrylonitriles, nous avons pu synthétiser grâce une réaction séquentielle de nouveaux 3-amino-2-cyano thiophènes et sélénophènes. Appliquée à d'autres réactifs, cette méthode donne accès à de nouvelles 7-hydroxythiéno[3,2-b]pyridin-5(4H)-ones ainsi que des 3-amino-2-nitro thiophènes et sélénophènes. La voie de synthèse consistant à préparer des 3-aminothiophènes à partir de cétènes dithioacétals a été modifiée afin d'obtenir de nouveaux 3-amino-4-cyanothiophènes. Cette nouvelle méthode a pu être utilisée pour préparer des 4-amino-5-cyano[1,3]thiazoles en deux étapes à partir de la cyanamide.

La Tacrine a été le premier médicament utilisé aux États-Unis pour lutter contre la maladie d'Alzheimer. Sa forme commerciale (Cognex[®]) a été retiré du marché en 2004. Nous avons comme objectif de préparer de nouveaux analogues de la Tacrine à partir des analogues hétérocycliques de l'antranilonitrile et avoir la même activité que cette dernière tout en évitant les effets secondaires.

Summary

We have continued and extended a previous research about 3-aminothiophenes. From β -chloroacrylonitriles, we prepared new 3-amino-2-cyano thiophenes et selenophenes thanks a one-pot-three-steps procedure. Used with other reagents, this method allows the access to new 7-hydroxythieno[3,2-b]pyridin-5(4H)-ones and 3-amino-2-nitro thiophenes and selenophenes. By an other hand, we modified the synthesis of 3-aminothiophenes from ketene dithioacetals to obtain new 3-amino-4-cyanothiophenes. From cyanamide, we used this new method to prepare 4-amino-5-cyano[1,3]thiazoles in two steps.

Tacrine, sold under the name Cognex[®], was the first drug used in United States to fight Alzheimer Disease. Our objective is to prepare new heterocyclic analogues of Tacrine from the heterocyclic analogues of anthranilonitrile. We hope to have the same activity of Tacrine avoiding side effects.

Publications

Synthesis of Thiophene Analogues of the Tacrine Series

David Thomae,^a Gilbert Kirsch,^{*a} Pierre Seck^b

^a Laboratoire d'Ingénierie Moléculaire et Biochimie Pharmacologique, Institut Jean Barriol, FR CNRS 2843, Université Paul Verlaine-Metz, 1 Boulevard Arago, 57070 Metz, France
Fax +33(3)87325801; E-mail: kirsch@univ-metz.fr

^b Laboratoire de Chimie, Faculté des Sciences, de la Technologie et de la Communication Université du Luxembourg, 162a avenue de la Faïencerie, 1511 Luxembourg, Luxembourg

Received 29 November 2006; revised 11 January 2007

Abstract: 3-Amino-2-cyanothiophenes condensed with cyclanones and afforded analogues of Velnacrine in two or three steps. Condensation under Friedländer's conditions gave tacrine analogues in one step.

Key words: Alzheimer's disease, tacrine analogues, Friedländer reaction, condensation, aminothiophene carbonitrile

Alzheimer's disease is a form of dementia of older people that looks set to be a major problem in the coming decade.¹ One possible treatment is to inhibit acetylcholinesterase, which plays a role in the formation of the β -amyloid plaque. The first acetylcholinesterase inhibitor used in this context was tacrine (**I**), sold under the name COGNEX[®] (Figure 1). The hydroxy derivative of tacrine is velnacrine (**II**). In order to investigate the biological effects of structural modifications of tacrine, we wanted to synthesize a series of thiophene analogues, since it is widely recognized that thiophene is a bioisostere of benzene. As few analogues (**III**, **IV**) based on the thieno[2,3-*b*]quinoline moiety and 9-amino-5,6,7,8-tetrahydrothieno[3,2-*b*]quinoline have been described,² we chose to

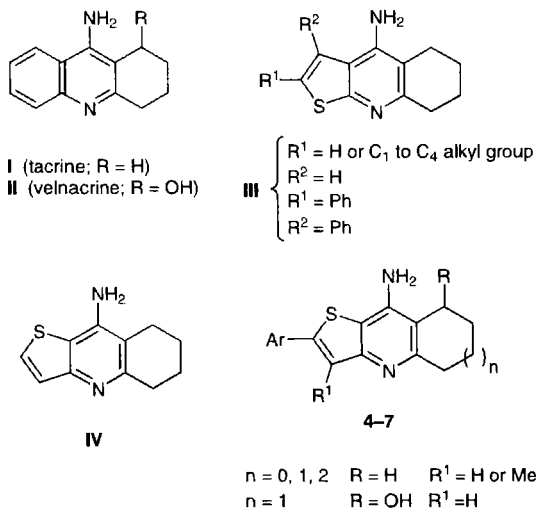
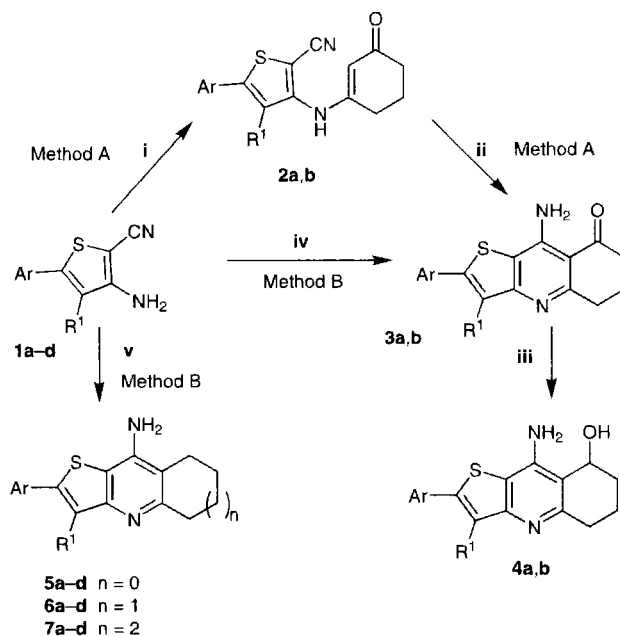


Figure 1 Structure of tacrine (**I**), velnacrine (**II**), thiophene analogues (**III** and **IV**) and the target thiophene analogues **4-7**.

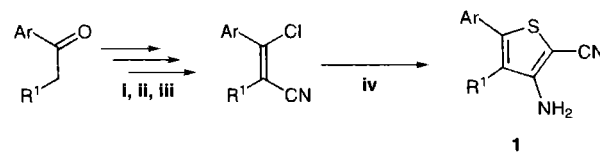


Scheme 1 Reagents and conditions: i) cyclohexan-1,3-dione, PTSA, toluene, reflux; ii) CuCl, base, DMF, reflux; iii) LiAlH₄, THF, reflux; iv) AlCl₃, cyclohexan-1,3-dione, DCE, reflux; v) AlCl₃, cyclic ketone, DCE, reflux.

prepare the hitherto unknown substituted thieno[3,2-*b*]quinoline series **4-7**. The proposed synthesis is shown in Scheme 1.

The synthesis started from 3-amino-2-cyano-5-arylthiophenes (**1**), which were prepared from the corresponding β -chloroacrylonitrile by a previously described method (Scheme 2).⁴⁻¹⁰ The yields obtained in the preparation of a range of thiophenes **1** are shown in Table 1.

The first approach to the tacrine derivatives **3** was made by applying a method developed by Tabarini et al. (Scheme 1; Method A).¹¹ In the first step, thiophenes **1** were condensed with cyclohexan-1,3-dione, in refluxing



Scheme 2 Reagents and conditions: i) POCl₃, DMF, 60 °C, 5 h; ii) hydroxylamine chloride, EtOH; iii) Ac₂O; iv) Na₂S·9H₂O, DMF, ClCH₂CN, NaOEt.

Table 1 Formation of Thiophenes **1**

Entry	β -Chloroacrylonitrile	Thiophene 1	Yield (%) ^a
a			93
b			95
c			95
d			95

^a Crude product, analytically pure and used without further purification.

toluene in the presence of *p*-toluenesulfonic acid, to give the corresponding enamines **2** in various yields. Enamines **2** were cyclized in the presence of cuprous chloride and either sodium methanolate or potassium carbonate, in refluxing DMF, to give the ketones **3** (Table 2). The latter were easily reduced by lithium aluminum hydride to the thiophene analogues of velnacrine **4**.

In a second approach, using Friedländer's conditions,¹¹ it was found that ketone **3** could be obtained directly from **1** (Scheme 1; Method B), with better yields than the two-step procedure. These conditions also allowed us to conduct the direct condensation of cyclanones as well as 1,3-diones. In this way, the rapid preparation of tacrine analogues **5a–d** was possible and, furthermore, the introduction of a range of ring sizes could also be achieved (Table 3).

In conclusion, 3-amino-5-aryl-2-thiophenecarbonitriles have been synthesized in four steps. The Friedländer reaction allowed very rapid access to the target molecules with good yields. Biological evaluation of the synthesized compounds, using Ellman's tests on acetylcholinesterase inhibition,¹³ are underway.

Melting points were determined on a Stuart SMP3 apparatus and are uncorrected. ¹H and ¹³C NMR spectra were recorded on a Bruker AC 250 MHz spectrometer in CDCl₃ or DMSO-*d*₆. Elemental anal-

yses were determined with a LECO CHNS 932 elemental analyzer. HRMS were determined on a Micromass Autospec 3F instrument.

Synthesis of 3-Amino-5-arylthiophenecarbonitriles **1a–d**; General Procedure

A suspension of Na₂S·9H₂O (0.06 mol, 1 equiv) in DMF (80 mL) was heated at 40 °C for 30 min. β -Chloroacrylonitrile (0.06 mol, 1 equiv) dissolved in DMF (20 mL) was added and the solution was heated at 50 °C for 50 min. Chloroacetonitrile (0.06 mol, 1 equiv) in DMF (1 mL) was added and the solution was stirred at 50 °C for 90 min. A solution of NaOEt (0.06 mol, 1 equiv) in absolute EtOH (40 mL) was added and the solution was stirred at 50 °C for 30 min (the reaction was monitored by TLC). The reaction mixture was then cooled to r.t. and poured into ice-water (150 mL). The precipitate was filtered and washed with cold H₂O to give the product which was used directly in the next step. A sample was taken and purified either by recrystallization (isopropanol) or by column chromatography for analysis.

3-Amino-5-(4-methylphenyl)-2-thiophenecarbonitrile (**1a**)

Purified by column chromatography (CH₂Cl₂).

Yield: 93%; yellow solid; mp 195–197 °C.

¹H NMR (250 MHz, CDCl₃): δ = 2.40 (s, 3 H, CH₃), 4.91 (s, 2 H, NH₂), 6.75 (s, 1 H, CH), 7.18 (d, *J* = 7.5 Hz, 2 H, 2 \times CH), 7.42 (d, *J* = 7.5 Hz, 2 H, 2 \times CH).

¹³C NMR (63 MHz, DMSO-*d*₆): δ = 21.32, 74.79, 115.70, 116.37, 125.97, 129.88, 130.22, 139.71, 148.89, 158.44.

Anal. Calcd for C₁₂H₁₀N₂S: C, 67.26; H, 4.70; N, 11.07. Found: C, 67.35; H, 4.67; N, 10.99.

Table 2 Yields of Formation of **2** and **3** from Thiophenes **1**

Entry	Enamine 2	Yield (%)	Entry	Ketone 3	Yield (%)	Overall yield (%) from 1
Method A						
a		11 ^c	a		81 ^a	9
b		71	b		38 ^b	27
Method B						
a			a		80	80
b			b		85	85

^a CuCl, NaOMe, DMF, reflux.^b CuCl, K₂CO₃, DMF, reflux.**Table 3** Yields of the Friedländer Reaction

Thiophene	Cyclanones	Tacrine analogue	Product	Yield (%)
			n = 0; 5a n = 1; 6a n = 2; 7a	87 88 80
			n = 0; 5b n = 1; 6b n = 2; 7b	98 97 97
			n = 0; 5c n = 1; 6c n = 2; 7c	88 89 85
			n = 0; 5d n = 1; 6d n = 2; 7d	76 89 98

3-Amino-5-(4-methoxyphenyl)-2-thiophenecarbonitrile (1b)

Yield: 95%; brown solid; mp 204–206 °C (isopropanol).

¹H NMR (250 MHz, DMSO-*d*₆): δ = 3.78 (s, 3 H, CH₃), 6.49 (s, 2 H, NH₂), 6.80 (s, 1 H, CH), 6.98 (d, *J* = 7.5 Hz, 2 H, 2 × CH), 7.52 (d, *J* = 7.5 Hz, 2 H, 2 × CH).¹³C NMR (63 MHz, DMSO-*d*₆): δ = 55.85, 74.24, 115.04, 115.18, 116.43, 125.27, 127.61, 148.75, 158.50, 160.71.Anal. Calcd for C₁₂H₁₀N₂OS: C, 62.59; H, 4.38; N, 12.16. Found: C, 62.32; H, 4.56; N, 12.47.**3-Amino-5-(4-chlorophenyl)-2-thiophenecarbonitrile (1c)**

Yield: 95%; brown solid; mp 184–186 °C (isopropanol).

¹H NMR (250 MHz, DMSO-*d*₆): δ = 6.58 (s, 2 H, NH₂), 6.94 (s, 1 H, CH), 7.48 (d, *J* = 7.5 Hz, 2 H, 2 × CH), 7.61 (d, *J* = 7.5 Hz, 2 H, 2 × CH).¹³C NMR (63 MHz, DMSO-*d*₆): δ = 75.50, 116.04, 116.76, 127.82, 129.75, 131.42, 134.37, 147.06, 158.36.Anal. Calcd for C₁₁H₇ClN₂S: C, 56.29; H, 3.01; N, 11.94. Found: C, 56.42; H, 3.15; N, 11.74.**3-Amino-5-(4-methoxyphenyl)-2-thiophenecarbonitrile (1d)**Purified by column chromatography (CH₂Cl₂).

Yield: 70%; yellow solid; mp 186–188 °C.

¹H NMR (250 MHz, DMSO-*d*₆): δ = 1.73 (s, 3 H, CH₃), 3.01 (s, 3 H, CH₃O), 5.16 (s, 2 H, NH₂), 6.18 (d, *J* = 7.5 Hz, 2 H, 2 × CH), 6.56 (d, *J* = 7.5 Hz, 2 H, 2 × CH).¹³C NMR (63 MHz, DMSO-*d*₆): δ = 12.38, 55.71, 114.66, 116.81, 123.54, 123.80, 125.42, 130.54, 143.19, 157.18, 160.14.Anal. Calcd for C₁₃H₁₂N₂OS: C, 63.91; H, 4.95; N, 11.47. Found: C, 63.69; H, 4.56; N, 11.12.**Preparation of 5-Aryl-3-[(3-oxo-1-cyclohexen-1-yl)amino]-2-thiophenecarbonitriles 2a,b; General Procedure (Method A)**A suspension of **1** (0.02 mol), cyclohexan-1,3-dione (0.02 mol) and PTSA·H₂O (0.67 mmol) in anhyd toluene (20 mL), was refluxed for 4 h in a Dean–Stark apparatus. The reaction mixture was then chilled to 0 °C and the product was filtered off, washed with cold toluene followed by cold cyclohexane, dried and recrystallized (EtOH–Et₂O, 1:1).**5-(4-Methylphenyl)-3-[(3-oxo-1-cyclohexen-1-yl)amino]-2-thiophenecarbonitrile (2a)**

Yield: 11%; orange solid; mp 232–234 °C.

¹H NMR (250 MHz, DMSO-*d*₆): δ = 1.91 (m, 2 H, CH₂), 2.19 (m, 2 H, CH₂), 2.33 (s, 3 H, CH₃), 2.54 (m, 2 H, CH₂), 5.25 (s, 1 H, CHCO), 7.33 (d, *J* = 7.5 Hz, 2 H, CH), 7.56 (s, 1 H, CH), 7.61 (d, *J* = 7.5 Hz, 2 H, CH), 9.42 (s, 1 H, NH).¹³C NMR (63 MHz, DMSO-*d*₆): δ = 21.38, 21.97, 28.23, 36.93, 94.85, 102.23, 113.93, 120.58, 126.39, 129.36, 130.47, 140.36, 148.36, 150.12, 161.77, 196.68.Anal. Calcd for C₁₈H₁₆N₂OS: C, 70.10; H, 5.23; N, 9.08. Found: C, 69.89; H, 5.23; N, 9.21.**5-(4-Methoxyphenyl)-3-[(3-oxo-1-cyclohexen-1-yl)amino]-2-thiophenecarbonitrile (2b)**

Yield: 71%; yellow solid; mp 224–226 °C.

¹H NMR (250 MHz, DMSO-*d*₆): δ = 1.90 (m, 2 H, CH₂), 2.19 (m, 2 H, CH₂), 2.53 (m, 2 H, CH₂), 3.79 (s, 3 H, CH₃), 5.25 (s, 1 H, CHCO), 7.01 (d, *J* = 7.5 Hz, 2 H, CH), 7.49 (s, 1 H, CH), 7.61 (d, *J* = 7.5 Hz, 2 H, CH), 9.41 (s, 1 H, NH).¹³C NMR (63 MHz, DMSO-*d*₆): δ = 21.97, 28.23, 36.91, 55.93, 94.25, 102.17, 114.01, 115.30, 119.86, 124.69, 128.06, 148.37, 150.08, 161.12, 161.84, 196.75.Anal. Calcd for C₁₈H₁₆N₂O₂S: C, 66.65; H, 4.97; N, 8.64. Found: C, 67.01; H, 5.14; N, 8.37.**Preparation of 9-Amino-2-(4-aryl)-6,7-dihydrothieno[3,2-*b*]quinolin-8(5*H*)-ones 3a,b; General Procedure (Method A)**NaOMe or K₂CO₃ (2.2 mmol) and CuCl (10.4 mmol) were added to a solution of **2** (10.4 mmol) in anhyd DMF (5 mL) and the mixture was heated at 80–90 °C for 4 h. After cooling, the reaction mixture was poured into ice-water containing sodium tartrate (15 mmol). The precipitate obtained was filtered and extracted several times with a mixture MeOH–EtOAc (1:1). The organic solution was dried (Na₂SO₄), filtered and the solvent was evaporated to give a solid which was purified by column chromatography (CH₂Cl₂–MeOH, 9:1).**Friedländer Reaction; General Procedure (Method B)**AlCl₃ (3.4 mmol for cyclanones, 6.8 mmol for 1,3-cyclohexanedi-one) was suspended in anhyd DCE (10 mL/mmol of AlCl₃) at r.t. under argon. The corresponding thiophene **1** (2 mmol) and the ketone (1.7 mmol) were added and the reaction mixture was heated under reflux for 12 h. When the reaction was complete (monitored by TLC), a mixture of THF–H₂O (2:1) was added at r.t. and NaOH (10%) was added dropwise until the solution became basic. After stirring for 30 min, the mixture was extracted with CH₂Cl₂ (3 × 30 mL) and the combined organic layers were dried (Na₂SO₄), filtered and the solvent was evaporated to give a solid which was purified by column chromatography (CH₂Cl₂–MeOH, 9:1).**9-Amino-2-(4-methylphenyl)-6,7-dihydrothieno[3,2-*b*]quinolin-8(5*H*)-one (3a)**

Column chromatography gave a brown solid; mp 220–222 °C.

Yield: 81% (Method A; NaOMe used as base).

Yield: 80% (Method B).

¹H NMR (250 MHz, DMSO-*d*₆): δ = 2.00 (m, 2 H, CH₂), 2.34 (s, 3 H, CH₃), 2.50 (m, 2 H, CH₂), 2.60 (m, 2 H, CH₂), 2.94 (s, 2 H, NH₂), 7.31 (d, *J* = 7.5 Hz, 2 H, 2 × CH), 7.64 (s, 1 H, CH), 7.69 (d, *J* = 7.5 Hz, 2 H, 2 × CH).¹³C NMR (63 MHz, DMSO-*d*₆): δ = 21.38, 21.94, 22.33, 34.30, 115.46, 121.60, 126.42, 130.41, 130.76, 132.95, 139.72, 149.48, 151.72, 158.41, 164.55, 201.92.Anal. Calcd for C₁₈H₁₆N₂OS: C, 70.10; H, 5.23; N, 9.08. Found: C, 70.26; H, 5.12; N, 8.77.**9-Amino-2-(4-methoxyphenyl)-6,7-dihydrothieno[3,2-*b*]quinolin-8(5*H*)-one (3b)**

Column chromatography gave a brown solid; mp 228–230 °C.

Yield: 38% (Method A; K₂CO₃ used as base).

Yield: 85% (Method B).

¹H NMR (250 MHz, CDCl₃): δ = 1.80 (s, 2 H, NH₂), 2.18 (m, 2 H, CH₂), 2.70 (m, 2 H, CH₂), 3.14 (m, 2 H, CH₂), 3.87 (s, 3 H, CH₃), 6.98 (d, *J* = 7.5 Hz, 2 H, 2 × CH), 7.58 (s, 1 H, CH), 7.64 (d, *J* = 7.5 Hz, 2 H, 2 × CH).¹³C NMR (63 MHz, DMSO-*d*₆): δ = 21.38, 21.99, 34.07, 55.90, 106.63, 115.27, 116.86, 120.47, 126.08, 127.99, 149.23, 151.43, 158.41, 160.78, 164.23, 201.52.HRMS: *m/z* calcd for C₁₈H₁₆N₂O₂S: 324.0932; found: 324.0930.**8-Amino-2-(4-methylphenyl)-6,7-dihydro-5*H*-cyclopenta[*b*]thieno[2,3-*e*]pyridine (5a)**

Yield: 87% (Method B); mp 180–182 °C.

¹H NMR (250 MHz, DMSO-*d*₆): δ = 2.04 (m, 2 H, CH₂), 2.33 (s, 3 H, CH₃), 2.77 (m, 2 H, CH₂), 2.85 (m, 2 H, CH₂), 6.26 (s, 2 H, NH₂), 7.27 (d, *J* = 7.5 Hz, 2 H, 2 × CH), 7.60 (s, 1 H, CH), 7.64 (d, *J* = 7.5 Hz, 2 H, 2 × CH).

¹³C NMR (63 MHz, DMSO-*d*₆): δ = 21.32, 23.06, 27.93, 34.37, 114.67, 116.36, 120.65, 126.04, 130.26, 131.54, 138.65, 144.22, 145.37, 157.08, 164.43.

Anal. Calcd for C₁₇H₁₆N₂S: C, 72.82; H, 5.75; N, 9.99. Found: C, 72.57; H, 5.59; N, 9.98.

9-Amino-2-(4-methylphenyl)-5,6,7,8-tetrahydrothieno[3,2-*b*]quinoline (6a)

Yield: 88% (Method B); mp 186–188 °C.

¹H NMR (250 MHz, DMSO-*d*₆): δ = 1.78 (m, 2 H, CH₂), 1.80 (m, 2 H, CH₂), 2.33 (s, 3 H, CH₃), 2.55 (m, 2 H, CH₂), 2.77 (m, 2 H, CH₂), 6.20 (s, 2 H, NH₂), 7.27 (d, *J* = 7.5 Hz, 2 H, 2 × CH), 7.57 (s, 1 H, CH), 7.64 (d, *J* = 7.5 Hz, 2 H, 2 × CH).

¹³C NMR (63 MHz, DMSO-*d*₆): δ = 21.29, 22.91, 23.05, 23.75, 32.94, 110.17, 111.88, 120.13, 126.15, 130.28, 131.41, 138.85, 144.85, 147.44, 154.46, 154.80.

Anal. Calcd for C₁₈H₁₈N₂S: C, 73.43; H, 6.16; N, 9.51. Found: C, 73.41; H, 5.84; N, 9.66.

10-Amino-2-(4-methylphenyl)-6,7,8,9-tetrahydro-5*H*-cyclohepta[*b*]thieno[2,3-*e*]pyridine (7a)

Yield: 80% (Method B); mp 188–190 °C.

¹H NMR (250 MHz, DMSO-*d*₆): δ = 1.53 (m, 2 H, CH₂), 1.58 (m, 2 H, CH₂), 1.78 (m, 2 H, CH₂), 2.33 (s, 3 H, CH₃), 2.75 (t, 2 H, CH₂), 2.92 (m, 2 H, CH₂), 6.12 (s, 2 H, NH₂), 7.27 (d, *J* = 7.5 Hz, 2 H, 2 × CH), 7.58 (s, 1 H, CH), 7.64 (d, *J* = 7.5 Hz, 2 H, 2 × CH).

¹³C NMR (63 MHz, DMSO-*d*₆): δ = 21.25, 25.30, 26.93, 27.84, 32.17, 32.30, 115.41, 117.40, 120.56, 126.04, 130.21, 131.39, 138.68, 144.45, 146.30, 154.07, 162.10

Anal. Calcd for C₁₉H₂₀N₂S: C, 73.99; H, 6.54; N, 9.08. Found: C, 73.48; H, 6.84; N, 9.27.

8-Amino-2-(4-methoxyphenyl)-6,7-dihydro-5*H*-cyclopenta[*b*]thieno[2,3-*e*]pyridine (5b)

Yield: 98% (Method B); mp 180–182 °C.

¹H NMR (250 MHz, DMSO-*d*₆): δ = 2.21 (m, 2 H, CH₂), 2.85 (m, 2 H, CH₂), 3.07 (m, 2 H, CH₂), 3.85 (s, 3 H, CH₃), 6.28 (s, 2 H, NH₂), 6.96 (d, *J* = 8.8 Hz, 2 H, 2 × CH), 7.50 (s, 1 H, CH), 7.64 (d, *J* = 8.8 Hz, 2 H, 2 × CH).

¹³C NMR (63 MHz, DMSO-*d*₆): δ = 23.05, 27.93, 34.35, 55.77, 114.58, 115.09, 116.12, 119.80, 126.87, 127.52, 144.21, 145.40, 157.14, 160.12, 164.25.

HRMS: *m/z* calcd for C₁₇H₁₆N₂OS: 296.0983; found: 296.0982.

9-Amino-2-(4-methoxyphenyl)-5,6,7,8-tetrahydrothieno[3,2-*b*]quinoline (6b)

Yield: 97% (Method B); mp 186–188 °C.

¹H NMR (250 MHz, DMSO-*d*₆): δ = 1.79 (m, 2 H, CH₂), 1.80 (m, 2 H, CH₂), 2.25 (m, 2 H, CH₂), 2.78 (m, 2 H, CH₂), 3.82 (s, 3 H, CH₃), 6.16 (s, 2 H, NH₂), 7.06 (d, *J* = 8.8 Hz, 2 H, 2 × CH), 7.50 (s, 1 H, CH), 7.71 (d, *J* = 7.5 Hz, 2 H, 2 × CH).

¹³C NMR (63 MHz, DMSO-*d*₆): δ = 22.95, 23.15, 23.73, 33.30, 55.74, 109.94, 115.04, 115.53, 119.90, 126.84, 127.49, 144.11, 146.88, 155.13, 155.36, 160.07.

HRMS: *m/z* calcd for C₁₈H₁₈N₂OS: 310.1140; found: 310.1160.

10-Amino-2-(4-methoxyphenyl)-6,7,8,9-tetrahydro-5*H*-cyclohepta[*b*]thieno[2,3-*e*]pyridine (7b)

Yield: 97% (Method B); mp 190–192 °C.

¹H NMR (250 MHz, DMSO-*d*₆): δ = 1.73 (m, 2 H, CH₂), 1.75 (m, 2 H, CH₂), 2.48 (m, 2 H, CH₂), 2.74 (m, 2 H, CH₂), 3.08 (m, 2 H, CH₂), 3.85 (s, 3 H, CH₃), 4.14 (s, 2 H, NH₂), 6.96 (d, *J* = 9.0 Hz, 2 H, 2 × CH), 7.49 (s, 1 H, CH), 7.64 (d, *J* = 9.0 Hz, 2 H, 2 × CH).

¹³C NMR (63 MHz, DMSO-*d*₆): δ = 25.40, 27.09, 28.01, 32.31, 32.55, 55.82, 115.12, 115.31, 117.20, 120.28, 126.94, 127.54, 144.053, 146.04, 154.81, 162.39.

HRMS: *m/z* calcd for C₁₉H₂₀N₂OS: 324.1296; found: 324.1308.

8-Amino-2-(4-chlorophenyl)-6,7-dihydro-5*H*-cyclopenta[*b*]thieno[2,3-*e*]pyridine (5c)

Yield: 88% (Method B); mp 189–191 °C.

¹H NMR (250 MHz, DMSO-*d*₆): δ = 2.06 (m, 2 H, CH₂), 2.79 (t, 2 H, CH₂), 2.86 (m, 2 H, CH₂), 6.27 (s, 2 H, NH₂), 7.52 (d, *J* = 7.5 Hz, 2 H, 2 × CH), 7.71 (s, 1 H, CH), 7.79 (d, *J* = 7.5 Hz, 2 H, 2 × CH).

¹³C NMR (63 MHz, DMSO-*d*₆): δ = 27.94, 31.20, 34.42, 114.93, 116.88, 122.16, 127.79, 129.71, 133.24, 133.48, 142.45, 145.31, 157.11, 164.87.

HRMS: *m/z* calcd for C₁₆H₁₃ClN₂S: 300.0487; found: 300.0497.

9-Amino-2-(4-chlorophenyl)-5,6,7,8-tetrahydrothieno[3,2-*b*]quinoline (6c)

Yield: 89% (Method B); mp 190–192 °C.

¹H NMR (250 MHz, DMSO-*d*₆): δ = 1.77 (m, 4 H, CH₂), 2.50 (m, 2 H, CH₂), 2.78 (m, 2 H, CH₂), 6.15 (s, 2 H, NH₂), 7.54 (d, *J* = 7.5 Hz, 2 H, 2 × CH), 7.69 (s, 1 H, CH), 7.79 (d, *J* = 7.5 Hz, 2 H, 2 × CH).

¹³C NMR (63 MHz, DMSO-*d*₆): δ = 22.86, 23.05, 23.75, 33.19, 110.34, 116.26, 121.88, 127.78, 129.64, 133.08, 133.50, 142.73, 147.12, 154.81, 155.39.

HRMS: *m/z* calcd for C₁₇H₁₅ClN₂S: 314.0644; found: 314.0651.

10-Amino-2-(4-chlorophenyl)-6,7,8,9-tetrahydro-5*H*-cyclohepta[*b*]thieno[2,3-*e*]pyridine (7c)

Yield: 85% (Method B); mp 191–193 °C.

¹H NMR (250 MHz, DMSO-*d*₆): δ = 1.58 (m, 2 H, CH₂), 1.60 (m, 2 H, CH₂), 1.81 (m, 2 H, CH₂), 2.78 (m, 2 H, CH₂), 2.94 (m, 2 H, CH₂), 6.14 (s, 2 H, NH₂), 7.54 (d, *J* = 7.5 Hz, 2 H, 2 × CH), 7.71 (s, 1 H, CH), 7.79 (d, *J* = 7.5 Hz, 2 H, 2 × CH).

¹³C NMR (63 MHz, DMSO-*d*₆): δ = 25.36, 26.99, 27.90, 32.21, 32.84, 115.64, 117.92, 122.39, 127.44, 127.76, 129.64, 133.19, 142.43, 146.05, 154.48, 162.70.

HRMS: *m/z* calcd for C₁₈H₁₇ClN₂S: 328.0800; found: 328.0797.

8-Amino-2-(4-methoxyphenyl)-3-methyl-6,7-dihydro-5*H*-cyclopenta[*b*]thieno[2,3-*e*]pyridine (5d)

Yield: 76% (Method B); mp 207–209 °C.

¹H NMR (250 MHz, DMSO-*d*₆): δ = 2.38 (s, 3 H, CH₃), 2.71 (m, 2 H, CH₂), 2.80 (m, 2 H, CH₂), 2.88 (m, 2 H, CH₂), 3.80 (s, 3 H, CH₃O), 6.21 (s, 1 H, NH₂), 7.09 (d, *J* = 7.5 Hz, 2 H, 2 × CH), 7.52 (d, *J* = 7.5 Hz, 2 H, 2 × CH).

¹³C NMR (63 MHz, DMSO-*d*₆): δ = 12.96, 23.05, 27.82, 34.30, 55.70, 114.85, 114.96, 115.73, 127.24, 127.95, 130.45, 130.55, 138.13, 145.41, 159.52, 163.48

HRMS: *m/z* calcd for C₁₈H₁₆N₂OS: 310.1139; found: 310.1146.

9-Amino-2-(4-methoxyphenyl)-3-methyl-5,6,7,8-tetrahydrothieno[3,2-*b*]quinoline (6d)

Yield: 98% (Method B); mp 210–212 °C.

¹H NMR (250 MHz, DMSO-*d*₆): δ = 1.68 (m, 2 H, CH₂), 1.81 (m, 2 H, CH₂), 2.37 (s, 3 H, CH₃), 2.65 (m, 2 H, CH₂), 2.83 (m, 2 H, CH₂), 3.83 (s, 3 H, CH₃O), 6.06 (s, 1 H, NH₂), 7.06 (d, *J* = 7.5 Hz, 2 H, 2 × CH), 7.71 (d, *J* = 7.5 Hz, 2 H, 2 × CH).¹³C NMR (63 MHz, DMSO-*d*₆): δ = 12.86, 23.23, 23.71, 33.43, 36.45, 55.69, 110.30, 114.79, 115.24, 127.33, 128.07, 130.21, 130.42, 137.92, 146.94, 154.57, 159.50.Anal. Calcd for C₁₉H₂₀N₂OS: C, 70.34; H, 6.21; N, 8.63. Found: C, 70.22; H, 6.04; N, 8.87.**10-Amino-2-(4-chlorophenyl)-3-methyl-6,7,8,9-tetrahydro-5H-cyclohepta[*b*]thieno[2,3-*e*]pyridine (7d)**

Yield: 98% (Method B); mp 211–213 °C.

¹H NMR (250 MHz, DMSO-*d*₆): δ = 1.68 (m, 2 H, CH₂), 1.74 (m, 2 H, CH₂), 1.81 (m, 2 H, CH₂), 2.37 (s, 3 H, CH₃), 2.65 (m, 2 H, CH₂), 2.83 (m, 2 H, CH₂), 3.83 (s, 3 H, CH₃O), 6.06 (s, 1 H, NH₂), 7.06 (d, *J* = 7.5 Hz, 2 H, 2 × CH), 7.71 (d, *J* = 7.5 Hz, 2 H, 2 × CH).¹³C NMR (63 MHz, DMSO-*d*₆): δ = 12.62, 12.87, 27.00, 27.87, 30.49, 32.20, 55.77, 114.88, 115.79, 116.92, 130.57, 132.06, 132.18, 138.52, 146.56, 152.87, 159.64, 161.40.HRMS: *m/z* calcd for C₂₀H₂₂N₂S: 338.1452; found: 338.1484.**Preparation of 9-Amino-2-aryl-5,6,7,8-tetrahydrothieno[3,2-*b*]quinolin-8-ols 4a,b; General Procedure**

A solution of LiAlH₄ (1.6 mmol) in anhyd THF (20 mL) was added dropwise to a solution of **3** (1 mmol) in anhyd THF (20 mL) maintained at 0 °C under argon atmosphere. After the addition, the reaction mixture was refluxed for 1 h, then quenched by the addition of 10% HCl (2 mL). The mixture was made basic with 30% NaOH and extracted with EtOAc (3 × 20 mL). The combined organic layers were dried (Na₂SO₄) and evaporated to dryness to give a solid which was purified by column chromatography (CH₂Cl₂–MeOH, 9:1).

9-Amino-2-(4-methylphenyl)-5,6,7,8-tetrahydrothieno[3,2-*b*]quinolin-8-ol (4a)

Yield: 75%; brown solid; mp 225–227 °C.

¹H NMR (250 MHz, CDCl₃ + DMSO-*d*₆): δ = 1.47 (m, 2 H, CH₂), 1.88 (m, 2 H, CH₂), 2.05 (m, 2 H, CH₂), 2.71 (s, 3 H, CH₃), 4.38 (m, 1 H, CHO), 5.48 (s, 1 H, OH), 6.40 (s, 2 H, NH₂), 6.95 (s, 1 H, CH), 6.72 (d, *J* = 7.5 Hz, 2 H, 2 × CH), 7.06 (d, *J* = 7.5 Hz, 2 H, 2 × CH).¹³C NMR (63 MHz, DMSO-*d*₆): δ = 18.33, 21.35, 32.93, 33.15, 63.11, 112.95, 116.58, 119.93, 126.232, 130.32, 131.18, 139.11, 146.04, 149.04, 154.95, 155.34.Anal. Calcd for C₁₈H₁₈N₂O₂S: C, 69.65; H, 5.84; N, 9.02. Found: C, 69.70; H, 5.70; N, 8.79.**9-Amino-2-(4-methoxyphenyl)-5,6,7,8-tetrahydrothieno[3,2-*b*]quinolin-8-ol (4b)**

Yield: 72%; brown solid; mp 225–228 °C.

¹H NMR (250 MHz, DMSO-*d*₆): δ = 1.55 (m, 2 H, CH₂), 2.11 (m, 2 H, CH₂), 2.37 (m, 2 H, CH₂), 3.39 (s, 3 H, CH₃O), 4.23 (m, 1 H, CHO), 5.46 (s, 1 H, OH), 6.19 (s, 2 H, NH₂), 6.94 (s, 1 H, CH), 6.52 (d, *J* = 7.5 Hz, 2 H, 2 × CH), 7.18 (d, *J* = 7.5 Hz, 2 H, 2 × CH).¹³C NMR (63 MHz, DMSO-*d*₆): δ = 18.54, 33.32, 33.52, 55.82, 63.37, 112.75, 115.13, 116.31, 119.85, 126.70, 127.65, 145.21, 148.53, 155.76, 156.40, 160.27.HRMS: *m/z* calcd for C₁₈H₁₈N₂O₂S: 326.1089; found: 326.1089.**Acknowledgment**

We thank the 'Ministère de l'Éducation Nationale, de l'Enseignement Supérieur et de la Recherche' for a PhD grant to D.T. We thank also the Université du Luxembourg for financial support to P.S.

References

- (1) Francotte, P.; Grandorge, E.; Boverie, S.; De Tullio, P.; Pirote, B. *Curr. Med. Chem.* **2004**, *11*, 1757.
- (2) Chaki, H.; Yamabe, H.; Sugano, M.; Morita, S.; Bessho, T.; Tabata, R.; Saito, K.-I.; Egawa, M.; Tobe, A.; Morinaka, Y. *Bioorg. Med. Chem.* **2004**, *12*, 2199.
- (3) Marco, J. L.; De Los Rios, C.; Garcia, A.; Villarroya, M.; Carreiras, C.; Martins, C.; Eleutério, A.; Morreale, A.; Orozco, M.; Luque, F. J. *Bioorg. Med. Chem.* **2004**, *12*, 2199.
- (4) Ren, W.-Y.; Rao, K.; Kein, R. *J. Heterocycl. Chem.* **1986**, *23*, 1757.
- (5) Vega, S.; Gil, M. S. *J. Heterocycl. Chem.* **1991**, *28*, 1757.
- (6) Hartmann, H.; Liebscher, J. *Synthesis* **1984**, 275.
- (7) Hartmann, H.; Liebscher, J. *Synthesis* **1984**, 276.
- (8) Liebscher, J.; Neumann, B.; Hartmann, H. *J. Prakt. Chem.* **1983**, *325*, 915.
- (9) Hartmann, H.; Liebscher, J. *Synthesis* **1979**, 241.
- (10) Migianu, E.; Kirsch, G. *Synthesis* **2002**, 1096.
- (11) Tabarini, O.; Ceccetti, V.; Temperani, A.; Filippini, E.; Lamperti, M. G.; Fravolini, A. *Bioorg. Med. Chem.* **2001**, *9*, 2921.
- (12) (a) Leon, R.; Marco-Contelles, J.; Garcia, A. G.; Villarroya, M. *Bioorg. Med. Chem.* **2005**, *13*, 1167. (b) Marco, J. L.; De Los Rios, C.; Carreiras, C.; Baños, J. E.; Badia, A.; Vivas, N. M. *Bioorg. Med. Chem.* **2001**, *9*, 727. (c) Grau, A. M.; Marco, J. L. *Bioorg. Med. Chem.* **1997**, *24*, 3165.
- (13) Ellman, G. L.; Courtney, K. D.; Andres, V.; Feather-Stone, R. M. *Biochem. Pharmacol.* **1961**, *7*, 88.

One-Pot Synthesis of 7-Hydroxythieno[3,2-*b*]pyridin-5(4*H*)-ones

David Thomae,^a Gilbert Kirsch,^{*a} Pierre Seck,^b Thomas Kaminski^a

^a Laboratoire d'Ingénierie Moléculaire et Biochimie Pharmacologique, Institut Jean Barriol, Université Paul Verlaine-Metz, 1 Boulevard Arago, 57070 Metz, France

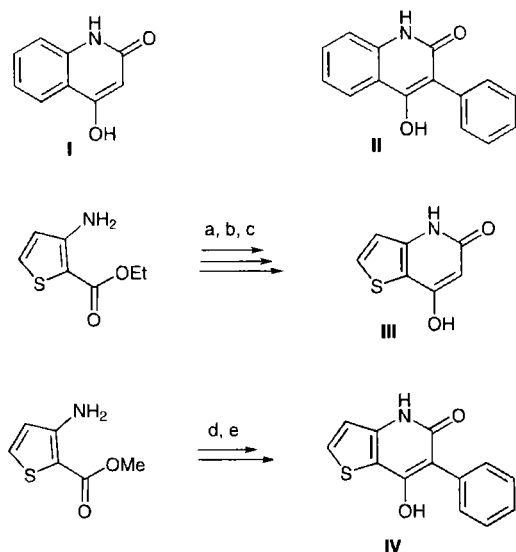
^b Laboratoire de Chimie, Faculté des Sciences, de la Technologie et de la Communication, Université du Luxembourg, 162a avenue de la Faiënerie, 1511 Luxembourg, Luxembourg
Fax +33(3)87325801; E-mail: kirsch@sciences.univ-metz.fr

Received 4 May 2007; revised 11 May 2007

Abstract: Substituted 7-hydroxythieno[3,2-*b*]pyridin-5(4*H*)-ones were prepared from the corresponding β -chloropropenitriles in one step.

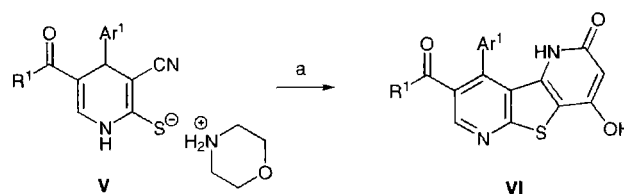
Key words: 7-hydroxythieno[3,2-*b*]pyridin-5(4*H*)-one, β -substituted β -chloropropenitrile, ethyl 4-chloroacetoacetate, NMDA receptor

4-Hydroxy-2(1*H*)-quinolinones (**I**) are well known and have been studied by several groups.¹ Moreover, 4-hydroxy-3-phenyl-2(1*H*)-quinolinones (**II**) belong to the most potent inhibitors of glycine binding to the *N*-methyl-D-aspartate (NMDA) receptor² (Scheme 1). However, only two examples of 7-hydroxythieno[3,2-*b*]pyridin-5(4*H*)-one (**III** and **IV**) have been described.^{3,4} Furthermore, the synthesis of **III** and **IV** requires at least two steps, starting from ethyl or methyl-3-amino-2-thiophenecarboxylate (Scheme 1).



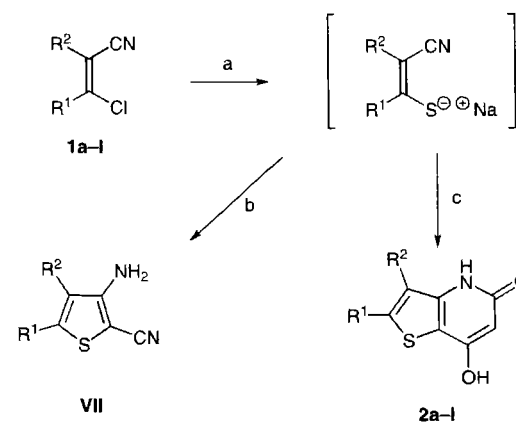
Scheme 1 Reagents and conditions: (a) AcO_2 , reflux; (b) NaH, DMF; (c) hydrolysis, reflux; (d) PhCH_2COCl , dioxane; (e) $\text{KN}[\text{Si}(\text{CH}_3)_3]_2$, THF.

On the other hand, Rodinovskya et al.,⁵ showed that the synthesis of 4-hydroxy-7-methylpyridino[2,3-*d*]thieno[3,2-*b*]pyridin-2(1*H*)-one (**VI**) was possible in one step (Scheme 2). The starting material was the salt of 2-thioxo-1,2-dihydro-3-pyridinecarbonitrile (**V**).



Scheme 2 Reagents and conditions: (a) $\text{ClCH}_2\text{COCH}_2\text{COOEt}$, KOH, EtOH, reflux.

Recently, we published the synthesis of substituted 3-amino-2-cyanothiophenes,⁶ starting from the corresponding β -substituted β -chloropropenitrile (Scheme 3).⁷⁻¹¹



Scheme 3 Reagents and conditions: (a) $\text{Na}_2\text{S}\cdot 9\text{H}_2\text{O}$, DMF, 40 °C; (b) ClCH_2CN , EtONa, 60 °C; (c) $\text{ClCH}_2\text{COCH}_2\text{COOEt}$, EtONa, 60 °C.

In this work, we show the possibility of the rapid synthesis of 7-hydroxythieno[3,2-*b*]pyridin-5(4*H*)-ones and related compounds, in a one-pot synthesis, from the corresponding β -substituted β -chloropropenitriles. The reaction occurred smoothly in a one-pot, three-step procedure by reaction of **1** with sodium sulfide followed by substitution of the intermediate sodium salt with ethyl 4-chloroac-

Table 1 Formation of 2-Substituted Hydroxythieno[3,2-*b*]pyridinones **2a–h** and 2,3-Disubstituted Hydroxythieno[3,2-*b*]pyridinones **2i–l**

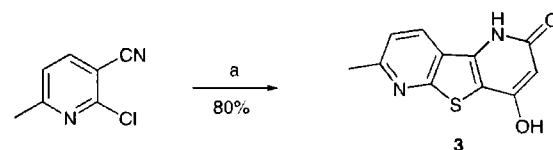
Entry	β -Chloropropeno-nitrile 1	Hydroxythieno[3,2- <i>b</i>]pyridinone 2	Yield (%)
a			72
b			74
c			80
d			95
e			88
f			98
g			80
h			70
i			76
j			2
k		mixture of products	0
l		mixture of products	0

^a Crude product, analytically pure.

Synthesis 2007, No. 14, 2153–2156 © Thieme Stuttgart · New York

toacetate. Cyclisation under basic conditions and hydrolysis, afforded the final compounds in yields ranging from 72% to 98% (Table 1). However, when α,β -disubstituted β -chloropropenenitriles **1j–l** were reacted under the same conditions, target compounds **2j–l** were either not obtained (only an inseparable mixture of derivatives was isolated) or, in the case of **1j**, **2j** was obtained in only a trace amount (Table 1). This may be related to a problem of steric hindrance, which has already been shown in an earlier publication.¹² This problem does not occur when the α -substituted β -chloropropenenitrile is rigid (**1i**).

We have extended this reaction to 2-chloro-6-methylnicotinonitrile¹³ through the use of potassium carbonate, instead of sodium ethanolate, in order to avoid reaction of the ethanolate at the activated position of the starting material (Scheme 4). The expected product **3** was thus obtained in 80% yield.



Scheme 4 Reagents and conditions: (a) $\text{Na}_2\text{S}\cdot 9\text{H}_2\text{O}$, DMF, $\text{ClCH}_2\text{COCH}_2\text{COOEt}$, K_2CO_3 .

In conclusion, we have synthesized in an easy, one-pot reaction, novel 7-hydroxythieno[3,2-*b*]pyridin-5(4*H*)-ones, starting from β -substituted β -chloropropenenitrile. We have also shown that an extension to 2-chloronicotinonitrile was possible.

Melting points were determined on a Stuart SMP3 apparatus and are uncorrected. ¹H and ¹³C NMR spectra were recorded on a AC Bruker 250 MHz spectrometer in $\text{DMSO}-d_6$. Elemental analyses were determined with a ThermoFinnigan FlashEA 1112. IR spectra were collected on a Perkin–Elmer Spectrum BX FT-IR spectrophotometer.

Synthesis of Substituted 7-Hydroxythieno[3,2-*b*]pyridinones **2a–j**; General Procedure

A suspension of sodium sulfide nonahydrate (0.01 mol, 1 equiv) in DMF (14 mL) was heated at 40 °C for 30 min. β -Substituted β -chloropropenenitrile (0.01 mol, 1 equiv) dissolved in DMF (4 mL) was added in one portion and the solution was heated at 60 °C for 90 min. Ethyl 4-chloroacetoacetate (0.01 mol, 1 equiv) in DMF (1 mL) was added and the solution was stirred at 60 °C for 90 min. A solution of NaOEt (0.02 mol, 2 equiv) in absolute EtOH (14 mL) was added in one portion and the solution was stirred at 60 °C for 30 min. The reaction was monitored by TLC. The reaction mixture was cooled to r.t. and poured into iced H_2O (150 mL). The pH was adjusted to 1 with HCl (37%) and the precipitate was filtered and washed with cold H_2O (2×25 mL). A suspension of the product in Et_2O (25 mL) was heated to reflux for 30 min then the solid was filtered while hot and washed with Et_2O (2×25 mL).

7-Hydroxy-2-phenylthieno[3,2-*b*]pyridin-5(4*H*)-one (**2a**)

Yield: 72%; brown solid; mp 220–222 °C (dec.).

IR (KBr): 2814 (br s), 1621 (s), 1516 (s) cm^{-1} .

¹H NMR (250 MHz, $\text{DMSO}-d_6$): δ = 5.61 (s, 1 H, CH), 7.28 (s, 1 H, CH), 7.50 (m, 3 H, 3 \times CH), 7.72 (d, J = 7.5 Hz, 2 H, 2 \times CH), 11.52 (s, 1 H, NH), 11.78 (s, 1 H, OH).

^{13}C NMR (62.5 MHz, DMSO- d_6): δ = 95.42, 112.90, 118.15, 125.71, 129.08, 129.32, 132.66, 137.95, 145.54, 161.48, 164.04.

Anal. calcd for $\text{C}_{13}\text{H}_9\text{NO}_2\text{S}$: C, 64.18; H, 3.73; N, 5.76. Found: C, 64.32; H, 3.59; N, 5.61.

7-Hydroxy-2-(4-methylphenyl)thieno[3,2-*b*]pyridin-5(4*H*)-one (2b)

Yield: 74%; brown solid; mp 204–206 °C (dec.).

IR (KBr): 2916 (br s), 1620 (s), 1523 (s) cm^{-1} .

^1H NMR (250 MHz, DMSO- d_6): δ = 2.33 (s, 3 H, CH_3), 5.56 (s, 1 H, CH), 7.19 (s, 1 H, CH), 7.26 (d, J = 7.5 Hz, 2 H, 2 \times CH), 7.58 (d, J = 7.5 Hz, 2 H, 2 \times CH), 11.43 (s, 1 H, NH), 11.58 (s, 1 H, OH).

^{13}C NMR (62.5 MHz, DMSO- d_6): δ = 20.80, 93.27, 112.48, 125.91, 129.46, 129.90, 130.31, 139.46, 143.94, 149.05, 162.99, 163.68.

Anal. calcd for $\text{C}_{14}\text{H}_{11}\text{NO}_2\text{S}$: C, 65.35; H, 4.31; N, 5.44. Found: C, 65.23; H, 4.51; N, 5.72.

7-Hydroxy-2-(4-methoxyphenyl)thieno[3,2-*b*]pyridin-5(4*H*)-one (2c)

Yield: 80%; brown solid; mp 208–210 °C (dec.).

IR (KBr): 2835 (br s), 1667 (s), 1538 (s) cm^{-1} .

^1H NMR (250 MHz, DMSO- d_6): δ = 3.79 (s, 3 H, CH_3), 5.55 (s, 1 H, CH), 7.01 (d, J = 10 Hz, 2 H, 2 \times CH), 7.12 (s, 1 H, CH), 7.63 (d, J = 10 Hz, 2 H, 2 \times CH), 11.42 (s, 1 H, NH), 11.58 (s, 1 H, OH).

^{13}C NMR (62.5 MHz, DMSO- d_6): δ = 55.30, 94.43, 110.44, 111.73, 114.69, 125.14, 129.68, 143.94, 147.24, 160.05, 162.32, 163.71.

Anal. calcd for $\text{C}_{14}\text{H}_{11}\text{NO}_3\text{S}$: C, 61.52; H, 4.06; N, 5.12. Found: C, 61.75; H, 4.37; N, 5.19.

7-Hydroxy-2-(4-chlorophenyl)thieno[3,2-*b*]pyridin-5(4*H*)-one (2d)

Yield: 95%; brown solid; mp 218–220 °C (dec.).

IR (KBr): 2819 (br s), 1672 (s), 1515 (s) cm^{-1} .

^1H NMR (250 MHz, DMSO- d_6): δ = 5.63 (s, 1 H, CH), 7.27 (s, 1 H, CH), 7.48 (d, J = 7.5 Hz, 2 H, 2 \times CH), 7.70 (d, J = 7.5 Hz, 2 H, 2 \times CH), 11.67 (s, 1 H, NH), 11.71 (s, 1 H, OH).

^{13}C NMR (62.5 MHz, DMSO- d_6): δ = 95.53, 113.53, 127.48, 128.70, 129.28, 131.09, 131.56, 133.56, 144.95, 161.51, 163.98.

Anal. calcd for $\text{C}_{13}\text{H}_8\text{ClNO}_2\text{S}$: C, 56.22; H, 2.90; N, 5.04. Found: C, 56.03; H, 3.08; N, 5.29.

7-Hydroxy-2-(4-fluorophenyl)thieno[3,2-*b*]pyridin-5(4*H*)-one (2e)

Yield: 88%; brown solid; mp 212–214 °C (dec.).

IR (KBr): 2892 (br s), 1671 (s), 1524 (s) cm^{-1} .

^1H NMR (250 MHz, CDCl_3): δ = 5.99 (s, 1 H, CH), 7.30 (m, 3 H, 3 \times CH), 7.77 (m, 2 H, 2 \times CH), 9.20 (s, 1 H, NH), 12.34 (s, 1 H, OH).

^{13}C NMR (62.5 MHz, DMSO- d_6): δ = 93.58, 113.40, 116.20, 116.55, 128.42, 128.90, 143.80, 147.34, 160.70, 163.04, 163.65.

Anal. calcd for $\text{C}_{13}\text{H}_8\text{FNO}_2\text{S}$: C, 59.76; H, 3.09; N, 5.36. Found: C, 59.64; H, 3.26; N, 5.56.

7-Hydroxy-2-(4-nitrophenyl)thieno[3,2-*b*]pyridin-5(4*H*)-one (2f)

Yield: 98%; brown solid; mp 230–232 °C (dec.).

IR (KBr): 3559 (br s), 1731 (s), 1519 (s) cm^{-1} .

^1H NMR (250 MHz, CDCl_3): δ = 5.96 (s, 1 H, CH), 7.57 (s, 1 H, CH), 7.94 (d, J = 7.5 Hz, 2 H, 2 \times CH), 8.25 (d, J = 7.5 Hz, 2 H, 2 \times CH), 11.50 (s, 1 H, NH), 11.60 (s, 1 H, OH).

^{13}C NMR (62.5 MHz, DMSO- d_6): δ = 96.15, 113.08, 115.68, 126.46, 127.11, 138.79, 143.37, 143.53, 146.98, 161.78, 165.23.

Anal. calcd for $\text{C}_{13}\text{H}_8\text{N}_2\text{O}_4\text{S}$: C, 54.16; H, 2.80; N, 9.72. Found: C, 54.46; H, 2.67; N, 9.56.

2-(1,1'-Biphenyl)-4-yl-7-hydroxythieno[3,2-*b*]pyridin-5(4*H*)-one (2g)

Yield: 80%; brown solid; mp 206–208 °C (dec.).

IR (KBr): 3027 (br s), 1664 (s), 1521 (s) cm^{-1} .

^1H NMR (250 MHz, CDCl_3): δ = 5.72 (s, 1 H, CH), 7.53 (s, 1 H, CH), 7.40 (d, J = 7.5 Hz, 2 H, 2 \times CH), 7.48 (m, 3 H, 3 \times CH), 7.72 (d, J = 7.5 Hz, 2 H, 2 \times CH), 7.78 (m, 2 H, 2 \times CH), 11.72 (s, 2 H, NH and OH).

^{13}C NMR (62.5 MHz, DMSO- d_6): δ = 113.25, 126.86, 127.49, 127.94, 128.07, 128.19, 128.56, 128.99, 129.57, 131.09, 138.89, 141.22, 142.30, 162.64, 167.03.

Anal. calcd for $\text{C}_{19}\text{H}_{13}\text{NO}_2\text{S}$: C, 71.45; H, 4.10; N, 4.39. Found: C, 71.26; H, 4.45; N, 4.52.

2-*tert*-Butyl-7-hydroxythieno[3,2-*b*]pyridin-5(4*H*)-one (2h)

Yield: 70%; brown solid; mp 210–212 °C (dec.).

IR (KBr): 2962 (br s), 1639 (s), 1507 (s) cm^{-1} .

^1H NMR (250 MHz, DMSO- d_6): δ = 1.33 (s, 9 H, 3 \times CH_3), 5.55 (s, 1 H, CH), 6.71 (s, 1 H, CH), 11.44 (s, 2 H, NH and OH).

^{13}C NMR (62.5 MHz, DMSO- d_6): δ = 32.09, 35.15, 95.06, 108.95, 112.55, 143.43, 161.70, 162.16, 164.74.

Anal. calcd for $\text{C}_{11}\text{H}_{13}\text{NO}_2\text{S}$: C, 59.17; H, 5.87; N, 6.27. Found: C, 59.05; H, 5.80; N, 6.07.

10-Hydroxy-5,6-dihydronaphtho[2',1':4,5]thieno[3,2-*b*]pyridin-8(7*H*)-one (2i)

Yield: 76%; brown solid; mp 228–230 °C (dec.).

IR (KBr): 2934 (br s), 1631 (s), 1516 (s) cm^{-1} .

^1H NMR (250 MHz, CDCl_3): δ = 2.93, (m, 4 H, 2 \times CH_2), 5.65 (s, 1 H, CH), 7.29 (m, 3 H, 3 \times CH), 7.45 (m, 1 H, CH), 11.60 (s, 2 H, NH and OH).

^{13}C NMR (62.5 MHz, DMSO- d_6): δ = 20.51, 27.48, 95.38, 109.58, 123.10, 125.96, 127.16, 128.24, 128.42, 130.01, 135.27, 138.31, 142.03, 161.69, 164.62.

Anal. calcd for $\text{C}_{15}\text{H}_{11}\text{NO}_2\text{S}$: C, 66.89; H, 4.12; N, 5.20. Found: C, 66.63; H, 4.36; N, 5.35.

7-Hydroxy-3-methyl-2-phenylthieno[3,2-*b*]pyridin-5(4*H*)-one (2j)

Yield: 2%; brown solid; mp 220–222 °C (dec.).

IR (KBr): 3062 (br s), 1660 (s), 1520 (s) cm^{-1} .

^1H NMR (250 MHz, DMSO- d_6): δ = 2.27 (s, 3 H, CH_3), 5.64 (s, 1 H, CH), 7.45 (m, 5 H, 5 \times CH), 11.45 (s, 2 H, NH and OH).

^{13}C NMR (62.5 MHz, DMSO- d_6): δ = 11.97, 95.42, 109.55, 122.64, 128.42, 128.83, 128.93, 133.36, 140.19, 143.80, 161.23, 164.76.

Anal. calcd for $\text{C}_{14}\text{H}_{11}\text{NO}_2\text{S}$: C, 65.35; H, 4.31; N, 5.44. Found: C, 65.16; H, 4.67; N, 5.72.

4-Hydroxy-7-methylpyridino[2,3-*d*]thieno[3,2-*b*]pyridin-2(1*H*)-one (3)

Synthesised as for substituted **2a–j**, using 2-chloro-6-methylnicotinonitrile as starting material, K₂CO₃ as base and 85% phosphoric acid as acid to adjust the pH to 1.

Yield: 80%; brown solid; mp 214–216 °C (dec.).

IR (KBr): 3247 (br s), 1639 (s), 1543 (s) cm⁻¹.

¹H NMR (250 MHz, CDCl₃): δ = 2.49 (s, 3 H, CH₃), 5.87 (s, 1 H, CH), 7.40 (d, *J* = 7.5 Hz, 1 H, CH), 8.56 (d, *J* = 7.5 Hz, 1 H, CH), 11.70 (s, 2 H, NH and OH).

¹³C NMR (62.5 MHz, DMSO-*d*₆): δ = 24.16, 97.39, 107.92, 120.16, 121.31, 130.46, 136.19, 158.62, 159.43, 162.01, 164.29.

Anal. calcd for C₁₁H₈N₂O₂S: C, 56.88; H, 3.47; N, 12.06. Found: C, 56.76; H, 3.12; N, 12.30.

Acknowledgment

We thank the 'Ministère de l'Éducation Nationale, de l'Enseignement Supérieur et de la Recherche' for a PhD grant to D.T. We thank also the 'Université du Luxembourg' for financial support to P.S. We thank Veronique Poddig for recording NMR spectra.

References

- (1) (a) Franck, R.; Gilligan, J.-M. *J. Org. Chem.* **1971**, *36*, 222. (b) Bornstein, J.; Reid, W.; Torres, D. *J. Am. Chem. Soc.* **1954**, *76*, 2760. (c) Bruckle, D.; Cantello, B.; Smith, H.; Spicer, B. *J. Med. Chem.* **1975**, *18*, 726.
- (2) McQuaid, L. A.; Smith, E. C. R.; Lodge, D.; Pralon, E.; Wikel, J. H.; Calligaro, D. O.; O'Malley, P. J. *J. Med. Chem.* **1992**, *35*, 3423.
- (3) Buschtaller, H.-P.; Siebert, C.; Steimetz, R.; Frank, A.; Berger, M.; Gottschlich, R.; Leibrock, J.; Krug, M.; Steinhilber, D.; Noe, C. *J. Med. Chem.* **2006**, *49*, 864.
- (4) Lee, D.-J.; Kim, K. *J. Org. Chem.* **2004**, *69*, 4867.
- (5) Rodinovskaya, L.; Shestopalov, A.; Gromova, A.; Shestopalov, A. *Synthesis* **2006**, 2357.
- (6) Thomae, D.; Kirsch, G.; Seck, P. *Synthesis* **2007**, 1026.
- (7) Hartmann, H.; Liebscher, J. *Synthesis* **1984**, 275.
- (8) Hartmann, H.; Liebscher, J. *Synthesis* **1984**, 276.
- (9) Liebscher, J.; Neumann, B.; Hartmann, H. *J. Prakt. Chem.* **1983**, *325*, 915.
- (10) Hartmann, H.; Liebscher, J. *Synthesis* **1979**, 241.
- (11) Migianu, E.; Kirsch, G. *Synthesis* **2002**, 1096.
- (12) Prim, D.; Fuss, A.; Kirsch, G.; Silva, A. *J. Chem. Soc., Perkin Trans. 2* **1999**, 1175.
- (13) (a) Mariella, R.; Cope, A.; Krueger, J.; Marshall, D. *Org. Synth.* **1963**, *4*, 210. (b) Hardtmann, G. E.; Huegi, B.; Koletar, G.; Kroin, S.; Ott, H. *J. Med. Chem.* **1974**, *17*, 636.

A Useful One-Pot Procedure for Obtaining 2-Aryl-5-nitrothiophenes from Bromonitromethane and 3-Aryl-3-chloro-propenals

Juan C. Rodríguez-Domínguez,^a David Thomaé,^a Pierre Seck,^b Gilbert Kirsch^{*a}

^a Laboratoire d'Ingénierie Moléculaire et Biochimie Pharmacologique, Institut Jean Barriol, FR CNRS 2843, Université Paul Verlaine-Metz, 1 Boulevard Arago, Metz, 57070, France
Fax +33(3)87315801; E-mail: kirsch@univ-metz.fr

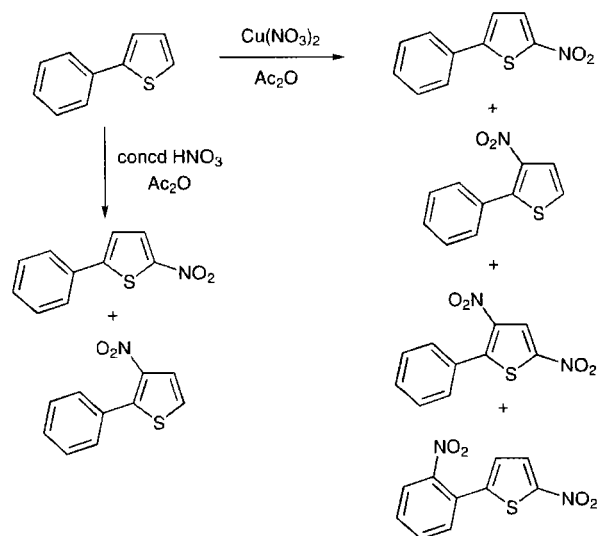
^b Faculté des Sciences, de la Technologie et de la Communication, Université du Luxembourg, 162 A, Avenue de la Faiencerie, 1511 Luxembourg

Received 19 October 2007

Abstract: A one-pot procedure was developed to prepare new 2-aryl-5-nitrothiophenes efficiently from bromonitromethane and 3-chloro-3-aryl-propenals. Nitrothiophenes were synthesized in good yields with a simple and easy workup procedure.

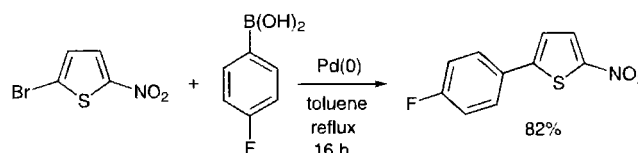
Key words: 5-nitrothiophenes, bromonitromethane, 3-aryl-3-chloro-propenals

2-Aryl-5-nitrothiophenes show inhibitory activity against some microorganisms¹ and are used as intermediates in the preparation of potent inhibitors of 5-lipoxygenase.² They were prepared by direct nitration of the 2-phenylthiophene with either nitric acid or different proportions of $\text{Cu}(\text{NO}_3)_2$ in acetic anhydride³ but in all cases mononitration was not selective and also dinitration took place. When nitric acid was employed, a mixture of 2-nitro-5-phenyl and 3-nitro-2-phenylthiophenes was obtained. If the reaction was carried out with $\text{Cu}(\text{NO}_3)_2$, mixtures of 3-nitro-2-phenyl, 2-nitro-5-phenyl, 3,5-dinitro-2-phenyl, and 2-nitro-5-(2-nitrophenyl)thiophenes were recovered as final products (Scheme 1).



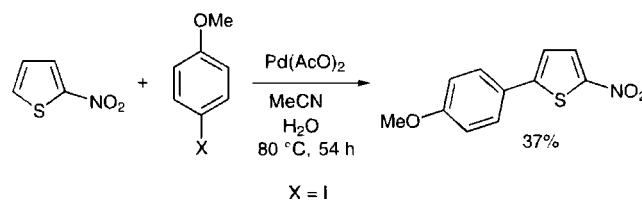
Scheme 1 Direct nitration of 2-phenylthiophene by either concentrated nitric acid or copper nitrate in acetic anhydride

Another way for preparing 2-aryl-5-nitrothiophenes is the Suzuki coupling of the 2-bromo-5-nitrothiophene with the corresponding aryl boronic acids (Scheme 2).²



Scheme 2 Synthesis of the 5-(4-fluorophenyl)-2-nitrothiophene by Suzuki coupling (palladium complexes were used)

This coupling reaction was applied for the same purpose in order to obtain the 2-nitro-5-(4-methoxy)phenylthiophene from the corresponding iodophenyl derivative (Scheme 3).^{4,5} Even if Suzuki coupling allows the obtainment of the aryl nitrothiophene in good yield (Scheme 2), usually palladium catalysis requires long reaction times to prepare the targeted derivatives (Schemes 2 and 3). In the case when *p*-iodoanisole was employed (Scheme 3), the isolated yield was low.⁵



Scheme 3 Synthesis of the 5-(4-methoxyphenyl)-2-nitrothiophene by Suzuki coupling (palladium acetate was used)

Bromonitromethane is a versatile reagent used in stabilized solutions as biocide,⁶ in the synthesis of 1-bromo-1-nitroalkane-2-ols,⁷ polyfunctionalized nitrocyclopropanes,⁸ aryl nitromethanes, and as bromine donor.⁹ It has also been utilized in the synthesis of 2-nitrobenzofuran and 2-nitro-2,3-dihydrobenzofuran-3-ols,^{10,11} nitrobenzothiothiophenes, and nitrothiazoles.¹²

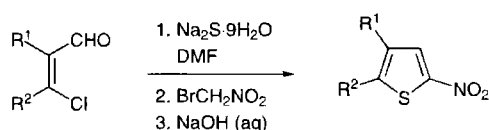
In the thiophene series only few examples have been described; in the case of 2-*tert*-butyl-5-nitrothiophene,¹³ no experimental details are given. In order to synthesize new 2-aryl-5-nitrothiophenes, we have developed a one-pot procedure allowing access to thiophene derivatives in

good yields with a simple workup procedure (Scheme 4).¹⁴

Starting 3-aryl-3-chloro-2-propenals were prepared as described earlier and spectroscopic data match with those reported in literature.¹⁵ New 3-(3-bromophenyl)-3-chloro-2-propenal was adequately characterized.¹⁶

Bromonitromethane was prepared according to Fishwick et al.¹² Freshly distilled nitromethane was used and bromine was dropped in 5 seconds instead of 35 seconds as reported. With this slight modification only monobromination is effected and bromonitromethane could be used without further purification.¹⁷

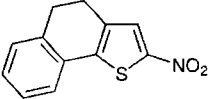
In order to obtain 2-nitrophenylthiophenes, we performed reactions in a one-pot procedure from 3-aryl-3-chloro-2-propenals, which are converted into the corresponding sodium 3-aryl propenal-3-thiolates by reacting with Na₂S·9H₂O in dimethylformamide. Addition of bromonitromethane and subsequent basic catalyzed intramolecular cyclization gave the desired mononitrothiophenes in good yields with an easy workup procedure.



Scheme 4 Developed procedure to obtain mononitrophenylthiophenes from 3-chloroacroleins and bromonitromethane

Structures of prepared compounds are referred to in Table 1.

Table 1 Prepared Mononitrophenylthiophenes

Entry	R ¹	R ²	Yield (%)
1	H	4-Chlorophenyl	71.3
2	H	4-Fluorophenyl	61.7
3	H	4-Methylphenyl	82.6
4	H	4-Methoxyphenyl	73.5
5	H	4-Nitrophenyl	74.8
6	H	1,1'-Biphenyl-4-yl	61.5
7	H	3-Bromophenyl	70.6
8			85.2

All prepared nitrothiophenes were purified by recrystallization. Chemical properties and spectroscopic data of known and new 2-aryl-5-nitrothiophenes are shown.¹⁸

Acknowledgment

We are grateful to the French Ministry of National Education, Higher Education and Research for a PhD grant (D.T). We also thank the Ministère de la Culture, de l'Enseignement Supérieur et de la Recherche de Luxembourg for the financial support and Mrs. Véronique Poddig for recording the NMR spectra.

References and Notes

- Morley, J. O.; Matthews, T. P. *Org. Biomol. Chem.* **2006**, *4*, 359.
- Beers, S. A.; Malloy, E. A.; Wu, W.; Wachter, M.; Ansell, J.; Singer, M.; Steber, M.; Barbone, A.; Kirchner, T.; Ritchie, D.; Argentieri, D. *Bioorg. Med. Chem.* **1997**, *5*, 779.
- (a) Gronowitz, S.; Gjos, N. *Acta Chem. Scand.* **1967**, *21*, 2823. (b) Gronowitz, S.; Gjos, N. *Acta Chem. Scand.* **1972**, *26*, 1851.
- Lavenot, L.; Gozzi, C.; Ilg, K.; Orlova, I.; Penalva, V.; Lemaire, M. *J. Organomet. Chem.* **1998**, *567*, 49.
- Gozzi, C.; Lavenot, L.; Ilg, K.; Penalva, V.; Lemaire, M. *Tetrahedron Lett.* **1997**, *38*, 8867.
- Termine, E. J.; Dallmier, A. W.; Yeoman, A. M. US 5866511, **1999**.
- Concellón, J. M.; Rodríguez-Solla, H.; Concellón, C.; García-Granda, S.; Díaz, M. R. *Org. Lett.* **2006**, *8*, 5979.
- Ballini, R.; Fiorini, D.; Palmieri, A. *Synlett* **2003**, 1704.
- Sherrill, M. L. *J. Am. Chem. Soc.* **1924**, *46*, 2753.
- Ohishi, Y.; Doi, Y.; Nakanishi, T. *Chem. Pharm. Bull.* **1984**, *32*, 4260.
- Tromelin, A.; Demerseman, P.; Royer, R. *Synthesis* **1985**, 1074.
- Fishwick, B. R.; Rowles, D. K.; Stirling, C. J. M. *J. Chem. Soc., Perkin Trans. 1* **1986**, 1171.
- Cagniant, P.; Kirsch, G. C. R. *Seances Acad. Sci., Ser. C* **1975**, *273*, 35.
- Typical Experimental Procedure for Obtaining Mononitrophenylthiophenes**
Sodium sulfide (Na₂S·9H₂O, 0.05 mol) was suspended in DMF (98 mL) and stirred at 40 °C for 30 min. After that time the corresponding 2-chloroacrolein (0.05 mol) was added. The mixture was then heated at 55 °C for 90 min and left to reach r.t. Bromonitromethane (0.05 mol) was slowly dropped at r.t. and left to stir at 55 °C for another 90 min. The reaction was followed by TLC (*n*-hexane–EtOAc, 3:1) and, once finished, NaOH (0.05 mol) in H₂O (10 mL) was added and the mixture was left to stir 30 min at the same temperature. The mixture was poured onto H₂O with good stirring and the obtained precipitate was filtered, washed with H₂O, and dried at r.t. until the weight was constant.
- Prim, D.; Fuss, A.; Kirsch, G.; Silva, A. M. S. *J. Chem. Soc., Perkin Trans. 2* **1999**, 1175.
- 3-(3-Bromophenyl)-3-chloro-2-propenal**
Yield 74.3%; orange solid, mp 64–65 °C (from EtOH). ¹H NMR (250 MHz, DMSO-*d*₆): δ = 10.10 (d, *J* = 6.5 Hz, 1 H, HCO), 8.04 (d, *J* = 3.3 Hz, 1 H, PhH), 7.87 (dd, 1 H, PhH), 7.75 (dd, 1 H, PhH), 7.46 (m, 1 H, PhH), 7.04 (d, *J* = 6.6 Hz, 1 H, H2). ¹³C NMR (62.9 MHz, DMSO-*d*₆): δ = 191.30, 148.43, 136.99, 134.49, 130.96, 129.53, 126.25, 125.39, 122.23. Anal. Calcd for C₉H₆BrClO (245.50): C, 44.03; H, 2.46; Br, 32.55; Cl, 14.44. Found: C, 43.99; H, 2.50; Br, 32.59; Cl, 14.41.
- Purity was checked by ¹H NMR spectroscopy using a Bruker 250 MHz instrument.

- (18) Reagents were purchased from ACROS Organics. Thin-layer chromatography (TLC) was carried out by using SilicaGel 60 F-254 plates and *n*-hexane–EtOAc (3:1) as an eluent. Melting points were determined on a Stuart Scientific SMP 3 capillary melting point apparatus and are uncorrected. IR spectra were performed in a Perkin Elmer Spectrum BxFT-IR spectrophotometer. Elemental analyses were conducted in a LECO CHNS 932 instrument.
- 2-(4-Chlorophenyl)-5-nitrothiophene (**1**): mp 121–124 °C (from EtOH). IR (KBr): $\nu = 1534$ (NO₂), 1333 (NO₂) cm⁻¹. ¹H NMR (250 MHz, DMSO-*d*₆): $\delta = 8.19$ (d, $J_{4,3} = 7.5$ Hz, 1 H, H4), 7.88 (d, $J = 10.0$ Hz, 2 H, HPh), 7.72 (d, $J_{3,4} = 5.0$ Hz, 1 H, H3), 7.58 (d, $J = 10$ Hz, 2 H, HPh). ¹³C NMR (62.9 MHz, DMSO-*d*₆): $\delta = 149.83, 149.57, 134.86, 131.27, 129.44, 129.31, 127.79, 124.56$. Anal. Calcd for C₁₀H₆ClNO₂S (239.68): C, 50.11; H, 2.52; Cl, 14.79; N, 5.84; S, 13.38. Found: C, 50.20; H, 2.60; Cl, 14.70; N, 5.80; S, 13.32.
- 2-(4-Fluorophenyl)-5-nitrothiophene (**2**): mp 124–126 °C (from EtOH); mp_{Lit} 129–130 °C.² IR (KBr): $\nu = 1536$ (NO₂), 1334 (NO₂) cm⁻¹. ¹H NMR (250 MHz, DMSO-*d*₆): $\delta = 8.14$ (d, $J = 4.25$ Hz, 1 H), 7.87 (dd, 2 H, HPh), 7.63 (d, $J = 4.25$ Hz, 1 H), 7.33 (m, 2 H, HPh). ¹³C NMR (62.9 MHz, DMSO-*d*₆): $\delta = 161.1, 150.2, 131.3, 128.6, 128.4, 124.1, 116.8, 116.5$.
- 2-(4-Methylphenyl)-5-nitrothiophene (**3**): mp 86–87 °C (from diisopropyl ether). IR (KBr): $\nu = 1510$ (NO₂), 1333 (NO₂) cm⁻¹. ¹H NMR (250 MHz, DMSO-*d*₆): $\delta = 8.13$ (d, $J = 4.45$ Hz, 1 H), 7.71 (d, $J = 8.07$ Hz, 2 H, HPh), 7.61 (d, $J = 4.37$ Hz, 1 H), 7.30 (d, $J = 7.72$ Hz, 2 H, HPh), 2.34 (s, 3 H, CH₃). ¹³C NMR (62.9 MHz, DMSO-*d*₆): $\delta = 151.85, 140.36, 131.37, 130.02, 128.71, 126.12, 123.38, 20.85$. Anal. Calcd for C₁₁H₉NO₂S (219.26): C, 60.26; H, 4.14; N, 6.39; S, 14.62. Found: C, 60.30; H, 4.19; N, 5.32; S, 14.68.
- 2-(4-Methoxyphenyl)-5-nitrothiophene (**4**): mp 129–131 °C (from cyclohexane); mp_{Lit} 135 °C.⁵ IR (KBr): $\nu = 1536$ (NO₂), 1337 (NO₂) cm⁻¹. ¹H NMR (250 MHz, DMSO-*d*₆): $\delta = 8.14$ (d, $J = 5.0$ Hz, 1 H, H4), 7.79 (d, $J = 7.5$ Hz, 2 H, HPh), 7.57 (d, $J_{3,4} = 5.0$ Hz, 1 H, H3), 7.06 (d, $J = 7.5$ Hz, 2 H, HPh), 3.83 (s, 3 H, OCH₃). ¹³C NMR (62.9 MHz, DMSO-*d*₆): $\delta = 160.95, 152.04, 148.05, 130.44, 127.47, 123.71, 122.66, 114.86, 55.19$. Anal. Calcd for C₁₁H₉NO₂S (235.26): C, 50.11; H, 2.52; Cl, 14.79; N, 5.84; S, 13.38. Found: C, 56.16; H, 3.86; N, 5.95; S, 13.63.
- 2-(4-Nitrophenyl)-5-nitrothiophene (**5**): mp 166–170 °C (from EtOH); mp_{Lit} 179 °C (from EtOH–H₂O).³ IR (KBr): $\nu = 1516$ (NO₂), 1345 (NO₂) cm⁻¹. ¹H NMR (250 MHz, DMSO-*d*₆): $\delta = 8.29$ (d, $J = 8.65$ Hz, 2 H, HPh), 8.21 (dd, 1 H), 8.09 (d, $J = 8.75$ Hz, 2 H, HPh), 7.87 (dd, 1 H). ¹³C NMR (62.9 MHz, DMSO-*d*₆): $\delta = 151.17, 147.81, 137.35, 131.02, 130.27, 127.24, 126.51, 124.41$.
- 2-[1,1'-Biphenyl]-4-yl-5-nitrothiophene (**6**): mp 166–169 °C (from EtOH). IR (KBr): $\nu = 1485$ (NO₂), 1300 (NO₂) cm⁻¹. ¹H NMR (250 MHz, DMSO-*d*₆): $\delta = 8.37$ –7.82 (m, 11 H). ¹³C NMR (62.9 MHz, DMSO-*d*₆): $\delta = 152.2, 148.8, 148.7, 138.3, 132.1, 131.1, 128.3, 128.1, 127.5, 125.4, 125.1, 124.7$. Anal. Calcd for C₁₆H₁₁NO₂S (281.33): C, 68.31; H, 3.94; N, 4.98; S, 11.40. Found: C, 68.38; H, 4.01; N, 4.95; S, 11.36.
- 2-(3-Bromophenyl)-5-nitrothiophene (**7**): mp 76–79 °C (from EtOH). IR (KBr): $\nu = 1534$ (NO₂), 1470 (NO₂) cm⁻¹. ¹H NMR (250 MHz, DMSO-*d*₆): $\delta = 8.16$ (d, $J = 5.0$ Hz, 1 H, H3-Thioph), 8.07–8.05 (m, 1 H), 7.82–7.79 (m, 1 H), 7.75 (d, $J = 5.0$ Hz, H4-Thioph), 7.68–7.64 (m, 1 H), 7.44 (t, 1 H). ¹³C NMR (62.9 MHz, DMSO-*d*₆): $\delta = 150.06, 133.65, 132.81, 131.48, 131.08, 128.57, 125.34, 125.08, 122.74, 122.72$. Anal. Calcd for C₁₀H₆BrNO₂S (284.13): C, 42.27; H, 2.13; Br, 28.12; N, 4.93; S, 11.29. Found: C, 42.22; H, 2.16; Br, 28.08; N, 4.89; S, 11.25.
- 2-Nitro-4,5-dihydronaphtho[1,2b]thiophene (**8**): mp 114–116 °C (from EtOH). IR (KBr): $\nu = 1531$ (NO₂), 1326 (NO₂) cm⁻¹. ¹H NMR (250 MHz, DMSO-*d*₆): $\delta = 8.09$ (s, 1 H, H3-Thioph), 7.55 (d, $J = 7.5$ Hz, 1 H), 7.37–7.32 (m, 3 H), 2.96–2.93 (m, 2 H, CH₂), 2.87–2.84 (m, 2 H, CH₂). ¹³C NMR (62.9 MHz, DMSO-*d*₆): $\delta = 147.75, 143.91, 137.50, 136.20, 130.63, 130.03, 128.64, 128.49, 127.52, 123.99, 27.43, 22.78$. Anal. Calcd for C₁₂H₉NO₂S (231.27): C, 62.32; H, 3.92; N, 6.06; S, 13.87. Found: C, 62.40; H, 3.99; N, 6.10; S, 13.84.

One-pot synthesis of substituted 3-amino-2-nitrothiophenes and selenophenes

David Thomae^a, Juan Carlos Rodriguez Dominguez^a, Gilbert Kirsch^{a,*}, Pierre Seck^b

^a Laboratoire d'Ingénierie Moléculaire et Biochimie Pharmacologique, Institut Jean Barriol, FR CNRS 2843, 1 Boulevard Arago, 57070 METZ, France

^b Laboratoire de Chimie, Faculté des Sciences, de la Technologie et de la Communication, Université du Luxembourg, 162a, avenue de la Faïencerie, L-1511 Luxembourg, Luxembourg

Received 11 December 2007; received in revised form 15 January 2008; accepted 17 January 2008

Available online 25 January 2008

Abstract

In this work, we described an easy preparation of substituted 3-amino-2-nitrothiophenes and selenophenes. Substituted β -chloroacrylonitriles were reacted with sodium sulfide or sodium selenide and bromonitromethane to yield the expected compounds in a one-pot three-step procedure in good yields.

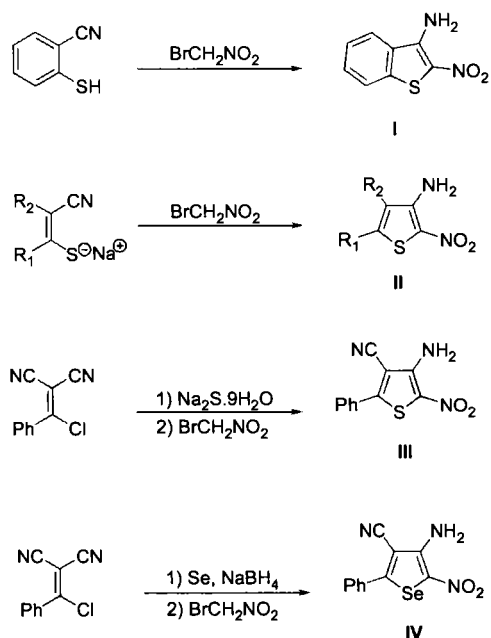
© 2008 Elsevier Ltd. All rights reserved.

Keywords: 3-Amino-2-nitrothiophenes; 3-Amino-2-nitroselenophenes; Bromonitromethane; Substituted β -chloroacrylonitriles

1. Introduction

Nitrothiophene derivatives have some versatile biological uses.^{1,2} It has been showed that they inhibit the growth of *Escherichia Coli*, *Micrococcus Luteus* and *Aspergillus Niger*.¹ They were also used as the precursors of *N*-(5-substituted)-thiophene-2-alkylsulfonamides, which are potent inhibitors of 5-lipoxygenase.² Moreover, 3-amino-2-nitrobenzo[*b*]thiophene was used as starting material for the preparation of dyes.³

The synthesis of substituted 3-amino-2-nitrothiophenes has not been very much described especially by using bromonitromethane as one of the reagents. Only a few teams worked in this field of investigation. Fishwick et al. described the preparation of 3-amino-2-nitrobenzo[*b*]thiophene (**I**) starting from 2-sulfanylbenzonitrile and bromonitromethane (Scheme 1).⁴ In the same paper, they synthesized some 3-amino-2-nitrothiophenes starting from the sodium salt of disubstituted 3-sulfanyl-2-propenenitriles and bromonitromethane (Scheme 1).⁴ They obtained compounds (**II**) in yields ranging from 30% to 70%. Only one thiophene (**III**) was synthesized by Gewald and Hain starting



Scheme 1. 3-Amino-2-nitrothiophenes and 3-amino-2-nitroselenophene in the literature. $R_1 = -S-Me$, $R_2 = -CN$, $-CO_2Et$, $-CONH_2$; $R_1 = -NH-Ph$, $R_2 = -CN$, $-CO_2Et$, $-SO_2Ph$.

* Corresponding author. Tel.: +33 3 87 31 52 95; fax: +33 3 87 31 58 01.
E-mail address: kirsch@univ-metz.fr (G. Kirsch).

from a disubstituted β -chloroacrylonitrile using sodium sulfide and bromonitromethane.⁵ In the same publication, they described the formation of 5-phenyl-3-amino-2-nitroselenophene **IV** (Scheme 1).

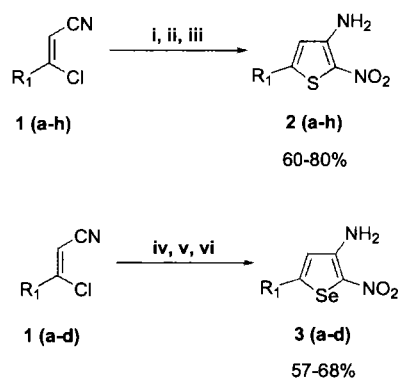
Recently, we have described some examples of preparation of substituted 2-nitrothiophenes **V** starting from β -substituted- β -chloroacroleins (Scheme 2).¹⁰ In this work, in continuation of previous research on the synthesis of 3-aminothiophenes and selenophenes and their use for condensed systems,^{6–9} we describe the preparation of new substituted 3-amino-2-nitrothiophenes and selenophenes (Scheme 2).



Scheme 2. Substituted 2-nitrothiophenes synthesized by our team. (i) $\text{Na}_2\text{S}\cdot 9\text{H}_2\text{O}$, DMF; (ii) BrCH_2NO_2 ; (iii) NaOH.

2. Results and discussion

From β -chloroacroleins, the access to the β -chloroacrylonitriles gave us the opportunity to prepare the substituted 3-amino-2-nitrothiophenes **2(a–h)** and 3-amino-2-nitroselenophenes **3(a–d)** in a one-pot procedure (Scheme 3).



Scheme 3. 3-Amino-2-nitrothiophenes and 3-amino-2-nitroselenophenes. (i) $\text{Na}_2\text{S}\cdot 9\text{H}_2\text{O}$, DMF; (ii) BrCH_2NO_2 ; (iii) NaOH; (iv) Na_2Se , DMF; (v) BrCH_2NO_2 ; (vi) NaOH.

Starting material **1** was prepared by Vilsmeier–Haack–Arnold reaction, oximation and dehydration. This method has already been described by different groups.^{6–8,11} Bromonitromethane was obtained with a slight modification to the method established by Fishwick et al.⁴ Freshly distilled nitromethane was used and bromine was added at 0 °C in only 5 s instead of 35 s as reported. With this change, bromonitromethane was obtained in 61% yield avoiding the formation of dibromonitromethane and tribromonitromethane as we described recently.^{10a} Bromonitromethane was used without further purification.

Preparation of substituted 3-amino-2-nitrothiophenes **2(a–h)** was very straightforward. Sodium sulfide nonahydrate was added to β -chloroacrylonitriles **1(a–h)** in DMF and heated at 55 °C to form the thiolate. Bromonitromethane was added dropwise at room temperature. Cyclization was performed by the addition

Table 1.
Prepared substituted 3-amino-2-nitrothiophenes

Entry	Substituted β -chloroacrylonitrile 1	Substituted 3-amino-2-nitrothiophene 2	Yield (%)
a	$\text{R}_1 = p\text{-CH}_3\text{-Ph-}$	$\text{R}_1 = p\text{-CH}_3\text{-Ph-}$	60
b	$\text{R}_1 = p\text{-CH}_3\text{O-Ph-}$	$\text{R}_1 = p\text{-CH}_3\text{O-Ph-}$	62
c	$\text{R}_1 = p\text{-Cl-Ph-}$	$\text{R}_1 = p\text{-Cl-Ph-}$	64
d	$\text{R}_1 = t\text{-Bu-}$	$\text{R}_1 = t\text{-Bu-}$	70
e	$\text{R}_1 = p\text{-F-Ph-}$	$\text{R}_1 = p\text{-F-Ph-}$	80
f	$\text{R}_1 = p\text{-NO}_2\text{-Ph-}$	$\text{R}_1 = p\text{-NO}_2\text{-Ph-}$	70
g	$\text{R}_1 = p\text{-Ph-Ph-}$	$\text{R}_1 = p\text{-Ph-Ph-}$	78
h			80

Table 2.
Prepared substituted 3-amino-2-nitroselenophenes

Entry	Substituted β -chloroacrylonitrile 1	Substituted 3-amino-2-nitroselenophene 3	Yield (%)
a	$\text{R}_1 = p\text{-CH}_3\text{-Ph-}$	$\text{R}_1 = p\text{-CH}_3\text{-Ph-}$	58
b	$\text{R}_1 = p\text{-CH}_3\text{O-Ph-}$	$\text{R}_1 = p\text{-CH}_3\text{O-Ph-}$	66
c	$\text{R}_1 = p\text{-Cl-Ph-}$	$\text{R}_1 = p\text{-Cl-Ph-}$	57
d	$\text{R}_1 = t\text{-Bu-}$	$\text{R}_1 = t\text{-Bu-}$	62

of a solution of sodium hydroxide. Pouring the reaction mixture in water gave the compounds **2(a–h)** in good yields (Table 1).

As for **2(a–h)**, the preparation of substituted 3-amino-2-nitroselenophenes **3(a–d)** was very straightforward. Sodium selenide was prepared by a known method.^{9a} Freshly prepared sodium selenide reacts with β -chloroacrylonitriles **1(a–d)** in DMF at 60 °C to form the selenolate. After 2 h, bromonitromethane was added dropwise at 0 °C and then heated to 60 °C for 2 h. Cyclization was performed by the addition of a solution of sodium hydroxide. Pouring the reaction mixture in water gave compounds **3(a–d)** in good yields (Table 2).

3. Conclusion

In conclusion, an easy way of synthesizing 3-amino-2-nitrothiophenes and selenophenes was developed. These new compounds open many possibilities for further synthesis.

4. Experimental section

4.1. General

Reagents were purchased from ACROS Organics. Thin Layer Chromatography (TLC) was carried out by using Silica Gel 60 F-254 plates and *n*-hexane/ethyl acetate (3:1) as an eluent. Melting points were determined on a Stuart Scientific SMP 3 capillary melting point apparatus and are uncorrected. IR spectra were performed in a Perkin Elmer Spectrum BxFT-IR spectrophotometer. Elemental analyses were done in a LECO CHNS 932 equipment.

4.2. Synthesis of substituted β -chloroacrylonitriles **1(a–h)**: general procedure

Compounds **1(a–h)** were prepared as described earlier.^{6–8,11} Derivatives **1(a–h)** recrystallized in cyclohexane gave better

yields in the following reaction as when using the crude product.

4.3. Synthesis of substituted 3-amino-2-nitrothiophenes **2(a–h)**: general procedure

$\text{Na}_2\text{S} \cdot 9\text{H}_2\text{O}$ (0.05 mol) was suspended in DMF (98 mL) and stirred at 40 °C for 30 min. After that time, the corresponding β -chloroacrylonitriles **1(a–h)** (0.05 mol) were added. The mixture is heated at 55 °C for 90 min and left to reach room temperature. Bromonitromethane (0.05 mol) was slowly dropped at room temperature and left to stir at 55 °C for another 90 min. The reaction was followed by TLC [*n*-hexane/ethyl acetate (3:1)] and once finished NaOH (0.05 mol) in water (10 mL) was added and left to stir 30 min at the same temperature. The mixture was poured onto water (500 mL) with good stirring. The precipitate was filtered, washed with water, dried at room temperature until constant weight and purified by recrystallization or column chromatography.

4.3.1. 3-Amino-5-(4-methylphenyl)-2-nitrothiophene (**2a**)

Yield: 60%. Recrystallization in EtOH gave a brown solid; mp 224–227 °C. IR (KBr): 3437 (s), 3307 (s), 1554 (s) cm^{-1} . ^1H NMR (250 MHz, DMSO): δ 2.29 (s, 3H, CH_3), 6.98 (s, 1H, CH), 7.22 (d, $J=7.5$ Hz, 2H, $2 \times \text{CH}$), 7.61 (d, $J=7.5$ Hz, 2H, $2 \times \text{CH}$), 8.20 (s, 2H, NH_2). ^{13}C NMR (62.9 MHz, DMSO): δ 20.91, 114.29, 125.90, 128.68, 129.94, 140.76, 149.89, 152.10, 155.56. Anal. Calcd for $\text{C}_{11}\text{H}_{10}\text{N}_2\text{O}_2\text{S}$: C, 56.39; H, 4.30; N, 11.96. Found: C, 56.55; H, 4.51; N, 11.72.

4.3.2. 3-Amino-5-(4-methoxyphenyl)-2-nitrothiophene (**2b**)

Yield: 62%. Recrystallization in EtOH gave a yellow solid; mp 213–215 °C. IR (KBr): 3430 (s), 3307 (s), 1552 (s) cm^{-1} . ^1H NMR (250 MHz, DMSO): δ 3.83 (s, 3H, CH_3O), 6.92 (s, 1H, CH), 7.05 (d, $J=7.5$ Hz, 2H, $2 \times \text{CH}$), 7.67 (d, $J=7.5$ Hz, 2H, CH), 8.18 (s, 2H, NH_2). ^{13}C NMR (62.9 MHz, DMSO): δ 55.44, 113.37, 114.78, 119.58, 123.90, 127.68, 149.97, 152.33, 161.23. Anal. Calcd for $\text{C}_{11}\text{H}_{10}\text{N}_2\text{O}_3\text{S}$: C, 52.79; H, 4.03; N, 11.19. Found: C, 52.68; H, 4.17; N, 11.03.

4.3.3. 3-Amino-5-(4-chlorophenyl)-2-nitrothiophene (**2c**)

Yield: 64%. Recrystallization in EtOH gave a yellow solid; mp 269–270 °C. IR (KBr): 3433 (s), 3284 (s), 1561 (s) cm^{-1} . ^1H NMR (250 MHz, DMSO): δ 7.04 (s, 1H, CH), 7.57 (d, $J=7.5$ Hz, 2H, $2 \times \text{CH}$), 7.73 (d, $J=7.5$ Hz, 2H, $2 \times \text{CH}$), 8.22 (s, 2H, NH_2). ^{13}C NMR (62.9 MHz, DMSO): δ 115.63, 120.34, 127.80, 129.41, 130.30, 135.21, 148.00, 151.82. Anal. Calcd for $\text{C}_{10}\text{H}_7\text{ClN}_2\text{O}_2\text{S}$: C, 47.16; H, 2.77; N, 11.00. Found: C, 47.23; H, 2.61; N, 10.82.

4.3.4. 3-Amino-5-tert-butyl-2-nitrothiophene (**2d**)

Yield: 70%. Recrystallization in cyclohexane/ethanol gave a yellow solid; mp 132–134 °C. IR (KBr): 3431 (s), 3312 (s), 1557 (s) cm^{-1} . ^1H NMR (250 MHz, DMSO): δ 1.25 (s, 9H, $3 \times \text{CH}_3$), 6.46 (s, 1H, CH), 8.02 (s, 2H, NH_2). ^{13}C NMR (62.9 MHz, DMSO): δ 30.60, 35.00, 114.66, 115.95, 151.63, 165.40. Anal. Calcd for $\text{C}_8\text{H}_{12}\text{N}_2\text{O}_2\text{S}$: C, 47.98; H, 6.04; N, 13.99. Found: C, 47.84; H, 6.14; N, 14.18.

4.3.5. 3-Amino-5-(4-fluorophenyl)-2-nitrothiophene (**2e**)

Yield: 80%. Filtration while hot in ethanol gave a green solid; mp 230–232 °C. IR (KBr): 3442 (s), 3304 (s), 1525 (s) cm^{-1} . ^1H NMR (250 MHz, DMSO): δ 6.97 (s, 1H, CH), 7.32 (m, 2H, $2 \times \text{CH}$), 7.75 (m, 2H, $2 \times \text{CH}$), 8.18 (s, 2H, NH_2). ^{13}C NMR (62.9 MHz, DMSO): δ 115.13, 116.25, 120.17, 128.41, 148.39, 151.92, 161.30, 165.26. Anal. Calcd for $\text{C}_{10}\text{H}_7\text{FN}_2\text{O}_2\text{S}$: C, 50.41; H, 2.96; N, 11.76. Found: C, 50.16; H, 2.77; N, 11.96.

4.3.6. 3-Amino-2-nitro-5-(4-nitrophenyl) thiophene (**2f**)

Yield: 70%. Recrystallization in EtOH gave a brown solid; mp 244–246 °C. IR (KBr): 3458 (s), 3308 (s), 1511 (s) cm^{-1} . ^1H NMR (250 MHz, DMSO): δ 7.19 (s, 1H, CH), 7.96 (d, $J=7.5$ Hz, 2H, $2 \times \text{CH}$), 8.26 (s, 2H, NH_2), 8.28 (d, $J=7.5$ Hz, 2H, $2 \times \text{CH}$). ^{13}C NMR (62.9 MHz, DMSO): δ 117.80, 121.39, 124.44, 127.24, 137.33, 146.05, 148.01, 151.84. Anal. Calcd for $\text{C}_{10}\text{H}_7\text{N}_3\text{O}_4\text{S}$: C, 45.28; H, 2.66; N, 15.84. Found: C, 45.13; H, 2.79; N, 15.72.

4.3.7. 3-Amino-5-[1,1'-biphenyl]-4-yl-2-nitrothiophene (**2g**)

Yield: 78%. Column chromatography with eluent cyclohexane/ethyl acetate (8/2) gave a brown solid; mp 126–128 °C (dec). IR (KBr): 3420 (s), 3305 (s), 1560 (s) cm^{-1} . ^1H NMR (250 MHz, DMSO): δ 7.06 (s, 1H, CH), 7.50 (m, 4H, $4 \times \text{CH}$), 7.75 (m, 5H, $5 \times \text{CH}$), 8.22 (s, 2H, NH_2). ^{13}C NMR (62.9 MHz, DMSO): δ 114.95, 120.23, 126.59, 127.25, 127.49, 128.12, 129.04, 130.39, 138.80, 142.10, 149.13, 151.59. Anal. Calcd for $\text{C}_{16}\text{H}_{12}\text{N}_2\text{O}_2\text{S}$: C, 64.85; H, 4.08; N, 9.45. Found: C, 65.01; H, 4.27; N, 9.22.

4.3.8. 3-Amino-2-nitro-4,5-dihydronaphtho[1,2-b]-thiophene (**2h**)

Yield: 80%. Recrystallization in EtOH gave a yellow solid; mp 217–218 °C. IR (KBr): 3432 (s), 3307(s), 1545 (s) cm^{-1} . ^1H NMR (250 MHz, DMSO): δ 2.71 (t, $J=7.5$ Hz, 2H, CH_2), 2.97 (t, $J=7.5$ Hz, 2H, CH_2), 7.34 (m, 3H, $3 \times \text{CH}$), 7.43 (d, $J=7.5$ Hz, 2H, $2 \times \text{CH}$), 8.18 (s, 2H, NH_2). ^{13}C NMR (62.9 MHz, DMSO): δ 20.14, 26.85, 119.86, 124.06, 126.43, 127.31, 128.01, 128.44, 130.32, 136.59, 142.04, 150.10. Anal. Calcd for $\text{C}_{12}\text{H}_{10}\text{N}_2\text{O}_2\text{S}$: C, 58.52; H, 4.09; N, 11.37. Found: C, 58.23; H, 4.22; N, 11.41.

4.4. Preparation of sodium selenide: general procedure

Selenium (0.01 mol) was added to a solution of NaOH (0.056 mol) and sodium formaldehyde sulfoxylate (0.024 mol) in water (10 mL). After stirring for 1 h at 50 °C, the white precipitate was filtered under an inert atmosphere and rapidly used in the next step.

4.5. Synthesis of substituted 3-amino-2-nitroselenophenes **3(a–d)**: general procedure

Na_2Se (0.01 mol) was suspended in DMF (10 mL) and stirred at 60 °C for 30 min. After that time, the corresponding β -chloroacrylonitriles **1(a–d)** (0.01 mol) dissolved in 5 mL of

DMF was added. The mixture was heated at 60 °C for 2 h and cooled to 0 °C. Bromonitromethane (0.01 mol) was slowly dropped at 0 °C. After addition, the mixture was heated for 2 h at 60 °C. The reaction is followed by TLC (CH₂Cl₂) and once finished NaOH (0.01 mol) in water (7 mL) was added and left to stir for 1 h at the same temperature. The mixture was poured onto water (150 mL) with good stirring. The precipitated was filtered, washed with water, dried at room temperature until constant weight and recrystallized in EtOH.

4.5.1. 3-Amino-5-(4-methylphenyl)-2-nitro-3-selenophene (3a)

Yield: 76%. Recrystallization in EtOH gave a green solid; mp 246–248 °C. IR (KBr): 3427 (s), 3305 (s), 1606 (s) cm⁻¹. ¹H NMR (250 MHz, DMSO): δ 2.33 (s, 3H, CH₃), 7.23 (s, 1H, CH), 7.22 (d, *J*=7.5 Hz, 2H, 2×CH), 7.44 (d, *J*=7.5 Hz, 2H, 2×CH), 8.44 (s, 2H, NH₂). ¹³C NMR (62.9 MHz, DMSO): δ 20.89, 117.88, 118.28, 126.19, 129.27, 129.52, 140.87, 154.36, 154.79. Anal. Calcd for C₁₁H₁₀N₂O₂Se: C, 46.99; H, 3.58; N, 9.96. Found: C, 46.89; H, 3.39; N, 10.01.

4.5.2. 3-Amino-5-(4-methoxyphenyl)-2-nitro-3-selenophene (3b)

Yield: 66%. Recrystallization in EtOH gave a yellow solid; mp 228–230 °C. IR (KBr): 3441 (s), 3325 (s), 1597 (s) cm⁻¹. ¹H NMR (250 MHz, DMSO): δ 3.78 (s, 3H, CH₃), 7.04 (d, *J*=7.5 Hz, 2H, 2×CH), 7.17 (s, 1H, CH), 7.58 (d, *J*=7.5 Hz, 2H, 2×CH), 8.38 (s, 2H, NH₂). ¹³C NMR (62.9 MHz, DMSO): δ 55.44, 103.55, 114.34, 114.59, 117.21, 127.97, 129.76, 154.62, 161.31. Anal. Calcd for C₁₁H₁₀N₂O₃Se: C, 44.46; H, 3.39; N, 9.43. Found: C, 44.32; H, 3.27; N, 9.55.

4.5.3. 3-Amino-5-(4-chlorophenyl)-2-nitro-3-selenophene (3c)

Yield: 57%. Recrystallization in EtOH gave a green solid; mp 274–276 °C. IR (KBr): 3420 (s), 3280 (s), 3160 (s), 1624 (s) cm⁻¹. ¹H NMR (250 MHz, DMSO): δ 7.29 (s, 1H, CH), 7.52 (d, *J*=7.5 Hz, 2H, 2×CH), 7.65 (d, *J*=7.5 Hz, 2H, 2×CH), 8.41 (s, 2H, NH₂). ¹³C NMR (62.9 MHz, DMSO): δ 97.63, 119.37, 128.05, 129.56, 130.32, 135.22, 152.81, 154.00. Anal. Calcd for C₁₀H₇ClN₂O₂Se: C, 39.82; H, 2.34; N, 9.29. Found: C, 39.73; H, 2.22; N, 9.41.

4.5.4. 3-Amino-5-tert-butyl-2-nitro-3-selenophene (3d)

Yield: 62%. Recrystallization in EtOH gave an orange solid; mp 136–138 °C. IR (KBr): 3415 (s), 3302 (s), 2965 (s), 1617 (s) cm⁻¹. ¹H NMR (250 MHz, DMSO): δ 1.23 (s, 9H, 3×CH₃), 6.74 (s, 1H, CH), 8.28 (s, 2H, NH₂). ¹³C NMR (62.9 MHz, DMSO): δ 31.40, 36.78, 117.60, 118.23, 153.90, 172.07. Anal. Calcd for C₈H₁₂N₂O₂Se: C, 38.88; H, 4.89; N, 11.33. Found: C, 38.95; H, 4.71; N, 11.47.

Acknowledgements

We are grateful to the 'Ministère de l'Éducation Nationale, de l'Enseignement Supérieur et de la Recherche' for a Ph.D. grant to D.T. We thank the 'Ministère de la Culture, de l'Enseignement Supérieur et de la Recherche de Luxembourg' for the financial support to J.C.R.D. and P.S. We also thank Mrs. Veronique Poddig for recording NMR spectra.

References and notes

- Morley, J. O.; Matthews, T. P. *Org. Biomol. Chem.* **2006**, *4*, 359.
- Beers, S. A.; Malloy, E. A.; Wu, W.; Wachter, M.; Ansell, J.; Singer, M.; Steber, M.; Barbone, A.; Kirchner, T.; Ritchie, D.; Argentieri, D. *Bioorg. Med. Chem.* **1997**, *5*, 779.
- Hallas, G.; Towns, A. D. *Dyes Pigments* **1997**, *3*, 219.
- Fishwick, B. R.; Rowles, D. K.; Stirling, C. J. M. *J. Chem. Soc., Perkin Trans. 1* **1986**, 1171.
- Gewald, K.; Hain, U. *Monatsh. Chem.* **1992**, *123*, 455.
- Migianu, E.; Kirsch, G. *Synthesis* **2002**, 1096.
- Thomae, D.; Kirsch, G.; Seck, P. *Synthesis* **2007**, 1027.
- Thomae, D.; Kirsch, G.; Seck, P. *Synthesis* **2007**, 2153.
- (a) Sommen, G.; Comel, A.; Kirsch, G. *Synlett* **2003**, 855; (b) Sommen, G.; Comel, A.; Kirsch, G. *Synthesis* **2004**, 451; (c) Cagniant, P.; Perin, P.; Kirsch, G.; Cagniant, D. *C.R. Hebd. Seances Acad. Sci. Ser. C* **1973**, *277*, 37; (d) Cagniant, P.; Perin, P.; Kirsch, G.; Cagniant, D. *C.R. Hebd. Seances Acad. Sci. Ser. C* **1974**, *279*, 851.
- (a) Rodriguez Dominguez, J. C.; Thomae, D.; Kirsch, G.; Seck, P. *Synlett* **2008**, 286; (b) Cagniant, P.; Kirsch, G. *C.R. Hebd. Seances Acad. Sci. Ser. C* **1975**, *281*, 35.
- (a) Ren, W.-Y.; Rao, K.; Kein, R. *J. Heterocycl. Chem.* **1986**, *23*, 1757; (b) Vega, S.; Gil, M. S. *J. Heterocycl. Chem.* **1991**, *28*, 1757; (c) Hartmann, H.; Liebscher, J. *Synthesis* **1984**, 275; (d) Hartmann, H.; Liebscher, J. *Synthesis* **1984**, 276; (e) Liebscher, J.; Neumann, B.; Hartmann, H. *J. Prakt. Chem.* **1983**, *325*, 915; (f) Hartmann, H.; Liebscher, J. *Synthesis* **1979**, 241.

Synthesis of Selenophene Analogues of the Tacrine Series: Comparison of Classical Route and Microwave Irradiation

David Thomae,^a Gilbert Kirsch,^{*a} Pierre Seck^b

^a Laboratoire d'Ingénierie Moléculaire et Biochimie Pharmacologique, Institut Jean Barriol, FR CNRS 2843, 1 Boulevard Arago, 57070 Metz, France
Fax +33(3)87315801; E-mail: kirsch@univ-metz.fr

^b Laboratoire de Chimie, Faculté des Sciences, de la Technologie et de la Communication, Université du Luxembourg, 162a Avenue de la Faiencerie, 1511 Luxembourg, Grand-Duché de Luxembourg

Received 28 January 2008

In memory of Ariane Beutler

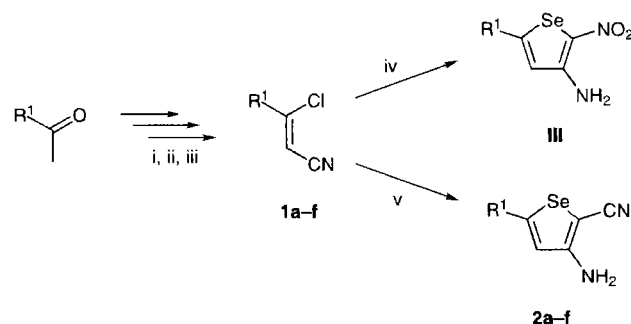
Abstract: New 3-amino-2-selenophenecarbonitriles condensed with cyclanones to afford, in one step, analogues of Tacrine. A comparison between classical heating and microwave irradiation for the Friedländer condensation is presented.

Key words: Alzheimer disease, Tacrine analogues, Friedländer reaction, 3-amino-2-cyanoselenophenes, sodium selenide, microwave irradiation

Alzheimer's disease is a form of dementia of older people and will be a major problem in the coming decade.¹ One possible treatment is to inhibit acetylcholinesterase, which plays a role in the formation of the β -amyloid plaque. The first acetylcholinesterase inhibitor used was Tacrine (**I**) sold under the name COGNEX[®] (Figure 1). However, this drug has side effects.² Our aim was to look at the effects of structural modifications of Tacrine on its biological activity. Recently, we described the synthesis of thiophene analogues of Tacrine,³ based on the thieno[3,2*b*]quinoline moiety **II** (Figure 1). To extend our library of new analogues of Tacrine, we have developed a method with which to prepare the selenophenes analogues **3**, **4** and **5** (Figure 1).

The precursors of **3**, **4** and **5** were the substituted selenophenes **2a–f** (Scheme 2) and the first step of the synthesis was thus to prepare these new 3-amino-2-seleno-

phenecarbonitriles. In the literature, access to 5-substituted 3-aminoselenophenes is described starting from ketene dithioacetals,⁴ 2-cyano-3-phenyl-3-chloroacrylonitrile⁵ or 3-aryl-3-chloroacrylonitrile⁶ and these strategies have been used for the synthesis of 3-amino-2-nitroselenophenes **III** (Scheme 1). To obtain **2a–f**, we applied the same strategy. Thus, β -chloroacrylonitriles **1a–f** were obtained in three steps by a method previously established by different groups and also used in our laboratory.^{3,6,7} Freshly prepared sodium selenide, prepared by a known method,^{4a,6} was reacted with β -chloroacrylonitriles **1a–f** in *N,N*-dimethylformamide (DMF) at 60 °C, to form the intermediate selenolate. After two hours, chloroacetonitrile was added dropwise at 60 °C and stirring was continued for two more hours. Cyclization was performed by addition of a solution of sodium ethanolate. Pouring the reaction mixture into water gave the compounds **2a–f** as solids in good yields (Table 1).



Scheme 1 Reagents and conditions: i) POCl₃, DMF, 60 °C, 5 h; ii) hydroxylamine chloride, EtOH, reflux; iii) Ac₂O; iv) Na₂Se, DMF, BrCH₂NO₂, NaOH; v) Na₂Se, DMF, ClCH₂CN, NaOEt.

Table 1 Formation of the Selenophenes **2a–f**

Entry	1	R ¹	Yield of 2 (%) ^a
1	1a	Ph	64
2	1b	4-MeC ₆ H ₄	76
3	1c	4-MeOC ₆ H ₄	80
4	1d	4-ClC ₆ H ₄	77
5	1e	<i>t</i> -Bu	68
6	1f	4-O ₂ NC ₆ H ₄	77

^a Crude product, analytically pure and used without purification.

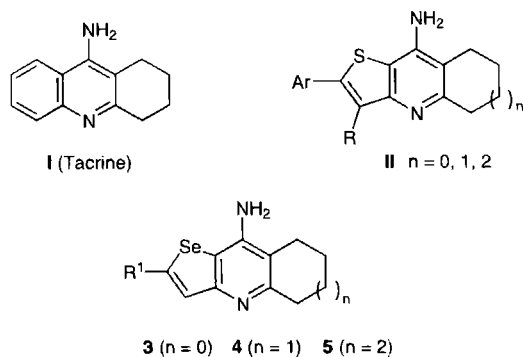


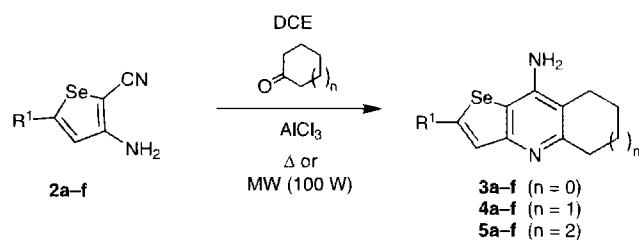
Figure 1 Structure of Tacrine, thiophene analogues and new selenophene analogues

SYNTHESIS 2008, No. 10, pp 1600–1606

Advanced online publication: 27.03.2008

DOI: 10.1055/s-2008-1067001; Art ID: Z03108SS

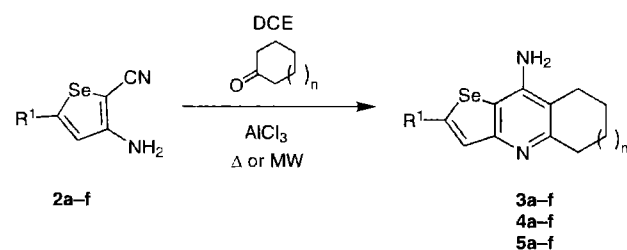
© Georg Thieme Verlag Stuttgart · New York

**Scheme 2** The Friedländer condensation

The second step of our synthesis was to prepare the selenophene analogues of Tacrine **3a-f**, **4a-f** and **5a-f** (Scheme 2). As for thieno[3,2*b*]quinolines,³ the Friedländer reaction was used. Substituted 3-amino-2-selenophenecarbonitriles reacted with cyclanones in the presence of aluminium chloride. The first attempt at cyclization was realized with **2d** under the conditions previ-

ously described in the literature.^{2,8} To aluminium chloride suspended in anhydrous dichloroethane under an argon atmosphere, **2d** and cyclopentanone were added. The solution was heated for 12 hours at reflux to give **3d** in 75% yield. In order to improve the reaction, the order of addition of the reagents was reversed. Thus, when **2** was dissolved in dichloroethane and the cyclanone was then added followed by aluminium chloride, the reaction was complete in 1–2 hours, instead of 12 hours, and compounds **3–5** were obtained in good yields (Table 2).

Since the pioneering work of Gedye in 1986,⁹ the use of microwave irradiation in organic reactions has become very important.¹⁰ Our laboratory has ongoing research in the microwave field, focussing on improving heterocyclic synthesis.¹¹ Moreover, some research on the microwave-assisted synthesis of quinolines have already been published.¹² After some attempts, we optimised the experi-

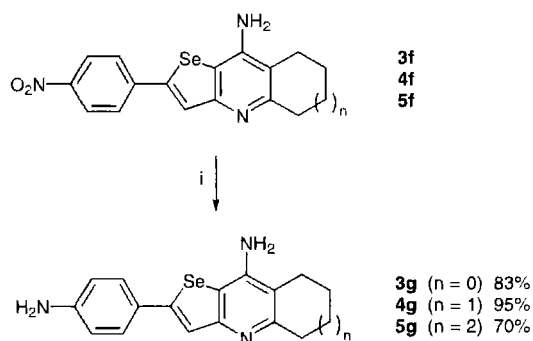
Table 2 Yields of the Friedländer Reaction

Tacrine analogue	Compound	Classical heating Method A		Microwave irradiation (100 W) Method B	
		Time (min)	Yield (%)	Time (min)	Yield (%)
	$n = 0$, 3a	120	65	2 × 8	70
	$n = 1$, 4a	120	85	2 × 8	95
	$n = 2$, 5a	120	78	2 × 8	97
	$n = 0$, 3b	60	83	1 × 8	93
	$n = 1$, 4b	60	80	1 × 8	89
	$n = 2$, 5b	60	76	1 × 8	91
	$n = 0$, 3c	120	85	2 × 8	75
	$n = 1$, 4c	60	73	2 × 8	84
	$n = 2$, 5c	60	75	2 × 8	82
	$n = 0$, 3d	120	84	1 × 10	94
	$n = 1$, 4d	120	94	1 × 10	79
	$n = 2$, 5d	120	90	1 × 10	88
	$n = 0$, 3e	120	92	1 × 8	93
	$n = 1$, 4e	120	95	1 × 8 + 3	94
	$n = 2$, 5e	120	91	1 × 8	91
	$n = 0$, 3f	120	85	2 × 8 ^a	86
	$n = 1$, 4f	120	95	2 × 8 ^a	95
	$n = 2$, 5f	120	85	2 × 8 ^a	88

^a Reaction performed in THF with AlCl₃ (6 equiv).

mental conditions through which to prepare **3**, **4** and **5** under microwave irradiation. Thus, **2a–f** were reacted with cyclanones in dichloroethane in the presence of aluminium chloride in the same proportions used for refluxing. The solution was heated between 8 and 16 minutes at constant power (100W). **3f**, **4f** and **5f** were not soluble enough in dichloroethane and the Friedländer reaction did not go to completion. In this case, when the solvent was changed to THF, however, **2f** rapidly gave the expected compounds **3f**, **4f** and **5f** in high yields (Table 2). Microwave irradiation helped to reduce the time of reaction and, in most cases, the yields were better than those obtained following the classical route (Table 2).

Nitro derivatives **3f**, **4f** and **5f** were transformed into the previously unknown amino compounds **3g**, **4g** and **5g**, respectively, in good yields, using hydrazine hydrate and palladium on activated carbon (Scheme 3).¹³



Scheme 3 Reagents and conditions: i) $\text{N}_2\text{H}_4\cdot\text{H}_2\text{O}$, Pd/C (5%), EtOH, reflux.

In conclusion, substituted 3-amino-2-cyanoselenophenecarbonitriles **2a–f** were synthesized in four steps with good yields. Experimental conditions for the Friedländer reaction under microwave irradiation have been developed, which allow very rapid access to the target molecules **3–5** in high yields. The expected compounds were obtained faster and with better yields than those obtained through classical heating. Biological tests using Ellman's test on acetylcholinesterase inhibition procedure¹⁴ are underway.

Melting points were determined on a Stuart SMP3 apparatus and are uncorrected. IR spectra were performed using a Perkin–Elmer Spectrum BxFT-IR spectrophotometer or were recorded neat from 4400 to 600 cm^{-1} on a Perkin–Elmer FT-IR Baragon 1000PC equipped with a Graseby–Specac golden gate and treated with the Spectrum (Perkin–Elmer) software version 5.3.1. ^1H and ^{13}C NMR spectra were recorded on a AC Bruker 250 MHz spectrometer in CDCl_3 or $\text{DMSO}-d_6$. MS spectra were recorded on an Agilent Technologies GC-MS instrument equipped with a 7683 injector, 6890N gas chromatograph and a 5973 mass-selective detector. The mass spectrometer was operated in EI mode at 70 eV and MS spectra were recorded from m/z 50 to 650. Elemental analyses were determined with a LECO CHNS 932 elemental analyzer. A CEM Discover oven was used for reactions requiring microwave irradiation.

Preparation of Sodium Selenide

Selenium (0.04 mol) was added to a solution of NaOH (0.224 mol) and sodium formaldehyde sulfoxylate (0.096 mol) in H_2O (40 mL). After stirring for 1 h at 50 °C, the white precipitate was filtered under an argon atmosphere and rapidly used for the next step.

Synthesis of Substituted 3-Aminoselenophenecarbonitrile (**2a–f**); General Procedure

Na_2Se (0.04 mol) was suspended in DMF (40 mL) and the corresponding β -chloroacrylonitrile **1a–f** (0.04 mol) dissolved in DMF (15 mL) was added. The mixture was heated at 60 °C for 2 h then chloroacetonitrile (0.04 mol) was added dropwise. After addition, the mixture was stirred for 2 h at 60 °C then a solution of EtONa (0.04 mol) in absolute EtOH (25 mL) was added and stirring was continued for 1 h at the same temperature. The mixture was poured onto H_2O (300 mL) under vigorous stirring and the precipitate was filtered, washed with H_2O (2×50 mL), dried at r.t. until constant weight and recrystallized (EtOH).

3-Amino-5-phenyl-2-selenophenecarbonitrile (**2a**)

Yield: 64%; brown solid; mp 110–112 °C (dec).

IR (neat): 3429 (s), 3332 (s), 3229 (s), 2959 (s), 2197 (s), 1563 (s) cm^{-1} .

^1H NMR (250 MHz, CDCl_3): δ = 6.58 (s, 2 H, NH_2), 7.20 (s, 1 H, CH), 7.41 (m, 3 H, CH), 7.42 (m, 2 H, $2 \times$ CH).

^{13}C NMR (63 MHz, $\text{DMSO}-d_6$): δ = 72.32, 117.15, 119.31, 125.78, 129.30, 129.41, 134.00, 153.11, 159.48.

GC-MS (EI, 70 eV): m/z = 248 [M^+], 168, 77.

Anal. Calcd for $\text{C}_{11}\text{H}_8\text{N}_2\text{Se}$: C, 56.46; H, 3.26; N, 11.33. Found: C, 56.66; H, 3.23; N, 10.30.

3-Amino-5-(4-methylphenyl)-2-selenophenecarbonitrile (**2b**)

Yield: 76%; brown solid; mp 190–192 °C.

IR (KBr): 3428 (s), 3345 (s), 3242 (s), 2178 (s), 1566 (s) cm^{-1} .

^1H NMR (250 MHz, $\text{DMSO}-d_6$): δ = 2.30 (s, 3 H, CH_3), 6.54 (s, 2 H, NH_2), 7.15 (s, 1 H, CH), 7.22 (d, J = 7.5 Hz, 2 H, $2 \times$ CH), 7.42 (d, J = 7.5 Hz, 2 H, $2 \times$ CH).

^{13}C NMR (63 MHz, $\text{DMSO}-d_6$): δ = 20.77, 71.67, 117.26, 118.64, 125.68, 129.71, 131.31, 138.34, 153.26, 159.53.

GC-MS (EI, 70 eV): m/z = 262 [M^+], 182, 115.

Anal. Calcd for $\text{C}_{12}\text{H}_{10}\text{N}_2\text{Se}$: C, 55.18; H, 3.86; N, 10.73. Found: C, 55.05; H, 4.01; N, 10.78.

3-Amino-5-(4-methoxyphenyl)-2-selenophenecarbonitrile (**2c**)

Yield: 80%; brown solid; mp 220–222 °C.

IR (KBr): 3458 (s), 3339 (s), 3234 (s), 2182 (s), 1565 (s) cm^{-1} .

^1H NMR (250 MHz, $\text{DMSO}-d_6$): δ = 3.77 (s, 3 H, CH_3), 6.52 (s, 2 H, NH_2), 6.96 (d, J = 7.5 Hz, 2 H, $2 \times$ CH), 7.11 (s, 1 H, CH), 7.46 (d, J = 7.5 Hz, 2 H, $2 \times$ CH).

^{13}C NMR (63 MHz, $\text{DMSO}-d_6$): δ = 55.33, 113.47, 114.59, 117.20, 117.94, 126.54, 126.54, 126.97, 157.21, 159.67, 160.20.

GC-MS (EI, 70 eV): m/z = 278 [M^+], 263, 198.

Anal. Calcd for $\text{C}_{12}\text{H}_{10}\text{N}_2\text{OSe}$: C, 52.00; H, 3.64; N, 10.11. Found: C, 52.16; H, 3.78; N, 10.99.

3-Amino-5-(4-chlorophenyl)-2-selenophenecarbonitrile (**2d**)

Yield: 77%; green solid; mp 204–206 °C.

IR (KBr): 3429 (s), 3333 (s), 3229 (s), 2198 (s), 1566 (s) cm^{-1} .

^1H NMR (250 MHz, $\text{DMSO}-d_6$): δ = 6.62 (s, 2 H, NH_2), 7.25 (s, 1 H, CH), 7.46 (d, J = 7.5 Hz, 2 H, $2 \times$ CH), 7.55 (d, J = 7.5 Hz, 2 H, $2 \times$ CH).

^{13}C NMR (63 MHz, DMSO- d_6): δ = 72.72, 117.07, 120.00, 127.70, 128.73, 132.90, 133.87, 151.39, 159.49.

GC-MS (EI, 70 eV): m/z = 282 [M^+], 202.

Anal. Calcd for $\text{C}_{11}\text{H}_7\text{ClN}_2\text{Se}$: C, 46.92; H, 2.51; N, 9.95. Found: C, 46.81; H, 2.24; N, 9.88.

3-Amino-5-*tert*-butyl-2-selenophenecarbonitrile (2e)

Yield: 68%; brown solid; mp 122–124 °C.

IR (KBr): 3414 (s), 3334 (s), 3227 (s), 2959 (s), 2185 (s), 1570 (s) cm^{-1} .

^1H NMR (250 MHz, DMSO- d_6): δ = 1.32 (s, 9 H, 3 \times CH_3), 4.44 (s, 2 H, NH_2), 6.59 (s, 1 H, CH).

^{13}C NMR (63 MHz, DMSO- d_6): δ = 32.32, 36.94, 79.61, 116.85, 117.68, 156.60, 172.16.

GC-MS (EI, 70 eV): m/z = 228 [M^+], 213, 147, 132.

Anal. Calcd for $\text{C}_9\text{H}_{12}\text{N}_2\text{Se}$: C, 47.58; H, 5.32; N, 12.33. Found: C, 47.84; H, 5.44; N, 12.28.

3-Amino-5-(4-nitrophenyl)-2-selenophenecarbonitrile (2f)

Yield: 77%; orange solid; mp 198–200 °C.

IR (KBr): 3431(s), 3312 (s), 1557 (s) cm^{-1} .

^1H NMR (250 MHz, DMSO- d_6): δ = 6.66 (s, 2 H, NH_2), 7.41 (s, 1 H, CH), 7.80 (d, J = 7.5 Hz, 2 H, 2 \times CH), 8.23 (d, J = 7.5 Hz, 2 H, 2 \times CH).

^{13}C NMR (63 MHz, DMSO- d_6): δ = 75.06, 116.74, 122.03, 124.48, 126.62, 140.01, 147.28, 149.92, 159.38.

GC-MS (EI, 70 eV): m/z = 293 [M^+], 263, 247, 220, 140.

Anal. Calcd for $\text{C}_{11}\text{H}_7\text{N}_3\text{O}_2\text{Se}$: C, 45.22; H, 2.42; N, 14.38. Found: C, 45.84; H, 2.45; N, 14.27.

Friedländer Reaction (Method A: Refluxing); General Procedure

Cyclanone (1.1 mmol) was added to a solution of selenophene **1** (1 mmol) in CH_2Cl_2 (25 mL). After stirring 5 min at r.t., aluminium chloride (1.7 mmol) was added and the mixture was heated at reflux for 1–2 h. When the reaction was complete (TLC), aq NaOH (10%, 25 mL) was added. After stirring for 30 min, the mixture was extracted with CH_2Cl_2 (3 \times 10 mL), dried over anhydrous NaSO_4 , filtered and the solvent was evaporated. The resultant solid was purified by column chromatography (EtOAc, 100%) or heated in MeCN (2 mL) and filtered while hot.

Friedländer Reaction (Method B: Microwave Irradiation); General Procedure

In a 100 mL round-bottom flask equipped with a condenser, cyclanone (2.2 mmol) was added to a solution of selenophene **2** (2 mmol) in CH_2Cl_2 (34 mL) (or THF when **2f** was used). Aluminium chloride (3.4 mmol or 12 mmol for **2f**) was added and the mixture was heated at reflux for 8–16 min under microwave irradiation (constant power of 100 W). When the reaction was complete (TLC), aq NaOH (10%, 34 mL) was added and stirring was continued for 30 min. The mixture was extracted with CH_2Cl_2 (3 \times 20 mL), dried over anhydrous NaSO_4 , filtered and the solvent was evaporated. The resultant solid was purified by column chromatography (EtOAc, 100%) or heated in MeCN (2 mL) and filtered while hot.

8-Amino-2-phenyl-6,7-dihydro-5H-cyclopenta[b]selenopheno[2,3-*e*]pyridine (3a)

Yield: 65% (Method A), 70% (Method B); brown solid; mp 234–236 °C.

IR (neat): 2949 (m), 1638 (s), 1563 (s), 1540 (s), 753 (s), 680 (s) cm^{-1} .

^1H NMR (250 MHz, DMSO- d_6): δ = 2.10 (m, 2 H, CH_2), 2.75 (m, 2 H, CH_2), 2.78 (m, 2 H, CH_2), 6.23 (s, 2 H, NH_2), 7.38 (m, 3 H, 3 \times CH), 7.52 (m, 2 H, 2 \times CH), 7.52 (s, 1 H, CH).

^{13}C NMR (63 MHz, DMSO- d_6): δ = 24.65, 27.45, 33.70, 114.54, 117.54, 124.33, 125.91, 127.83, 129.14, 135.50, 146.64, 146.95, 158.78, 163.76.

GC-MS (EI, 70 eV): m/z = 314 [M^+], 233.

Anal. Calcd for $\text{C}_{16}\text{H}_{14}\text{N}_2\text{Se}$: C, 61.35; H, 4.50; N, 8.94. Found: C, 61.43; H, 4.49; N, 8.89.

9-Amino-2-phenyl-5,6,7,8-tetrahydro-selenopheno[3,2-*b*]quinoline (4a)

Yield: 85% (Method A), 95% (Method B); brown solid; mp 228–230 °C.

IR (neat): 2926 (m), 164 (s), 1559 (s), 1529 (s), 753 (s), 684 (s) cm^{-1} .

^1H NMR (250 MHz, DMSO- d_6): δ = 1.80 (m, 4 H, 2 \times CH_2), 2.49 (m, 2 H, CH_2), 2.75 (m, 2 H, CH_2), 6.09 (s, 2 H, NH_2), 7.39 (m, 3 H, 3 \times CH), 7.68 (m, 2 H, 2 \times CH), 7.80 (s, 1 H, CH).

^{13}C NMR (63 MHz, DMSO- d_6): δ = 22.38, 22.59, 23.32, 32.52, 110.03, 116.82, 124.30, 125.97, 128.54, 129.14, 135.46, 146.83, 148.70, 154.53, 156.89.

GC-MS (EI, 70 eV): m/z = 328 [M^+], 312, 300.

Anal. Calcd for $\text{C}_{17}\text{H}_{16}\text{N}_2\text{Se}$: C, 62.39; H, 4.93; N, 8.56. Found: C, 62.34; H, 4.74; N, 8.65.

10-Amino-2-phenyl-6,7,8,9-tetrahydro-5H-cyclohepta[b]selenopheno[2,3-*e*]pyridine (5a)

Yield: 78% (Method A), 97% (Method B); brown solid; mp 216–218 °C.

IR (neat): 2918 (m), 1631 (s), 1558 (s), 1528 (s), 753 (s), 687 (s) cm^{-1} .

^1H NMR (250 MHz, DMSO- d_6): δ = 1.56 (m, 4 H, 2 \times CH_2), 1.80 (m, 2 H, CH_2), 2.73 (m, 2 H, CH_2), 2.90 (m, 2 H, CH_2), 6.20 (s, 2 H, NH_2), 7.42 (m, 3 H, 3 \times CH), 7.68 (m, 2 H, 2 \times CH), 7.82 (s, 1 H, CH).

^{13}C NMR (63 MHz, DMSO- d_6): δ = 23.63, 24.99, 26.45, 27.29, 31.74, 115.31, 118.87, 124.61, 125.94, 128.47, 129.15, 135.52, 146.79, 147.70, 156.37, 161.72.

GC-MS (EI, 70 eV): m/z = 342 [M^+], 327, 313, 288, 77.

Anal. Calcd for $\text{C}_{18}\text{H}_{18}\text{N}_2\text{Se}$: C, 63.34; H, 5.32; N, 8.21. Found: C, 63.57; H, 5.13; N, 8.14.

8-Amino-2-(4-methylphenyl)-6,7-dihydro-5H-cyclopenta[b]selenopheno[2,3-*e*]pyridine (3b)

Yield: 83% (Method A), 93% (Method B); light-brown solid; mp 264–266 °C.

IR (neat): 2949 (m), 1645 (s), 1561 (s), 1538 (s), 800 (s) cm^{-1} .

^1H NMR (250 MHz, CDCl_3): δ = 2.14 (m, 2 H, CH_2), 2.17 (s, 3 H, CH_3), 2.77 (m, 2 H, CH_2), 3.00 (m, 2 H, CH_2), 4.05 (s, 2 H, NH_2), 7.18 (d, J = 7.5 Hz, 2 H, 2 \times CH), 7.46 (d, J = 7.5 Hz, 2 H, 2 \times CH), 7.57 (s, 1 H, CH).

^{13}C NMR (63 MHz, DMSO- d_6): δ = 20.76, 22.44, 27.47, 33.81, 114.40, 117.18, 123.89, 125.81, 129.69, 132.84, 138.04, 146.56, 146.76, 159.26, 163.95.

GC-MS (EI, 70 eV): m/z = 328 [M^+], 247, 163, 115, 91.

Anal. Calcd for $\text{C}_{17}\text{H}_{16}\text{N}_2\text{Se}$: C, 62.39; H, 4.93; N, 8.56. Found: C, 62.66; H, 5.14; N, 8.29.

9-Amino-2-(4-methylphenyl)-5,6,7,8-tetrahydro-selenopheno[3,2-*b*]quinoline (4b)

Yield: 80% (Method A), 89% (Method B); colorless solid; mp 254–256 °C.

IR (neat): 2929 (m), 1646 (s), 1559 (s), 153 (s), 807 (s) cm⁻¹.¹H NMR (250 MHz, DMSO-*d*₆): δ = 1.79 (m, 4 H, 2 × CH₂), 2.34 (s, 3 H, CH₃), 2.50 (m, 2 H, CH₂), 2.75 (m, 2 H, CH₂), 6.02 (s, 2 H, NH₂), 7.26 (d, *J* = 7.5 Hz, 2 H, 2 × CH), 7.58 (d, *J* = 7.5 Hz, 2 H, 2 × CH), 7.76 (s, 1 H, CH).¹³C NMR (63 MHz, DMSO-*d*₆): δ = 20.75, 22.43, 22.66, 23.34, 32.67, 109.92, 116.48, 123.82, 125.85, 130.67, 132.80, 138.10, 146.73, 148.50, 154.63, 157.29.GC-MS (EI, 70 eV): *m/z* = 342 [M⁺], 326, 314, 163, 115, 91.Anal. Calcd for C₁₈H₁₈N₂Se: C, 63.34; H, 5.32; N, 8.21. Found: C, 63.38; H, 5.33; N, 8.35.**10-Amino-2-(4-methylphenyl)-6,7,8,9-tetrahydro-5H-cyclohepta[*b*]selenopheno[2,3-*e*]pyridine (5b)**

Yield: 76% (Method A), 91% (Method B); light-brown solid; mp 276–278 °C.

IR (neat): 2917 (m), 1648 (s), 1559 (s), 1534 (s), 809 (s) cm⁻¹.¹H NMR (250 MHz, DMSO-*d*₆): δ = 1.55 (m, 4 H, 2 × CH₂), 1.58 (m, 2 H, CH₂), 2.30 (s, 3 H, CH₃), 2.72 (m, 2 H, CH₂), 2.89 (m, 2 H, CH₂), 5.99 (s, 2 H, NH₂), 7.25 (d, *J* = 7.5 Hz, 2 H, 2 × CH), 7.56 (d, *J* = 7.5 Hz, 2 H, 2 × CH), 7.75 (s, 1 H, CH).¹³C NMR (63 MHz, DMSO-*d*₆): δ = 20.74, 25.00, 26.47, 27.32, 31.75, 32.07, 115.20, 118.55, 124.01, 125.68, 129.66, 132.83, 138.04, 146.79, 147.58, 156.60, 161.75.GC-MS (EI, 70 eV): *m/z* = 356 [M⁺], 341, 327, 163, 115, 91.Anal. Calcd for C₁₉H₂₀N₂Se: C, 64.22; H, 5.67; N, 7.88. Found: C, 64.08; H, 5.57; N, 7.98.**8-Amino-2-(4-methoxyphenyl)-6,7-dihydro-5H-cyclopenta[*b*]selenopheno[2,3-*e*]pyridine (3c)**

Yield: 83% (Method A), 75% (Method B); light-brown solid; mp 236–238 °C.

IR (neat): 2944 (m), 1647 (m), 1562 (s), 1540 (s), 810 (s) cm⁻¹.¹H NMR (250 MHz, CDCl₃): δ = 2.22 (m, 2 H, CH₂), 2.82 (m, 2 H, CH₂), 3.05 (m, 2 H, CH₂), 3.87 (s, 3 H, CH₃), 4.18 (s, 2 H, NH₂), 6.96 (d, *J* = 7.5 Hz, 2 H, 2 × CH), 7.64 (d, *J* = 7.5 Hz, 2 H, 2 × CH), 7.71 (s, 1 H, CH).¹³C NMR (63 MHz, CDCl₃): δ = 22.96, 27.27, 34.38, 55.41, 114.36, 115.65, 123.36, 127.86, 128.63, 129.59, 145.00, 147.76, 159.85, 160.04, 165.15.GC-MS (EI, 70 eV): *m/z* = 344 [M⁺], 329, 300, 219, 207.Anal. Calcd for C₁₇H₁₆N₂OSe: C, 59.48; H, 4.70; N, 8.16. Found: C, 59.61; H, 4.52; N, 8.13.**9-Amino-2-(4-methoxyphenyl)-5,6,7,8-tetrahydro-selenopheno[3,2-*b*]quinoline (4c)**

Yield: 73% (Method A), 84% (Method B); colorless solid; mp 246–248 °C.

IR (neat): 2933 (m), 1646 (m), 1532 (s), 1499 (s), 822 (s) cm⁻¹.¹H NMR (250 MHz, CDCl₃): δ = 1.79 (m, 2 H, CH₂), 1.81 (m, 2 H, CH₂), 2.47 (m, 2 H, CH₂), 2.86 (m, 2 H, CH₂), 3.73 (s, 3 H, CH₃), 4.13 (s, 2 H, NH₂), 6.83 (d, *J* = 7.5 Hz, 2 H, 2 × CH), 7.49 (d, *J* = 7.5 Hz, 2 H, 2 × CH), 7.66 (s, 1 H, CH).¹³C NMR (63 MHz, CDCl₃): δ = 22.71, 22.92, 23.38, 33.04, 55.40, 110.96, 114.35, 123.23, 127.77, 128.55, 129.59, 147.28, 147.91, 155.79, 157.80, 160.07.GC-MS (EI, 70 eV): *m/z* = 358 [M⁺], 343, 330, 315, 219, 207.Anal. Calcd for C₁₈H₁₈N₂OSe: C, 60.51; H, 5.08; N, 7.84. Found: C, 60.78; H, 5.26; N, 7.94.**10-Amino-2-(4-methoxyphenyl)-6,7,8,9-tetrahydro-5H-cyclohepta[*b*]selenopheno[2,3-*e*]pyridine (5c)**

Yield: 75% (Method A), 82% (Method B); colorless solid; mp 240–242 °C.

IR (neat): 2918 (m), 1650 (m), 1533 (s), 1498 (s), 825 (s) cm⁻¹.¹H NMR (250 MHz, DMSO-*d*₆): δ = 1.54 (m, 2 H, CH₂), 1.56 (m, 2 H, CH₂), 1.79 (m, 2 H, CH₂), 2.72 (m, 2 H, CH₂), 2.88 (m, 2 H, CH₂), 3.79 (s, 3 H, CH₃), 5.97 (s, 2 H, NH₂), 7.00 (d, *J* = 7.5 Hz, 2 H, 2 × CH), 7.60 (d, *J* = 7.5 Hz, 2 H, 2 × CH), 7.67 (s, 1 H, CH).¹³C NMR (63 MHz, CDCl₃): δ = 26.04, 26.64, 27.29, 32.22, 39.05, 55.41, 116.50, 119.92, 123.51, 127.51, 127.76, 128.59, 146.16, 148.08, 157.06, 160.05, 162.65.GC-MS (EI, 70 eV): *m/z* = 372 [M⁺], 357, 343, 328, 315, 300, 219, 207.Anal. Calcd for C₁₉H₂₀N₂OSe: C, 61.45; H, 5.43; N, 7.54. Found: C, 61.25; H, 5.53; N, 7.72.**8-Amino-2-(4-chlorophenyl)-6,7-dihydro-5H-cyclopenta[*b*]selenopheno[2,3-*e*]pyridine (3d)**

Yield: 84% (Method A), 94% (Method B); brown solid; mp 270–272 °C.

IR (neat): 2952 (m), 1642 (s), 1539 (s), 1562 (s), 814 (s) cm⁻¹.¹H NMR (250 MHz, DMSO-*d*₆): δ = 2.04 (m, 2 H, CH₂), 2.75 (m, 2 H, CH₂), 2.83 (m, 2 H, CH₂), 6.22 (s, 2 H, NH₂), 7.57 (d, *J* = 7.5 Hz, 2 H, 2 × CH), 7.62 (d, *J* = 7.5 Hz, 2 H, 2 × CH), 7.71 (s, 1 H, CH).¹³C NMR (63 MHz, DMSO-*d*₆): δ = 22.41, 27.47, 33.76, 114.67, 117.80, 125.28, 127.56, 129.08, 132.88, 134.46, 144.87, 146.83, 158.93, 164.10.GC-MS (EI, 70 eV): *m/z* = 348 [M⁺], 331, 311, 267.Anal. Calcd for C₁₆H₁₃ClN₂Se: C, 55.27; H, 3.77; N, 8.06. Found: C, 55.54; H, 3.83; N, 8.09.**9-Amino-2-(4-chlorophenyl)-5,6,7,8-tetrahydro-selenopheno[3,2-*b*]quinoline (4d)**

Yield: 94% (Method A), 79% (Method B); brown solid; mp 258–260 °C.

IR (neat): 2932 (m), 1628 (m), 1557 (s), 1528 (s), 814 (s) cm⁻¹.¹H NMR (250 MHz, DMSO-*d*₆): δ = 1.77 (m, 4 H, 2 × CH₂), 2.48 (m, 2 H, CH₂), 2.74 (m, 2 H, CH₂), 6.08 (s, 2 H, NH₂), 7.50 (d, *J* = 7.5 Hz, 2 H, 2 × CH), 7.67 (d, *J* = 7.5 Hz, 2 H, 2 × CH), 7.84 (s, 1 H, CH).¹³C NMR (63 MHz, DMSO-*d*₆): δ = 22.37, 22.59, 23.35, 32.60, 110.16, 117.05, 125.22, 127.61, 129.09, 132.94, 134.43, 145.07, 148.63, 154.76, 156.95.GC-MS (EI, 70 eV): *m/z* = 362 [M⁺], 346, 334, 281.Anal. Calcd for C₁₇H₁₅ClN₂Se: C, 56.45; H, 4.18; N, 7.74. Found: C, 56.61; H, 4.16; N, 7.49.**10-Amino-2-(4-chlorophenyl)-6,7,8,9-tetrahydro-5H-cyclohepta[*b*]selenopheno[2,3-*e*]pyridine (5d)**

Yield: 90% (Method A), 88% (Method B); brown solid; mp 274–276 °C.

IR (neat): 2917 (m), 1648 (m), 1559 (s), 1531 (s), 820 (s) cm⁻¹.¹H NMR (250 MHz, DMSO-*d*₆): δ = 1.57 (m, 4 H, 2 × CH₂), 1.79 (m, 2 H, CH₂), 2.38 (m, 2 H, CH₂), 2.89 (m, 2 H, CH₂), 6.06 (s, 2 H,

NH₂), 7.55 (d, $J = 7.5$ Hz, 2 H, 2 × CH), 7.63 (d, $J = 7.5$ Hz, 2 H, 2 × CH), 7.85 (s, 1 H, CH).

¹³C NMR (63 MHz, DMSO-*d*₆): $\delta = 23.63, 25.00, 26.45, 27.28, 30.36, 115.46, 119.15, 125.47, 127.59, 129.09, 132.89, 134.48, 145.06, 147.66, 156.36, 161.95$.

GC-MS (EI, 70 eV): $m/z = 376$ [M⁺], 361, 347, 207.

Anal. Calcd for C₁₈H₁₇ClN₂Se: C, 57.54; H, 4.56; N, 7.46. Found: C, 57.65; H, 4.50; N, 9.43.

8-Amino-2-*tert*-butyl-3-methyl-6,7-dihydro-5H-cyclopenta[b]seleno[2,3-*e*]pyridine (3e)

Yield: 92% (Method A), 93% (Method B); beige solid; mp 212–214 °C.

IR (neat): 2951 (s), 1646 (s), 1563 (s), 1537 (s) cm⁻¹.

¹H NMR (250 MHz, DMSO-*d*₆): $\delta = 1.35$ (s, 9 H, 3 × CH₃), 2.01 (m, 2 H, CH₂), 2.71 (m, 2 H, CH₂), 2.79 (m, 2 H, CH₂), 5.97 (s, 1 H, NH₂), 7.14 (s, 1 H, CH).

¹³C NMR (63 MHz, DMSO-*d*₆): $\delta = 22.44, 27.36, 32.13, 32.78, 36.09, 113.58, 116.31, 122.68, 146.70, 158.59, 162.53, 163.25$.

GC-MS (EI, 70 eV): $m/z = 294$ [M⁺], 279, 263, 251, 237, 199.

Anal. Calcd for C₁₄H₁₈N₂Se: C, 57.34; H, 6.19; N, 9.55. Found: C, 57.30; H, 6.11; N, 9.37.

9-Amino-2-*tert*-butyl-3-methyl-5,6,7,8-tetrahydro-selenopheno[3,2-*b*]quinoline (4e)

Yield: 95% (Method A), 94% (Method B); beige solid; mp 198–200 °C.

IR (neat): 2928 (s), 1641 (s), 1562 (s), 1527 (s) cm⁻¹.

¹H NMR (250 MHz, DMSO-*d*₆): $\delta = 1.35$ (s, 9 H, 3 × CH₃), 1.74 (m, 4 H, 2 × CH₂), 2.48 (m, 2 H, CH₂), 2.70 (m, 2 H, CH₂), 5.84 (s, 1 H, NH₂), 7.11 (s, 1 H, CH).

¹³C NMR (63 MHz, DMSO-*d*₆): $\delta = 22.49, 22.71, 23.22, 32.10, 32.61, 36.08, 109.17, 115.74, 122.57, 148.48, 153.93, 156.60, 162.80$.

GC-MS (EI, 70 eV): $m/z = 308$ [M⁺], 293, 277, 265, 213.

Anal. Calcd for C₁₅H₂₀N₂Se: C, 58.63; H, 6.56; N, 9.12. Found: C, 58.52; H, 6.40; N, 9.06.

10-Amino-2-*tert*-butyl-3-methyl-6,7,8,9-tetrahydro-5H-cyclohepta[b]selenopheno[2,3-*e*]pyridine (5e)

Yield: 91% (Method A), 91% (Method B); beige solid; mp 192–194 °C.

IR (neat): 2916 (s), 1680 (s), 1562 (s), 1528 (s) cm⁻¹.

¹H NMR (250 MHz, DMSO-*d*₆): $\delta = 1.35$ (s, 9 H, 3 × CH₃), 1.52 (m, 4 H, 2 × CH₂), 1.74 (m, 2 H, CH₂), 2.68 (m, 2 H, CH₂), 2.85 (m, 2 H, CH₂), 5.85 (s, 1 H, NH₂), 7.12 (s, 1 H, CH).

¹³C NMR (63 MHz, DMSO-*d*₆): $\delta = 24.95, 26.51, 27.40, 31.76, 32.13, 36.07, 38.35, 114.49, 117.72, 122.81, 147.53, 155.87, 161.11, 162.82$.

GC-MS (EI, 70 eV): $m/z = 322$ [M⁺], 307, 293, 277, 263, 227.

Anal. Calcd for C₁₇H₂₂N₂Se: C, 59.81; H, 6.90; N, 8.72. Found: C, 70.22; H, 6.04; N, 8.87.

8-Amino-2-(4-nitrophenyl)-6,7-dihydro-5H-cyclopenta[b]selenopheno[2,3-*e*]pyridine (3f)

Yield: 85% (Method A), 86% (Method B); brown solid; mp 286–288 °C (MeCN).

IR (neat): 2922 (m), 1590 (s), 1562 (s), 1511 (s), 1337 (s) cm⁻¹.

¹H NMR (250 MHz, DMSO-*d*₆): $\delta = 2.08$ (m, 2 H, CH₂), 2.75 (m, 2 H, CH₂), 2.85 (m, 2 H, CH₂), 6.35 (s, 2 H, NH₂), 7.95 (d, $J = 7.5$

Hz, 2 H, 2 × CH), 8.11 (s, 1 H, CH), 8.26 (d, $J = 7.5$ Hz, 2 H, 2 × CH).

¹³C NMR (63 MHz, CDCl₃): $\delta = 22.38, 27.50, 33.71, 115.20, 119.24, 124.39, 126.81, 127.90, 141.82, 143.59, 146.67, 146.98, 158.43, 164.43$.

GC-MS (EI, 70 eV): $m/z = 248, 168$.

Anal. Calcd for C₁₅H₁₃N₃O₂Se: C, 53.64; H, 3.66; N, 11.73. Found: C, 53.46; H, 3.85; N, 11.42.

9-Amino-2-(4-nitrophenyl)-5,6,7,8-tetrahydro-selenopheno[3,2-*b*]quinoline (4f)

Yield: 95% (Method A), 95% (Method B); brown solid; mp 276–278 °C (MeCN).

IR (neat): 2932 (m), 1592 (s), 1561 (s), 1511 (s), 1338 (s) cm⁻¹.

¹H NMR (250 MHz, CDCl₃): $\delta = 1.78$ (m, 4 H, 2 × CH₂), 2.48 (m, 2 H, CH₂), 2.76 (m, 2 H, CH₂), 6.17 (s, 2 H, NH₂), 7.96 (d, $J = 7.5$ Hz, 2 H, 2 × CH), 8.10 (s, 1 H, CH), 8.26 (d, $J = 7.5$ Hz, 2 H, 2 × CH).

¹³C NMR (63 MHz, CDCl₃): $\delta = 22.32, 22.56, 23.19, 32.68, 110.64, 118.39, 124.39, 126.86, 128.11, 141.85, 143.61, 146.70, 148.66, 155.30, 156.73$.

Anal. Calcd for C₁₇H₁₅N₃O₂Se: C, 54.85; H, 4.06; N, 11.29. Found: C, 55.12; H, 4.30; N, 11.23.

10-Amino-2-(4-nitrophenyl)-6,7,8,9-tetrahydro-5H-cyclohepta[b]selenopheno[2,3-*e*]pyridine (5f)

Yield: 85% (Method A), 88% (Method B); brown solid; mp 272–274 °C (MeCN).

IR (neat): 2918 (m), 1591 (s), 1560 (s), 1514 (s), 1338 (s) cm⁻¹.

¹H NMR (250 MHz, CDCl₃): $\delta = 1.57$ (m, 4 H, 2 × CH₂), 1.78 (m, 2 H, CH₂), 2.76 (m, 2 H, CH₂), 2.82 (m, 2 H, CH₂), 6.17 (s, 2 H, NH₂), 7.95 (d, $J = 7.5$ Hz, 2 H, 2 × CH), 8.10 (s, 1 H, CH), 8.26 (d, $J = 7.5$ Hz, 2 H, 2 × CH).

¹³C NMR (63 MHz, CDCl₃): $\delta = 25.03, 26.42, 27.22, 29.82, 31.69, 115.94, 120.54, 124.41, 126.83, 128.25, 141.87, 143.67, 146.58, 147.74, 156.07, 162.38$.

GC-MS (EI, 70 eV): $m/z = 357, 342, 328$.

Anal. Calcd for C₁₈H₁₇N₃O₂Se: C, 55.96; H, 4.44; N, 10.88. Found: C, 55.84; H, 4.59; N, 10.98.

Reduction of the Nitro Group; General Procedure

In a three-necked round-bottom flask equipped with a magnetic stirrer, condenser and stoppers, Pd/C (5%, 60 mg) was added to a solution of **2f**, **3f** or **4f** (0.5 mmol) in absolute EtOH (10 mL). Hydrazine hydrate (98%, 1.35 mmol) was added dropwise at r.t. and the mixture was stirred for 30 min. The mixture was then heated at reflux for 4 h, and every hour, additional hydrazine hydrate (1.35 mmol) was added. When the reaction was complete, EtOH was evaporated under vacuum and H₂O (30 mL) was added. The precipitate was filtered, washed with H₂O (2 × 10 mL), dried at r.t. until constant weight and recrystallized (EtOH).

8-Amino-2-(4-aminophenyl)-6,7-dihydro-5H-cyclopenta[b]selenopheno[2,3-*e*]pyridine (3g)

Yield: 83%; orange solid; mp 210–212 °C.

IR (neat): 3338 (m), 3209 (m), 2949 (m), 1604 (s), 1562 (s), 1502 (s), 821 (s) cm⁻¹.

¹H NMR (250 MHz, DMSO-*d*₆): $\delta = 2.03$ (m, 2 H, CH₂), 2.73 (m, 2 H, CH₂), 2.81 (m, 2 H, CH₂), 5.47 (s, 2 H, NH₂), 6.08 (s, 2 H, NH₂), 6.58 (d, $J = 7.5$ Hz, 2 H, 2 × CH), 7.33 (d, $J = 7.5$ Hz, 2 H, 2 × CH), 7.48 (s, 1 H, CH).

^{13}C NMR (63 MHz, CDCl_3): $\delta = 22.41, 27.42, 33.64, 113.86, 113.92, 115.73, 119.96, 122.91, 126.98, 146.85, 148.50, 149.57, 159.22, 163.04$.

GC-MS (EI, 70 eV): $m/z = 329$ [M^+], 313, 207.

Anal. Calcd for $\text{C}_{16}\text{H}_{15}\text{N}_3\text{Se}$: C, 58.54; H, 4.61; N, 12.80. Found: C, 58.61; H, 4.68; N, 12.79.

9-Amino-2-(4-nitrophenyl)-5,6,7,8-tetrahydro-selenopheno[3,2-b]quinoline (4g)

Yield: 95%; orange solid; mp 208–210 °C.

IR (neat): 3338 (m), 3208 (m), 2924 (m), 2856 (m), 1603 (s), 1531(s), 1500 (s) cm^{-1} .

^1H NMR (250 MHz, CDCl_3): $\delta = 1.76$ (m, 4 H, $2 \times \text{CH}_2$), 2.48 (m, 2 H, CH_2), 2.71 (m, 2 H, CH_2), 5.48 (s, 2 H, NH_2), 5.96 (s, 2 H, NH_2), 6.58 (d, $J = 7.5$ Hz, 2 H, $2 \times \text{CH}$), 7.33 (d, $J = 7.5$ Hz, 2 H, $2 \times \text{CH}$), 7.45 (s, 1 H, CH).

^{13}C NMR (63 MHz, CDCl_3): $\delta = 22.41, 22.60, 23.23, 32.35, 109.42, 113.85, 115.14, 119.83, 122.86, 127.04, 148.56, 148.65, 149.62, 153.83, 157.32$.

Anal. Calcd for $\text{C}_{17}\text{H}_{17}\text{N}_3\text{Se}$: C, 59.65; H, 5.01; N, 12.28. Found: C, 59.74; H, 5.32; N, 12.39.

10-Amino-2-(4-nitrophenyl)-6,7,8,9-tetrahydro-5H-cyclohepta[b]selenopheno[2,3-e]pyridine (5g)

Yield: 70%; orange solid; mp 212–214 °C.

IR (neat): 3341 (m), 3193 (m), 2916 (m), 2847 (m), 1601 (s), 1529 (s), 1500 (s), 816 (s) cm^{-1} .

^1H NMR (250 MHz, CDCl_3): $\delta = 1.48$ (m, 4 H, $2 \times \text{CH}_2$), 1.78 (m, 2 H, CH_2), 2.71 (m, 2 H, CH_2), 2.86 (m, 2 H, CH_2), 5.47 (s, 2 H, NH_2), 5.91 (s, 2 H, NH_2), 6.58 (d, $J = 7.5$ Hz, 2 H, $2 \times \text{CH}$), 7.33 (d, $J = 7.5$ Hz, 2 H, $2 \times \text{CH}$), 7.45 (s, 1 H, CH).

^{13}C NMR (63 MHz, CDCl_3): $\delta = 18.51, 24.95, 26.41, 27.29, 31.74, 113.75, 114.72, 117.12, 119.92, 123.66, 126.97, 147.77, 149.60, 150.42, 154.84, 160.86$.

GC-MS (EI, 70 eV): $m/z = 220$.

Anal. Calcd for $\text{C}_{18}\text{H}_{19}\text{N}_3\text{Se}$: C, 60.67; H, 5.37; N, 11.79. Found: C, 60.62; H, 5.27; N, 1.84.

Acknowledgment

We thank to the Ministère de l'Éducation Nationale, de l'Enseignement Supérieur et de la Recherche for a PhD grant to D.T. We thank also the Université du Luxembourg for financial support to P.S. We are grateful to Ms. Veronique Poddig for recording NMR spectra and Dr Serge Schneider and Dr Marc Schuman from the Laboratoire de Toxicologie at the Laboratoire National de Santé (Luxembourg) for recording the IR and MS spectra.

References

- (1) Francotte, P.; Grandorge, E.; Boverie, S.; De Tullio, P.; Pirotte, B. *Curr. Med. Chem.* **2004**, *11*, 1757.

- (2) Augry, F.; Darch, A.; De Routou, J.; Guelfi, M. C.; Forette, F. *J. Pharm. Clin.* **1997**, *16*, 183.
- (3) Thomae, D.; Kirsch, G.; Seck, P. *Synthesis* **2007**, 1027.
- (4) (a) Sommen, G.; Comel, A.; Kirsch, G. *Synlett* **2003**, 855. (b) Sommen, G.; Comel, A.; Kirsch, G. *Synthesis* **2004**, 451.
- (5) Gewald, K.; Hain, U. *Monatsh. Chem.* **1992**, *123*, 455.
- (6) Thomae, D.; Rodriguez Dominguez, J. C.; Kirsch, G.; Seck, P. *Tetrahedron* **2008**, *64*, 3232.
- (7) (a) Thomae, D.; Kirsch, G.; Seck, P. *Synthesis* **2007**, 2153. (b) Migianu, E.; Kirsch, G. *Synthesis* **2002**, 1096. (c) Ren, W.-Y.; Rao, K.; Kein, R. *J. Heterocycl. Chem.* **1986**, *23*, 1757. (d) Vega, S.; Gil, M. S. *J. Heterocycl. Chem.* **1991**, *28*, 1757. (e) Hartmann, H.; Liebscher, J. *Synthesis* **1984**, 275. (f) Hartmann, H.; Liebscher, J. *Synthesis* **1984**, 276. (g) Liebscher, J.; Neumann, B.; Hartmann, H. *J. Prakt. Chem.* **1983**, *325*, 915. (h) Hartmann, H.; Liebscher, J. *Synthesis* **1979**, 241.
- (8) (a) Marco-Contelles, J.; Leon, R.; De los Rios, C.; Garcia, A. G.; Lopez, M. G.; Villarroya, M. *Bioorg. Med. Chem.* **2006**, *14*, 8176. (b) Marco-Contelles, J.; Leon, R.; De los Rios, C.; Garcia, A. G.; Lopez, M. G.; Villarroya, M. *Eur. J. Med. Chem.* **2006**, *41*, 1464. (c) Leon, R.; Marco-Contelles, J.; Garcia, A. G.; Villarroya, M. *Bioorg. Med. Chem.* **2005**, *13*, 1167. (d) Marco, J. L.; De Los Rios, C.; Garcia, A.; Villarroya, M.; Carreiras, C.; Martins, C.; Eleutério, A.; Morreale, A.; Orozco, M.; Luque, F. J. *Bioorg. Med. Chem.* **2004**, *12*, 2199. (e) De Los Rios, C.; Marco, J. L.; Carreiras, M. D. C.; Chinchon, P. M.; Garcia, A.; Villarroya, M. *Bioorg. Med. Chem.* **2002**, *10*, 2077. (f) Marco, J. L.; De Los Rios, C.; Carreiras, C.; Baños, J. E.; Badia, A.; Vivas, N. M. *Bioorg. Med. Chem.* **2001**, *9*, 727. (g) Grau, A. M.; Marco, J. L. *Bioorg. Med. Chem.* **1997**, *24*, 3165.
- (9) Gedye, R. N.; Smith, F.; Westaway, K.; Ali, H.; Baldisera, L.; Laberge, L.; Rousell, J. *Tetrahedron Lett.* **1986**, *27*, 279.
- (10) Perreux, L.; Loupy, A. *Tetrahedron* **2001**, *57*, 9199.
- (11) (a) Hesse, S.; Perspicaco, E.; Kirsch, G. *Tetrahedron Lett.* **2007**, *48*, 5261. (b) Begouin, A.; Hesse, S.; Kirsch, G. *ARKIVOC* **2008**, (vii), 84.
- (12) (a) Song, S. J.; Cho, S. J.; Park, D. K.; Kwon, T. W.; Jenekhe, S. A. *Tetrahedron Lett.* **2003**, *44*, 255. (b) Muscia, G. C.; Bollini, M.; Carnevale, J. P.; Bruno, A. M.; Asis, S. E. *Tetrahedron Lett.* **2006**, *44*, 8811. (c) Jia, C. S.; Zhang, Z.; Tu, S. J.; Wang, G. W. *Org. Biomol. Chem.* **2006**, *4*, 104. (d) Frideling, A.; Faure, R.; Galy, J. P.; Kenz, A.; Alkorta, I.; Elguero, J. *Eur. J. Med. Chem.* **2004**, *39*, 37.
- (13) (a) Yun, Y. K.; Porco, J. A. Jr.; Labadie, J. *Synlett* **2002**, 742. (b) Borza, I.; Bozo, E.; Barta-Szalai, G.; Kiss, C.; Tarkani, G.; Demeter, A.; Gati, T.; Hada, V.; Kolok, S.; Gere, A.; Fodor, L.; Nagy, J.; Gagoczy, K.; Magdo, I.; Bela, A.; Fetter, J.; Bertha, F.; Kerserü, G. M.; Horvath, C.; Farkas, S.; Greiner, I.; Domany, G. *J. Med. Chem.* **2007**, *50*, 901.
- (14) Ellman, G. L.; Courtney, K. D.; Andres, V.; Feather-Stone, R. M. *Biochem. Pharmacol.* **1961**, *7*, 88.

Pierre Seck,^{1*} David Thomae,² Gilbert Kirsch^{2*}¹ Laboratoire de Chimie, Faculté des Sciences, de la Technologie et de la Communication, Université du Luxembourg,

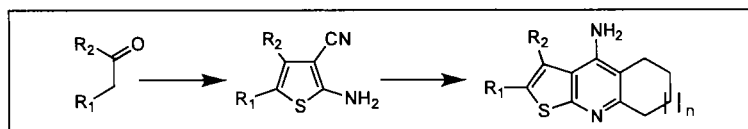
162a, avenue de la Faïencerie, 1511 Luxembourg, Luxembourg

E-mail : pierre.seck@uni.lu

² Laboratoire d'Ingénierie Moléculaire et Biochimie Pharmacologique, Institut Jean Barriol, FR CNRS 2843,

1 Boulevard Arago, 57070 METZ, France.

Received November 13, 2007



An efficient two respectively three steps procedure for the synthesis of cycloalkyl[*b*]thieno[3,2-*e*]pyridine amines was developed and in general good to very good yields were obtained.

J. Heterocyclic Chem., **45**, 853 (2008).

INTRODUCTION

Alzheimer's disease is a form of dementia of older people that looks to become a major problem in the coming decade [1]. One possible treatment is to inhibit acetylcholinesterase to maintain as long as possible the neurotransmission by acetylcholine which is hindered by the formation of β amyloid plaques. The first acetylcholinesterase inhibitor used in this context was Tacrine (**I**) sold under the name of COGNEX® (Figure 1). The hydroxyl derivative of Tacrine is Velnacrine (**II**). In order to investigate the biological effects of structural modifi-

cations of Tacrine, we wanted to synthesize a series of thiophene analogues, since it is widely recognized that thiophene is a bioisostere of benzene. As few analogues based on the thieno[2,3-*b*]quinoline (**III**) and the thieno[3,2-*b*]quinoline (**IV**) moieties have been described [2], we have chosen to prepare parallel to the synthesis of

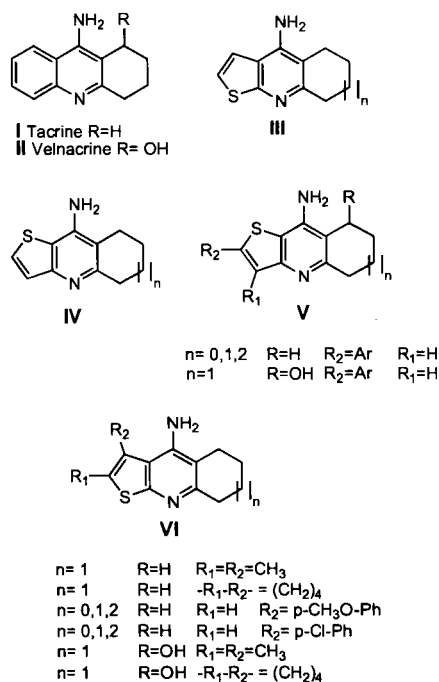
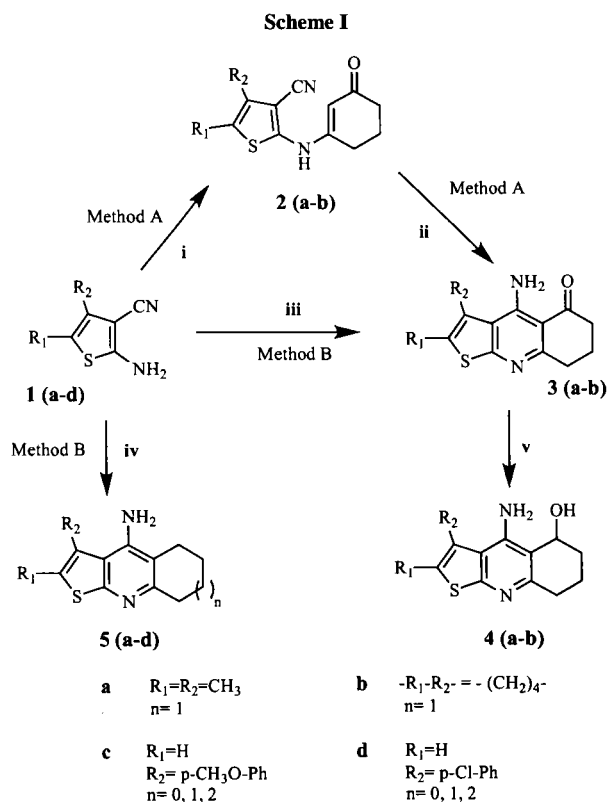


Figure 1



Reagents and conditions: **i** cyclohexane-1,3-dione, *p*-toluenesulfonic acid, toluene, reflux, **ii** CuCl, base, DMF, reflux, **iii** AlCl₃, cyclohexane-1,3-dione, (CH₂)₂Cl₂, reflux, **iv** AlCl₃, cyclohexane-1,3-dione, (CH₂)₂Cl₂, reflux, **v** LiAlH₄, THF, reflux.

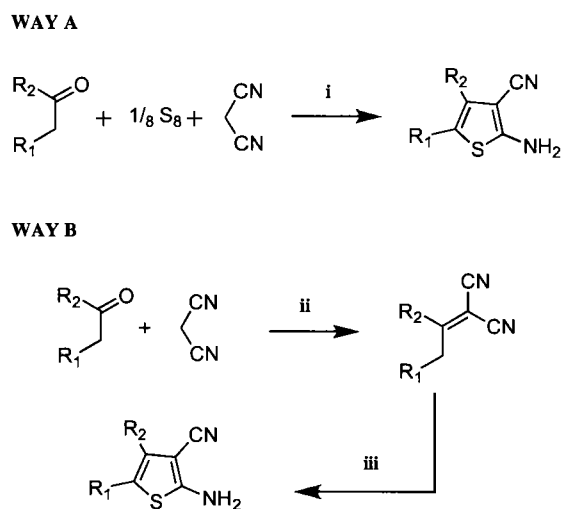
substituted cycloalkyl[*b*]thieno[2,3-*e*]pyridine amines (V) [3], the hitherto unknown substituted cycloalkyl[*b*]thieno[3,2-*e*]pyridine amines (VI) (Figure 1) The proposed synthesis is shown in Scheme I.

RESULTS AND DISCUSSION

The synthesis started from substituted 2-amino-3-thiophenecarbonitriles **1** which were prepared in one or two steps from the corresponding ketones *via* a Gewald reaction [4] (Scheme II).

The first approach to the Tacrine derivatives **3** was made by applying a method developed by Tabarrini *et al* [5] (Scheme I/method A). In the first step, thiophenes **1** were condensed with cyclohexan-1,3-dione in refluxing toluene in the presence of *p*-toluenesulfonic acid to give the corresponding enamines **2** in various yields. These enamines were cyclized in the presence of cuprous chloride and either potassium carbonate or sodium methanolate in refluxing DMF to give the ketones **3**. The latter were easily reduced by lithium aluminium hydride to the thiophene analogues of Velnacrine **4**.

Scheme II



Reagents and conditions: **i** morpholine, ethanol, reflux, **ii** CH₃COOH / CH₃COONH₄, Bz, reflux, **iii** morpholine, DMF, RT or reflux.

In a second approach using Friedländer conditions [6] (Scheme I/method B), ketones **3** were obtained in comparable yields than by method A. These conditions allowed us to conduct the direct condensation of monocyclanones as well as 1,3-cyclanediones. In this way, the preparation of Tacrine analogues **5** was possible by only two or three steps and the introduction of a range of ring sizes could also be achieved.

In conclusion substituted 2-amino-3-thiophenecarbonitriles have been synthesized in only one or two steps.

The Friedländer reaction allowed by another single step the very rapid access to the target molecules with good yields. Biological evaluation of the synthesized compounds, using Ellman's tests on acetylcholinesterase inhibition [7] is underway.

EXPERIMENTAL

Melting points were determined on a Stuart SMP3 apparatus and are uncorrected. IR spectra were recorded neat from 4400 to 600 cm⁻¹ on an Perkin Elmer FT-IR Baragon 1000PC equipped with a Graseby-Specac golden gate and treated with the Spectrum (Perkin-Elmer) software version 5.3.1. ¹H and ¹³C NMR spectra were recorded on a Bruker AC 250 MHz spectrometer in CDCl₃ if not stated otherwise. The coupling constants are in Hz. Ms spectra were recorded on an Agilent Technologies GC-MS instrument equipped with a 7683 injector, 6890N gas chromatograph and a 5973 mass selective detector. The mass spectrometer was operated in EI mode at 70 eV and ms spectra were recorded from *m/z* 50 to 650.

General procedure to obtain the substituted 2-Amino-3-thiophenecarbonitriles **1(a-d)** (Fig. 2).

WAY A (GEWALD reaction). 0.10 mol (1 equiv.) of ketone and 0.10 mol of malonic acid dinitrile were dissolved in 150 mL absolute ethanol. 0.11 mol sulfur powder and 10 mL morpholine were added. The mixture was heated at reflux with good stirring. After approx. 2 hours, it was cooled to RT and poured into 300 mL ice-water. The precipitation was filtered off, washed with cold water and dried. It was purified either by recrystallization in isopropanol or by silica gel column chromatography using dichloromethane as eluent

WAY B. First step: 0.10 mol (1 equiv.) of ketone and 0.10 mol of malonic acid dinitrile were dissolved in 100 mL benzene. 0.10 mol ammonium acetate and 0.30 mol acetic acid were added and the reaction mixture was refluxed up to 6 hours in a Dean-Stark apparatus. After cooling to RT, the mixture was diluted with 100 mL water and the acetic acid was neutralized with a 10% solution of sodium bicarbonate. The organic layer was separated, dried on anhydrous sodium sulfite, filtered and the solvent was evaporated to give the product which was directly used in the next step.

Second step: (GEWALD reaction). 25 mmol of the product obtained by step 1 (substituted 1,1-dicyanoprop-1-ene) were dissolved in 60 mL DMF. 25 mmol of sulfur powder were added as well as some droplets of morpholine. After a very short heating (less than 10 minutes), up to 120°C, the reaction mixture was cooled to RT then poured into ice-water. The precipitation was collected by filtration, washed with cold water, dried and purified either by recrystallization in isopropyl alcohol or by silica gel column chromatography using a mixture of dichloromethane/ethyl acetate (95:5) as eluent.

2-Amino-4,5-dimethyl-3-thiophenecarbonitrile (1a). Yield: 72%; red-brownish needles; mp 138°C (isopropanol); Lit: mp: 141-142°C [8]; ir: 3432 and 3217 (NH₂), 2188 (CN), 1606 (NH₂), 1377 (CH₃), 1305 (NH₂) cm⁻¹; ¹H nmr: δ 2.06 (s, 3H, CH₃), 2.15 (s, 3H, CH₃), 4.56 (s, 2H, NH₂); ¹³C nmr: δ 12.39, 12.76, 90.56, 115.94, 117.17, 129.58, 159.17; ms: *m/z* (M)⁺ = (C₇H₈N₂S)⁺ = 152 (100%).

2-Amino-4,5,6,7-tetrahydrobenzo[*b*]-3-thiophenecarbonitrile (1b) Yield: 95%; other needles; mp: 144°C

(isopropanol); Lit: mp: 147-148°C [4b]; ir: 3443 and 3304 (NH₂), 2195 (CN), 1614 (NH₂), 1443 and 1431 (CH₂), 1330 (NH₂) cm⁻¹; ¹H nmr: δ 1.78 (t, 4H, 2×CH₂), 4.64 (s, 2H, NH₂), 2.49 (m, 4H, 2×CH₂); ¹³C nmr: δ 22.10, 23.34, 23.72, 24.10, 88.45, 115.59, 120.50, 132.27, 160.15; ms : m/z (M)⁺ = (C₉H₁₀N₂S)⁺ = 178 (100%).

2-Amino-4-(4-methoxyphenyl)-3-thiophenecarbonitrile (1c). Yield: 89%; other needles; mp 161°C (dichloromethane/ethylacetate 95:5); Lit: mp: 141-142 [9] ir: 3448 and 3207 (NH₂), 2193 (CN), 1607 (NH₂), 1248 and 1173 (OCH₃ on the phenyl), 736 (disubstituted phenyl); ¹H nmr: δ 3.86 (s, 3H, OCH₃), 4.90 (s, 2H, NH₂), 6.30 (s, 1H, CH), 7.00 (d, 2H, Ph-H, J=8.5), 7.58 (d, 2H, Ph-H, J=8.5); ¹³C nmr: δ 55.34, 77.22, 104.80, 114.18, 115.90, 126.83, 128.38, 139.74, 159.61, 163.23; ms : m/z (M)⁺ = (C₁₂H₁₀ON₂S)⁺ = 230 (100%).

2-Amino-4-(4-chlorophenyl)-3-thiophenecarbonitrile (1d). Yield: 90%; orange needles; mp 164°C (dichloromethane/ethylacetate 95:5); ir: 3301 and 3201 (NH₂), 2216 (CN), 1642 (NH₂), 815 (disubstituted phenyl) cm⁻¹; ¹H nmr: δ 5.40 (s, 2H, NH₂), 6.90 (s, H, CH), 7.00 (d, Ph-H, J=8.5), 7.30 (d, 2H, Ph-H, J=8.5); ¹³C nmr: δ 83.71, 104.07, 115.55, 127.80, 128.06, 132.19, 134.52, 136.89, 165.15; ms : m/z (M)⁺ = (C₁₁H₇ClN₂S)⁺ = 234 (100%). *Anal.* Calcd. for C₁₁H₇ClN₂S: C, 56.29; H, 3.01; N, 11.94. Found: C, 56.14; H, 3.09; N, 11.87.

General procedure to obtain substituted 2-[(3-Oxo-1-cyclohexen-1yl) amino]-3-thiophenecarbonitriles 2 (a-b).

1st Step of method A/Scheme I. A suspension of a substituted 2-amino-3-thiophenecarbonitrile **1** (0.02 mol), cyclohexane-1,3-dione (0.02 mol) and *p*-toluenesulfonic acid (0.67 mmol) in dry toluene (20 mL) were refluxed for 4 h in a Dean-Stark apparatus. The reaction mixture was then chilled to 0°C and the crystallized product was collected by filtration, washed with cold toluene followed by cold cyclohexane, dried and recrystallized (ethanol/diethyl ether 1:1).

4,5-Dimethyl-2-[3-oxo-1-cyclohexen-1-yl]amino]-3-thiophenecarbonitrile (2a). Yield: 68%; yellow-greenish needles; mp 211°C (ethanol/diethyl ether 1:1); ir: 3187 (NH), 2955 (CH₃), 2224 (CN), 1603 (CO), 1589 (NH), 1358 (CH₃), 1242 (NH) cm⁻¹; ¹H nmr: δ 2.05 (m, 2H, -CH₂-CH₂-CH₂-), 2.16 (s, 6H, 2×CH₃), 2.38 (m, 2H, =C-CH₂-), 2.54 (m, 2H, -CH₂-CO-), 5.70 (s, 1H, NH), 6.96 (s, 1H, =CH-CO-); ¹³C nmr: δ 12.50, 12.86, 21.55, 28.75, 36.41, 103.34, 103.96, 114.10, 128.14, 130.93, 146.76, 160.67, 198.56; ms : m/z (M)⁺ = (C₁₃H₁₄ON₂S)⁺ = 246 (100%). *Anal.* Calcd. for C₁₃H₁₄N₂OS: C, 63.39; H, 5.73; N, 11.37. Found: C, 63.54; H, 5.55; N, 11.38.

2-[3-Oxo-1-cyclohexen-1-yl]amino]-4,5,6,7-tetrahydro-1-benzo[b]thiophen-3-carbonitrile (2b). Yield: 62%; yellow needles; mp 200°C (ethanol/diethyl ether 1:1); ir: 3188 (NH), 2924 (CH₂)₄, 2211 (CN), 1614 (CO), 1589 (NH), 1447 (CH₂)₄, 1247 (NH) cm⁻¹; ¹H nmr: δ 1.83 (m, 4H, 2×CH₂), 2.07 (m, 2H, -CH₂-CH₂-CH₂-), 2.38 (m, 2H, =C-CH₂-), 2.58 (m, 6H, -CH₂-CH₂-CH₂-CO-), 5.70 (s, 1H, NH), 6.92 (s, 1H, =CH-CO-); ¹³C nmr: δ 21.61, 21.92, 22.26, 22.54, 25.44, 26.57, 36.47, 102.49, 102.69, 113.81, 131.54, 133.37, 147.77, 161.63, 198.83; ms : m/z (M)⁺ = (C₁₅H₁₆ON₂S)⁺ = 272 (100%). *Anal.* Calcd. for C₁₅H₁₆N₂OS: C, 66.15; H, 5.92; N, 10.29. Found: C, 66.13; H, 5.87; N, 10.34.

General procedure to obtain the substituted amino-7,8-dihydrothieno [2,3-*b*] quinolinones 3 (a-b).

2nd Step of method A/Scheme I. Sodium methanolate or potassium carbonate (2.2 mmol) and cuprous chloride (10.4

mmol) were added to a solution of **2** (10.4 mmol) in dry DMF (20 mL) and the mixture was heated at 80-90°C for 4 h. After cooling, the reaction mixture was poured into ice-water (150 mL) containing sodium tartrate (10%). The obtained precipitate was filtered off and extracted several times with a mixture of methanol/ethyl acetate (1:1). The organic extracts were dried on anhydrous sodium sulphate, filtered and the solvent was evaporated to give a solid which was purified by silica gel column chromatography using a mixture of dichloromethane/methanol (9:1) as eluent.

4-Amino-2,3-dimethyl-7,8-dihydrothieno[2,3-*b*]quinolin-5(6*H*)-one (3a). Yield: 63%; brownish needles; mp 204°C (dichloromethane/methanol 9:1); ir: 3410 and 3216 (NH₂), 2952 and 2864 (CH₃), 1636 (CO), 1589 (NH₂), 1423 and 1371 (CH₃), 1328 (NH₂) cm⁻¹; ¹H nmr: δ 1.65 (s, 1H of NH₂ linked by hydrogen-bonding to CO), 2.09 (m, 2H, -CH₂-CH₂-CH₂-); 2.39 (s, 3H, CH₃), 2.51 (s, 3H, CH₃), 2.67 (m, 2H, =C-CH₂-); 3.03 (m, 2H, -CH₂-CO-), 5.29 (s, 1H of NH₂ linked by hydrogen-bonding to CO); ¹³C nmr: δ 13.30, 14.74, 21.41, 29.67, 39.91, 112.55, 122.20, 125.30, 129.55, 152.64, 161.17, 161.79, 202.36; ms: m/z (M)⁺ = (C₁₃H₁₄ON₂S)⁺ = 246 (100%). *Anal.* Calcd. for C₁₃H₁₄N₂OS: C, 63.39; H, 5.73; N, 11.37. Found: C, 63.41; H, 5.50; N, 11.38.

11-Amino-2,3,4,7,8,9-hexahydro[1]benzothieno[2,3-*b*]quinolin-10(1*H*)-one (3b) Yield: 58%; brown needles; mp 223°C (dichloromethane/methanol 9:1); ir: 3387 and 3217 (NH₂), 2941 (CH₂), 1636 (CO), 1587 (NH₂), 1426 (CH₂), 1311 (NH₂) cm⁻¹; ¹H nmr: δ 1.28 (s, 1H, NH₂ linked by hydrogen-bonding to CO), 1.89 (m, 4H, 2×CH₂), 2.07 (m, 2H, -CH₂-CH₂-CH₂-), 2.66 (m, 2H, =C-CH₂-), 2.77 (m, 2H, -CH₂-CO-), 3.02 (m, 6H, 3×CH₂), 5.01 (s, 1H, NH₂ linked by hydrogen-bonding to CO); ¹³C nmr: 21.04, 21.66, 22.26, 22.54, 25.44, 26.57, 39.95, 107.88, 118.14, 127.37, 132.67, 152.74, 161.85, 162.62, 202.05; ms: m/z (M)⁺ = (C₁₅H₁₆ON₂S)⁺ = 272 (100%). *Anal.* Calcd. for C₁₅H₁₆N₂OS: C, 66.15; H, 5.92; N, 10.29. Found: C, 66.24; H, 5.83; N, 10.39.

General procedure to obtain the substituted amino-7,8-dihydrothieno [2,3-*b*] quinolinols 4 (a-b) (Scheme I). A solution of LiAlH₄ (1.6 mmol) in dry THF (20 mL) was added dropwise to a solution of **3** (1 mmol) under argon atmosphere. After the addition, the reaction mixture was refluxed for 1h, then quenched by 2 mL of HCl 10%. The mixture was then made basic with NaOH 30% and extracted with ethylacetate (3×20 mL). The combined organic layers were dried on anhydrous sodium sulfate, filtered and evaporated to give a solid, which was purified by silica gel column chromatography using a mixture of dichloromethane/methanol (9:1) as eluent.

4-Amino-2,3-dimethyl-5,6,7,8-tetrahydrothieno[2,3-*b*]quinolin-5-ol (4a). Yield : 83% ; other crystalline powder; mp 182°C (dichloromethane/methanol 9:1); ir: 3507 and 3383 (NH₂), 3118 (OH), 2937 and 2864 (CH₃), 1589 (NH₂), 1438 and 1383 (CH₃), 1278 (NH₂), 1066 (OH) cm⁻¹; ¹H nmr: δ 1.20 (m, 4H, 2×CH₂), 1.60 (s, 3H, CH₃), 1.91 (m, 3H, CH₂+OH), 2.13 (s, 3H, CH₃), 4.14 (m, 1H, CH-OH), 4.96 (2H, NH₂); ¹³C nmr: δ 13.09, 14.27, 17.74, 29.15, 32.83, 62.83, 113.24, 118.81, 124.67, 126.13, 149.34, 153.46, 158.67; ms: m/z (M)⁺ = (C₁₃H₁₆ON₂S)⁺ = 248 (100%). *Anal.* Calcd. for C₁₃H₁₆N₂OS: C, 62.87; H, 6.49; N, 11.28. Found: C, 63.02; H, 6.50; N, 11.18.

11-Amino-1,2,3,4,7,8,9,10-octahydro[1]benzothieno[2,3-*b*]quinolin-10-ol (4b). Yield: 43%; yellow-brown needles; mp 128°C (dichloromethane/methanol 9:1); ir: 3503 and 3380 (NH₂), 3115 (OH), 2928 (CH₂)₄, 1611 (NH₂), 1444 (CH₂)₄, 1304

(NH₂), 1068 (OH) cm⁻¹; ¹H nmr: δ 1.72 (m, 4H, 2×CH₂), 2.27 (s, 1H, NH₂ linked by hydrogen-bonding to OH), 2.44 (m, 6H, 3×CH₂), 2.68 (m, 4H, 2×CH₂), 4.43 (m, 1H, CH-OH), 5.16 (s, 1H, NH₂ linked by hydrogen-bonding to OH); ¹³C nmr: δ 17.78, 22.06, 22.17, 25.25, 25.89, 32.81, 33.22, 62.80, 113.25, 117.68, 129.39, 133.37, 149.28, 153.51, 159.23; ms: m/z (M)⁺ = (C₁₅H₁₈ON₂S)⁺ = 274 (100%). *Anal.* Calcd. for C₁₅H₁₈N₂OS: C, 65.66; H, 6.61; N, 10.21. Found: C, 65.83; H, 6.49; N, 10.36.

General procedure to obtain the substituted cycloalkyl[b]thieno[3,2-*e*]pyridine amines 5 (a-d) by Friedländer reaction (method B /Scheme I). Aluminium chloride (3.4 mmol for monocyclanones and 6.8 mmol for cyclohexa-1,3-diones) was suspended in dry 1,2-dichloroethane (10 mL per mmol of AlCl₃) at RT under argon. The corresponding thiophene 1 (2 mmol) and the ketone (1.7 mmol) were added and the reaction mixture was heated under reflux up to 18 h for a monocyclanone and up to 36 h for a cyclohexa-1,3-dione. When the reaction was completed (monitoring by TLC) a mixture of THF/water (2:1) was added at RT and sodium hydroxide was added until the solution became basic. After stirring for at least 30 minutes, the mixture was extracted with dichloromethane (3×30 mL). The combined organic layers were dried on anhydrous sodium sulfate; the solvents are evaporated to give a brownish solid which was purified by silica gel column chromatography using dichloromethane/methanol (9:1) as eluant.

4-Amino-2,3-dimethyl-5,6,7,8-tetrahydrothieno[2,3-*b*]quinoline (5a). Yield 95%; grey needles; mp 169°C (dichloromethane/methanol 9:1); ir: 3506 and 3301 (NH₂), 2922 and 2857 (CH₃) and (CH₂), 1636 (NH₂), 1428 (CH₃), 1279 (NH₂) cm⁻¹; ¹H nmr: δ 1.89 (m, 6H, 3×CH₂), 2.39 (s, 3H, CH₃), 2.50 (s, 3H, CH₃), 2.88 (m, 2H, CH₂), 4.56 (s, 2H, NH₂); ¹³C nmr: δ 13.48, 14.58, 23.06, 26.82, 32.92, 41.98, 110.93, 115.73, 123.36, 128.46, 146.77, 153.76, 157.97; ms: m/z (M)⁺ = (C₁₃H₁₆N₂S)⁺ = 232 (100%). *Anal.* Calcd. for C₁₃H₁₆N₂S: C, 67.20; H, 6.94; N, 12.06. Found: C, 67.20; H, 7.02; N, 12.35.

11-Amino-1,2,3,4,7,8,9,10-octahydro[1]benzothieno[2,3-*b*]quinoline (5b). Yield 92%; brown needles; mp 218°C (dichloromethane/methanol 9:1); ir: 3473 and 3361 (NH₂), 2924 and 2845 2(CH₂)₄, 1609 (NH₂), 1431 (CH₂), 1277 (NH₂) cm⁻¹; ¹H nmr: δ 1.90 (m, 8H, 4×CH₂), 2.45 (m, 4H, 2×CH₂), 2.75 (m, 2H, CH₂), 2.88 (m, 2H, CH₂), 4.56 (s, 2H, NH₂); ¹³C nmr: δ 22.86, 22.97, 23.06, 25.65, 26.81, 33.10, 43.47, 110.89, 117.93, 125.73, 131.79, 132.57, 146.64, 153.92, 158.87; ms: m/z (M)⁺ = (C₁₅H₁₈N₂S)⁺ = 258 (100%). *Anal.* Calcd. for C₁₅H₁₈N₂S: C, 69.73; H, 7.02; N, 10.84. Found: C, 69.58; H, 7.06; N, 10.90.

4-Amino-3-(4-methoxyphenyl)-6,7-dihydro-5H-cyclopenta[b]thieno[3,2-*e*]pyridine (5c/n=0). Yield 83%; beige needles; mp 216° (dichloromethane/methanol 9:1); ir: 3477 and 3368 (NH₂), 2951 and 2832 (CH₂), 1610 (NH₂), 1455 (CH₂), 1175 (OCH₃), 755 (disubstituted phenyl); ¹H nmr: δ 2.20 (m, 2H, -CH₂-CH₂-CH₂-), 2.75 (m, 2H, =C-CH₂-), 3.1 (m, 2H, -N=C-CH₂-), 3.9 (s, 3H, OCH₃), 4.2 (s, 2H, NH₂), 6.9 (s, 1H, thiophene proton), 7.0 (d, 2H, 2×CH, J=8.5), 7.4 (d, 2H, 2×CH, J=8.5); ¹³C nmr: δ 22.90, 26.75, 34.36, 55.35, 113.56, 113.93, 115.67, 116.20, 119.39, 129.67, 130.46, 134.37, 145.30, 159.45, 164.09; ms: m/z (M)⁺ = (C₁₇H₁₆ON₂S)⁺ = 296 (100%). *Anal.* Calcd. for C₁₇H₁₆N₂OS: C, 68.89; H, 5.44; N, 9.45. Found: C, 68.74; H, 5.88; N, 9.50.

4-Amino-3-(4-methoxyphenyl)-5,6,7,8-tetrahydro[2,3-*b*]quinoline (5c/n=1). Yield 85%; orange needles; mp 162°C (dichloromethane/methanol 9:1); ir: 3474 and 3331 (NH₂), 2926 and 2863 (CH₂), 1630 (NH₂), 1441 (CH₂), 1176 (OCH₃), 769 (disubstituted phenyl); ¹H nmr: δ 1.9 (m, 4H, 2×CH₂), 2.45 (m,

2H, =C-CH₂-), 3.0 (m, 2H, -N=C-CH₂-), 3.86 (s, 3H, OCH₃), 4.3 (s, 2H, NH₂), 6.9 (s, 1H, thiophene proton), 7.0 (d, 2H, 2×CH, J=8.5), 7.4 (d, 2H, 2×CH, J=8.5); ¹³C nmr: δ 22.78, 22.81, 22.95, 33.21, 55.38, 110.46, 113.99, 115.92, 120.15, 129.67, 130.50, 134.40, 147.18, 154.34, 155.34, 159.50; ms: m/z (M)⁺ = (C₁₈H₁₈ON₂S)⁺ = 310 (100%). *Anal.* Calcd. for C₁₈H₁₈N₂OS: C, 69.65; H, 5.84; N, 9.02. Found: C, 69.73; H, 5.87; N, 9.32.

4-Amino-3-(4-methoxyphenyl)-6,7,8,9-tetrahydro-5H-cyclohepta[b]thieno[3,2-*e*]pyridine (5c/n=2). Yield 95%; orange needles; mp 195°C (dichloromethane/methanol 9:1); ir: 3462 and 3363 (NH₂), 2919 and 2842 (CH₂)₅, 1624 (NH₂), 1434 (CH₂)₅, 1170 (OCH₃), 775 (disubstituted phenyl); ¹H nmr: δ 1.85 (m, 6H, 3×CH₂), 2.6 (m, 2H, =C-CH₂-), 3.1 (m, 2H, -N=C-CH₂-), 3.9 (s, 3H, OCH₃), 4.4 (s, 2H, NH₂), 6.9 (s, 1H, thiophene proton), 7.0 (d, 2H, 2×CH, J=8.5), 7.4 (d, 2H, 2×CH, J=8.5); ¹³C nmr: δ 25.24, 26.60, 27.12, 32.15, 39.04, 55.37, 113.91, 116.00, 120.12, 129.62, 130.62, 130.63, 134.70, 146.24, 153.99, 159.50, 161.88; ms: m/z (M)⁺ = (C₁₉H₂₀ON₂S)⁺ = 324 (100%). *Anal.* Calcd. for C₁₉H₂₀N₂OS: C, 70.34; H, 6.21; N, 8.63. Found: C, 70.25; H, 6.34; N, 8.79.

4-Amino-3-(4-chlorophenyl)-6,7-dihydro-5H-cyclopenta[b]thieno[3,2-*e*]pyridine (5d/n=0). Yield 95%; orange needles; mp 176°C (dichloromethane/methanol 9:1); ir: 3473 and 3308 (NH₂), 2946 and 2840 (CH₂)₃, 1635 (NH₂), 1455 (CH₂)₃, 818 (Cl), 761 (disubstituted phenyl); ¹H nmr: δ 2.28 (m, 2H, -CH₂-CH₂-CH₂-), 2.75 (m, 2H, =C-CH₂-), 3.1 (m, 2H, -N=C-CH₂-), 4.15 (s, 2H, NH₂), 6.9 (s, 1H, thiophene proton), 7.4 (m, 4H, 4×CH); ¹³C nmr: δ 22.87, 26.79, 34.39, 115.73, 115.91, 120.25, 128.72, 130.57, 133.42, 134.15, 135.88, 145.04, 164.42, 166.31; ms: m/z (M)⁺ = (C₁₆H₁₃N₂SCl)⁺ = 300 (100%). *Anal.* Calcd. for C₁₆H₁₃ClN₂S: C, 63.89; H, 4.36; N, 9.31. Found: C, 63.87; H, 4.56; N, 9.52.

4-Amino-3-(4-chlorophenyl)-5,6,7,8-tetrahydrothieno[2,3-*b*]quinoline (5d/n=1). Yield 83%; orange needles; mp 179°C (dichloromethane/methanol 9:1); ir: 3488 and 3340 (NH₂), 2935 and 2859 (CH₂), 1627 (NH₂), 1447 (CH₂)₄, 831 (Cl), 766 (disubstituted phenyl); ¹H nmr: δ 1.9 (m, 4H, 2×CH₂), 2.45 (m, 2H, =C-CH₂-), 3.0 (m, 2H, -N=C-CH₂-), 4.2 (s, 2H, NH₂), 6.9 (s, 1H, thiophene proton), 7.4 (m, 4H, 4×CH); ¹³C nmr: δ 22.56, 22.72, 22.93, 33.18, 110.64, 115.43, 120.39, 128.74, 130.59, 133.40, 134.17, 135.86, 146.91, 155.58, 158.41; ms: m/z (M)⁺ = (C₁₇H₁₅N₂SCl)⁺ = 314 (100%). *Anal.* Calcd. for C₁₇H₁₅ClN₂S: C, 64.85; H, 4.80; N, 8.90. Found: C, 64.81; H, 4.76; N, 9.02.

4-Amino-3-(4-chlorophenyl)-6,7,8,9-tetrahydro-5H-cyclohepta[b]thieno[3,2-*e*]pyridine (5d/n=2). Yield 86%; orange needles; mp 175°C (dichloromethane/methanol 9:1); ir: 3489 and 3382 (NH₂), 2913 and 2846 (CH₂)₅, 1622 (NH₂), 1455 (CH₂)₅, 824 (Cl), 755 (disubstituted phenyl). ¹H nmr: δ 1.8 (m, 6H, 3×CH₂), 2.65 (m, 2H, =C-CH₂-), 3.1 (m, 2H, -N=C-CH₂-), 4.3 (s, 2H, NH₂), 6.95 (s, 1H, thiophene proton), 7.4 (m, 4H, 4×CH); ¹³C nmr: δ 25.18, 26.48, 26.99, 32.05, 39.05, 116.13, 116.23, 120.78, 128.61, 130.65, 133.69, 134.11, 135.76, 145.91, 159.77, 162.09; ms: m/z (M)⁺ = (C₁₈H₁₇N₂SCl)⁺ = 328 (100%). *Anal.* Calcd. for C₁₈H₁₇ClN₂S: C, 65.74; H, 5.21; N, 10.78. Found: C, 65.81; H, 5.32; N, 10.65.

Acknowledgements Authors want to thank the University Paul Verlaine-METZ (France) and the University of Luxembourg (Grand-Duchy of Luxembourg) for supporting this work; Mrs. Véronique Poddig from the University Paul Verlaine-METZ for recording the NMR spectra and Dr Serge Schneider, Dr Brice Appenzeller and Dr Marc Schuman from

the Laboratory of Toxicology of the Laboratoire National de Santé (Luxembourg) for recording the IR and MS spectra.

REFERENCES

- [1] Francotte, P.; Grandorge, E.; Boverie, S.; De Tullio, P.; Pirotte, B. *Curr. Med. Chem.* **2004**, *11*, 1757.
- [2] Chaki, H.; Yamabe, H.; Sugano, M.; Morita, S.; Bessho, T.; Tabata, R.; Saito, K.-I.; Egawa, M.; Tobe, A.; Morinaka, Y.; *Bioorg. Med. Chem.* **1995**, *5*, 1495.
- [3] Thomae, D.; Kirsch, G.; Seck, P. *Synthesis* **2007**, 1027.
- [4] (a) Gewald, K. *Z. Chem.* **1961**, *11*, 349. (b) Gewald, K. *Z. Chem.* **1962**, *2*, 305. (c) Gewald, K.; Schinke, E.; Böttcher, H. *Chem. Ber.* **1966**, *99*, 94.
- [5] Tabarini, O.; Ceccetti, V.; Temperani, A.; Filippini, E.; Lamperti, M.G.; Fravolini, A.; *Bioorg. Med. Chem.* **2001**, *9*, 2921.
- [6] Marco, J.L.; De Los Rios, C.; Garcia, A.; Villarroya, M.; Carreiras, C.; Martins, C.; Eleutério, A.; Morreale, A.; Orozco, M.; Luque, F.J.; *Bioorg. Med. Chem.* **2004**, *12*, 2199.
- [7] Ellman, G.L.; Courtney, K.D.; Andres, V.; Feather-Stone, R.M.; *Biochem. Pharmacol.* **1961**, *7*, 88.
- [8] (a) Rahman K.M.M.; Chowdhury, A.Z.M.; Shaifullah; Bhuiyan, M.M.H.; Hossain, M.K.; Uddin, M.K. *Pak. J. Sci. Ind. Res.* **2003**, *46*, 95. (b) Bhuiyan, M.M.H.; Rahman, K.M.M.; Hossain, M. K.; Fakruddin, M.; *Pak. J. Sci. Ind. Res.* **2004**, *47*, 256.
- [9] Barnes, D.M.; Haight, A.R.; Hameury, T.; McLaughlin, M.A.; Mei, J.; Tedrow, J.S.; Toma, J.D.R. *Tetrahedron* **2006**, *62*, 11311.



Synthesis of substituted [1,3]thiazolo[4,5-*b*]pyridines and [1,3]thiazolo[4,5-*d*][1,2,3]triazines

David Thomae^a, Enrico Perspicace^a, Stéphanie Hesse^a, Gilbert Kirsch^{a,*}, Pierre Seck^b

^a Laboratoire d'Ingénierie Moléculaire et Biochimie Pharmacologique, Institut Jean Barriol, FR CNRS 2843, 1 Boulevard Arago, 57070 METZ, France

^b Laboratoire de Chimie, Faculté des Sciences, de la Technologie et de la Communication Université du Luxembourg 162a, avenue de la Faiencerie, L-1511 Luxembourg, Grand-Duché de Luxembourg

ARTICLE INFO

Article history:

Received 30 May 2008

Received in revised form 3 July 2008

Accepted 4 July 2008

Available online 10 July 2008

Keywords:

Alzheimer disease

Thiazole analogues of Tacrine

Substituted [1,3]thiazolo[4,5-*d*]-[1,2,3]triazine

Substituted 4-amino-1,3-thiazole-5-carbonitrile

Dimethyl cyanodithioimidocarbonate

ABSTRACT

In this work, we described an easy preparation of substituted 4-amino-5-cyano-1,3-thiazoles. These compounds have been used as starting materials to obtain two classes of compounds. New substituted [1,3]thiazolo[4,5-*e*]pyridines were synthesized in one step via Friedländer reaction. Diazotation of 4-amino-5-cyano-1,3-thiazoles afforded 4-chloro[1,3]thiazolo[4,5-*d*][1,2,3]triazines in one step. The later was substituted by a secondary amine to obtain substituted 4-amino[1,3]thiazolo[4,5-*d*][1,2,3]triazines.

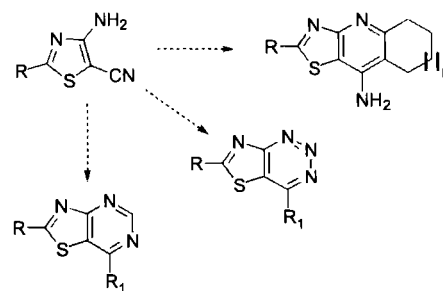
© 2008 Elsevier Ltd. All rights reserved.

1. Introduction

Since a few years, we are interested in the many possibilities that heterocyclic analogs of anthranilonitriles or anthraniloesters allow. Especially, *ortho*-amino-cyano-thiophenes were used to synthesize analogues of Tacrine,^{1,2} thienopyridinones,³ and thienopyrimidinones.⁴ Several analogues of Tacrine synthesized in the thiophene series are currently under biological investigation. As the 1,3-thiazole ring is also present in many pharmacological active substances,⁵ we decided to extend our library of Tacrine analogues to the thiazole series. Those new analogues could be obtained starting from 4-amino-1,3-thiazole-5-carbonitrile. This interesting starting material would also allow access to thiazolocondensed heterocyclic systems like thiazolopyrimidines or thiazolotriazines (Scheme 1).

2. Results and discussion

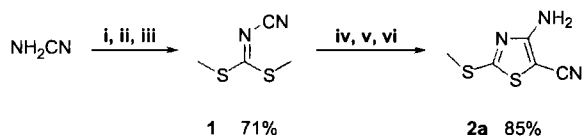
The first step of our strategy was the formation of 4-amino-1,3-thiazole-5-carbonitriles **2**. Their preparation is well described in



Scheme 1. Targeted compounds starting from amino-cyano-thiazole.

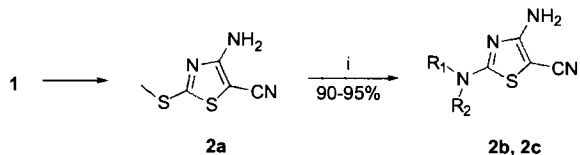
the literature⁶ and usually, compound **2a** is obtained from cyano-dithiocarbamic acid methyl ester potassium salt and chloroacetonitrile.^{6a,c} Here, we proposed an alternative route via dimethyl cyanodithioimidocarbonate **1** (Scheme 2). As reported in the literature,⁷ **1** was obtained easily and in good yield from cyanamide (Scheme 2). We applied the same methodology, we used few years ago to synthesize amino-cyano-thiophenes from ketene *S,S*-dimethylthioacetals:⁸ compound **1** was reacted with sodium sulfide, an activated halide and potassium carbonate. Compound **2a** was obtained in good yield with this one-pot three-step sequential procedure (Scheme 2).

* Corresponding author. Tel.: +33 3 87 31 52 95; fax: +33 3 87 31 58 01.
E-mail address: kirsch@univ-metz.fr (G. Kirsch).



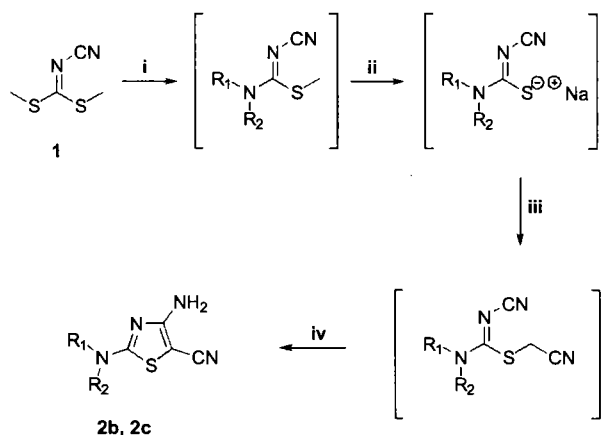
Scheme 2. Reagents and conditions: (i) KOH; (ii) CS₂; (iii) MeI; (iv) Na₂S·9H₂O, DMF; (v) ClCH₂CN; (vi) K₂CO₃.

Taking advantage of the good leaving group property of the methylsulfanyl group in compound **2a** and as described before on similar compounds,^{6k,l,9} S_NAr reaction with secondary amines were realized. Compound **2a** was dissolved in 10 equiv of amine and refluxed overnight to yield **2b** and **2c** in high yields (method A, Scheme 3).



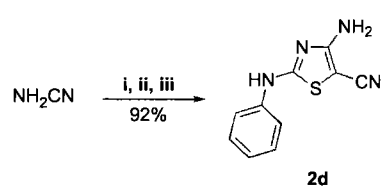
Scheme 3. Method A: synthesis of **3** (R₁-R₂=4-morpholinyl) and **4** (R₁-R₂=1-pyrrolidinyl) starting from **2**. Reagents: (i) excess of amine, reflux.

Ried et al. described the synthesis of 4-amino-2-morpholin-4-yl-thiazole-5-carboxylic acid methyl ester from methyl *N*-cyano-4-morpholinecarbamidothioate and methylthioglycolate.¹⁰ We have presumed that compounds **2b** and **2c** could be synthesized directly from **1** via a one-pot four-step sequential procedure (method B, Scheme 4). Compound **1** was dissolved in DMF, then morpholine or pyrrolidine was added and heated at 70 °C during 1 h. After this time, sodium sulfide was introduced to form the thiolate that reacted with chloroacetonitrile and finally, potassium carbonate was added to complete the cyclization (Scheme 4). Compounds **2(b and c)** were obtained in good yields. In the literature, there is only one example of solid phase synthesis to access 2,4,5-trisubstituted thiazoles in a one-pot four-step reaction.¹¹ In terms of overall yields, methods A and B were equivalent but method B was shorter.



Scheme 4. Method B: synthesis of **3** (R₁-R₂=4-morpholinyl) and **4** (R₁-R₂=1-pyrrolidinyl) starting from **1**. Reagents: (i) morpholine or pyrrolidine, DMF; (ii) Na₂S·9H₂O; (iii) ClCH₂CN; (iv) K₂CO₃.

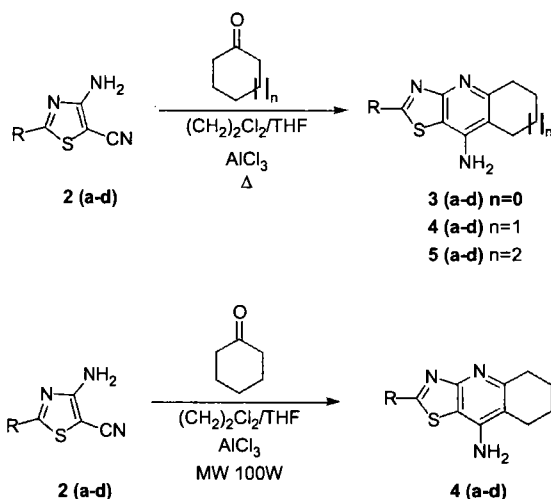
Thiazole **2d** was synthesized by a method described by Gewald.^{6d} Cyanamide, potassium carbonate, phenyl isothiocyanate, and chloroacetonitrile afforded in one step and in high yield thiazole **2d** (Scheme 5).



Scheme 5. i) DMF, K₂CO₃; (ii) phenyl isothiocyanate; (iii) ClCH₂CN.

In the literature, 1,3-thiazolopyridines are obtained by cyclization of the suitable thioacetamidopyridine.¹² The second step of our strategy was to use thiazoles **2(a-d)** as starting material to access new classes of compounds like thiazole analogues of Tacrine and [1,3]thiazolo[4,5-*d*][1,2,3]triazines.

Friedländer reaction on thiazoles **2** has allowed formation of new Tacrine's analogues. As we have shown recently in the sel-nophene series,¹³ Friedländer reaction can be performed under classical heating or under microwave irradiation. We decided to study those two methods on thiazoles **2**. Using classical heating, thiazoles **2a** and **2d** were dissolved in dichloroethane, and cyclanones and aluminum chloride were added. For thiazoles **2b** and **2c**, we have chosen THF because **2(b and c)** were not enough soluble in dichloroethane. In both cases, the reaction mixture was refluxed for 4 h and compounds **3-5(a-d)** were obtained in high yields (Scheme 6 and Table 1). Under microwave irradiation, we choose a mixture of solvent to be able to finish the reaction in about 30 min (THF for solubility and DCE for the higher boiling point). With microwave irradiation, the time of reaction was reduced from 4 h to about 30 min and compounds **4(a-d)** were obtained in high yields too (Scheme 6 and Table 2).



Scheme 6. Friedländer reaction: R=MeS-, 4-morpholinyl, 1-pyrrolidinyl, PhNH-.

As explained before, amino-cyano-thiazoles could also be used to synthesize thiazolocondensed systems. For example, thiazolopyrimidines have shown interesting biological activity such as antagonist of CXCR2 receptor.¹⁴ This bicyclic core has been built starting either from substituted pyrimidines¹⁵ or from 4-amino-5-cyanothiazole.¹⁶ On another hand, in several publications, aza analogues of condensed pyrimidines were synthesized for studying the modulation of biological activities: pyrazolo[3,4-*d*]-1,2,3-triazin-4-one nucleosides¹⁷ or pyrrolo[2,3-*d*]-1,2,3-triazine¹⁸ were explored for their antiviral/antitumor activity.

So we planned to synthesize new thiazolotriazines. Few years ago, pyridothienotriazines were described as anti-histaminic¹⁹ and antifungal²⁰ compounds; in these publications, the 4-chlorotriazine ring was prepared in one-pot starting from 3-amino-2-

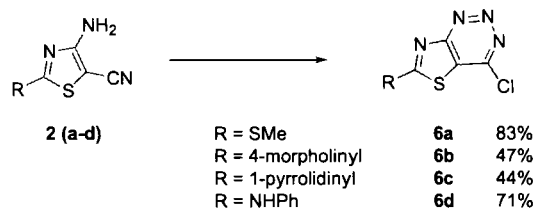
Table 1
Friedländer reaction under classical heating

Thiazole	Ketone (n)	Solvent	Substituted [1,3]thiazolo [4,5-b]pyridine	Yield (%)
2a , R=MeS-	0	(CH ₂) ₂ Cl ₂	3a	96
	1		4a	77
	2		5a	87
2b , R=4-morpholinyl	0	THF	3b	98
	1		4b	98
	2		5b	92
2c , R=1-pyrrolidinyl	0	THF	3c	98
	1		4c	95
	2		5c	97
2d , R=Ph-NH-	0	(CH ₂) ₂ Cl ₂	3d	85
	1		4d	80
	2		5d	97

Table 2
Friedländer reaction under microwave irradiation

Thiazole	Solvent	Substituted [1,3]thiazolo [4,5-b]pyridine	Time (min)	Yield (%)
2a , R=MeS-	(CH ₂) ₂ Cl ₂	4a	3×8	93
2b , R=4-morpholinyl	(CH ₂) ₂ Cl ₂ /THF (4:1)	4b	2×16	93
2c , R=1-pyrrolidinyl	(CH ₂) ₂ Cl ₂ /THF (4:1)	4c	2×16	80
2d , R=Ph-NH-	(CH ₂) ₂ Cl ₂ /THF (3:1)	4d	1×16	79

cyanothiophenes. To the best of our knowledge, chlorothiazolo-triazines are not described in the literature. 2-Substituted 4-amino-5-cyanothiazoles **2(a–d)** were converted into chlorothiazolo-triazines **6(a–d)** in moderate to good yields via a one-pot process of diazotation and dediazo-chlorination (Scheme 7).²¹

**Scheme 7.** NaNO₂, HCl 37%, 0–5 °C.

We next wanted to study the reactivity of the chlorine atom in compounds **6(a–d)**. When compound **6a** was subjected to the action of pyrrolidine, both the methylsulfanyl group and the chlorine atom were displaced (Scheme 8). The chlorine atom was also substituted by a secondary amine in compounds **6b–d** (Scheme 8).

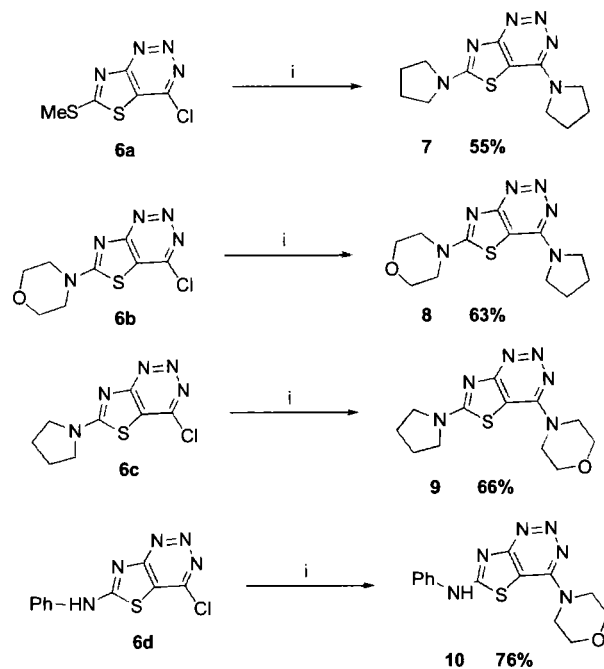
3. Conclusion

We have developed a one-pot four-steps sequential synthesis of trisubstituted [1,3]thiazoles. Those 4-amino[1,3]thiazole-5-carbonitriles have allowed access to several thiazolocondensed systems. We have prepared 12 new analogues of Tacrine in thiazole series and 8 new thiazolotriazines in good yields.

4. Experimental section

4.1. General

Melting points were determined on a Stuart SMP3 apparatus and are uncorrected. IR spectra were performed on a Perkin–Elmer FTIR Baragon 1000PC equipped with a Graseby-Specac golden gate and treated with the Spectrum (Perkin–Elmer) software version

**Scheme 8.** (i) RR'NH 10 mL, reflux.

5.3.1. ¹H and ¹³C NMR spectra (δ in parts per million) were recorded on an AC Bruker 250 MHz spectrometer in CDCl₃ or DMSO-*d*₆. MS spectra were recorded on an Agilent Technologies GC–MS instrument equipped with a 7683 injector, 6890 N gas chromatograph and a 5973 mass selective detector. The mass spectrometer was operated in EI mode at 70 eV and MS spectra were recorded from *m/z* 50 to 650. A CEM Discover oven was used for Friedländer's reaction under microwave irradiation.

4.2. Synthesis of dimethyl cyanodithioimidocarbonate (1)

Cyanamide (0.02 mol, 50% aqueous solution) was dissolved in 80 mL of water. Potassium hydroxide (0.04 mol) was added and the solution was stirred for 45 min at room temperature. Carbon disulfide was added. The reaction was heated at 40 °C. When all carbon disulfide was dissolved (2 h are required), methyl iodide (0.04 mol) was added and the reaction was stirred at room temperature overnight. The precipitate was filtered and the solid was washed with water, dried at room temperature until constant weight, and purified by recrystallization in EtOH.

Yield: 71%. Colorless solid; mp: 58 °C; mp_{lit}: 57 °C.⁸ IR: 2176 (s) cm⁻¹. ¹H NMR (250 MHz, DMSO-*d*₆): δ 2.70 (s, 6H, 2×CH₃). ¹³C NMR (62.9 MHz, DMSO-*d*₆): δ 15.82, 112.25, 193.77. GC–MS (EI, 70 eV); *m/z* (%): 143 (23), 99 (100), 74 (23).

4.3. Synthesis of 4-amino-2-(methylsulfanyl)-1,3-thiazole-5-carbonitrile (2a)

Na₂S·9H₂O (0.04 mol) was suspended in DMF (53 mL), dimethyl cyanodithioimidocarbonate **1** (0.04 mol) was dissolved in 13 mL of DMF and added. The mixture is heated at 70 °C for 2 h. Chloroacetonitrile (0.08 mol) is slowly dropped at 70 °C. The reaction was stirred for 2 h and potassium carbonate was added (0.04 mol). The reaction was stirred at 70 °C for 1 h more. The mixture was poured onto water (400 mL) under good stirring. The precipitated was filtered, washed with water, dried at room temperature until constant weight, and purified by recrystallization in EtOH.

Yield: 85%. Colorless solid; mp: 205 °C; mp_{lit}: 204–206 °C.² IR: 3308 (s), 3171 (s), 2192 (s), 1641 (s), 1534 (s) cm⁻¹. ¹H NMR

(250 MHz, DMSO- d_6): δ 2.62 (s, 3H, CH₃), 7.22 (s, 2H, NH₂). ¹³C NMR (62.9 MHz, DMSO- d_6): δ 15.52, 67.16, 114.43, 165.52, 172.25. GC–MS (EI, 70 eV): m/z (%): 171 (100), 156 (30), 138 (48).

4.4. Synthesis of 2-substituted 4-amino-1,3-thiazole-5-carbonitrile (2b and c)

4.4.1. Method A

4-Amino-2-(methylsulfanyl)-1,3-thiazole-5-carbonitrile **2a** (2.92 mmol) and corresponding amine (10 mL) were refluxed for 6 h. The mixture was poured onto water (80 mL) under stirring. The precipitated was filtered, washed with water, and dried at room temperature overnight.

4.4.2. Method B

Dimethyl cyanodithioimidocarbonate **1** (0.04 mol) was dissolved in DMF (53 mL). Amine (0.04 mol) was added and the mixture was heated at 70 °C for 1 h. Then, Na₂S·9H₂O (0.04 mol) was added and heated for 2 h at 70 °C. Chloroacetonitrile (0.12 mol) was added dropwise at 50 °C. The mixture was heated at 50 °C for 2 h and the potassium carbonate was added (0.04 mol). The reaction was stirred at 50 °C for 1 h more. The mixture was poured onto water (400 mL) with good stirring. The precipitated was filtered, washed with water, dried at room temperature until constant weight, and purified by recrystallization in EtOH.

4.4.3. 4-Amino-2-(4-morpholinyl)-1,3-thiazole-5-carbonitrile (2b)

Yield: 90% (method A), 78% (method B). Colorless solid; mp: 236 °C. IR: 3320 (s), 3205 (s), 1641 (s), 1563 (s) cm⁻¹. ¹H NMR (250 MHz, DMSO- d_6): δ 3.39 (t, J =5.0 Hz, 4H, 2×CH₂), 3.65 (t, J =5.0 Hz, 4H, 2×CH₂), 6.81 (s, 2H, NH₂). ¹³C NMR (62.9 MHz, DMSO- d_6): δ 47.36, 56.92, 65.15, 116.49, 165.06, 170.01.

4.4.4. 4-Amino-2-(1-pyrrolidinyl)-1,3-thiazole-5-carbonitrile (2c)

Yield: 99% (method A), 67% (method B). Colorless solid; mp: 299 °C; mp_{lit}: 303–305 °C.² IR: 3323 (s), 3168 (s), 2170 (s) cm⁻¹. ¹H NMR (250 MHz, DMSO- d_6): δ 1.94 (t, J =7.5 Hz, 4H, 2×CH₂), 3.33 (t, J =5.0 Hz, 4H, 2×CH₂), 6.75 (s, 2H, NH₂). ¹³C NMR (62.9 MHz, DMSO- d_6): δ 25.03, 49.10, 56.18, 116.90, 165.47, 166.18. GC–MS (EI, 70 eV): m/z (%): 194 (100), 166 (43), 139 (16), 97 (17), 70 (18), 55 (24).

4.5. Synthesis of 4-amino-2-anilino-1,3-thiazole-5-carbonitrile (2d)

Cyanamide 99% (0.01 mol) was dissolved in 53 mL of dry DMF. Potassium carbonate (0.01 mol) was added and the reaction was stirred for 2 h at room temperature. Phenyl isothiocyanate was added dropwise and the reaction was heated at 60 °C for 1 h. Chloroacetonitrile (0.01 mol) is slowly dropped and the temperature increased to 75 °C. The mixture was stirred for 1 h more at this temperature. After completion, the mixture was poured onto water (60 mL) with good stirring. The precipitated was filtered, washed with water, dried at room temperature until constant weight, and purified by recrystallization in EtOH.

Yield: 92% (method B). Yellow solid; mp: 212 °C. IR: 2171 (s) cm⁻¹. ¹H NMR (250 MHz, DMSO- d_6): δ 6.92 (s, 2H, NH₂), 7.03 (t, J =7.5 Hz, 1H, CH), 7.32 (t, J =7.5 Hz, 2H, 2×CH), 7.57 (d, J =7.5 Hz, 2H, 2×CH), 10.63 (s, 1H, NH). ¹³C NMR (62.9 MHz, DMSO- d_6): δ 56.68, 116.28, 118.24, 124.36, 129.46, 139.70, 164.46, 164.52. GC–MS (EI, 70 eV): m/z (%): 216 (100), 119 (31), 77 (19).

4.6. General procedure for Friedländer's reaction

4.6.1. Classical conditions (method C)

Cyclanone (2.8 mmol) was added to a solution of 2-substituted-1,3-thiazole-5-carbonitrile **2-4** (2 mmol) in a mixture of

dichloroethane/THF. After stirring 5 min at room temperature, aluminum chloride (4 mmol) was added and the mixture was heated at reflux for 2 h. The mixture was cooled at room temperature and 4 mmol of aluminum chloride was added, the mixture was heated at reflux 2 h more. The solvent was removed under reduced pressure. An aqueous solution of sodium hydroxide (50 mL, 10%) was added. After stirring for 30 min, the precipitate was filtered, washed twice with 25 mL of water and washed twice with 10 mL of ether, and dried at room temperature until constant weight, purified in 5 mL of acetonitrile, and filtered while hot.

4.6.2. Microwave irradiation (method D)

In a round bottom flask of 100 mL equipped with a condenser, cyclohexanone (1.4 mmol) was added to a solution of 2-substituted-1,3-thiazole-5-carbonitrile **2-4** (1 mmol) in 25–40 mL of a mixture of dichloroethane/THF. Aluminum chloride (4 mmol otherwise specified) was added and the mixture was heated at reflux during 16 and 32 min (Table 2) under microwave irradiation (at a constant power of 100–150 W). The solvent was removed under reduce pressure. An aqueous solution of sodium hydroxide (30 mL, 10%) was added. After stirring for 30 min, the precipitate was filtered, washed twice with 12 mL of water and washed twice with 5 mL of ether, and dried at room temperature until constant weight, purified in 2 mL of acetonitrile, and filtered while hot.

4.6.3. 8-Amino-2-(methylsulfanyl)-6,7-dihydro-5H-cyclopenta[b][1,3]thiazolo[4,5-b]pyridine (3a)

Yield: 96% (method C: 60 mL of (CH₂)₂Cl₂). Colorless solid; mp: 266 °C (dec). IR: 3320 (s), 3205 (s), 1641 (s), 1563 (s) cm⁻¹. ¹H NMR (250 MHz, DMSO- d_6): δ 2.03 (q, J =7.5 Hz, 2H, CH₂), 2.72 (t, J =7.5 Hz, 2H, CH₂), 2.73 (s, 3H, CH₃), 2.82 (t, J =7.5 Hz, 2H, CH₂), 6.34 (s, 2H, NH₂). ¹³C NMR (62.9 MHz, DMSO- d_6): δ 15.31, 22.33, 27.26, 33.98, 109.65, 114.42, 144.87, 163.75, 164.72, 167.66. GC–MS (EI, 70 eV): m/z (%): 237 (100), 204 (19), 191 (28).

4.6.4. 9-Amino-2-(methylsulfanyl)-5,6,7,8-tetrahydro[1,3]thiazolo[4,5-b]quinoline (4a)

Yield: 77% (method C: 60 mL of (CH₂)₂Cl₂). Yield: 93% (method D: 25 mL of (CH₂)₂Cl₂, 6 mmol AlCl₃, 150 W, 3×8 min). Colorless solid; mp: 215 °C. IR: 3318 (s), 32 (s), 1643 (s), 1571 (s), 1541 (s) cm⁻¹. ¹H NMR (250 MHz, DMSO- d_6): δ 1.76 (m, 4H, 2×CH₂), 2.45 (m, 2H, CH₂), 2.73 (m, 5H, CH₂+CH₃), 6.22 (s, 2H, NH₂). ¹³C NMR (62.9 MHz, DMSO- d_6): δ 15.27, 22.26, 22.52, 23.14, 32.72, 109.06, 110.06, 146.87, 154.57, 162.50, 168.10. GC–MS (EI, 70 eV): m/z (%): 251 (100).

4.6.5. 10-Amino-2-(methylsulfanyl)-6,7,8,9-tetrahydro-5H-cyclohepta[b][1,3]thiazolo[4,5-b]pyridine (5a)

Yield: 87% (method C: 60 mL of (CH₂)₂Cl₂). Colorless solid; mp: 234 °C. IR: 3323 (s), 3202 (s), 1645, 1564 (s), 1543 (s) cm⁻¹. ¹H NMR (250 MHz, DMSO- d_6): δ 1.52 (m, 4H, 2×CH₂), 1.76 (m, 2H, CH₂), 2.72 (m, 5H, CH₂+CH₃), 2.88 (m, 2H, CH₂), 6.22 (s, 2H, NH₂). ¹³C NMR (62.9 MHz, DMSO- d_6): δ 15.35, 24.71, 26.30, 27.16, 31.68, 31.80, 110.76, 115.37, 146.03, 161.79, 161.89, 167.78. GC–MS (EI, 70 eV): m/z (%): 265 (100), 250 (19), 236 (28).

4.6.6. 8-Amino-2-(4-morpholinyl)-6,7-dihydro-5H-cyclopenta[b][1,3]thiazolo[4,5-b]pyridine (3b)

Yield: 98% (method C: 50 mL of THF). Colorless solid; mp 311 °C. IR: 1628 (s), 1569 (s), 1534 (s) cm⁻¹. ¹H NMR (250 MHz, DMSO- d_6): δ 2.03 (q, J =7.5 Hz, 2H, CH₂), 2.68 (t, J =7.5 Hz, 2H, CH₂), 2.74 (t, J =7.5 Hz, 2H, CH₂), 3.47 (t, J =5.0 Hz, 4H, 2×CH₂), 3.72 (t, J =5.0 Hz, 4H, 2×CH₂), 6.01 (s, 2H, NH₂). ¹³C NMR (62.9 MHz, DMSO- d_6): δ 22.22, 27.28, 33.94, 47.55, 65.41, 104.13, 112.98, 144.68, 162.06, 164.13, 168.28. GC–MS (EI, 70 eV): m/z (%): 276 (100), 219 (100), 190 (15).

4.6.7. 9-Amino-2-(4-morpholinyl)-5,6,7,8-tetrahydro[1,3]-thiazolo[4,5-*b*]quinoline (4b)

Yield: 98% (method C: 50 mL of THF). Yield: 93% (method D: 20 mL of (CH₂)₂Cl₂+5 mL of THF, 4 mmol AlCl₃, 100 W, 2×16 min). Colorless solid; mp: 318 °C. IR: 3302 (s), 3209 (s), 1629 (s), 1567 (s), 1532 (s) cm⁻¹. ¹H NMR (250 MHz, DMSO-*d*₆): δ 1.72 (m, 4H, 2×CH₂), 2.41 (m, 2H, CH₂), 2.63 (m, 2H, CH₂), 3.48 (t, *J*=5.0 Hz, 4H, 2×CH₂), 3.72 (t, *J*=5.0 Hz, 4H, 2×CH₂), 5.87 (s, 2H, NH₂). ¹³C NMR (62.9 MHz, DMSO-*d*₆): δ 22.45, 22.68, 23.01, 32.61, 47.60, 65.42, 104.05, 108.76, 146.45, 153.14, 162.03, 168.30. GC–MS (EI, 70 eV): *m/z* (%): 290 (100), 233 (88), 204 (17).

4.6.8. 10-Amino-2-(4-morpholinyl)-6,7,8,9-tetrahydro-5H-cyclohepta[*b*][1,3]thiazolo[4,5-*b*]pyridine (5b)

Yield: 92% (method C: 50 mL of THF). Colorless solid; mp: 314 °C. IR: 1633 (s), 1565 (s), 1526 (s) cm⁻¹. ¹H NMR (250 MHz, DMSO-*d*₆): δ 1.51 (m, 4H, 2×CH₂), 1.75 (m, 2H, CH₂), 2.65 (m, 2H, CH₂), 2.80 (m, 2H, CH₂), 3.47 (t, *J*=5.0 Hz, 4H, 2×CH₂), 3.72 (t, *J*=5.0 Hz, 4H, 2×CH₂), 5.87 (s, 2H, NH₂). ¹³C NMR (62.9 MHz, DMSO-*d*₆): δ 24.69, 26.38, 27.37, 31.81, 40.48, 47.70, 65.40, 105.53, 114.03, 145.70, 160.47, 161.32, 168.32. GC–MS (EI, 70 eV): *m/z* (%): 304 (100), 247 (63).

4.6.9. 8-Amino-2-(1-pyrrolidinyl)-6,7-dihydro-5H-cyclopenta[*b*][1,3]thiazolo[4,5-*b*]pyridine (3c)

Yield: 98% (method C: 50 mL of THF). Colorless solid; mp: 369 °C. IR: 1632 (s), 1573 (s), 1535 (s) cm⁻¹. ¹H NMR (250 MHz, DMSO-*d*₆): δ 1.99 (m, 6H, 3×CH₂), 2.67 (t, *J*=7.5 Hz, 2H, CH₂), 2.72 (t, *J*=7.5 Hz, 2H, CH₂), 3.43 (m, 4H, 2×CH₂), 5.91 (s, 2H, NH₂). ¹³C NMR (62.9 MHz, DMSO-*d*₆): δ 22.24, 24.79, 27.25, 33.96, 67.22, 104.10, 112.35, 144.54, 161.71, 164.13, 164.92. GC–MS (EI, 70 eV): *m/z* (%): 260 (100), 232 (42), 205 (74), 55 (19).

4.6.10. 9-Amino-2-(1-pyrrolidinyl)-5,6,7,8-tetrahydro[1,3]-thiazolo[4,5-*b*]quinoline (4c)

Yield: 95% (method C: 50 mL of THF). Yield: 80% (method D: 20 mL of (CH₂)₂Cl₂+5 mL of THF, 4 mmol AlCl₃, 100 W, 2×16 min). Colorless solid; mp: 346 °C. IR: 1629 (s), 1576 (s), 1522 (s) cm⁻¹. ¹H NMR (250 MHz, DMSO-*d*₆): δ 1.73 (m, 4H, 2×CH₂), 1.98 (m, 4H, 2×CH₂), 2.40 (m, 2H, CH₂), 2.62 (m, 2H, CH₂), 3.43 (m, 4H, 2×CH₂), 5.77 (s, 2H, NH₂). ¹³C NMR (62.9 MHz, DMSO-*d*₆): δ 22.51, 22.73, 22.95, 25.06, 32.62, 48.79, 104.07, 108.16, 146.27, 152.76, 162.06, 164.14. GC–MS (EI, 70 eV): *m/z* (%): 274 (100), 246 (45), 219 (49), 70 (12).

4.6.11. 10-Amino-2-(1-pyrrolidinyl)-6,7,8,9-tetrahydro-5H-cyclohepta[*b*][1,3]thiazolo[4,5-*b*]pyridine (5c)

Yield: 97% (method C: 50 mL of THF). Colorless solid; mp: 336 °C. IR: 1630 (s), 1571 (s), 1524 (s) cm⁻¹. ¹H NMR (250 MHz, DMSO-*d*₆): δ 1.50 (m, 4H, 2×CH₂), 1.75 (m, 2H, CH₂), 1.99 (m, 4H, 2×CH₂), 2.63 (m, 2H, CH₂), 2.78 (m, 2H, CH₂), 3.41 (t, *J*=5.0 Hz, 4H, 2×CH₂), 5.77 (s, 2H, NH₂). ¹³C NMR (62.9 MHz, DMSO-*d*₆): δ 24.69, 25.07, 26.40, 27.44, 31.87, 40.48, 48.82, 105.47, 113.42, 145.57, 160.10, 162.06, 164.18. GC–MS (EI, 70 eV): *m/z* (%): 288 (100), 273 (16), 260 (44), 233 (25).

4.6.12. 8-Amino-2-anilino-6,7-dihydro-5H-cyclopenta[*b*][1,3]thiazolo[4,5-*b*]pyridine (3d)

Yield: 85% (method C: 50 mL of (CH₂)₂Cl₂+10 mL of THF). Orange solid. Colorless solid; mp: 274 °C. IR: 1623 (s), 1564 (s), 1526 (s) cm⁻¹. ¹H NMR (250 MHz, DMSO-*d*₆): δ 2.01 (q, *J*=7.5 Hz, 2H, CH₂), 2.70 (t, *J*=7.5 Hz, 2H, CH₂), 2.77 (t, *J*=7.5 Hz, 2H, CH₂), 6.01 (s, 2H, NH₂), 6.97 (m, 1H, CH), 7.31 (m, 2×CH), 7.73 (m, 2H, 2×CH), 10.50 (s, 1H, NH). ¹³C NMR (62.9 MHz, DMSO-*d*₆): δ 22.26, 27.32, 33.89, 103.82, 113.48, 117.88, 121.67, 128.80, 141.21, 144.60, 161.90, 164.11.

4.6.13. 9-Amino-2-anilino-5,6,7,8-tetrahydro[1,3]-thiazolo[4,5-*b*]quinoline (4d)

Yield: 80% (method C: 50 mL of (CH₂)₂Cl₂+10 mL of THF). Yield: 79% (method D: 30 mL of (CH₂)₂Cl₂+10 mL of THF, 2 mmol AlCl₃, 100 W, 16 min). Orange solid; mp: 280 °C. IR: 1617 (s), 1563 (s), 1519 (s) cm⁻¹. ¹H NMR (250 MHz, DMSO-*d*₆): δ 1.75 (m, 4H, 2×CH₂), 2.43 (m, 2H, CH₂), 2.68 (m, 2H, CH₂), 5.99 (s, 2H, NH₂), 7.00 (m, 1H, CH), 7.33 (m, 2H, 2×CH), 7.76 (m, 2×CH), 10.48 (s, 1H, NH). ¹³C NMR (62.9 MHz, DMSO-*d*₆): δ 22.45, 22.69, 23.07, 32.56, 103.76, 109.44, 117.77, 121.83, 128.80, 140.73, 146.48, 153.05, 16.73, 161.87.

4.6.14. 10-Amino-2-anilino-6,7,8,9-tetrahydro-5H-cyclohepta[*b*][1,3]thiazolo[4,5-*b*]pyridine (5d)

Yield: 97%. Colorless solid; mp: 275 °C. IR: 1634 (s), 1564 (s), 1542 (s) cm⁻¹. ¹H NMR (250 MHz, DMSO-*d*₆): δ 1.50 (m, 4H, 2×CH₂), 1.77 (m, 2H, CH₂), 2.66 (m, 2H, CH₂), 2.84 (m, 2H, CH₂), 5.92 (s, 2H, NH₂), 6.99 (m, 1H, CH), 7.33 (m, 1H, 2×CH), 7.75 (m, 2H, 2×CH), 10.42 (s, 1H, NH). ¹³C NMR (62.9 MHz, DMSO-*d*₆): δ 24.75, 26.39, 27.34, 31.84, 40.48, 105.23, 114.73, 117.71, 121.81, 128.82, 140.71, 145.73, 160.38, 161.17, 161.67.

4.7. Synthesis of chlorothiazolotriazines 6(a–d): general procedure

A solution of sodium nitrite (11.4 mmol) in water (7 mL) was added over 15 min to a suspension of the foregoing 2-substituted 4-amino-1,3-thiazole-5-carbonitrile (8.1 mmol) at 0–5 °C in concentrated hydrochloric acid (16 mL). The resulting mixture was stirred at 0 °C for a further 40 min and then allowed to stand at room temperature overnight. The reaction mixture was quenched in water (100 mL). The precipitate was washed twice with 15 mL of water, and dried under room temperature, purified in 2 mL of acetonitrile, and filtered while hot.

4.7.1. 4-Chloro-6-(methylsulfanyl)[1,3]thiazolo[4,5-*d*]-[1,2,3]triazine (6a)

Yield: 83%. Orange solid; mp: 190 °C. IR: 1516 (s), 1460 (s), 1359 (br) cm⁻¹. ¹H NMR (250 MHz, DMSO-*d*₆): δ 2.49 (s, 3H, CH₃). ¹³C NMR (62.9 MHz, DMSO-*d*₆): δ 16.65, 129.18, 150.73, 165.18, 183.03. GC–MS (EI, 70 eV): *m/z* (%): 190 (97), 175 (23), 157 (100).

4.7.2. 4-Chloro-6-(4-morpholinyl)[1,3]thiazolo[4,5-*d*]-[1,2,3]triazine (6b)

Yield: 47%. Beige solid; mp: 243 °C. IR: 1592 (s), 1530 (s), 1417 (s) cm⁻¹. ¹H NMR (250 MHz, DMSO-*d*₆): δ 3.47 (m, 4H, 2×CH₂), 3.76 (m, 4H, 2×CH₂). ¹³C NMR (62.9 MHz, DMSO-*d*₆): δ 65.25, 105.89, 124.53, 148.41, 166.07, 171.87. GC–MS (EI, 70 eV): *m/z* (%): 229 (100), 171 (83), 144 (36).

4.7.3. 4-Chloro-6-(1-pyrrolidinyl)[1,3]thiazolo[4,5-*d*]-[1,2,3]triazine (6c)

Yield: 44%. Orange solid; mp: 219 °C. IR: 1560 (s), 1526 (s), 1412 (s) cm⁻¹. ¹H NMR (250 MHz, DMSO-*d*₆): δ 2.52 (m, 4H, 2×CH₂), 3.56 (m, 2H, CH₂), 3.80 (m, 2H, CH₂). ¹³C NMR (62.9 MHz, DMSO-*d*₆): δ 25.12, 50.83, 124.64, 148.15, 166.07, 167.80. GC–MS (EI, 70 eV): *m/z* (%): 213 (97), 185 (100), 158 (60).

4.7.4. 4-Chloro-*N*-phenyl[1,3]thiazolo[4,5-*d*][1,2,3]-triazin-6-amine (6d)

Yield: 71%. Orange solid; mp: 208 °C. IR: 1602 (s), 1567 (s), 1500 (s) cm⁻¹. ¹H NMR (250 MHz, DMSO-*d*₆): δ 7.22 (m, 1H, CH), 7.47 (m, 2H, 2×CH), 7.78 (m, 2H, 2×CH), 12.03 (s, 1H, NH). ¹³C NMR (62.9 MHz, DMSO-*d*₆): δ 118.70, 119.68, 124.97, 129.38, 138.39, 140.37, 148.85, 166.19. GC–MS (EI, 70 eV): *m/z* (%): 235 (100), 200 (52).

4.8. Synthesis of aminothiazolotriazine derivatives

The chlorothiazolotriazines **6(a–d)** (1 mmol) and corresponding amine (10 mL) were refluxed for 6 h. The mixture was cooled at room temperature and poured onto water (80 mL) under stirring. When a precipitate was formed, it was filtered, washed twice with 15 mL of water and twice with 8 mL of diethyl ether, and dried at room temperature overnight. When a precipitate wasn't formed, the aqueous layer was extracted three times with 25 mL of CH₂Cl₂. The organic layers were washed twice with 30 mL of HCl 2 N and once with 80 mL of water, dried over MgSO₄ and concentrated under reduced pressure. The products were purified in 2 mL of acetonitrile and filtered while hot to give products **7–10**.

4.8.1. 4,6-Di(1-pyrrolidinyl)[1,3]thiazolo[4,5-d][1,2,3]triazine (7)

Yield: 55%. Pale yellow solid; mp: 178 °C. IR: 1556 (s), 1457 (s), 1422 (s), 1325 (s) cm⁻¹. ¹H NMR (250 MHz, DMSO-*d*₆): δ 1.97–2.03 (m, 8H, 4×CH₂), 3.32 (m, 4H, 2×CH₂), 3.71 (m, 4H, 2×CH₂). ¹³C NMR (62.9 MHz, DMSO-*d*₆): δ 24.68, 25.08, 46.91, 49.74, 102.98, 150.90, 164.05, 167.51.

4.8.2. 6-(4-Morpholinyl)-4-(1-pyrrolidinyl)[1,3]thiazolo[4,5-d][1,2,3]triazine (8)

Yield: 63%. Pale orange solid; mp: 178 °C (dec). IR: 1536 (s), 1413 (br), 1329 (s) cm⁻¹. ¹H NMR (250 MHz, DMSO-*d*₆): δ 1.86 (m, 2H, CH₂), 1.97 (m, 2H, CH₂), 3.42 (m, 2H, CH₂), 3.51 (m, 2H, CH₂), 3.66 (m, 4H, 2×CH₂), 3.72 (m, 4H, 2×CH₂). ¹³C NMR (62.9 MHz, DMSO-*d*₆): δ 24.96, 47.37, 48.58, 65.28, 117.77, 161.26, 168.83, 171.76. GC–MS (EI, 70 eV): *m/z* (%): 264 (100).

4.8.3. 4-(4-Morpholinyl)-6-(1-pyrrolidinyl)[1,3]thiazolo[4,5-d][1,2,3]triazine (9)

Yield: 66%. Pale orange solid; mp: 203 °C. IR: 1543 (br), 1489 (s), 1421 (s) cm⁻¹. ¹H NMR (250 MHz, DMSO-*d*₆): δ 1.95–2.03 (m, 4H, 2×CH₂), 3.32 (m, 8H, 4×CH₂), 3.75 (m, 4H, 2×CH₂). ¹³C NMR (62.9 MHz, DMSO-*d*₆): δ 25.06, 45.30, 49.74, 65.73, 112.61, 147.37, 166.80, 167.32. GC–MS (EI, 70 eV): *m/z* (%): 213 (98), 185 (100), 158 (58).

4.8.4. 4-(4-Morpholinyl)-*N*-phenyl[1,3]thiazolo[4,5-d][1,2,3]triazin-6-amine (10)

Yield: 76%. Pale brown solid; mp: 297 °C. IR: 1535 (s), 1417 (s) cm⁻¹. ¹H NMR (250 MHz, DMSO-*d*₆): δ 3.47 (m, 4H, 2×CH₂), 3.70–3.79 (m, 4H, 2×CH₂), 7.15 (m, 1H, CH), 7.43 (m, 2H, 2×CH), 7.74 (m, 2H, 2×CH). ¹³C NMR (62.9 MHz, DMSO-*d*₆): δ 45.35, 65.72, 103.43, 119.19, 123.97, 129.28, 139.21, 153.16, 165.14, 166.60.

Acknowledgements

We thank to the 'Ministère de l'Éducation Nationale, de l'Enseignement Supérieur et de la Recherche' for a PhD grant to D.T. and E.P. We thank also the 'Université du Luxembourg' for financial support to P.S. We are grateful to Ms. Veronique Poddig for

recording NMR spectra and Dr. Serge Schneider and Dr. Marc Schuman from Gabriel Lipmann for recording IR and GC–MS analyses.

References and notes

- Thomae, D.; Kirsch, G.; Seck, P. *Synthesis* **2007**, 1027.
- Seck, P.; Thomae, D.; Kirsch, G. *J. Heterocycl. Chem.* **2008**, *45*, 853.
- Thomae, D.; Kirsch, G.; Seck, P.; Kaminski, T. *Synthesis* **2007**, 2153.
- Hesse, S.; Perspicace, E.; Kirsch, G. *Tetrahedron Lett.* **2007**, *48*, 5261.
- (a) Masquelin, T.; Obrecht, D. *Tetrahedron* **2001**, *57*, 153; (b) Zabriskie, T. M.; Mayne, C. L.; Ireland, C. M. *J. Am. Chem. Soc.* **1988**, *110*, 7919; (c) Hara, M.; Asano, K.; Kawamoto, I.; Takiguchi, I.; Katsumata, S.; Takahashi, K.; Nakano, H. *J. Antibiot.* **1988**, *42*, 1768; (d) Crews, P.; Kakou, Y.; Quinoa, E. *J. Am. Chem. Soc.* **1988**, *110*, 4365; (e) Metzger, J. V. *Chemistry of Heterocyclic Compounds*; Wiley: New York, NY, 1979; p 34; (f) Metzger, J. V. In *Thiazoles and their Benzo Derivatives*; Potts, K. T., Ed.; Pergamon: New York, NY, 1984; Vol. 6.
- (a) Walek, W.; Pallas, M.; Augustin, M. *Tetrahedron* **1976**, *32*, 623; (b) Evers, R. *J. Prakt. Chem.* **1985**, *327*, 604; (c) Wobig, D. *Justus Liebigs Ann. Chem.* **1959**, *764*, 125; (d) Gewald, K. *J. Prakt. Chem.* **1967**, *35*, 97; (e) Hartke, K.; Seib, B. *Arch. Pharm.* **1970**, *303*, 625; (f) Gewald, K.; Hain, U. *J. Prakt. Chem.* **1975**, *317*, 329; (g) Lloyd, D.; Millar, R. W. *Tetrahedron* **1980**, *36*, 2675; (h) Gewald, K.; Hain, U.; Hartung, P. *Monatsh. Chem.* **1981**, *112*, 1393; (i) Fuchigami, T.; Yeh, M. Y.; Nonaka, T.; Tien, H. *J. Bull. Chem. Soc. Jpn.* **1983**, *56*, 3851; (j) Middleton, W. J. *J. Org. Chem.* **1966**, *31*, 3731; (k) Seybold, G.; Eilingsfeld, H. *Justus Liebigs Ann. Chem.* **1979**, *9*, 1271; (l) Eilingsfeld, H.; Swybold, G. DE 2713573, 1978.
- (a) Timmons, R. J.; Wittenbrook, L. S. *J. Org. Chem.* **1967**, *32*, 1566; (b) Buckman, J.; Pera, J. D.; Appling, J. W. U.S. Patent 2,881,071, 1959; *Chem. Abstr.* **1959**, *53*, 20678d; (c) Yokoyama, M.; Kumata, K.; Yamada, N.; Noro, H.; Sudo, Y. *J. Chem. Soc., Perkin Trans. 1* **1988**, 2309; (d) Suyama, T.; Suzuki, N.; Nishimura, M.; Saitoh, Y.; Ohkoshi, H.; Yamaguchi, J. *J. Bull. Chem. Soc. Jpn.* **2005**, *78*, 873; (e) Elgemeie, G. H.; Sood, S. A. *Synth. Commun.* **2006**, *36*, 743; (f) Alqaradawi, S. Y.; Elgemeie, G. H. *Synth. Commun.* **2004**, *34*, 805.
- Sommen, G.; Cornel, A.; Kirsch, G. *Synthesis* **2003**, 735.
- (a) Gewald, K.; Schaefer, H.; Eckert, K.; Jeschke, T. *J. Prakt. Chem.* **1996**, *338*, 206; (b) Gruner, M.; Rehwald, M.; Eckert, K.; Gewald, K. *Heterocycles* **2000**, *53*, 2363; (c) Walczynski, K.; Zuiderveld, O. P.; Timmerman, H. *Eur. J. Med. Chem.* **2005**, *40*, 15.
- (a) Ried, W.; Kuhnt, D. *Justus Liebigs Ann. Chem.* **1986**, *4*, 780; (b) Ried, W.; Broft, G. W.; Bats, J. W. *Chem. Ber.* **1983**, *116*, 1547; (c) Ried, W. *Kuhnt Synthesis* **1987**, *10*, 940.
- Lee, I. Y.; Lee, J. Y.; Lee, H. J. L.; Gong, Y. D. *Synlett* **2005**, 2483.
- (a) Giorgi, G.; Salvini, L.; Ponticelli, F.; Tedeschi, P. *J. Heterocycl. Chem.* **1996**, *33*, 1895; (b) Takashi, T.; Yatsuka, T.; Onuma, Y. *J. Pharm. Jpn.* **1943**, *63*, 153; (c) Couture, A.; Grandelaudon, P. *Heterocycles* **1984**, *22*, 1383; (d) Couture, A.; Grandelaudon, P. *J. Heterocycl. Chem.* **1996**, *33*, 1895; (e) Smith, K.; Anderson, D.; Matthews, I. *Sulfur Lett.* **1995**, *18*, 79.
- Thomae, D.; Kirsch, G.; Seck, P. *Synthesis* **2008**, 1600.
- (a) Baxter, A.; Cooper, A.; Kinchin, E.; Moakes, K.; Unitt, J.; Wallace, A. *Bioorg. Med. Chem. Lett.* **2006**, *16*, 960; (b) Hunt, F.; Austin, C.; Austin, R.; Bonnert, R.; Cage, P.; Christie, J.; Christie, M.; Dixon, C.; Hill, S.; Jewel, R.; Martin, I.; Robinson, D.; Willis, P. *Bioorg. Med. Chem. Lett.* **2007**, *17*, 2731.
- Liu, J.; Patch, R. J.; Schubert, C.; Player, M. R. *J. Org. Chem.* **2005**, *70*, 10194.
- Wobig, D. *Justus Liebigs Ann. Chem.* **1989**, 409.
- Manfredini, S.; Bazzanini, R.; Baraldi, P. G.; Guarneri, M.; Simoni, D.; Marongiu, M. E.; Pani, A.; Tramontano, E.; La Colla, P. *J. Med. Chem.* **1992**, *35*, 917.
- Migawa, M. T.; Drach, J. C.; Townsend, L. B. *J. Med. Chem.* **2005**, *48*, 3840.
- Quintela, J. M.; Peinador, C.; Veiga, M. C.; Botana, L. M.; Alfonso, A.; Riguera, R. *Eur. J. Med. Chem.* **1998**, *33*, 887.
- (a) Hunt, J. C. A.; Briggs, E.; Clarke, E. D.; Whittingham, W. G. *Bioorg. Med. Chem. Lett.* **2007**, *17*, 5222; (b) Paronikyan, E. G.; Noravyan, A. S.; Akopyan, S. F.; Arsenyan, F. G.; Stepanyan, G. M.; Garibdzhanian, B. T. *Pharm. Chem. J.* **2006**, *40*, 293.
- (a) Guerrero, F.; Sarva, M. C.; Siracusa, M. A.; Caruso, A.; Leone, M. G.; Cutuli, V.; Oliveri, S. *Farmaco* **1991**, *46*, 33; (b) El-Saghier, A. M. M. *Molecules* **2002**, *7*, 756; (c) Blanco, G.; Quintela, J. M.; Peinador, C. *J. Heterocycl. Chem.* **2006**, *43*, 1051.